

1966



საქართველოს სსრ  
მეცნიერებათა აკადემიის

გ მ ა გ ი ც

\*

524

СООБЩЕНИЯ

АКАДЕМИИ НАУК  
ГРУЗИНСКОЙ ССР

\*

86

BULLETIN

OF THE ACADEMY OF SCIENCES  
OF THE GEORGIAN SSR

\*

XLIV, № 4

თებერვალი 1966 ОКТЯБРЬ

საქართველოს სსრ  
მეცნიერებათა აკადემიის

# გ მ ა გ ე



## СООБЩЕНИЯ

АКАДЕМИИ НАУК  
ГРУЗИНСКОЙ ССР



## BULLETIN

OF THE ACADEMY OF SCIENCES  
OF THE GEORGIAN SSR



XL.IV

1966

თბილისი \* ТБИЛИСИ \* TBILISI



10.03.9

სახელმწიფო ბოლობა

ვ. ანდრონიკ შვერი, ა. ბოჭორიშვილი, ი. გიგინიშვილი (მთ. რედაქტორის  
მოადგილე), ლ. დავითაშვილი, რ. დვალი (მთავარი რედაქტორი),  
ნ. კეცხოველი, ვ. მახალდიანი, ნ. მუსხელიშვილი, რ. შალერი  
(მთ. რედაქტორის მოადგილე), გ. ციცაშვილი, ვ. წერეთელი,  
ა. წულუაძე, ა. ჯანელიძე

РЕДАКЦИОННАЯ КОЛЛЕГИЯ

Э. Л. Андronикашвили, А. Т. Бочоришвили, И. М. Гигинейшвили  
(заместитель главного редактора), Л. Ш. Давиташвили, Р. Р. Двали  
(главный редактор), А. И. Джанелидзе, Н. Н. Кецховели,  
В. В. Махалдiani, Н. И. Мусхелишвили, Г. В. Церетели,  
Г. В. Цинцашвили, А. П. Цулукидзе, Р. С. Шадури  
(заместитель главного редактора)

МАТЕМАТИКА

Г. С. ДАДУНАШВИЛИ

НЕКОТОРЫЕ СВОЙСТВА НЕРЕФЛЕКСИВНЫХ БАНАХОВЫХ  
И ЛОКАЛЬНО ВЫПУКЛЫХ ПРОСТРАНСТВ

(Представлено академиком Н. П. Векуа 20.1.1966)

Пусть  $E$ —банахово пространство,  $E'$ —сопряженное пространство. Если через  $M'$  обозначим подпространство пространства  $E'$ , всюду плотное в слабой топологии  $\sigma(E, E')$ , а через  $\|x\|^*$ —норму, порожденную функционалами из пространства  $E'$ :

$$\|x\|^* = \sup_{x \neq 0, x \in M} \frac{|\langle x, x' \rangle|}{\|x'\|},$$

то подпространство  $M'$  называется подпространством с нулевой характеристикой, если норма  $\|x\|^*$  неэквивалентна исходной норме  $\|x\|$ , определенной в пространстве  $E$  [1].

В работе [2] была доказана следующая теорема: если нерефлексивное банахово пространство изоморфно своему декартову квадрату  $E \times E$ , то сопряженное пространство  $E'$  содержит всюду плотное в топологии  $\sigma(E, E')$  подпространство характеристики нуль. В той же работе введены понятия квазиorefлексивности пространств и класса пространств, обладающих свойством  $R$ .

В настоящей работе приведены дальнейшие исследования нерефлексивных банаховых пространств в указанном направлении.

Теорема 1. Если  $E$ —сепарабельное нерефлексивное и не обладающее свойством  $R$  банахово пространство, то сопряженное пространство  $E'$  содержит подпространство  $M'$ , всюду плотное в слабой топологии  $\sigma(E, E')$ , характеристика которого равна нулю.

Доказательство. Пусть  $F_1$ —нерефлексивное подпространство пространства  $E$ . Такое подпространство существует, так как в противном случае существует возрастающая последовательность рефлексивных пространств  $E_1 \subset E_2 \subset \dots$ , индуктивным пределом которой является пространство  $E$ , и, таким образом,  $E$  должно быть рефлексивным, что противоречит условию теоремы. Подпространство  $F_1$  можно считать достаточно узким [3].

Из пространства  $E$  выделим достаточно узкое нерефлексивное подпространство  $F_2$  [4] такое, что  $F_2 \cap F_1 = \emptyset$ . Оно существует,

так как в противном случае мы выделим такую же возрастающую последовательность рефлексивных подпространств  $E'_1 = E'_2 \subset \dots \subset E'_n \subset \dots$ ,

где  $E'_n \bigcap_{i=1}^m F_1 = \emptyset$ , индуктивным пределом которой является пространство  $E_\mu$ , где  $E_\mu$ —наименьшее нерефлексивное подпространство. Такое подпространство существует, так, например, подпространство, которое пересекается с  $F_1$  на нерефлексивном пространстве. Из множества  $E/F_1 \cup F_2$  выделим достаточно узкое нерефлексивное подпространство. Ссылаясь на вышеприведенное суждение, находим, что такое подпространство существует и т. д. Таким образом, из пространства  $E$  выделим последовательность нерефлексивных подпространств  $F_1, F_2, \dots, F_n, \dots$ , где  $F_i \cap F_j = \emptyset, i \neq j, ij = 1, \dots, n, \dots$ . В силу работы [4] каждое подпространство  $F_n$ , не ограничиваясь общностью, можно считать сепаральным.

Ссылаясь на работу [1], в каждое подпространство  $F_n$  введем новую нормированную топологию  $T_{(n)}$ , более слабую, чем исходная топология пространства  $F_n$ , так, чтобы замыкание единичного шара  $S_1^{(n)}$  пространства  $F_n$  в топологии  $T_{(n)}$  содержало элемент  $x$ , нормы  $\|x\|$  которого превосходят число  $n$ .

Исследуем прямую сумму  $E_n = F_1 + F_2 + \dots + F_n$  для любого  $n$ . Рассмотрим замыкания  $\overline{E}_n$  и на подпространствах  $\overline{F}_n = \overline{F_1 + \dots + F_n}$  прямую сумму  $P_n$  топологии  $T_{(2)}, \dots, T_{(n)}$ , обозначив через  $\widetilde{\overline{E}}_n$  объединение всех подпространств  $\overline{E}_n$ . Очевидно, что при любом  $n$  топология, которую индуцирует на  $E_n$  топология  $P_{n+1}$ , совпадает с топологией  $P_n$ .

Определим на векторном пространстве  $E$  строгий индуктивный предел  $\Gamma$  нормированных топологий  $P_n$ . Через  $T_1$  обозначим нижнюю грань топологии  $\Gamma_1, \Gamma$ , где  $\Gamma_1$ —индуцированная топология на  $\widetilde{\overline{E}}$  исходной топологией пространства  $E$  в множестве всех локально выпуклых топологий. Очевидно, что  $T_1$ —отделенная локально выпуклая топология на пространстве  $\widetilde{\overline{E}}$ .

Пусть  $U$  и  $U_1$ —две окрестности из фундаментальной системы окрестностей нуля в топологиях  $\Gamma, \Gamma_1$ , тогда выпуклая оболочка  $K$  множества  $U \cup U_1$  образует фундаментальную систему окрестностей нуля топологии  $T_1$ , когда  $U, U_1$  пробегают множество всех окрестностей из фундаментальной системы окрестностей нуля топологии  $\Gamma, \Gamma_1$ .

Топология  $T_1$  является верхней гранью для множества всех локально выпуклых топологий, которые слабее топологии  $\Gamma_1$  пространства

$\widetilde{\overline{E}}$ , и индуцирует на каждом из пространств  $\overline{E}_n$  топологию  $P_n$ .

Замыкание единичного шара  $\widetilde{S} = \widetilde{E} \cap S$ , где  $S$ —единичный шар пространства  $E$ , в топологии  $T_1$  является неограниченным множеством в норме пространства  $E$ .

Рассмотрим нижнюю грань  $T$  топологии  $\Gamma$ ,  $\Gamma_1$  в множестве всех топологий, согласующихся со структурой векторного пространства  $\widetilde{E}$ .

Покажем, что пополнение  $\widetilde{E}$ , наделенного топологией  $T$ , содержит замыкание  $\widetilde{E}_1$  подпространства  $\widetilde{E}$  в банаховом пространстве  $E$ . Последнее условие эквивалентно следующему утверждению: всякая фундаментальная по норме  $\Gamma_1$  последовательность  $(x_n)$ , которая сходится к нулю в топологии  $T$ , стремится к нулю в топологии  $\Gamma_1$ . Так как каждая сходящаяся к нулю в топологии  $T$  сеть  $(Z_n)$  имеет вид  $Z_n = X_n + Y_n$ , то  $X_n$  и  $Y_n$ —сети, сходящиеся к нулю в топологиях  $\Gamma$ ,  $\Gamma_1$ .

Если последовательность  $(X_n)$  сходится к нулю в топологии  $\Gamma$ , то она принадлежит одному из подпространств  $\widetilde{E}_n$ .

Так как каждое подпространство  $E_n$  замкнуто в  $\widetilde{E}_{n+1}$  в топологии  $P_{n+2}$ , то  $\widetilde{E}_n$  замкнуто и в топологии  $\Gamma$  (см. [4], замеч. 2, стр. 88). Последовательность  $(X_n)$  является ограниченным множеством в топологии  $\Gamma$ , ибо  $(X_n)$ —фундаментальная последовательность.

Ссылаясь на теорему об ограниченных множествах в строгом индуктивном пределе (см. [3], предл. 6, стр. 151), мы можем утверждать, что последовательность  $(X_n)$  содержится в одном из подпространств  $\widetilde{E}_n$ . Пространство  $\widetilde{E}_n$ , наделенное индуцированной топологией  $\Gamma_1$ , является банаховым пространством, поэтому последовательность  $(X_n)$  сходится к нулю по норме  $\Gamma_1$ . Таким образом, получаем, что последовательность  $Z_n = X_n + Y_n$  сходится к нулю в топологии  $\Gamma_1$ , так что пополнение пространства  $\widetilde{E}$  в топологии  $\Gamma$  содержит банахово пространство  $\widetilde{E}_1$ .

В силу леммы 2 [2] следует, что топологии  $T$ ,  $T_1$  эквивалентны.

Таким образом, пополнение векторного пространства  $\widetilde{E}$  в топологии  $T_1$  содержит замыкание  $\widetilde{E}_1$  подпространства  $\widetilde{E}$  в банаховом пространстве  $E$ , т. е. на пространстве  $\widetilde{E}_1$  определена отдельная локально выпуклая топология  $T_1$ , которая слабее исходной топологии пространства  $\widetilde{E}_1$  и замыкание единичного шара  $\widetilde{S}_1$  пространства  $\widetilde{E}_1$  в топологии  $T_1$  не ограничено по норме  $\widetilde{E}_1$ .

Следовательно, сопряженное  $\widetilde{E}'$  обладает всюду плотным в слабой топологии подпространством характеристики нуль и в силу леммы 1 [2] сопряженное пространство  $E'$  содержит аналогичное подпространство. Теорема доказана.

**Определение 1.** Локально выпуклое топологическое пространство  $E$  будем называть квазиorefлексивным, если фактор-пространство  $\overline{\overline{E}}/E$  такое, что  $\Gamma^{**} = \Gamma$ , т. е. соответственные топологии совпадают и  $\overline{\overline{E}}$  — второе сопряженное конечномерное пространство.

**Теорема 2.** Пусть имеется возрастающая последовательность локально выпуклых квазиorefлексивных пространств  $E_1 \subset E_2 \subset E_3 \supset \dots \supset E_n \supset \dots$

Пусть последовательность вторых сопряженных пространств  $\{\overline{\overline{E}_n}\}$  является возрастающей последовательностью  $\overline{\overline{E}_1} \subset \overline{\overline{E}_2} \subset \dots \subset \overline{\overline{E}_n} \dots$

Если каждые пространства  $E_n$ ,  $\overline{\overline{E}_n}$  являются подпространствами  $E_{n+1}$ ,  $\overline{\overline{E}_{n+1}}$  и индуктивный предел последовательности  $\overline{\overline{E}_1} \subset \overline{\overline{E}_2} \subset \dots \subset \overline{\overline{E}_n} \subset \dots$  является вторым сопряженным индуктивного предела последовательности  $E_1 \subset E_2 \subset \dots \subset E_n \subset \dots$ , если начиная от некоторого  $n_0$  для  $n > n_0$   $\overline{\overline{E}_n}/E_n$  изоморфно  $\overline{\overline{E}_{n+1}}/E_{n+1}$  и т. д., то  $E = \liminf E_n$ , индуктивный предел квазиorefлексивен.

**Доказательство.** Пусть  $E$ ,  $\overline{\overline{E}}$  есть индуктивные пределы последовательностей  $E_1 \subset E_2 \subset \dots \subset E_n \subset \dots$ ,  $\overline{\overline{E}_1} \subset \overline{\overline{E}_2} \subset \dots \subset \overline{\overline{E}} \subset \dots$  соответственно.

Очевидно, топологии, индуцированные топологиями  $E$  и  $\overline{\overline{E}}$  на  $E_n$ ,  $\overline{\overline{E}_n}$   $n = 1, 2, \dots$ , совпадают с топологиями  $E_n$ ,  $\overline{\overline{E}_n}$   $n = 1, 2, \dots$

Последовательность соответствующих фактор-пространств  $\overline{\overline{E}}/E_1$ ,  $\overline{\overline{E}_2}/E_2$ ,  $\dots$ ,  $\overline{\overline{E}_n}/E_n$ ,  $\dots$  также будет возрастающей в обобщенном смысле, так как  $E_n \subset E_{n+1}$ ,  $\overline{\overline{E}_n} \subset \overline{\overline{E}_{n+1}}$   $n = 1, 2, \dots$  и операция  $u_n$  переводит  $E_n^* = \overline{\overline{E}_n}/E_n$  в  $E_{n+1}^* = \overline{\overline{E}_{n+1}}/E_{n+1}$  следующим способом:  $(\overline{\overline{E}_{n+1}} \supset \bar{x}_{n+1} = x + E_{n+1})$ ,  $E_n^* \supset \bar{x}_n = x + E_n$ , все  $\bar{x}_n \rightarrow \bar{x}_{n+1}$  для  $x \in E_{n+1}$   $x \in \overline{\overline{E}_n}$  и  $\bar{x}_n \rightarrow \emptyset$   $E_{n+1}^*$ , где  $x \in E_{n+1}$ . Таким образом, операция  $U_n$  линейна, непрерывна и переводит  $\overline{\overline{E}}/E_n$  в  $\overline{\overline{E}}_{n+1}/E_{n+1}$  для любого  $n = 1, 2, \dots, m, \dots$  Определим операции  $U_n$  вышеприведенным образом из  $\overline{\overline{E}_n}/F_n$  в  $\overline{\overline{E}}/E$ . Очевидно, что  $U_n$  будет линейной и  $U_{n+1} u_n = U_n$ ; не вызывает сомнения равенство

$\overline{\overline{E}}/E = \bigcup_{n=1}^{\infty} U_n \overline{\overline{E}_n}/E_n$ . Очевидно, что если при некотором  $\bar{x}_n$   $U_n \bar{x}_n = \emptyset$ , то существует  $m \geq n$ , что  $u_m \dots u_n x_n = \emptyset$ .

Если введем в  $\overline{E}/\overline{E}$  индуктивную топологию, то она совпадет с топологией  $\overline{E}/\overline{E}$ .

Таким образом,  $\overline{\overline{E}}/\overline{E}$  есть индуктивный предел последовательности  $\{\overline{E}_n/E_n\} n = 1, 2, \dots m, \dots$

Так как начиная с некоторого  $n_0$   $\overline{E}_n/E_n$  изоморфен  $\overline{E}_{n+1}/E_{n+1}$  и т. д., начиная с  $n_0$   $\overline{E}/E_n \sim \overline{E}/E$ , т. е. пространство  $E$  квазирефлексивно.

Академия наук Грузинской ССР  
Тбилисский математический институт  
им. А. М. Размадзе

(Поступило в редакцию 25.1.1966)

ათოვათიძე

გ. დადუნავილი

არარეცლებსური ბანახის ლოკალურად ამონიქილი  
სიცოცვების თანხმების შესახებ

რეზიუმე

ვთქვათ  $E$  სეპარაციული ირარეცლებური სივრცეა, რომელსაც არ ახასიათებს  $R$  თვისება. მმ შრომაში დადგენილია, რომ მაშინ  $E'$  შეუღლებულ სივრცეში არსებობს ყველგან მკარივი ტოპოლოგიით  $\sigma(E, E')$  ქვესივრცე, რომლის მახასიათებელი ნულია.

შრომის მეორე ნაწილში გმოყვანილია საკმარისი პირობები, რომლებიც აპირობებენ კვაზირეცლებური სივრცეების ზრდადი მიმღევრობის  $E_1 \subset E_2 \supset \dots \subset E_n \subset \dots$  ინდუქციური ზღვარის  $E = \liminf(E_n, U_n)$  სივრცის კვაზირეცლებურობას.

დაოფიციული ლიტერატურა — ЦИТИРОВАННАЯ ЛИТЕРАТУРА

1. Ю. И. Петуин. Критерий рефлексивности банахова пространства. ДАН СССР, т. 140, № 1, 1961.
2. Ю. И. Петуин. Сопряженные банаховы пространства, содержащие подпространства характеристики нуль. ДАН СССР, т. 154, № 3, 1961.
3. Р. С. Джеймс. Bull. Amer. Math. Soc., 62, 1956, 387.
4. Н. Бурбаки. Топологические векторные пространства, пер. с франц. ИЛ, М., 1959.

## МАТЕМАТИКА

Г. С. ДАТУАШВИЛИ

### О СПЕКТРЕ ОБОБЩЕННОГО МАТРИЧНОГО ПОЛИНОМА

(Представлено академиком Ш. Е. Микеладзе 20.1.1966)

Если числа  $\lambda_1, \lambda_2, \dots, \lambda_n$  представляют спектр матрицы  $H$  и

$$P(t) = \sum_{k=0}^m a_k t^k$$

есть скалярный полином  $m$ -го порядка, то, как известно, (см., напр., [1]), величины  $P(\lambda_1), P(\lambda_2), \dots, P(\lambda_n)$  дают спектр матричного полинома

$$P(H) = \sum_{k=0}^m a_k H^k.$$

Теперь вместо скалярного полинома  $P(t)$  рассмотрим полиномиальную матрицу

$$Q(t) = \sum_{k=0}^m A_k t^k,$$

где  $A_0, A_1, \dots, A_m$ —квадратные матрицы  $p$ -го порядка, а за матричный полином примем полином вида

$$Q(H) = \sum_{k=0}^m A_k \times H^k, \quad (1)$$

где под символом  $A_k \times H^k$  подразумевается произведение Кронекера матриц  $A_k$  и  $H^k$  (см., напр., [2]).

Выражение (1) мы будем называть обобщенным матричным полиномом.

Справедлива следующая

Теорема. Если числа  $\lambda_1, \lambda_2, \dots, \lambda_n$  представляют спектр матрицы  $H$ , а

$$Q(t) = \sum_{k=0}^m A_k t^k$$

есть полиномиальная матрица  $p$ -го порядка, то обобщенный матричный полином

$$Q(H) = \sum_{k=0}^m A_k \times H^k$$

и матрица  $Q(t)$  имеют одинаковый спектр, когда  $t$  меняется на спектре матрицы  $H$ .

**Доказательство.** Рассмотрим сперва тот случай, когда  $H$  представляет треугольную матрицу. Тогда для каждой треугольной матрицы имеем

$$Q(H) = \sum_{k=0}^m A_k \times H^k = \begin{vmatrix} \sum_{k=0}^m A_k h_{11}^k & \sum_{k=0}^m A_k h_{12}, k & \dots & \sum_{k=0}^m A_k h_{1n}, k \\ 0 & \sum_{k=0}^m A_k h_{21}^k & \sum_{k=0}^m A_k h_{23}, k & \dots & \sum_{k=0}^m A_k h_{2n}, k \\ \dots & \dots & \dots & \dots & \dots \\ 0 & 0 & 0 & \sum_{k=0}^m A_k h_{nn}^k \end{vmatrix}$$

где  $A_k \times H^k$  — левое произведение Кронекера, а  $h_{ij}, k$  — элемент  $i$ -й строки и  $j$ -го столбца матрицы  $H^k$ . Таким образом, для треугольной матрицы  $H$   $Q(H)$  представляет клеточную треугольную матрицу, при этом числа  $h_{11}, h_{22}, \dots, h_{nn}$  представляют спектр матрицы  $H$ . Из последнего равенства вытекает справедливость теоремы.

Рассмотрим теперь произвольную матрицу  $H$ . Как известно (см., напр., [2]), ее всегда можно представить в виде

$$H = C^{-1} BC,$$

где  $C$  — невырожденная матрица, а  $B$  — треугольная.

Пользуясь известным свойством произведения Кронекера матриц (см., напр., [2]), можем написать

$$A_k \times (C^{-1} B^k C) = (E \times C^{-1}) (A_k \times B^k) (E \times C) = (E \times C)^{-1} (A_k \times B^k) (E \times C).$$

Отсюда, в силу (1), имеем

$$Q(H) = \sum_{k=0}^m (E \times C)^{-1} (A_k \times B^k) (E \times C)$$

или

$$Q(H) = (E \times C)^{-1} Q(B) (E \times C).$$

Последнее равенство доказывает нашу теорему для произвольной матрицы  $H$ .

Теорема, доказанная в нашей работе, находит широкое применение при исследовании некоторых краевых задач. Об этом мы будем говорить в последующих статьях.

Тбилисский государственный  
университет

(Поступило в редакцию 25.1.1966)

### ЗАГОЛОВОК

გ. დარიაშვილი

განხოგადებული მატრიცული მრავალწლის სპეციალის  
შესახებ

რეზიუმე

შრომაში დამტკიცებულია შემდეგი  
თოვლება. თუ  $\lambda_1, \lambda_2, \dots, \lambda_n$  სიღილეები  $H$  მატრიცის საკუთ-  
რივი რიცხვებია, ხოლო

$$Q(t) = \sum_{k=0}^m A_k t^k,$$

რომის რიგის პოლინომიალური მატრიცია, მაშინ

$$Q(H) = \sum_{k=0}^m A_k \times H^k,$$

განხოგადებულ მატრიცულ მრავალწლის და  $Q(t)$  მატრიცს  
აქვთ ერთი და იგივე სპექტრი, როცა  $t$  იცვლება  $H$  მატრიცის  
სპექტრზე.

### ЗАГЛАВИЕ РУССКИЙ — ЦИТИРОВАННАЯ ЛИТЕРАТУРА

1. Р. Курант, Д. Гильберт. Методы математической физики, т. 1. М.—Л., 1951.
2. И. В. Проскуряков, А. П. Мишина. Высшая алгебра, СМБ, Физматгиз М., 1962.



## МАТЕМАТИКА

М. Р. ТЕТРУАШВИЛИ

### НЕКОТОРЫЕ ВОПРОСЫ ТЕОРИИ ИНВАРИАНТНОЙ МЕРЫ В ТОПОЛОГИЧЕСКИХ ГРУППАХ

(Представлено академиком Г. С. Чогошвили 31.3.1966)

Всюду мы предполагаем, что  $G$ —недискретная локально компактная топологическая группа;  $\mathbf{B}$ — $\sigma$ -кольцо всех борелевских множеств группы  $G$ ;  $C_0$ —некоторая фиксированная компактная окрестность единичного элемента  $e$  группы  $G$ ;  $Z_0$ —некоторая фиксированная  $\sigma$ -компактная открытая (следовательно, и замкнутая) подгруппа группы  $G$ , содержащая множество  $C_0$  (см. [1]);  $h$ —мера Хаара в  $G$ .

Заметим, что дискретные топологические группы не представляют интереса с точки зрения теории инвариантной меры.

Обозначим через  $\theta(G)$  наименьшую мощность системы открытых множеств группы  $G$ , пересечение которых состоит из единственной точки. Очевидно,  $\theta(G)$ —наименьшая мощность системы (открытых) окрестностей единичного элемента  $e \in G$ , пересечение которых совпадает с множеством  $\{e\}$ ; какова бы ни была открытая подгруппа  $Z$  группы  $G$   $\theta(Z) = \theta(G)$ . Хуланицкий (см. [2]) доказал, что мощность группы  $G$  удовлетворяет соотношению  $\overline{\overline{G}} \geq 2^{\theta(G)}$ , а если группа  $G$   $\sigma$ -компактна, то  $\overline{\overline{G}} = 2^{\theta(G)}$ . Следовательно, если  $Z$ —произвольная  $\sigma$ -компактная открытая подгруппа группы  $G$ , то  $\overline{\overline{Z}} = 2^{\theta(Z)} = 2^{\theta(G)}$ .

Пусть  $\Gamma_0$ —любая плотная в  $G$  подгруппа группы  $G$  (очевидно,  $\overline{C_0 \cap \Gamma_0} \geq \aleph_0$ );  $\Gamma_1$ —любая плотная в  $G$  подгруппа группы  $G$  такая, что  $Z_0 \cap \Gamma_1 = \overline{\overline{Z_0}} = 2^{\theta(G)}$ ;  $\Gamma$ —алгебраическая группа  $G$ . Можно предположить, что  $\Gamma_0 \subset \Gamma_1 \subset \Gamma$ . Очевидно, группы  $\Gamma_0, \Gamma_1, \Gamma$  можно рассматривать как группы левых [правых] переносов группы  $G$ .

**Определение 1.** Пусть  $F$ —произвольная группа взаимно-однозначных преобразований группы  $G$ . Мы будем говорить, что класс  $\mathbf{M}$  множеств  $M \subset G$  является  $F$ -допустимым, если

- 1º.  $\mathbf{M}$  является  $\sigma$ -кольцом и каждое  $M \in \mathbf{M}$   $\sigma$ -ограничено.
- 2º.  $\mathbf{B} \subseteq \mathbf{M}$ .
- 3º. Если  $f \in F$  и  $M \in \mathbf{M}$ , то  $f(M) \in \mathbf{M}$ .

**Определение 2.** Пусть  $F$ —заданная группа взаимно-однозначных преобразований группы  $G$ ;  $M$ — $F$ -допустимый класс множеств  $M \subseteq G$ . Мы будем говорить, что неотрицательная функция множества  $\mu$ , определенная на  $F$ -допустимом классе  $M$ , является  $F$ -мерой, если она  $F$ -инвариантна, счетно-аддитивна, конечна для компактных множеств и не равна нулю тождественно.

В дальнейшем мы будем считать известным смысл аналогов тех терминов и обозначений, введенных в работе [3], которые обобщаются тривиально.

Можно доказать, что мера Хаара  $h$  в группе  $G$  не является полной мерой. Пополнение меры  $h$  назовем мерой Хаара—Лебега.

Обозначим через  $T_0$ ,  $T_1$ ,  $T$  произвольные группы взаимно-однозначных преобразований группы  $G$ , содержащие группы  $\Gamma_0$ ,  $\Gamma_1$ ,  $\Gamma$  соответственно (как группы левых или правых переносов).

**Теорема 1.** Пусть  $M$  есть  $T_0$ -разрешимый класс множеств группы  $G$  с  $T_0$ -мерой  $\mu$ . Тогда каждое множество  $M \in M$  положительно  $\mu$ -меры содержит  $\mu$ -неизмеримое множество.

**Доказательство.** Теорему докажем в случае, когда  $\Gamma_0$ —группа левых переносов. Аналогично доказывается теорема в случае, когда  $\Gamma_0$ —группа правых переносов. Пусть  $M \in M$  и  $\mu(M) > 0$ , а  $\Gamma^0$ —счетная подгруппа группы  $\Gamma_0$  такая, что  $C_0 \cap \Gamma^0 = \mathbf{N}_0$  и  $\Gamma^0 \subset Z_0$ . Обозначим через  $A_M$  класс непустых пересечений множества  $M$  с правыми смежными классами группы  $G$  по подгруппе  $\Gamma^0$ . Если множество  $A \subseteq G$  пересекается с каждым множеством класса  $A_M$  в точности в одной точке, то  $A$  является  $\mu$ -неизмеримым множеством.

В самом деле, допустим противное, т. е.  $A \in M$ . Так как множество  $M$   $\sigma$ -ограничено, то существует последовательность  $\{C_n\}$ -компактных множеств такая, что  $M = \bigcup_n C_n$ .

Обозначим  $A_k = A \cap C_k$  ( $k = 1, 2, \dots$ ). Очевидно,  $A_k \in M$  ( $k = 1, 2, \dots$ ). Далее, легко видеть, что  $M = \bigcup_{g \in \Gamma^0} gA$ ,  $gA \in M$  ( $g \in \Gamma^0$ ). Поэтому так как

$\overline{\Gamma^0} = \mathbf{N}_0$  и  $\mu(M) > 0$ , то  $\mu(A) > 0$ . Но  $A = M \subseteq \bigcup_n C_n$  и  $A = \bigcup_n A_n$ . Следовательно, существует натуральное число  $k$  такое, что  $\mu(A_k) > 0$ . Имеем  $A_k \subseteq C_k$ ,  $\bigcup_{g \in C_0 \cap \Gamma^0} gA_k \subseteq C_0 C_k$ . В сумме  $\bigcup_{g \in C_0 \cap \Gamma^0} gA_k$  слагаемые попарно не пересекаются. Поэтому так как  $\overline{C_0 \cap \Gamma^0} = \mathbf{N}_0$ , то  $\mu(\bigcup_{g \in C_0 \cap \Gamma^0} gA_k) = \sum_{g \in C_0 \cap \Gamma^0} \mu(gA_k) = \infty$ .

Это невозможно, ибо множество  $\bigcup_{g \in C_0 \cap \Gamma^0} gA_k$  ограничено. Теорема доказана.

**Замечание.** Теорема 1 является обобщением известной теоремы Витали (для случая евклидова пространства см. также [3], гл. II, § 1).

**Теорема 2.** Существует абсолютно  $T_0$ -неизмеримое  $\sigma$ -ограниченное множество  $A \subset G$ , т. е. существует такое множество  $A \subset G$ , что, каков бы ни был  $T_0$ -разрешимый класс  $M$ ,  $A \notin M$ .

**Доказательство.** Пусть  $M$  есть  $T_0$ -разрешимый класс с  $T_0$ -мерой  $\mu$ . Очевидно,  $Z_0 \in M$  и  $\mu(Z_0) > 0$ , ибо в противном случае, так как каждое множество  $M \in M$  удовлетворяет условию  $M \subset \bigcup_n g_n Z_0$ , где  $g_n \in \Gamma_n$

( $n = 1, 2, \dots$ ), следовало бы, что  $T_0$ -мера  $\mu$  равна нулю тождественно.

Пусть, теперь,  $\Gamma^0 \subset \Gamma_0$  — счетная подгруппа группы  $Z_0$  такая, что  $\overline{\Gamma^0 \cap C_0} = N_0$ ;  $\Gamma_0$  рассматривается как группа левых [правых] переносов. Тогда если множество  $A$  пересекается с каждым правым [левым] смежным классом группы  $Z_0$  по подгруппе  $\Gamma^0$  в точности в одной точке, то из доказательства теоремы 1 следует, что множество  $A$   $\mu$ -неизмеримо.

**Следствие.** Класс всех подмножеств группы  $G$  не является  $T_0$ -разрешимым.

Следующая теорема является обобщением аналогичного результата для евклидова пространства (см. [3], гл. II, § 2).

**Теорема 3.** Пусть  $M$  есть  $T_1$ -разрешимый класс множеств  $M \subset G$  с  $T_1$ -мерой  $\mu$ . Тогда  $\mu(M) = 0$  для любого множества  $M \in M$  мощности  $\overline{M} < 2^{0(G)}$ .

**Доказательство.** Допустим, что существует множество  $M \in M$  такое, что  $\overline{M} < 2^{0(G)}$  и  $\mu(M) > 0$ . Так как множество  $M$   $\sigma$ -ограничено, то существует  $\sigma$ -компактная открытая подгруппа  $Z$  группы  $G$ , содержащая множества  $M$  и  $Z_0$ . Очевидно,  $Z \in M$  и можно предположить, что множество  $M$  ограничено.

Легко видеть, что начальное порядковое число мощности  $2^{0(G)}$  не конфинально порядковому числу  $\omega_0$  (см. [4], гл. II, § 7). Поэтому так как  $2^{0(G)} \geq \overline{Z \cap \Gamma_1} \geq \overline{Z_0 \cap \Gamma_1} = \overline{Z_0} = 2^{0(G)}$ , то существует компактное множество  $C_1 \subset Z$  такое, что  $e \in C_1$ ,  $M \subset C_1$  и  $\overline{C_1 \cap \Gamma_1} = 2^{0(G)}$ . Очевидно, множество  $C_1 C_1$  компактно и  $C_1 C_1 \subset Z$ . Положим  $a = \sup \{\mu(M')\}$ , где  $\sup$  распространяется на все  $\mu$ -измеримые множества  $M'$  вида  $M' = \bigcup_n c_n M$ , где

$c_n \in C_1 \cap \Gamma_1$  ( $n = 1, 2, \dots$ ). Так как (каждое)  $M' \subset C_1 C_1$ , то  $0 < \mu(M) \leq a < \infty$ . Поэтому существует последовательность  $\{c_n\}$  элементов множества  $C_1 \cap \Gamma_1$  такая, что множество  $M'_0 = \bigcup_{n=1}^{\infty} c_n M$  удовлетворяет условию  $\mu(M'_0) > a - \mu(M)$ , причем

$$\begin{aligned} \overline{M'_0 \cup M} &\leq \overline{M'_0} + \overline{M} \leq N_0 \cdot \overline{M} + \\ &+ \overline{M} \leq \max(N_0; \overline{M}) < \overline{C_1 \cap \Gamma_1} = 2^{0(G)}. \end{aligned}$$

Следовательно, найдется такой перенос  $g \in C_1 \cap \Gamma_1$ , что

$$gM \subset g(M'_0 \cup M) \subset C_Z(M'_0 \cup M).$$

Поэтому

$$\mu(M_0 \cup M \cup gM) = \mu(M_0 \cup M) + \mu(gM) \geq \mu(M_0) + \mu(M) > a,$$

что противоречит определению числа  $a$ . Теорема доказана.

**Следствие 1.** Любое борелевское множество группы  $G$  положительной меры Хаара имеет мощность  $2^{\ell(G)}$ .

**Следствие 2.** Пусть группа  $G$   $\sigma$ -компактна,  $M$  есть  $T_1$ -разрешимый класс с  $T_1$ -мерой  $\mu$ . Тогда  $\mu(M) = 0$  для любого множества  $M \in M$  мощности  $\overline{M} < \overline{G}$ .

Введем определение, которое согласуется с аналогичным определением, данным в случае евклидова пространства (см. [3], гл. I, § 1).

**Определение 3.** Пусть  $N$ —какой-нибудь класс множеств группы  $G$ ;  $\eta$ —начальное порядковое число. Мы будем говорить, что множество  $E \subset G$  является  $(\eta, T_0)$ -исчерпывающим [ $(\eta, T_0)$ -неисчерпывающим] в  $G$  с точностью до множеств класса  $N$ , если для каждой [не для каждой]  $\sigma$ -компактной открытой подгруппы  $Z \subset G$  существует  $(\eta, T_0)$ -конфигурация  $E'$  множества  $E$ , удовлетворяющая условию  $C_Z E' \in N$ .

С помощью теоремы 3 нетрудно доказать следующую теорему, которая является обобщением аналогичной теоремы в случае евклидова пространства (см. [3], гл. II, § 2).

**Теорема 4.** Пусть  $M$  есть  $T_1$ -разрешимый класс множеств  $M \subset G$  с  $T_1$ -мерой  $\mu$ ;  $N^*$ —класс множеств  $N \subset G$  мощности  $\overline{N} < 2^{\ell(G)}$ . Тогда класс  $M^*$  множеств вида  $(M \cup N_1) - N_2$ , где  $M \in M$ ,  $N_1, N_2 \in N^*$ , является  $T_1$ -допустимым, а функция множества  $\mu^*$ , определенная на  $M^*$  с помощью формулы  $\mu^*[(M \cup N_1) - N_2] = \mu(M)$ , является  $T_1$ -мерой на  $M^*$ . При этом если  $M$ —полный класс по отношению к  $\mu$ , то  $M^*$ —также полный класс по отношению к  $\mu^*$ ; если  $\mu$  является  $T_1$ -мерой типа (B), то  $\mu^*$  также является  $T_1$ -мерой типа (B).

Легко доказать следующую лемму (см. также [3], гл. III, § 6).

**Лемма.** Пусть  $G$ —локально компактная и  $\sigma$ -компактная группа,  $M$  есть  $T_0$ -разрешимый класс, а  $\mu$  есть  $T_0$ -мера на  $M$ , удовлетворяющая условию единственности с точностью до постоянного множителя, тогда  $\mu$  является  $T_0$ -мерой типа (B).

**Теорема 5.** Пусть  $G$ —произвольная локально компактная группа;  $M$  есть  $\Gamma_0$ -разрешимый класс множеств  $M \subset G$ , а  $\mu$  есть  $\Gamma_0$ -мера на  $M$ , удовлетворяющая условию единственности с точностью до постоянного множителя. Тогда  $\mu$  является  $\Gamma_0$ -мерой типа (B).

**Доказательство.** Пусть некоторое множество  $M \in \mathbf{M}$  удовлетворяет условию  $\mu(M) > 0$ , но не является  $(\omega_0, \Gamma_0)$ -исчерпывающим множеством в  $G$  с точностью до множеств  $\mu$ -меры нуль. Следовательно, существует  $\sigma$ -компактная открытая подгруппа  $Z$  группы  $G$  такая, что  $M \subset Z$  и множество  $M$  является  $(\omega_0, \Gamma_0 \cap Z)$ -неисчерпывающим в  $Z$  с точностью до множеств  $\mu_Z$ -меры нуль, где  $\mu_Z$  есть след функции  $\mu$  на  $\Gamma_0 \cap Z$ -допустимом классе  $\mathbf{M} \cap Z$  и является, очевидно,  $\Gamma_0 \cap Z$ -мерой на нем. Для завершения доказательства достаточно показать, что  $\Gamma_0 \cap Z$ -мера  $\mu_Z$  удовлетворяет условию единственности с точностью до постоянного множителя. Последнее следует из следующей общей теоремы.

**Теорема 6.** *Пусть  $G$ —произвольная локально компактная группа,  $Z$  есть  $\sigma$ -компактная открытая подгруппа группы  $G$ . Тогда если на  $\Gamma_0 \cap Z$ -допустимом классе  $\mathbf{M}_Z$  множество  $M_Z \subset Z$  задана  $\Gamma_0 \cap Z$ -мера  $\mu_Z$ , то существует  $\Gamma_0$ -разрешимый класс  $\mathbf{M}$  множеств  $M \subset G$  с  $\Gamma_0$ -мерой  $\mu$  такой, что  $\mathbf{M}_Z = \mathbf{M} \cap Z = \mathbf{M}$  и  $\mu = \mu_Z$  на  $\mathbf{M}_Z$ .*

**Доказательство.** Рассмотрим класс  $\mathbf{E} = \{gM_Z : g \in \Gamma_0, M_Z \in \mathbf{M}_Z\}$ . Докажем, что класс  $\mathbf{E}_{\sigma}$  всевозможных счетных соединений множеств класса  $\mathbf{E}$  является  $\Gamma_0$ -допустимым. Для этого достаточно показать, что класс  $\mathbf{E}_{\sigma}$  замкнут относительно образования вычитаний. Пусть  $E_1 = \bigcup_{n=1}^{\infty} M_{Z1}^{(n)} \in \mathbf{E}_{\sigma}$  и

$$E_2 = \bigcup_{n=1}^{\infty} g_{n1} M_{Z2}^{(n)} \in \mathbf{E}_{\sigma}, \text{ где } g_{n1}, g_{n2} \in \Gamma_0 \ (n=1, 2, \dots), M_{Z1}^{(n)}, M_{Z2}^{(n)} \in \mathbf{M}_Z \ (n=1, 2, \dots).$$

Не нарушая общности, можно предположить, что элементы  $g_{n1}, g_{n2} \ (n=1, 2, \dots)$  принадлежат к одному и тому же смежному классу  $g_n Z \ (n=1, 2, \dots)$ , причем смежные классы  $g_n Z \ (n=1, 2, \dots)$  попарно различны. Поэтому справедливо равенство

$$E_1 - E_2 = \bigcup_n (g_{n1} M_{Z1}^{(n)} - g_{n2} M_{Z2}^{(n)}) = \bigcup_n g_{n1} (M_{Z1}^{(n)} - g_{n1}^{-1} g_{n2} M_{Z2}^{(n)}).$$

Но  $g_{n1}^{-1} g_{n2} \in \Gamma_0 \cap Z$  и, очевидно,  $M_{Z1}^{(n)} - g_{n1}^{-1} g_{n2} M_{Z2}^{(n)} \in \mathbf{M}_Z \ (n=1, 2, \dots)$ . Следовательно,  $E_1 - E_2 \in \mathbf{E}_{\sigma}$ .

Пусть, теперь,  $M \in \mathbf{M} = \mathbf{E}_{\sigma}$ . Тогда существует последовательность  $\{M_n\}$  множеств класса  $\mathbf{E}$  такая, что  $M = \bigcup_n M_n$ , причем смежные классы  $g_n Z \ (n=1, 2, \dots)$ , содержащие множества  $M_n \ (n=1, 2, \dots)$  соответственно, попарно различны. Положим  $\mu(M) = \sum_n \mu_Z(g_n^{-1} M_n)$ . Функция  $\mu$

является однозначной на  $\mathbf{M}$ . Действительно, достаточно заметить, что если  $g_1 M' = M = g_2 M''$ , где  $g_1, g_2 \in \Gamma_0$  и  $M', M'' \in \mathbf{M}_Z$ , то  $M' = g_1^{-1} g_2 M''$  и  $g_1^{-1} g_2 \in \Gamma_0 \cap Z$ . Следовательно,  $\mu_Z(M') = \mu_Z(M'')$ . Легко показать также, что  $\mu$  счетно-аддитивна и  $\Gamma_0$ -инвариантна. Поэтому  $\mu$  является  $\Gamma_0$ -мерой на  $\mathbf{M}$ .

Наконец, заметим, что равенства  $M \cap Z = M_Z$  и  $\mu = \mu_Z$  на  $M_Z$  проверяются непосредственно. Теорема доказана.

**Следствие теоремы 5.** Мера Хаара в локально компактной группе  $G$  является  $\Gamma_0$ -мерой типа (B).

С помощью доказательства теоремы 6 нетрудно показать, что справедлива

**Теорема 7.** Пусть  $M$  есть  $\Gamma_0$ -разрешимый класс множеств  $M \subset G$  с  $\Gamma_0$ -мерой  $\mu$  на нем;  $Z$  —  $\sigma$ -компактная открытая подгруппа группы  $G$ . Тогда

1<sup>o</sup>. Для того чтобы  $\Gamma_0$ -разрешимый класс  $M$  был расширимым, необходимо и достаточно, чтобы  $\Gamma_0 \cap Z$ -разрешимый класс  $M \cap Z$  множеств  $M_Z \subset Z$  был расширимым.

2<sup>o</sup>. Для того чтобы  $\Gamma_0$ -мера  $\mu$  была продолжимой, необходимо и достаточно, чтобы  $\Gamma_0 \cap Z$ -мера  $\mu_Z$  ( $\mu_Z$  — след функции  $\mu$  на  $M \cap Z$ ) была продолжимой.

**Замечание.** Теорема 7 позволяет при решении задачи расширимости  $\Gamma_0$ -разрешимого класса  $M$  множеств  $M \subset G$  и продолжимости  $\Gamma_0$ -меры ограничиться случаем, когда данная топологическая группа  $G$   $\sigma$ -компактна.

**Теорема 8.** Пусть  $Z$  есть  $\sigma$ -компактная открытая подгруппа группы  $G$ . Если множество  $A \subset Z$  является  $\Gamma_0 \cap Z$ -абсолютно нульмерным в  $Z$ , то  $A$  является также и  $\Gamma_0$ -абсолютно нульмерным множеством в  $G$ .

**Доказательство.** Пусть  $M_Z$  есть  $\Gamma_0 \cap Z$ -разрешимый класс множеств  $M_Z \subset Z$  с  $\Gamma_0 \cap Z$ -мерой  $\mu_Z$  на нем и  $A \in M_Z$ ,  $\mu_Z(A) = 0$ . Пополнив класс  $M_Z$  по отношению к  $\mu_Z$  и затем применяя теорему 6, имеем: для каждой счетной  $\Gamma_0$ -конфигурации  $A'$  множества  $A$  существует  $\Gamma_0$ -разрешимый класс  $M$  с  $\Gamma_0$ -мерой  $\mu$  на нем такой, что  $A' \in M$  и  $\mu(A') = 0$ . Аналогично покажем, что если  $M$  — произвольный  $\Gamma_0$ -разрешимый класс, содержащий множество  $A'$ , а  $\mu$  — любая  $\Gamma_0$ -мера на нем, то  $\mu(A') = 0$ . Теорема доказана.

Обозначим через  $\phi_G$  начальное порядковое число мощности  $2^{\aleph_0}(G)$ . Можно доказать следующие теоремы:

**Теорема I.** Пусть  $\bar{\mu}$ -мера Хаара — Лебега в  $\sigma$ -компактной группе  $G$ . Тогда существует  $\bar{\mu}$ -неизмеримое множество  $A \subset G$ , удовлетворяющее условиям:

1<sup>o</sup>. Множество  $A$  является  $\Gamma$ -абсолютно нульмерным в  $G$ .

2<sup>o</sup>. Множество  $A$  представимо в виде  $A = \bigcup_{0 \leq \alpha < \phi_G} A_\alpha$ , где слагаемые не пересекаются и для любого множества  $B$  мощности

$\overline{\overline{B}} < \overline{\overline{G}}$  множества  $A_\alpha - B$  ( $0 \leq \alpha < \psi_G$ ) являются  $\bar{h}$ -массивными.

Теорема II. Существует  $\bar{h}$ -неизмеримое  $\Gamma$ -неисчезающее и  $\Gamma$ -неисчерпывающее в  $G$  множество  $E$   $\sigma$ -компактной группы  $G$ , которое представимо в виде  $E = \bigcup_{k=0}^{\infty} A_k$ , где слагаемые попарно не пересекаются и удовлетворяют условиям 1<sup>0</sup> и 2<sup>0</sup> теоремы I.

Следствие. Сумма счетного числа множеств,  $\Gamma$ -абсолютно нульмерных в  $G$ , может не быть множеством,  $\Gamma$ -абсолютно нульмерным в  $G$ .

Теорема III. Пусть  $G$  есть  $\sigma$ -компактная группа;  $F$ —произвольная группа взаимно-однозначных преобразований группы  $G$  мощности  $\overline{\overline{F}} \leq 2^{(\Gamma)}(G)$ . Тогда существуют  $\psi_G$ -последовательности  $\{R_\alpha\}_{\alpha < \psi_G}$ ,  $\{K_\alpha\}_{\alpha < \psi_G}$ ,  $\{M_\alpha\}_{\alpha < \psi_G}$ , удовлетворяющие следующим условиям:

1<sup>0</sup>.  $K_\alpha$  ( $0 \leq \alpha < \psi_G$ ) являются попарно непересекающимися подмножествами множества  $W(\psi_G)$  мощности  $2^{(\Gamma)}(G)$  и

$$W(\psi_G) = \bigcup_{0 \leq \alpha < \psi_G} K_\alpha.$$

2<sup>0</sup>.  $R_\alpha$  ( $0 \leq \alpha < \psi_G$ ) являются попарно непересекающимися подмножествами группы  $G$  и

$$G = \bigcup_{0 \leq \alpha < \psi_G} R_\alpha; \quad M_\alpha = \bigcup_{\sigma \in K_\alpha} R_\sigma \quad (0 \leq \alpha < \psi_G).$$

3<sup>0</sup>.  $\{\overline{\overline{R}_\alpha}\}_{\alpha < \psi_G}$  является неубывающей  $\psi_G$ -последовательностью кардинальных чисел, удовлетворяющей условию

$$\overline{\overline{R}_0} = 2 \quad \text{и} \quad \overline{\overline{R}_\alpha} = \max(\aleph_0, \alpha) \quad (0 < \alpha < \psi_G).$$

4<sup>0</sup>. Пусть  $\Phi$ —любое подмножество множества  $W(\psi_G)$ . Если  $W(\psi_G)$  конфинально множеству  $\Phi$ , то сумма  $\bigcup_{\alpha \in \Phi} R_\alpha$  является в абстрактном смысле почти  $F$ -инвариантным множеством. Если же  $W(\psi_G)$  неконфинально множеству  $\Phi$ , то  $\overline{\overline{\bigcup_{\alpha \in \Phi} R_\alpha}} < 2^{(\Gamma)}(G)$ .

5<sup>0</sup>. Если  $\Phi$ —любое непустое подмножество  $W(\psi_G)$ , отличное от  $W(\psi_G)$ , то сумма  $\bigcup_{\alpha \in \Phi} M_\alpha$ , в частности каждое  $M_\alpha$  ( $0 \leq \alpha < \psi_G$ ), является собственно почти  $F$ -инвариантным множеством.

Замечание 1<sup>0</sup>. Определение [собственно] почти  $F$ -инвариантного множества получается из определения (3.1) гл. III, работы [3] путем замены символа  $R^n$  на  $G$ ,  $l$  на  $\bar{h}$ ,  $\aleph$  на  $2^{(\Gamma)}(G)$ .

Замечание 2<sup>o</sup>. Для случая [эвклидова пространства теоремы I, II, III доказаны Ш. С. Пхакадзе (см. [3], гл. V).]

Академия наук Грузинской ССР  
Тбилисский математический  
институт  
им. А. М. Размадзе

(Поступило в редакцию 1.4.1966)

### გათხმათიცა

#### ა. თეორემათიცა

თოპოლოგიურ ჯგუფებზე ინდარიანტული ზომის თვისებები არადისკრეტულ-ლოკალუ-  
რად კომპაქტურ ტოპოლოგიურ ჯგუფებში. განზოგადებულია რიგი ცნებებისა

და შედეგებისა, რომლებიც მიღებულია ლებეგის ტიპის ზომებისათვის [3].  
რომ პარის ზომა ნებისმიერ არადისკრეტულ-ლოკალურად კომ-  
პაქტურ  $G$  ჯგუფში არის ( $B$ ) ტიპის ზომა. მიღებულია რიგი ახალი შედეგები-  
სა. სახელობრ, მოძებნილია აუცილებელი და საკმარისი პირობა იმისა, რომ  
ჯგუფის ქვესიმრავლეთა  $\Gamma_0$ -ამოხსნადი კლასი იყოს გაფართოებადი, აგრეთვე  
იმისა, რომ  $\Gamma_0$ -ამოხსნად კლასზე განსაზღვრული  $\Gamma_0$ -ზომა იყოს გაგრძელე-  
ბადი. მიღებული შედეგები საშუალებას იძლევა,  $\Gamma_0$ -ამოხსნადი კლასის გა-  
ფართოებადობისა და  $\Gamma_0$ -ზომის გაგრძელებადობის საკითხის შესწავლისას  
განვიხილოთ მხოლოდ  $\sigma$ -კომპაქტური ტოპოლოგიური ჯგუფები.

#### დათვალიური ლიტერატურა — ЦИТИРОВАННАЯ ЛИТЕРАТУРА

1. П. Халмош. Теория меры. М., 1953.
2. A. Hulanicki. On cardinal numbers related with locally compact groups. Bull. Acad. Polon. sci. sér. sci. math., astron. et phys., 6, № 2, 1958, 67 — 70.
3. Ш. С. Пхакадзе. К теории лебеговской меры. Труды Тбилисск. математ. ин-та АН ГССР, т. XXV, 1958, 3 — 271.
4. Ф. Хаусдорф. Теория множеств. М. — Л., 1937.



КИБЕРНЕТИКА

В. В. ЧАВЧАНИДЗЕ

К ВОПРОСУ О РАСШИФРОВКЕ КОДА ДНК (РНК) И  
БИОЛОГИЧЕСКИХ СОЕДИНЕНИЯХ ВКЛЮЧЕНИЯ

(Представлено академиком П. А. Кометиани 6.6.1966)

На основании понятий о соединениях включения вводится новый теоретический код (код 1961 г.)<sup>1</sup>. Обсуждаются биохимические основы нового кода. Коды 1958 и 1961 гг. сравниваются с экспериментальными данными. Код 1958 г., предложенный в работе [1], основывался на двухнитевой модели ДНК Уотсона и Крика [3], тогда как биохимические исследования последних лет показали, что ДНК играет роль матрицы для синтеза *m*-РНК, которая, в свою очередь, определяет последовательность аминокислот в полипептидной цепи. С другой стороны, активированные аминокислоты к полисоме (место, где осуществляется синтез белка) доставляются *s*-РНК, причем только три неспаренных основания каждой *s*-РНК играют роль „кода“ для присоединения к ним данной активированной аминокислоты.

В связи с этим смысл постулата 1 должен быть несколько расширен и должен объяснить не только двухнитевую структуру ДНК, но и правило синтеза на одной из ветвей ДНК комплементарной ей ветви *m*-РНК, а также эквивалентность триплетов *s* и *m*-РНК, определяющих место присоединения данной аминокислоты.

Представление о присоединении аминокислоты к неспаренному триплету *s*-РНК позволяет сформулировать новый код, отличный от кода, предложенного нами в 1958 г.

Постулат *K* (об уровневой независимости кода). Свойства материальных оснований в триплетах, образующих в совокупности с соседними сахарными и фосфатными группами соединения включения (клатратные соединения), не зависят от порядка расположения оснований внутри „полости“, образуемой триплетом. Понятие „полости“ соединения включения соответствует общепринятым.

<sup>1</sup> Доклад об этом новом коде был прочитан автором на I Всесоюзном симпозиуме по кибернетике в г. Тбилиси в 1961 г. и на Объединенной сессии Отделения биологических наук АН СССР и Научного совета по комплексной проблеме „Кибернетика“ при Президиуме АН СССР в г. Москве в апреле 1962 г. [2]. На основе предложенного кода было указано, что пролин кодируется триплетом {ccc} и в сообщениях об экспериментальных работах содержится явная неточность, поскольку в коде для всех аминокислот присутствует урацил, что недопустимо как с точки зрения кода 1958 г. (не более чем в 17 триплетах), так и с точки зрения последнего кода (не более чем в 10 триплетах).



В таком случае легко показать, что мы будем иметь всего 20 триплетов, несущих существенно различную генетическую информацию как в случае однонитевой (РНК), так и в случае двухнитевой (ДНК) системы.

Таким образом, различную генетическую нагрузку применительно к одной ветви *m*-РНК будут нести триплеты типа *AAA*, *AAU*, *AUC*. Степени вырождения их сильно различаются: триплеты типа *AAA* не вырождены, триплеты типа *AUC* вырождены трижды, а триплеты типа *AUC* вырождены шесть раз. Таким образом, число возможных триплетов из четырех „букв“ есть  $4 \times 1 + 12 \times 3 + 4 \times 6 = 64$ , где 1, 3, 6 — степени вырождения такого типа оснований соответственно.

Таким образом, внешне код 1961 г. напоминает код Гамова [4], в содержательном же отношении они совершенно различны: в коде Гамова разрешается произвольная перестановка оснований в триплете, но ничего не говорится о биохимическом смысле и внутренней кодировке этих перестановок: в коде же 1961 г., несмотря на то что расположение оснований в триплете не фиксировано, предполагается, что порядок нуклеотидов диктуется той „топологией“ полости, которая осуществляет „включение“ соответствующей аминокислоты, определяемой сочетанием водородных связей и стереохимической структурой полости, выражаемой на языке  $L_3^2$  индуктивной логики Карнапа [5].

Как известно, в состав ДНК (РНК) входят два типа оснований: пурины (*A*, *G*) и пиримидины (*T(U)*, *C*). Первые имеют размеры порядка  $7\text{\AA}$ , им приписывается свойство быть длинными, вторые же — порядка  $5\text{\AA}$ , т. е. короткие. Кроме того, *A* с *T* соединяются двумя водородными связями, а *G* с *C* — тремя. Воспользуемся словарем и языком теории индуктивной логики Карнапа [5]. Обозначим свойство быть длинным основанием через  $P_1$ , свойство быть коротким — через его отрицание  $\bar{P}_1$ . Обозначим свойство иметь три связи через  $P_2$ , а свойство иметь две связи — через его отрицание  $\bar{P}_2$  (как в случае триггеров, где сигнал положительной полярности можно считать за 1 или за истину, а отрицательной полярности — за 0 или за ложь). С точки зрения математической логики и обычной теории кодирования [5] мы могли бы считать  $P_1$  и  $P_2$  предикатами, представляющими как свойства материальных носителей (оснований), закрепленных на разных уровнях. Первый (верхний) уровень мы назовем А-уровнем, второй (средний) — В-уровнем, третий (нижний) — С-уровнем. Эти уровни не символические, а образуются при помощи оснований, закрепленных на краях спиралей и связанных между собой по определенным законам. Поэтому мы можем считать, что А, В, С суть определенные предметы в терминах логики предикатов [5], обладающие предикативными свойствами  $P_1$  и  $P_2$  (следовательно, и  $\bar{P}_1$  и  $\bar{P}_2$ ), проявляющимися на самом деле как стереохимическая и валентная ха-

ктеристика оснований, закрепляемых на этих уровнях. В таком случае один из возможных триплетов можно описать, например, так:

$$\left\{ \begin{array}{lll} P_1(A) & P_1(B) & P_1(C) \\ P_2(A) & P_2(B) & P_2(C) \end{array} \right\},$$

т. е. все основания на уровнях A, B, C (предметы по Карнапу) обладают одноместными предикативными свойствами  $P_1$ ,  $P_2$ . Может встретиться, например, и такой набор:

$$\left\{ \begin{array}{lll} P_1(A) & P_1(B) & P_1(C) \\ P_2(A) & P_2(B) & \bar{P}_2(C) \end{array} \right\}.$$

Очевидно, что всего будем иметь 64 различных описания состояний триплетов. На языке индуктивной логики по Карнапу мы имеем случай языковой системы  $L_N^{\pi} = L_3^3$ .  $N=3$  — это число предметов,  $\pi$  — число различных примитивных предикатов. Имеем, таким образом, 64 описания состояния (state description):

$$s_1 = \left\{ \begin{array}{lll} P_1(A) & P_1(B) & P_1(C) \\ P_2(A) & P_2(B) & P_2(C) \end{array} \right\},$$

$$s_2 = \left\{ \begin{array}{lll} P_1(A) & P_1(B) & P_1(C) \\ P_2(A) & P_2(B) & \bar{P}_2(C) \end{array} \right\},$$

.....

$$s_{64} = \left\{ \begin{array}{lll} \bar{P}_1(A) & \bar{P}_1(B) & \bar{P}_1(C) \\ \bar{P}_2(A) & \bar{P}_2(B) & \bar{P}_2(C) \end{array} \right\}.$$

Очевидно, конъюнкция совместных свойств  $P_1$  и  $P_2$  может быть истолкована в виде четырех несовместных свойств (в нашем случае четыре несовпадающих между собой основания). В самом деле, мы можем образовать  $Q$ -предикаты и соответствующие им  $Q$ -свойства следующим образом:

$$P_1(A) \cdot P_2(A) = Q_1(A),$$

$$P_1(A) \cdot \bar{P}_2(A) = Q_2(A),$$

$$\bar{P}_1(A) \cdot P_2(A) = Q_3(A),$$

$$\bar{P}_1(A) \cdot \bar{P}_2(A) = Q_4(A).$$

Тогда в соответствии с обозначениями  $Q_1(A)$  будем называть свойством основания гуанин,  $Q_2(A)$  — аденин,  $Q_3(A)$  — цитозин,  $Q_4(A)$  — тимин. Каждый предмет в этом описании имеет одно и только одно из этих свойств.

Рассмотрим, например, триплет  $\left\{ \begin{array}{c} A \\ G \\ C \end{array} \right\}$ , который можно записать в виде

$$Q_2(A) \cdot Q_1(B) \cdot Q_3(C) = (\bar{P}_1 \cdot P_2)_A \cdot (P_1 \cdot P_2)_B \cdot (P_1 \cdot \bar{P}_2)_C,$$

где  $Q_2(A)$  означает аденин, стоящий на первом месте в триплете,  $Q_1(B)$  — гуанин, стоящий на втором месте,  $Q_3(C)$  — соответственно цитозин

стоящий на третьем месте. Согласно Карнапу [5], можно найти всё го 20 существенно различных описаний состояний на языке  $Q_i$ . Если предположить, что совокупное свойство оснований на трех уровнях А, В и С (в триплете) не зависит от того, на каком уровне какое основание расположится ( $Q_1$ ,  $Q_2$ ,  $Q_3$  или  $Q_4$ ), то получится постулат  $K$  в его биохимическом истолковании (табл. 1). Постулат  $K$  обеспечивает групповые свойства, при которых не меняется энергетическое состояние триплета как центральной полости, образующей соединение включения с соответствующей аминокислотой. В табл. 1 приведено 20 существенно различных триплетов на основе постулата  $K$ . Это означает, что задача поиска

Таблица 1

Существенно различные триплеты при законе уровневой  
независимости (постулат  $K$ )

$K_1=Q_1, Q_2, Q_1,$	$K_2=Q_1, Q_1, Q_2,$	$K_3=Q_1, Q_1, Q_3,$	$K_4=Q_1, Q_1, Q_4,$
$K_5=Q_2, Q_2, Q_1,$	$K_6=Q_2, Q_2, Q_2,$	$K_7=Q_2, Q_2, Q_3,$	$K_8=Q_2, Q_2, Q_4,$
$K_9=Q_3, Q_3, Q_1,$	$K_{10}=Q_3, Q_3, Q_2,$	$K_{11}=Q_3, Q_3, Q_3,$	$K_{12}=Q_3, Q_3, Q_4,$
$K_{13}=Q_4, Q_4, Q_1,$	$K_{14}=Q_4, Q_4, Q_2,$	$K_{15}=Q_4, Q_4, Q_3,$	$K_{16}=Q_4, Q_4, Q_4,$
$K_{17}=Q_1, Q_2, Q_3,$	$K_{18}=Q_1, Q_2, Q_4,$	$K_{19}=Q_1, Q_3, Q_4,$	$K_{20}=Q_2, Q_3, Q_4,$

порядка расположения оснований полностью снимается, если будут подтверждены правила кодирования в соответствии с постулатом  $K$ .

О месте прикрепления аминокислоты к триплетам достоверно ничего не известно. В соответствии с постулатом  $K$  утверждается, что здесь имеет место связь типа включения.

В соединениях типа включения образуются объемные, глобальные связи между всеми молекулярными фрагментами. При этом не возникает каких-нибудь главных или побочных валентностей, а одна молекула пространственно включает в себя часть другой.

Необходимая для этого полость может находиться либо в отдельной молекуле, либо возникает в пространственной решетке в результате совместного схождения многих молекул или фрагментов. Сущность постулата  $K$  заключается в инвариантности сил связи относительно всех возможных перестановок оснований в триплетах. Встает главный вопрос: что же является носителем информационной нагрузки, если код не зависит от расположения оснований? Информационная нагрузка триплета оснований обусловлена числом валентных связей и интегральным, объемным энергетическим эффектом создаваемых полостей (рис. 1). На рис. 1 три «рукава» соответствуют трем связям, длина изображена масштабно. Энергия взаимодействия не зависит от порядка расположения длинных, коротких, двух- или трехвалентных оснований.

Как отмечалось в работе Н. П. Дубинина [6], современная генетика, опирающаяся на новые факты, полученные в результате экспериментального изучения структуры РНК и ДНК, более не связана с предположениями относительно неизменности генов, поскольку отрицается существование гена как субстанции.

Мы исходим из того факта, что химические взаимодействия высшего типа (соединения типа включения), обусловленные стереохимией и топохимией определенных комбинаций оснований внутри полостей с аминокислотами, определяют генетические закономерности. Надо предполагать, что многообразие биомира связано именно с особыми степенями свободы молекул типа „полостей“, „клешней“ и „кулаков“ (адендов). Такого рода биохимические соединения имело бы смысл называть биоклатратными соединениями. В данном случае играют роль не только чистые обычные химические взаимодействия (ионного, электронного, обменного или координационного типа), но и взаимодействия высшего порядка — биоклатрата характера, когда полости „захватывают“ в себя фрагменты больших молекул частично слабыми электронно-обменными „обволакивающими“ силами, частично силами геометрически-механического типа (прямой „захват в клешню“) с нарушением закона кратных отношений, с проявлением большой чувствительности к тепловым эффектам, к воде и другим факторам, влияющим на геометрические размеры „клешни“. Большое значение совокупной энергии связи совмещено с малым значением связи аденда с одним или двумя атомами, находящимися в „горловине“ клешни или в ином месте. Это обеспечивает необычайную подвижность связей под влиянием не только химических, но и физических факторов. Последнее означает, что в силу вступают

законы статистической физики, что не имеет места ни для каких химических соединений, кроме соединений включения. Мы утверждаем, что именно это обстоятельство предопределяет необычайное богатство динамических стохастических проявлений жизни как особой формы существования биоклатратных соединений. Этим должны объясняться метаморфозы бактерий, взаимодействия вирусов и бактерий и т. п. В этом смысле особый интерес представляют опыты Дотти [7].

Нам представляется, что использование новых математических методов и кибернетических концепций, опирающихся на современные экс-

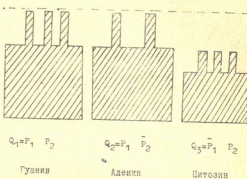


Рис. 1

Таблица 2



Аминокислоты	Код Очоа—Ниренберга 1962 г. [8]	Код 1968 г. Равнозначение оснований фиксировано	Соответствие кода 1968 г. коду Очоа—Ниренберга	Код 1961 г. Внутри триплета возможны перестановки	Соответствие кода 1961 г. коду Очоа—Ниренберга 1962 г.	Новые экспериментальные данные Очоа [9] и Ниренберга [10, 11]
Фенилаланин Аланин	UUU UCG	UUU CUG		UUU ACG	Различие в одной букве U—A	UUU, UUC GCU, GCC, GCA, GCG
Аргинин	UCG	UGC		CGG	Различие в одной букве U—C	GGU, GGC, CGA, CGG, AAG
Аспарагиновая кислота Аспарагин	UAG	AUC(UAG)*		AGG	Различие в одной букве U—G	GAU, GAC, AAC, AAG
Цистеин	UAA, UAC	ACU		AAC	Различие в одной букве U—C	AAU, AAC, AUC
Глутаминовая кислота Глутамин Глицин	UAG UCG UGG	GCG	Различие в двух буквах	AAU	Различие в одной букве U—C, U—G	GAA, AUC, AUG, ACG
Гистидин	UAC	CUG	Различие в одной букве	CGG	Различие в одной букве U—A	CAA, GAG, AUG, AAG
Иsoleйцин Лейцин Лизин	UUA UUC, UUG, UUA UAA	UUA UCU CGU	Нет совпадения	UUC	Различие в одной букве U—G	GGU, GGC, GGA
Метионин Пролин	UAG UCC	AUC(UAG) CCC	Различие в одной букве	ACC	Различие в одной букве U—C	CAU, CAC
Серин	UUC	UUC		UCC	Различие в одной букве U—C	AUU, AUC, AAU CUU, CUC, AUU, UUU, GUU AAA, AAU
Тreonин Триптофан Тирозин	UAC, UCC UGG UUA	UCC ACC(UGG) UAU		ACU UGG UAA	Различие в одной букве U—A	UUC, UCC, AGU, UGC ACU, ACC, ACA GGU UAU, UAC
Валин	UUG	UGU		UUG		GUU, GAU

периментальные данные, может внести определенную ясность в вопрос о генетическом коде, который довольно долго не поддавался истолкованию. Предложенный нами новый код объясняет почти все особенности имеющихся на сегодня экспериментальных данных и позволяет предсказать места, в которых эксперимент должен быть уточнен.

Таблица 3

Аминокислоты	Теоретический код, полученный на основании анализа экспериментальных данных	Описание теоретического кода на языке индуктивной логики
Фенилаланин	UUU	(Q <sub>4</sub> , Q <sub>4</sub> , Q <sub>3</sub> )
Аланин	GAC	(Q <sub>1</sub> , Q <sub>3</sub> , Q <sub>3</sub> )
Аргинин	CCG	(Q <sub>3</sub> , Q <sub>3</sub> , Q <sub>1</sub> )
Аспарагиновая кислота	GGA	(Q <sub>1</sub> , Q <sub>1</sub> , Q <sub>2</sub> )
Аспарагин	AAC	(Q <sub>2</sub> , Q <sub>3</sub> , Q <sub>2</sub> )
Цистеин	GGC	(Q <sub>1</sub> , Q <sub>1</sub> , Q <sub>3</sub> )
Глутаминовая кислота	GAA	(Q <sub>1</sub> , Q <sub>2</sub> , Q <sub>2</sub> )
Глутамин	CUG	(Q <sub>3</sub> , Q <sub>4</sub> , Q <sub>3</sub> )
Глицин	GGG	(Q <sub>1</sub> , Q <sub>1</sub> , Q <sub>1</sub> )
Гистидин	ACC	(Q <sub>2</sub> , Q <sub>3</sub> , Q <sub>3</sub> )
Изолейцин	AUU	(Q <sub>2</sub> , Q <sub>4</sub> , Q <sub>4</sub> )
Лейцин	UUC	(Q <sub>4</sub> , Q <sub>4</sub> , Q <sub>2</sub> )
Лизин	AAA	(Q <sub>2</sub> , Q <sub>2</sub> , Q <sub>2</sub> )
Метионин	GAU	(Q <sub>1</sub> , Q <sub>2</sub> , Q <sub>4</sub> )
Пролин	CCC	(Q <sub>3</sub> , Q <sub>3</sub> , Q <sub>3</sub> )
Серин	CCU	(Q <sub>3</sub> , Q <sub>3</sub> , Q <sub>4</sub> )
Тreonин	UCA	(Q <sub>4</sub> , Q <sub>3</sub> , Q <sub>3</sub> )
Триптофан	GGU	(Q <sub>1</sub> , Q <sub>1</sub> , Q <sub>4</sub> )
Тирозин	UAA	(Q <sub>4</sub> , Q <sub>3</sub> , Q <sub>2</sub> )
Валин	UUG	(Q <sub>4</sub> , Q <sub>4</sub> , Q <sub>1</sub> )

Число аминокислот, код которых содержит хотя бы одно основание: A—10; G—10; C—10; U—10. Число оснований в различных аминокислотах: A—15; G—15; C—15; U—15. Именно эти свойства должны иметь место по коду 1961 г.

В табл. 2 приведен результат анализа теоретических и экспериментальных кодовых данных. Проанализированы экспериментальные данные 1962 г. к моменту доклада (1962 г.) как по коду 1958 г., так и по коду 1961 г. Эта таблица приводилась на Объединенной сессии Отделения биологических наук и Научного совета по комплексной проблеме „Кибернетика“ АН СССР в г. Москве в апреле 1962 г.

В табл. 3 приведено кодовое соответствие на основе анализа последних экспериментальных данных (до 1966 г.). Как видим, данные табл. 3 согласуются с данными табл. 1. Сейчас с большей уверенностью можно утверждать справедливость постулата К (код 1961 г.) об отсутствии зависимости кодирования аминокислот от порядка расположения оснований внутри кодонов. В серии работ, выполненных нами совместно



с К. С. Квинихидзе, будут приведены методика анализа экспериментальных данных и доказательства кода 1961 г. на основании совокупных экспериментальных данных 1961 — 1965 гг.

В настоящее время имеется полное основание утверждать, что уровневая независимость оснований подтверждает с информационно-генетической точки зрения биокларатный характер соединений РНК и ДНК и позволяет конкретно подтвердить таблицу кодового соответствия на основе кода 1966 г.

Таким образом, проблема поиска зависимости первичного алфавита РНК и ДНК от порядка оснований в кодонах будет полностью снята в случае окончательного подтверждения данных табл. 3 по коду 1961 г.

Академия наук Грузинской ССР

(Поступило в редакцию 14.4.1966)

ДОКЛАДЫ АКАДЕМИИ НАУК ГРУЗИНСКОЙ АССАДЫ

### 3. მათემატიკა

დნმ (რგმ) კოდის გაუმჯობესა და გიოლოგიური ჩართვის  
ნამრთების საკითხებისათვის

რ ე ზ ი უ მ ე

სტატიაში ჩართვის შენაერთების ცნების საფუძველზე შემოტანილია ახა-  
ლი თეორიული კოდი: ნუკლეიინის მეცა — ცილა (1961 წ. კოდი). განიხილება  
ახალი კოდის ბიოქიმიური საფუძვლები. შესრულებულია 1958 და 1961 წლის  
კოდების შედარება სხვადასხვა ავტორის ექსპერიმენტულ მონაცემებთან.

### დამრაბლები ლიტერატურა — ЦИТИРОВАННАЯ ЛИТЕРАТУРА

1. В. В. Чавчанидзе. О первичном алфавите дезоксирибонуклеиновой кислоты. Биофизика, т. III, вып. IV, 1958, 391—395.
2. В. В. Чавчанидзе. К вопросу о расшифровке кода ДНК. Доклад на Сессии общего собрания Отделения биологических наук АН СССР, посвященной биологическим аспектам кибернетики, М., 1962.
3. J. D. Watson. The structure of DNA. Cold Spring Harbor Symposia on Quantitative, vol. 18, Viruses, 1953, 23.
4. G. Gamow. Translation of Information in the living cell. Nature, vol. 173, 1954.
5. R. Carnap. Logical foundation of Probability, vol. 1. Chicago University Press, 1958.
6. Н. П. Дубинин. Проблемы физических и химических основ наследственности. Биофизика, т. I, вып. 8, 1965.
7. П. Доти. Проблемы физических и химических основ наследственности. Вестник АН СССР, № 9, 1960.
8. Сборник „Живая клетка“. ИЛ, М., 1962, 222.
9. J. F. Speyer, S. Ochoa. Synthesis and Structure of Macromolecules. Cold Spring Harbor Symposia on Quantitative Biology, vol. 28, 1963, 549.
10. M. W. Nirenberg et al. Synthesis and Structure of Macromolecules. Cold Spring Harbor Symposia on Quantitative Biology, vol. 28, 1963, 559.
11. R. Bribacombe et al. RNA Codewords and protein synthesis, VIII. Nucleotide sequences of synonym codons for arginine, valine, cysteine and alanine. Proceedings of the National Academy of Sciences of the United States of America, vol. 54, 3, 1965, 954—960.



КИБЕРНЕТИКА

Т. Д. ЭБРАЛИДЗЕ

ТЕРМОДИНАМИЧЕСКИЙ ПОДХОД К ДВОИЧНОМУ  
КАНАЛУ С ШУМОМ

(Представлено членом-корреспондентом Академии М. М. Мирианашвили 21.1.1966)

Цель данной работы заключается в показе того, что в двоичном канале с шумом предельная скорость передачи информации достигается таким источником информации, который при элементарном акте передачи информации обеспечивает равенство нулю среднего прироста энтропии канала.

Для этой цели рассмотрим канал с шумом, который находится в состоянии термодинамического равновесия при абсолютной температуре  $T$ .

Пусть передача информации происходит с помощью символов 0 и 1. Допустим, что для передачи 1 используем импульс с энергией  $E$ , а 0 передаем без энергии. Обозначим через  $p$  вероятность передачи 1 и через  $q$  — вероятность передачи 0. Очевидно, что

$$p + q = 1 \quad (1)$$

и такой источник информации будет иметь среднее количество информации на один символ, равное [1]

$$H = -p \log_2 p - q \log_2 q, \quad (2)$$

где количество информации выражено в двоичных единицах.

Так как канал с шумом, при передаче информации на выходе канала можно получить вместо нуля единицу и вместо единицы — нуль.

Обозначим через  $W_{11}$  и  $W_{10}$  вероятность перехода единицы в единицу и единицы в нуль, а через  $W_{00}$  и  $W_{01}$ , вероятность перехода нуля в нуль и нуля в единицу. Очевидно, что

$$\begin{aligned} W_{11} + W_{10} &= 1, \\ W_{00} + W_{01} &= 1. \end{aligned} \quad (3)$$

Так как на выходе канала вероятность ошибочного приема символа будет  $pW_{10} + qW_{01}$ , а вероятность правильного приема  $pW_{11} + qW_{00}$ , то для определения действительно переданного символа нам понадобится дополнительно количество информации

$$H_1 = -(\rho W_{10} + q W_{01}) \log_2 (\rho W_{10} + q W_{01}) - \\ - (\rho W_{11} + q W_{00}) \log_2 (\rho W_{11} + q W_{00}). \quad (4)$$

Поэтому в действительности на выходе двоичного канала с шумом при передаче одного символа мы получаем количество информации

$$R = H - H_1 = -\rho \log_2 \rho - q \log_2 q + \\ + (\rho W_{10} + q W_{01}) \log_2 (\rho W_{10} + q W_{01}) + \\ + (\rho W_{11} + q W_{00}) \log_2 (\rho W_{11} + q W_{00}). \quad (5)$$

Очевидно, что  $R$  есть скорость передачи информации на один символ.

Когда по каналу передается единица, а на выходе получаем нуль, тогда ясно, что канал поглощает энергию  $E$ , а при переходе нуля в единицу канал испускает энергию  $E$ . Поэтому при элементарном акте передачи информации с вероятностью  $\rho W_{10}$  энергия канала увеличится на величину  $E$ , а с вероятностью  $q W_{01}$  уменьшится на ту же величину.

Как известно, при изменении энергии термодинамической системы на величину  $E$  ее энтропия изменится на величину  $\frac{E}{T}$ , где  $T$ —температура термодинамической системы при равновесии. Согласно этому, при элементарном акте передачи информации в канале с шумом с вероятностью  $\rho W_{10}$  энтропия канала увеличится на величину  $\frac{E}{T}$ , а с вероятностью  $q W_{01}$  уменьшится на ту же величину. Поэтому средний прирост энтропии двоичного канала с шумом в элементарном акте передачи информации будет

$$\overline{\Delta S} = \frac{E}{T} \rho W_{10} - \frac{E}{T} q W_{01}. \quad (6)$$

Покажем, что (5) достигает своего максимального значения для таких  $\rho$  и  $q$ , для которых выражение (6) равно нулю.

Пусть  $\rho$  и  $q$  такие, что (6) равно нулю, т. е.

$$\frac{E}{T} (\rho W_{10} - q W_{01}) = 0.$$

Отсюда, согласно (1), можно найти

$$\rho = \frac{W_{01}}{W_{10} + W_{01}}, \\ q = \frac{W_{10}}{W_{10} + W_{01}}. \quad (7)$$

С учетом (7) (5) примет вид

$$\begin{aligned}
 R = & -\frac{W_{01}}{W_{10} + W_{01}} \log_2 \frac{W_{01}}{W_{10} + W_{01}} - \\
 & -\frac{W_{10}}{W_{10} + W_{01}} \log_2 \frac{W_{10}}{W_{10} + W_{01}} + \frac{2W_{10} \cdot W_{01}}{W_{10} + W_{01}} \log_2 \frac{2W_{10} \cdot W_{01}}{W_{10} + W_{01}} + \\
 & + \frac{W_{11}W_{01} + W_{00}W_{10}}{W_{10} + W_{01}} \log_2 \frac{W_{11}W_{01} + W_{00}W_{10}}{W_{10} + W_{01}}. \quad (8)
 \end{aligned}$$

Пусть канал есть бинарный и симметричный, т. е.  $W_{10} = W_{01} = Q$ , а  $W_{11} = W_{00} = 1 - Q$ . Здесь  $Q$ —вероятность ошибочного приема символа. В этом случае (8) примет вид

$$R = 1 + Q \log_2 Q + (1 - Q) \log_2 (1 - Q), \quad (9)$$

что является формулой Шеннона [1] для пропускной способности двоичного симметричного канала с шумом на один символ. Так как пропускная способность является максимальной скоростью передачи информации, то наше предположение доказано.

Формула (8) является формулой для пропускной способности двоичного несимметричного канала. Эта формула, как убедились, переходит в формулу Шеннона при допущении, что канал является симметричным.

Так как максимальная скорость передачи информации достигается при  $\overline{\Delta S} = 0$ , то 0 будет минимальным значением для прироста энтропии канала. Поэтому в общем виде для прироста энтропии канала с шумом в элементарном акте передачи информации имеем

$$\overline{\Delta S} \geq 0. \quad (9)$$

Таким образом, для канала с шумом процесс передачи информации является необратимым или в крайнем случае обратимым и при этом достигается максимальная скорость передачи информации.

Из (9) и (6) получим, что

$$\frac{p}{q} \geq \frac{W_{01}}{W_{10}}. \quad (10)$$

Если вероятность передачи 0 и 1 одинакова, т. е.  $p = q$ , из (10) получим, что вероятность перехода единицы в нуль в канале с шумом более вероятна, чем обратный переход

$$W_{10} \geq W_{01}.$$

Это очевидно, так как мы для передачи единицы используем импульс, а дезорганизация импульса более вероятна, чем возникновение его из хаотических движений электронов.

Академия наук Грузинской ССР  
 Институт кибернетики  
 Тбилиси

(Поступило в редакцию 21.1.1966)

კიბერნეტიკა

ტ. მგრალიძე

ხმაურის მძონი თრობითი არხისადმი თვრევიდანამდებრი  
 მიღმომა

რეზიუმე

შრომაში ნაჩერებია, რომ ხმაურის მქონე ორბითი კაცირის არხში ინფორმაციის გადაცემის პროცესი არის შეუძლევადი, ან უკიდურეს შემთხვევაში შექცევადი და ამ დროს შესაძლებელია არხში ინფორმაცია გადაცემული იქნეს არხის გამტარუნარიანობის ტოლი სიჩქარით.

**ЛІТЕРАТУРА**

1. К. Шеннон. Работы по теории информации и кибернетике. ИЛ, М., 1963.



ФИЗИКА

М. М. МИРИАНАШВИЛИ (член-корреспондент АН ГССР),  
Т. И. КАКУШАДЗЕ

МАГНИТНЫЙ МОМЕНТ КАТИОНА В РЕШЕТКЕ ФЕРРИТА

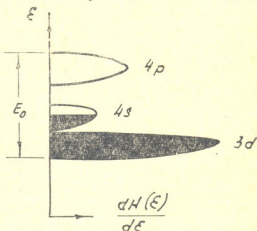
Атом переходного элемента группы железа имеет электронную конфигурацию  $(1s^2 2s^2 p^6 3s^2 p^6 d^x 4s^y)$ , где  $x = 1, 2, \dots, 10$ ;  $y = 1, 2$ . В частности, для железа  $x = 6$ ,  $y = 2$ .

Группа внешних  $3d\ 4sp$ -подоболочек атомов рассматриваемых нами элементов расположена сравнительно тесно, в интервале энергии  $\sim 1 eV$ , тогда как группа более внешних  $4df\ 5spd\ 5g$ -подоболочек отделена от предыдущей группы  $3d\ 4sp$  интервалом энергии  $\sim 10 eV$ . Поэтому физико-химические свойства элементов группы железа определяются именно их  $3d\ 4sp$ -электронами.

Между катионами в решетке феррита приблизительно в два раза большее расстояние, чем в металле, конденсированном из тех же ионов. Поэтому  $3d\ 4sp$ -зоны, соответствующие  $3d\ 4sp$ -оболочкам для эквивалентных<sup>1</sup> ионов в ферритах, являются достаточно узкими. Эти зоны представлены на фиг. 1.

Прямое обменное взаимодействие между катионами в решетке феррита пренебрежимо мало. Это объясняется большим расстоянием между катионами в феррите.

Каждый катион в феррите окружен анионами кислорода. Так, например, катион в октаэдрическом узле окружен шестью ионами кислорода, а в тетраэдрическом—четырьмя ионами кислорода. Поэтому обменное взаимодействие



Фиг. 1

<sup>1</sup> Эквивалентными называем ионы одного и того же металла, по крайней мере первые три координационные сферы которых содержат соответственно идентичные комплексы ионов.



между катионами в феррите осуществляется через промежуточный анион кислорода. Таким путем возникает сильное обменное взаимодействие, которое принято называть косвенным обменным взаимодействием.

Подсчет показывает, что и такое косвенное обменное взаимодействие недостаточно для надлежащего магнитного расщепления  $3d$  и  $4sp$ -зон на  $3d-$  и  $4sp-$ -полузоны, предназначенные для левых спинов и на  $3d+$  и  $4sp+$ -полузоны, предназначенные для правых спинов<sup>(1)</sup>.

Здесь на помощь идет следующее положение. Известно, что все ферриты характеризуются большой диэлектрической проницаемостью  $\epsilon$ . Показано, что их высокочастотная диэлектрическая проницаемость равна низкочастотной диэлектрической проницаемости и составляет  $\epsilon \approx 5,7$ . Известно также, что энергия  $E$  между двумя состояниями в феррите с диэлектрической проницаемостью  $\epsilon$  в  $\epsilon^2$  раз меньше по сравнению с энергией в среде с  $\epsilon = 1$ , т. е.  $E = \frac{E_0}{\epsilon^2}$ , где  $E_0$  — энергия между рассматриваемыми состояниями в среде с  $\epsilon = 1$ .

Обозначим через  $W$  обменную энергию рассматриваемого иона с ионами второй координационной сферы. Ширину  $3d$   $4sp$ -зон (фиг. 1) для среды с  $\epsilon = 1$  обозначим через  $E_0$ <sup>(2)</sup>. Очевидно, в решетке феррита с диэлектрической проницаемостью  $\epsilon$  эта ширина станет равной  $\frac{E_0}{\epsilon^2}$ . Это явление — сокращение энергии  $E_0$  в  $\epsilon^2$  раз обеспечивает надлежащее расщепление зон на полузоны для левых и правых спинов соответственно, показанное на фиг. 2.

Для иона  $Zn^{2+}$ , например, полное смещение полузон (фиг. 2) произойдет, если  $\frac{E_0}{\epsilon^2}$  станет меньше или порядка обменной энергии  $W$  иона  $Zn^{2+}$ , с ионами, находящимися во второй координационной сфере его. В противном случае  $\left(W < \frac{E_0}{\epsilon^2}\right)$  -полузоны, предназначенные для левых спинов (фиг. 2), частично будут перекрываться полузонами, предназначенными для прямых спинов.

Величина обменной энергии и, следовательно, степень перекрытия этих полузон сильно зависят от вида и расположения ионов во второй координационной сфере рассматриваемого катиона.

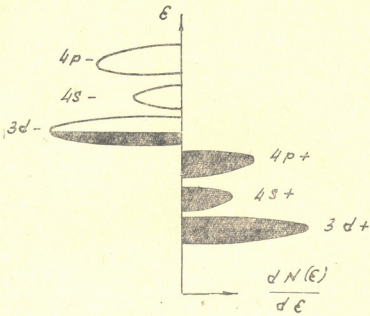
<sup>(1)</sup> Обменная энергия, как известно, равна разности энергии между спинами, расположеными в левой и правой эквивалентных полузонах соответственно. Эта энергия на порядок ниже энергии, необходимой для полного расщепления зон.

<sup>(2)</sup>  $E_0$  приблизительно равна ширине  $3d$   $4sp$ -оболочек в соответствующем атоме.

Пусть для ионов  $Zn^{2+}$  имеет место условие

$$\frac{E_0}{\varepsilon^2} \leq W. \quad (1)$$

Следовательно, правые полузыны ( $3d+$ ,  $4s+$ ) сильно смещаются (не перекрываются) от левых полузын ( $3d-$ ,  $4s-$ ). Если теперь всю совокупность левых и правых полузын (фиг. 2) будем рассматривать как сообщающиеся сосуды, получим следующую картину.



Фиг. 2

Правые  $3d+$ ,  $4s+$  и  $4p+$ -полузоны окажутся заселенными соответственно 5; 1 и 3 электронами, тогда как на долю левых полузын остается единственный электрон на ион  $Zn^{2+}$ , поскольку ион  $Zn^{2+}$  содержит 10  $3d$ -электронов. На фиг. 2 заселенные части полузын заштрихованы. Следовательно, магнитный момент иона при условии

$$\frac{E_0}{\varepsilon^2} \leq W \quad (2)$$

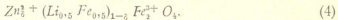
окажется равным

$$\mu_{Zn} = 8 \mu_B. \quad (3)$$

Если  $\frac{E_0}{\varepsilon^2} > W$ , то правые полузыны будут перекрываться левыми полузынами и, следовательно, магнитный момент на ион  $Zn^{2+}$  окажется меньшим, чем  $8 \mu_B$ , или равным нулю.



Результаты наших выводов применим к случаю смешанного зондирования кованого феррита лития



Феррит (4) при  $\delta=1$  переходит в простой цинковый феррит



Хорошо установлено, что магнитные моменты трехвалентных ионов железа в простых ферритах, подобных ферриту (5), взаимно компенсируются. Тогда намагниченность насыщения  $\sigma_0$  феррита (5) должна обеспечиваться магнитными моментами ионов  $Zn^{2+}$ . Однако магнитная  $3d$ -оболочка иона  $Zn^{2+}$  полностью заполнена (замкнута). По этой причине  $\sigma_0$  феррита (5) должна равняться нулю в полном согласии с опытом.

При  $\delta=0$  из формулы (4) имеем



И в этом феррите магнитные моменты ионов  $Fe^{3+}$  взаимно компенсируются. Намагниченность насыщения  $\sigma_0$  феррита (6) обеспечивается магнитными моментами ионов  $(Li_{0.5} Fe_{0.5})$  и равна  $\sigma_0 = 2.6 \mu_B$  на молекулу (6). Отсюда вклад в намагниченность насыщения феррита (4), обусловленный ионами  $(Li_{0.5} Fe_{0.5})$ , в первом приближении будет даваться выражением

$$\sigma_{0(1)} = (1 - \delta) 2.6 \mu_B. \quad (7)$$

Здесь  $1 - \delta$  — концентрация ионов  $(Li_{0.5} Fe_{0.5})$ .

Согласно изложенному выше, вклад в намагниченность насыщения феррита (4), обусловленный ионами  $Zn^{2+}$ , будет определяться формулой

$$\sigma_{oZ_n} = C_n^o (1 - \delta)^n \delta \mu_{oZ_n} + C_n' (1 - \delta)^{n-1} \delta^2 \mu_{1Z_n} + \dots + C_n^n \delta^{n+1} \mu_{nZ_n}. \quad (8)$$

Общий член этого выражения  $C_i^t (1 - \delta)^{n-i} \delta^i \mu_{iZ_n}$  представляет собой вклад в намагниченность насыщения феррита (4), обусловленный ионами  $Zn^{2+}$ , вторая координационная сфера которого содержит  $(n-i)$  ионов  $(Li_{0.5} Fe_{0.5})$  и  $i$  ионов  $Zn^{2+}$ .  $\mu_{iZ_n}$  — магнитный момент соответствующего иона  $Zn^{2+}$ .

Согласно определениям, сделанным выше, первый член разложения (8) обеспечивает вклад в намагниченность насыщения  $\sigma_{oZ_n}$ , отличный от нуля, поскольку вторая координационная сфера иона  $Zn^{2+}$  содержит одни ионы  $(Li_{0.5} Fe_{0.5})$  с вакансиями в  $3d$ -зоне. Последние могут обеспечить сильное обменное взаимодействие с ионами  $Zn^{2+}$ , достаточное для надлежащего расщепления зон ионов  $Zn^{2+}$  соответственно для правых и левых спинов.

Последний член разложения (8) не может дать никакого вклада в намагниченность насыщения феррита (4), поскольку здесь вторая коор-

динационная сфера иона  $Zn^{2+}$  содержит один ион  $Zn^{2+}$  (аналогично простому цинковому ферриту, формула (5)). Между ионом  $Zn^{2+}$  и окружающими его во второй координационной сфере ионами  $Zn^{2+}$  нет надлежащего обменного взаимодействия, поскольку их  $3d$ -оболочки полностью заселены электронами.

В рассматриваемом случае первые четыре члена разложения (8) дают вклад в намагниченность насыщения феррита (4), тогда как в последних трех членах ионы  $Zn^{2+}$  остаются немагнитными. Отсюда вклад в намагниченность насыщения феррита (4), обусловленный ионами  $Zn^{2+}$ , дается выражением

$$\sigma_{oZ_n} = [(1 - \delta)^6 + C_n'(1 - \delta)^5 \delta + C_n^2(1 - \delta)^4 \delta^2 + C_n^3(1 - \delta)^3 \delta^3] \delta \cdot 8 \mu_B. \quad (9)$$

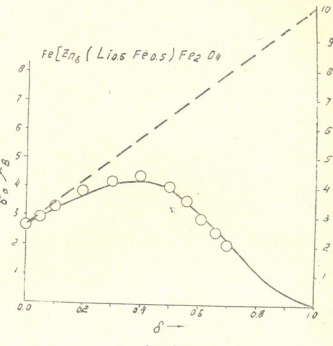
В формуле (9)  $\delta$  взят равным 6. Это равносильно предположению, что ион  $Zn^{2+}$  занимает узел с шестикратной координацией. Полная намагниченность насыщения дается согласно (7) и (9) равным

$$\sigma_0 = \sigma_{o(\delta)} + \sigma_{oZ_n}. \quad (10)$$

На фиг. 3 согласно формулам (7), (9) и (10) построена кривая зависимости намагниченности насыщения феррита (4) от концентрации  $\delta$ . Точки—экспериментальные значения, полученные Гортнером [1]. Пунктир—согласно теории Нееля<sup>1</sup> [2].

<sup>1</sup> Неель [2] полагает, что структура смешанного цинкового феррита лития меняется по формуле  $Zn_\delta Fe_{1-\delta} [(Li_{0.5} Fe_{0.5})_6 \cdot Fe_{1+\delta}] O_4$  в зависимости от состава  $\delta$ .

В квадратных скобках—ионы в октаэдрической подрешетке, магнитные моменты которых расположены взаимно параллельно. Магнитные моменты ионов вне квадратных скобок (тетраэдрическая подрешетка) имеют противоположное направление. При  $\delta=0$  получаем известный выше феррит лития с  $\sigma_0=2.6 \mu_B$ . При  $\delta=1$  согласно условию (2) приходим к ферриту  $ZnFe_2O_4$  с  $\sigma_0=1.0 \mu_B$ . При этом намагниченность насыщения должна изменяться пропорционально  $\delta$  (пунктир на фиг. 3).



Фиг. 3



Как видно из фигуры, экспериментальные данные хорошо совпадают с теоретической кривой, построенной согласно формуле (10).

Тбилисский государственный  
университет

(Поступило в редакцию 28.2.1966)

### ЗАКЛЮЧЕНИЕ

В. მირიანაშვილი (საქართველოს სსრ მეცნიერებათა აკადემიის წევრ-კორსპონდენტი),  
რ. კაკუშაძე

უმნიშვილის მასშტაბი მყოფი კატეორიის მაჩვიტზე  
მომხმარევი

რეზიუმე

ფერიტის მესერში შეტანილი არამაგნიტური კატიონი შეიძლება იქცეს  
მაგნიტურად და პირიქით, მაგნიტური კატიონის მომენტი შეიძლება შემცირდეს ან სრულიად გაქრეს იმის მიხედვით, თუ როგორია მეორე საკოორდინაციო სფეროს იონთა შემადგენლობა და მათი განლაგება. თუ კატიონი ძლიერ გაცვლით ურთიერთობაშია მეორე საკოორდინაციო სფეროს იონებთან და ამავე ღროს ფერიტის დიელექტრიკული განვლადობა დიდია. არამაგნიტური კატიონი შეიძლება იქცეს მაგნიტურად და პირიქით, სუსტი გაცვლითი ურთიერთობის შემთხვევაში, როდესაც ფერიტის დიელექტრიკული განვლადობაც მცირეა, მაგნიტური კატიონი შეიძლება იქცეს არამაგნიტურად. თეორიის ზემოთ აღნიშნული შედეგი შრომაში შემოწებულია თუთა — ლითიუმის შერეული ფერიტის მაგალითზე.

### ЛІТЕРАТУРА

1. Ю. Ситидзе, Х. Сато. Ферриты. Изд. „Мир“, М., 1964, 46.
2. Л. Нель. Антиферромагнетизм, сб. статей. ИЛ, М., 1956, 56.

ФИЗИКА

Д. А. ГИУНАШВИЛИ

УСТАНОВКА ДЛЯ ИССЛЕДОВАНИЯ ПРОЦЕССА ИСПАРЕНИЯ  
И ПОРООБРАЗОВАНИЯ ПОД НАПРЯЖЕНИЕМ

(Представлено членом-корреспондентом Академии М. М. Мирнанашвили 28.6.1966)

Для исследования процесса испарения и связанного с ним порообразования была сконструирована установка, которая позволяет проводить испытания образцов в вакууме под действием растягивающих напряжений.

Установка, внешний вид которой представлен на рис. 1, состоит из рабочей камеры (1), вакуумного шиберного затвора (2), высоковакуумной ловушки (3), системы откачки (4), в которую входят форвакуумный РВН-20 и диффузионный ЦВЛ-100 насосы (4) и механизм нагружения образца (5). Вакуумная система и нагружающее устройство смонтированы на железной станине (6). Пульт управления (7) выполнен из отдельного металлического каркаса, в который вмонтированы все электроизмерительные приборы.

Кинематическая схема установки приведена на рис. 2. На схеме представлена рабочая камера (1), которая состоит из двух коаксиальных металлических цилиндров, зазор между которыми служит «водянной рубашкой» для камеры. Манипуляции в рабочей камере осуществляются через съемную крышку (2), которая также снабжена «водянной рубашкой». В рабочую камеру вмонтированы металлические захваты (8, 9), имеющие внутренние отверстия с резьбой, куда ввинчиваются зажимы (10) для крепления образца (11). Правый захват (9), приваренный к корпусу камеры, жестко соединяется с захватом (13) планетарного редуктора (18) с помощью шпильки (12). Левый захват (8) вставлен в корпус рабочей камеры свободной посадкой и шарнирно соединен с захватом (14) нагружающего устройства.

Патрубок (18) рабочей камеры соединяется с вакуумным шибером (19), который служит для изоляции системы вакуумной откачки от камеры. К нижней части шибера присоединяется вакуумная ловушка ЦВЛ-100—2 (рис. 1 (2)), которая предназначена для вымораживания масляных паров.

Остаточное давление в рабочей камере измеряется манометрическими лампами ЛТ-2 (4) и ЛМ-2 (5), соединенными с вакуумметром типа ВИТ-1. Обе лампы свариваются в стеклянный тройник (6) и закрепляются в крышке рабочей камеры с помощью вакуумного зажима (7). Система обеспечивает разряжение в рабочей камере порядка  $2 \cdot 10^{-6}$  тор.

Для растяжения образцов в вакууме служит специальное устройство. Нагружение образца (11) производится коромыслом (25), которое

состоит из нескольких элементов: системы рычагов (21), установленных на призмах (22) и соединенных с коромыслом тягой (23), двух шкал (26, 27) с подвижными разновесами (28, 29) для нагружения образца, вертикального (32) и горизонтального (33) балансиров, служащих для уравновешивания коромысла.

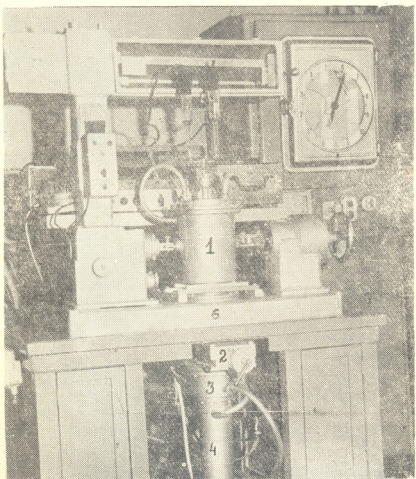


Рис. 1. Общий вид установки для исследования испарения и парообразования

Испытываемый под напряжением образец закрепляется в захватах. Вращением рукоятки (36) перемещается рабочая камера до тех пор, пока стрелка коромысла не станет в положении «нуль». Усилие нагрузок (28, 29) передается к образцу с помощью рычажной системы (21) через захваты (8, 14). При деформации образца коромысло отклоняется от положения равновесия, замыкаются контакты (30), связанные со схемой (31), и загорается сигнальная лампочка.

Специальная подставка с направляющими рейками (38) позволяет осуществлять горизонтальное перемещение рабочей камеры. Регулировка вертикального перемещения камеры осуществляется с помощью винтов (40).

Удлинение образца в процессе испытания измеряется стрелочным индикатором (35) с ценой деления 0,005 мм.

Максимальная величина прикладываемой на образец нагрузки составляет 400 кг, что соответствует с учетом рабочего сечения применяемых образцов растягивающим напряжениям до 50 кг/мм<sup>2</sup>.

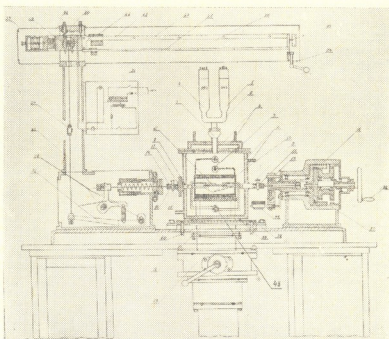


Рис. 2. Принципиальная кинематическая схема установки

Наличие сильфона (17) в системе нагружения приводит к определенным погрешностям при передаче усилия на образец, поэтому была проведена соответствующая калибровка в условиях вакуума. Для этого был изготовлен специальный динамометр, который помещался между захватами вместо образца. Наблюдение за индикатором динамометра велось через крышку из органического стекла. Результаты тарировки показали, что погрешность составляет  $\pm 5\%$  от приложенной нагрузки.

Нагрев образца осуществляется радиационным способом. Нагреватель состоит из двух пар кварцевых полуцилиндров, которые приварены друг к другу. Две внешние половины нагревателя перегорожены приваренными кварцевыми нитями, которые образуют параллельные пазы. В эти пазы вставляется спираль из никрома, обеспечивающая при нагреве температуру порядка 1000°C. Такая конструкция нагревателя

обладает достаточно малой «инерционностью» и способствует уменьшению газовыделения при нагревании образца. Нагреватель размещается на специальной подставке и для предотвращения теплоотдачи окружён молибденовым экраном. Питание нагревателя осуществлялось от трансформатора РНО-250—2 через специальные вводы (рис. 2(3)). Температура образца измерялась двумя хромель-алюмелевыми термопарами (рис. 2 (43)), спан которых помещены в середине и на конце образца. При нагреве по длине образца возникает перепад температуры порядка  $10^{\circ}\text{C}$ . Столь малый градиент достигается тем, что захваты почти полностью помещаются в нагревателе.

В том случае, когда исследование велось без нагрузки, нагреватель ставился в вертикальном положении и исследуемый образец подвешивался на тонкой молибденовой проволоке. Температура образца контролировалась с помощью электронного потенциометра ЭПД-17 и потенциометра ПП-1. Точность регулировки температуры составляла  $\pm 5^{\circ}$ .

Как показали проведенные исследования, действие внешнего напряжения приводит к ускорению процесса испарения и вносит существенные изменения в распределение пористости в металле. Следует отметить, что при исследовании медно-цинковых сплавов влияние напряжения на испарение наиболее сильно проявляется на развитых стадиях (продолжительный отжиг) испытания образца. С повышением температуры диффузационного отжига влияние напряжения на скорость испарения оказывается меньше по сравнению с испарением при более низких температурах.

При наложении внешних растягивающих напряжений особенно резко возрастает роль границ зерен в процессе испарения образца. Так, при отжиге латуни при температурах  $500$ — $850^{\circ}$  и напряжении  $100$ — $15$  кг/см $^2$  соответственно было показано, что поры локализуются главным образом на внутренних поверхностях раздела. Во многих случаях процесс начинается с образования ямки на поверхности вдоль границ, что не наблюдается при отсутствии внешних нагрузок.

Таким образом, внешние растягивающие напряжения способствуют росту пор и интенсивному раскрытию трещин по границам зерен. При отсутствии внешних напряжений порообразование по границам зерен начинается при более высоких температурах и протекает менее интенсивно.

Влияние напряжения на испарение цинка и магния в алюминиевом сплаве качественно аналогично влиянию напряжения в медно-цинковых сплавах. Так, при температуре  $500^{\circ}\text{C}$  в течение 20 часов количество испарившегося вещества с образца, находящегося под напряжением  $0,3$  кг/мм $^2$ , будет примерно в 5 раз больше по сравнению с ненапряженным образцом (уменьшение веса составляет  $0,0401$  и  $0,0082$  г соответственно). Повышение температуры до  $550^{\circ}\text{C}$  или уменьшение времени испарения при  $500^{\circ}\text{C}$  с 20 до 2 часов сильно уменьшает эффект напряжений.

Ускорение испарения под влиянием напряжения, очевидно, объясняется увеличением скорости диффузии, а уменьшение влияния напряжения на испарение при высоких температурах — возрастанием диф-

фужионной подвижности атомов с повышением температуры и уменьшением роли напряжения, что экспериментально было показано в работе [1].

Московский авиационный институт

(Поступило в редакцию 2.7.1966)

ЧИТАЮЩИЙ

Ф. ГОЛОСОВАЮЩИЙ

ДАНАЯ РЕДАКЦИЯ ПРЕДСТАВЛЯЕТСЯ АВТОРСКОМУ ИЗДАНИЮ И ВЫПУСКАЕТСЯ ЧЕРЕЗ ДВА МЕСЯЦА

ЛЯЧОУ

СТУДЕНТАМИ АЛЮРИНСКОГО УНИВЕРСИТЕТА И ДИНАМОВСКОГО ТЕХНИЧЕСКОГО УНИВЕРСИТЕТА ПОД РУКОВОДСТВОМ КАДЫМОВА МАМЕДА ГАРЬЯНОВИЧА И АБДУЛАЕВА АДАМСАДИМОВИЧА. ВЫПУСКНАЯ КОМПОЗИЦИЯ ПОДГОТОВЛЕНА СОУЩЕСТВУЮЩИМИ МАТЕРИАЛАМИ И ПОДДЕРЖАНА ПОДАННЫМИ ВЫСТАВКАМИ. ВЫПУСКНАЯ КОМПОЗИЦИЯ ПОДГОТОВЛЕНА СОУЩЕСТВУЮЩИМИ МАТЕРИАЛАМИ И ПОДДЕРЖАНА ПОДАННЫМИ ВЫСТАВКАМИ.

ДАЮЩИЙ РЕДАКЦИЮ УЧЕНЫЙ СОВЕТ АВТОРСКОМУ ИЗДАНИЮ И ВЫПУСКАЕТСЯ ЧЕРЕЗ ДВА МЕСЯЦА

#### ДАНАЯ РЕДАКЦИЯ — ЦИТИРОВАННАЯ ЛИТЕРАТУРА

1. С. З. Бокштейн, Т. И. Гудкова, А. А. Жуховицкий, С. Т. Кишкин. Некоторые проблемы прочности твердого тела. Изд. АН СССР, 1959, 76.

ФИЗИКА

В. А. АГЛАМАЗОВ, Л. Д. ГЕДЕВАНИШВИЛИ, Л. Ш. КОХОДЗЕ,  
З. П. РОБАКИДЗЕ, И. И. САКВАРЕЛИДЗЕ, Н. Г. ХАЗАРАДЗЕ

ОБ ОДНОМ МЕТОДЕ ОПРЕДЕЛЕНИЯ ПОЛНОГО ЧИСЛА  
ЧАСТИЦ И КООРДИНАТ ТОЧКИ ПРОХОЖДЕНИЯ ОСИ  
ШИРОКОГО АТМОСФЕРНОГО ЛИВНЯ КОСМИЧЕСКОГО  
ИЗЛУЧЕНИЯ

(Представлено членом-корреспондентом Академии М. М. Мирианашвили 28.1.1966)

В экспериментах по широким атмосферным ливням обычно одна из основных задач заключается в регистрации полного числа частиц в ливне и местопрохождения оси ливня. С этой целью используется большое число сцинтилляционных счетчиков или же счетчиков Гейгера—Мюллера, включенных в гидроскопическую схему.

Определение полного числа частиц в ливне и координат места выпадания оси требует измерения локальной плотности ливневых частиц над детектором хотя бы в трех удаленных друг от друга точках.

С помощью сцинтилляционных счетчиков и соответствующей радиотехнической аппаратуры можно непосредственно определить число заряженных частиц, прошедших через счетчик, причем отношение этого числа к площади фосфора дает локальную плотность  $\Delta$  частиц  $\text{м}^{-2}$ .

Очевидно, что погрешность в таких измерениях зависит от точности определения числа частиц, прошедших через сцинтилляционный счетчик, фотоумножителем и соответствующей радиотехнической схемой.

Счетчики Гейгера—Мюллера, включенные в гидроскопическую систему, позволяют определить величину наиболее вероятной плотности частиц.

Определение наиболее вероятной локальной  
плотности

Пусть гидроскопический ряд состоит из  $m$  одинаковых счетчиков Гейгера—Мюллера каждый с площадью  $s \text{ м}^2$ . Допустим, что на этот гидроскопический ряд падает широкий ливень, плотность которого над детектором равна  $\Delta$  частиц  $\text{м}^{-2}$ .

Если принять, что рассматриваются развитые ливни, т. е. допустить, что траектории частиц независимы друг от друга, то вероятность

срабатывания любых  $n$  счетчиков из общего числа  $m$  будет даваться известной формулой

$$P = C_m^n \cdot (1 - e^{-s\Delta})^n \cdot e^{-s\Delta(m-n)}. \quad (1)$$

Вероятность  $P$  при фиксированных значениях  $m$  и  $n$  является функцией плотности  $\Delta$  и имеет максимум для определенного значения  $\Delta_m$ .

Приравнивая к нулю производную  $\frac{dP}{d\Delta}$ , получаем уравнение для нахождения величины  $\Delta_m$ .

Простые преобразования для значения наиболее вероятной плотности  $\Delta_m$  дают следующую формулу:

$$\Delta_m = \frac{1}{s} \cdot \ln \frac{m}{m-n}. \quad (2)$$

Таким образом, если известна площадь отдельного счетчика  $s$  и число сработавших счетчиков  $n$  из общего числа  $m$  в ряду, по формуле (2) просто можно определить численное значение наиболее вероятной локальной плотности  $\Delta_m$ .

### Определение расстояния от детектора до оси ливня

Расстояние от детектора до оси ливня можно определить с помощью локальной плотности.

Локальная плотность  $\Delta_m$  связана с полным числом заряженных частиц широкого ливня следующим соотношением [1]:

$$\Delta_m = \frac{N \cdot f(R)}{r_0^2}, \quad (3)$$

где  $N$  — полное число заряженных частиц в ливне,

$r_0$  — „мольеровская единица“ длины.

В частности, для воздуха

$$r_0 = 9,5 \text{ г/см}^2, \text{ или } r_0 = 80 \text{ м}, \quad R = \frac{r}{r_0},$$

где  $r$  — расстояние от детектора до оси ливня.

$f(R)$  — функция пространственного распределения электронов в широком атмосферном ливне. Если использовать функцию Нишимура — Камата, тогда будем иметь [1]

$$f(R) = C(S) \cdot R^{s-2} \cdot (R+1)^{s-4,5}. \quad (4)$$

В этом выражении  $S$  является возрастным параметром ливня, который изменяется в зависимости от высоты над уровнем моря. Значение функции  $C(S)$  табулировано по величинам параметра  $S$ .

На высоте 400 м над уровнем моря для параметра  $S$  можно принять численное значение  $S = 1,25$  [2]. Для этого случая функция Ниншимира—Камата, согласно формуле (4), будет иметь вид

$$f(R) = \frac{45}{32\pi} \cdot R^{-0.75} \cdot (R + 1)^{-3.25}. \quad (5)$$

Если полученное значение функции пространственного распределения подставить в выражение (3) и провести элементарные преобразования, получится

$$\begin{aligned} R^{0.23}(R + 1) &= \left\{ \left[ \frac{45}{32\pi r_0^2} \right] \cdot \frac{N}{\Delta m} \right\}^{1/3.25} = \\ &= \left[ 7 \cdot \frac{N}{10^5 \cdot \Delta m} \right]^{0.307} = 1.82 \cdot \left[ \frac{N}{10^5 \cdot \Delta m} \right]^{0.307}. \end{aligned} \quad (6)$$

Формула (6) дает возможность определить расстояние до оси ливня при заданных значениях  $N$  и  $\Delta m$ .

Однако, как видно, решение этого уравнения представляет значительную практическую трудность.

Задача весьма упрощается, если функцию  $R^{0.23}(R + 1)$  аппроксимировать линейным выражением вида  $(1,53R + 0,49)$ .

В нижеприведенной таблице даны значения обеих функций  $F_1 = R^{0.23}(R + 1)$  и  $F_2 = 1,53R + 0,49$  для различных величин  $R$ , начиная от 0,01 и до 3.

Как видно из таблицы, принятая аппроксимация может быть использована без больших ошибок. В частности, для значений в интервале  $(0,07 — 3)$  точность аппроксимации не хуже 10%.

Таким образом, используя принятую аппроксимацию, можно представить формулу (6) в следующем виде:

$$1,53R + 0,49 = 1,82 \left[ \frac{N}{10^5 \cdot \Delta m} \right]^{0.307}. \quad (7)$$

Решив ее относительно  $R$ , окончательно получим

$$R = 1,19 \left[ \frac{N}{10^5 \cdot \Delta m} \right]^{0.307} - 0,32. \quad (8)$$

что даст возможность при заданной локальной плотности и величине ливня определить расстояние от детектора до оси ливня.

$R$	$F_1$	$F_2$	$R$	$F_1$	$F_2$
0,01	0,35	0,505	1,2	2,3	2,325
0,02	0,416	0,520	1,3	2,4	2,48
0,03	0,46	0,536	1,4	2,61	2,63
0,04	0,498	0,551	1,5	2,74	2,79
0,05	0,539	0,566	1,6	2,87	2,94
0,06	0,557	0,582	1,7	3,18	3,09
0,07	0,588	0,597	1,8	3,24	3,25
0,08	0,608	0,612	1,9	3,35	3,40
0,09	0,627	0,627	2	3,51	3,55
0,1	0,648	0,643	2,1	3,66	3,71
0,2	0,83	0,796	2,2	3,82	3,86
0,3	0,994	0,950	2,3	3,99	4,02
0,4	1,137	1,11	2,4	4,15	4,16
0,5	1,279	1,255	2,5	4,30	4,32
0,6	1,43	1,41	2,6	4,54	4,48
0,7	1,558	1,56	2,7	4,62	4,63
0,8	1,714	1,715	2,8	4,84	4,79
0,9	1,849	1,86	2,9	4,95	4,94
1	2	2,02	3	5,19	5,09
1,1	2,14	2,172			

### Определение полного числа заряженных частиц в ливне и координат местопрохождения оси ливня

В общем случае определение полного числа заряженных частиц в широком атмосферном ливне, т. е. величины ливня и координат местопрохождения оси ливня, принципиально не представляет большой трудности. Однако необходимые расчеты можно существенно упростить при использовании удобной геометрии расположения детекторов заряженных частиц.

В данной работе рассматривается простейший случай расположения трех детекторов на одной прямой на расстоянии  $a$  метров друг от друга (рис. 1).

Выберем систему координат, как показано на рис. 1. Пусть ось ливня проходит в точке  $A$  с координатами  $(x, y)$  и  $R_1, R_2, R_3$  будут соответственно расстояния между детекторами и точкой  $A$ . Как видно из рис. 1, будут выполняться следующие простые соотношения:

$$\begin{aligned} x^2 + y^2 &= R_1^2, \\ (x - a)^2 + y^2 &= R_2^2, \\ (x + a)^2 + y^2 &= R_3^2. \end{aligned} \tag{9}$$

Система уравнений (9) дает возможность наряду с координатами точки местопрохождения оси ливня определить также и величину ливня  $N$ .

Действительно, если вместо  $R_1$ ,  $R_2$  и  $R_3$  подставить их значения из формулы (8), т. е.

$$R_i = 1,19 \left[ \frac{N}{10^5 \cdot \Delta_i} \right]^{0.307} - 0,32 \quad (i = 1, 2, 3), \quad (10)$$

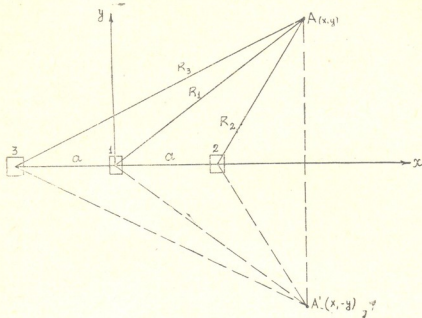


Рис. 1

то после простых преобразований для определения величины ливня получится

$$\frac{N}{10^5} = \left\{ \frac{0,32 [A_2 + A_3 - 2A_1] \pm \sqrt{[(0,32)^2 \cdot (A_2 + A_3 - 2A_1)^2 + 2a^2 (A_2^2 + A_3^2 - 2A_1^2)]}}{A_2^2 + A_3^2 - 2A_1^2} \right\}^{3,25}, \quad (11)$$

где

$$A_i = \frac{1,19}{\Delta_i^{0,307}} \quad (i = 1, 2, 3),$$

а  $\Delta_i$  определяется согласно формуле (2).

Координаты точки прохождения оси ливня будут даваться выражениями

$$x = \frac{R_3^2 - R_2^2}{4a} = \frac{1}{4a} \left\{ \left[ 1,19 \left( \frac{N}{10^5 \cdot \Delta_3} \right)^{0,307} - 0,32 \right]^2 - \frac{3,1415926535}{16a^2} \right\}^{1/2} - \frac{3,1415926535}{16a^2} \quad (12)$$

$$y = \pm \left\{ \left[ 1,19 \left( \frac{N}{10^5 \cdot \Delta_1} \right)^{0,307} - 0,32 \right]^2 - x^2 \right\}^{1/2}. \quad (13)$$

При расчетах в формулу (13) подставляются численные значения  $N$  и  $x$ , рассчитанные соответственно из выражений (11) и (12).

Таким образом, с помощью формул (11), (12), (13) можно определить полное число заряженных частиц в ливне  $N$  (величину ливня) и координаты местопрохождения оси ливня, заранее экспериментально измеряя локальные плотности  $\Delta_i$  (2) в трех различных точках, удаленных на расстоянии  $a$  друг от друга.

Необходимо отметить, что вышеприведенным условиям, как это видно из рис. 1, удовлетворяет также точка  $A'(x_1, -y)$ , которой соответствует отрицательное значение корня из формулы (13), т. е. формулы (12) и (13) неоднозначно определяют точку прохождения оси ливня. Этот вопрос можно решить лишь при определении локальной плотности с помощью дополнительного, четвертого детектора, который расположен вне прямой, соединяющей три основных детектора.

Вышеприведенный анализ для установки одной конкретной геометрии легко можно аналогично провести и для установок с любой конфигурацией расположения детекторов.

Очевидно, что в каждом частном случае задача будет решаться для определенных конкретных установок с заданной геометрией.

Полученные таким образом формулы для числа частиц и координат точки прохождения оси, безусловно, будут отличаться от формул (11), (12), (13), но рассмотренный выше метод можно будет применить в общем случае для установок любой геометрии.

Тбилисский государственный университет

(Поступило в редакцию 4.2.1966)

ЧИСЛОВЫЕ

3. აგლამაზოვი, ლ. გედევანიშვილი, ლ. რობერტი, ქ. რობერტი  
0. საცვარელიძე, ნ. ხაზარაძე

კოსმოსური გამოსხივების ცარით ატმოსფერული  
ღვარის ნაწილაკთა სრული რიცხვისა და დერძის  
გავლის ფირტილის კოორდინატების განსაზღვრის  
ერთი მთოლის შესახებ

რეზიუმე

სტატიაში განხილულია ღვარის სიღიძისა და მისი ღერძის ადგილმდებარების განსაზღვრის მარტივი მეთოდი. მოცანა დასმულია იმ შემთხვევისა-



თვის, როდესაც ღვარის სამი დეტექტორი ერთ სწორ ხაზზე განლაგებული. ნაშილაკების სივრცული განაწილების ფუნქციისათვის გამოყენებულია ნიშიმურა-კამატას მიერ მოცემული ფუნქციის სახე.

რთული გამოთვლების გასამარტივებლად შემოღებულია გარკვეული სახის პროექტის მიმაცია, რომელსაც წრფივი დამოკიდებულების სახე აქვს. დაშეებული გამარტივების გამოყენება დასაბუთებულია სპეციალურად მოყვანილი ცხრილით, საიდანაც ჩანს, რომ პროექტის მიმაცია დაშეებული ცდომილება არ აღმატება 10 პროცენტს.

Сүрьеңдікілдік мәндердегі оқынушылардың оқынушыларының мәндерінен көп болады.

განხილული მეთოდი აღვილად შეიძლება განზოგადებულ იქნეს ყველა შემთხვევისათვის, როდესაც ფართო ატმოსფერული ლვარის დეტაქტორების განლაგების ნებისმიერი კონფიგურაცია იქნება.

#### დამოუკიდებელი ლიტერატურა — ЦИТИРОВАННАЯ ЛИТЕРАТУРА

1. К. Грейзен. Широкие атмосферные ливни. В сб.: „Физика космических лучей”, т. III, ИЛ, М., 1958, 7—136.
  2. Б. Росси, К. Грейзен. Взаимодействие космических лучей с веществом, ИЛ, М., 1948, 60—87.



## ГЕОФИЗИКА

М. А. ЧЕЛИШВИЛИ

### ВОЗМОЖНОСТЬ ПРИМЕНЕНИЯ МАГНИТОМЕТРИЧЕСКОГО МЕТОДА ДЛЯ ПОИСКОВ МАРГАНЦЕВЫХ РУД

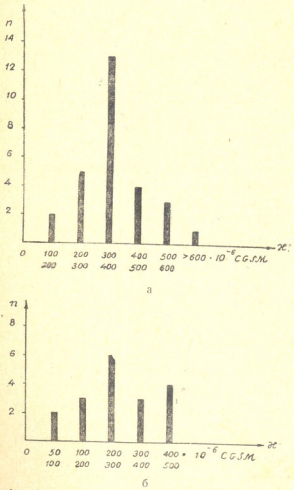
(Представлено академиком П. Д. Гамкрелидзе 25.1.1966)

Для решения обратной задачи поисков марганцевых руд методами магнитометрии необходимо в первую очередь решить прямую задачу на известных месторождениях марганца. Проделанные в этом направлении работы [1—5] весьма противоречивы. С нашей точки зрения решение прямой задачи магнитометрии для поисков марганцевых руд требует дальнейшего и более глубокого изучения. С этой целью нами исследованы магнитные свойства различных типов марганцевых руд и магнитное поле марганцевого месторождения нагорья Мгвимеви—Дарквети Чиатурского района Грузинской ССР. В данной статье дается обобщение результатов.

По данным геологов [6—8], марганцевые руды Чиатурского района делятся на три основных генетических типа: окисные, карбонатные и окисленные. Из других генетических типов можно упомянуть метаморфизованные, встречающиеся лишь на нагорье Перевиса того же района. Среди окисных руд по текстурным особенностям и по минералогическому составу выделяют зернистые руды, белта, пласт, жгали и мцвари. В окисных рудах из ферромагнитных минералов встречаются  $\text{Fe}_2\text{O}_3$  (1—5%), Fe (около 1%), жгали содержат примеси никеля и кобальта [9]. В карбонатных рудах из ферромагнитных минералов встречаются  $\text{Fe}_2\text{O}_3$  (1—3%), Fe (2—4%) и реже как примеси присутствуют пирит, марказит и мельниковит. В окисленных рудах содержится от 1 до 4%  $\text{Fe}_2\text{O}_3$ .

Образцы различных типов марганцевых руд, меловых известняков, миоценовых песчаников, пробы миоцен-олигоценовых песков и глинистых песчаников отобраны из обнажений и карьеров нагорий Мгвимеви—Дарквети, Буниакури, Перевиса, Шукрути, Итхвиси и Ргани. При этом в основном были взяты ориентированные образцы. Измерения магнитных свойств кубических образцов марганцевых руд нами проведены на кварцевом магнитометре типа М 14-Ф. Цена деления  $\pm 0,5$  гамма/дел., а точность отсчета измерений составляет 0,05 гамма/дел. Магнитная

восприимчивость вычислена по формуле  $\chi = \frac{I_i}{Z}$ , где  $I_i$ —индуктивная намагниченность образца,  $Z$ —вертикальная составляющая магнитного поля в Душети, где проводились измерения ( $Z=0,42$  эрстед).



Фиг. 1. а—Магнитная восприимчивость зернистых марганцевых руд;  $n$ —число образцов; б—магнитная восприимчивость окисленных марганцевых руд;  $n$ —число образцов

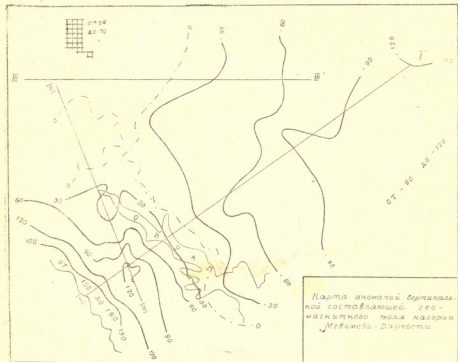
$430 \cdot 10^{-6}$  и в большинстве случаев  $\chi > 200 \cdot 10^{-6} \text{ CGSM}$  (фиг. 1, б). Наименьшее значение  $\chi$  характерно для пумпла, которая встречается очень редко. Порядок значений порошкообразных белта, мцвари, пласти и зернистых руд такой же, как у массивных образцов.

На фиг. 1 приведены значения магнитной восприимчивости различных типов марганцевых руд Чиатурского месторождения. Магнитная восприимчивость зернистых руд колеблется от 140 до  $650 \cdot 10^{-6} \text{ CGSM}$ , но в большинстве случаев превосходит  $300 \cdot 10^{-6} \text{ CGSM}$  (фиг. 1, а). Магнитная восприимчивость белта характеризуется величиной порядка  $350-400 \cdot 10^{-6} \text{ CGSM}$ . Значение  $\chi$  для мцвари и для пласта составляет  $(350-550) \cdot 10^{-6} \text{ CGSM}$ . Магнитная восприимчивость жгали меняется в широких пределах—от  $300 \cdot 10^{-6}$  до  $1140 \cdot 10^{-6} \text{ CGSM}$ , что объясняется неоднородным содержанием примеси ферромагнитных минералов. Сравнительно повышенное значение  $\chi$ —от  $500 \cdot 10^{-6}$  до  $1000 \cdot 10^{-6}$  карбонатной руды можно объяснить примесями магнитных минералов. Магнитная восприимчивость окисленных руд меняется от  $50 \cdot 10^{-6}$  до

Остаточная намагниченность образцов марганцевых руд в пределах точности измерения не выявляется.

Магнитная восприимчивость образцов меловых известняков, миоценовых песчаников, миоцен-олигоценовых песков и глинистых песчаников измерена нами на каппаметре Московского государственного университета. Магнитная восприимчивость меловых известняков меняется от  $1 \cdot 10^{-7}$  до  $5 \cdot 10^{-7}$  CGSM. Порядок глинистых песчаников  $-5 \cdot 10^{-6}$  CGSM, миоценового песка  $-1 \cdot 10^{-6}$  CGSM, олигоценового песка и миоценовых песчаников  $-3 \cdot 10^{-6}$  CGSM.

Магнитная съемка осуществлена на центральной и северной частях нагорья Мгвимеви—Дарквети, где встречаются окисные, карбонатные и окисленные марганцевые руды.

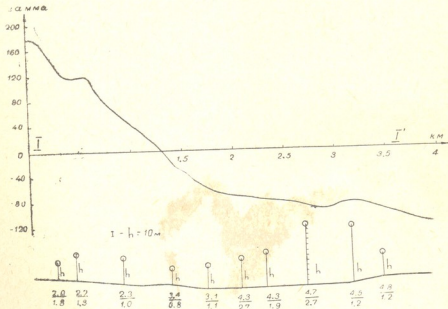


Фиг. 2

Марганцевый слой расположен почти горизонтально, кроме северной части территории. Мощность оруднения уменьшается с юга на север. Общая мощность марганцевого слоя меняется от нескольких десятков сантиметра до 6 м с преимущественным содержанием окисных руд в южной части территории. Полезная мощность в южной части нагорья меняется от 2,5 до 4,5 м. В северной части в основном

отмечено карбонатное оруднение марганца. В тех местах, где мощность наноса меньше или замечается выход марганцевого оруднения, встречается окисленная руда. Глубина залегания марганцевого слоя меняется в широких пределах от нескольких метров до 140 м.

Точность абсолютных величин вертикальной составляющей ( $Z$ ) магнитного поля на пунктах наблюдений составляет  $\pm 5$  гамм. Для выделения магнитной аномалии, создаваемой марганцевым слоем из общего геомагнитного поля, необходимо установить базисное поле. Так как олигоценовые пески и меловые известняки (мощность 200—300 м), которые залегают под марганцевым оруднением, являются немагнитными, за базисное поле нами принято среднее значение  $Z$  на фоне выхода меловых известняков. Величина аномалии колеблется в пределах 300 гамм (фиг. 2). В южной части нагорья Мгвимеви—Дарквети, где полезная мощность марганцевого оруднения больше, чем на исследуемой территории, магнитная аномалия будет, вероятно, сравнительно повышена.

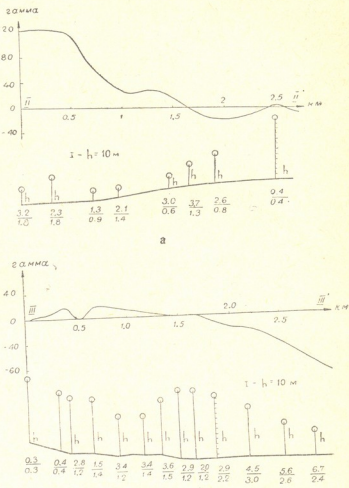


Фиг. 3

Олигоценовые пески и меловые известняки, расположенные в подошве марганцевого слоя, являются немагнитными, породы, залегающие над марганцевым слоем, также немагнитные или же их магнитность ничтожна мала ( $5 \cdot 10^{-6}$  CGSM), а магнитная восприимчивость марганцевых руд в большинстве случаев  $> 300 \cdot 10^{-6}$  CGSM. Исходя из этого ясно, что выявленная аномалия вызвана марганцевым слоем.

Анализ магнитной аномалии проводится по трем профилям (фиг. 2). На фиг. 3 и 4 представлены мощности (в числителе общая мощность, в знаменателе полезная мощность) марганцевого слоя, глубина залегания по данным буровых скважин и кривые магнитной аномалии.

Марганцевый слой по профилю I—I' в основном представлен окисными и карбонатными рудами. Полезная мощность марганцевого слоя колеблется от 1 до 2,7 м, но в большой части от 1 до 2 м. Глубина залегания разных частей горизонтального слоя варьирует от 30 до 120 м. Явно выраженная магнитная аномалия плавно меняется с юго-запада на северо-восток от +180 до —120 гамм. По профилю II—II' имеет место окисное и карбонатное оруднение. Полезная мощность марганцевого слоя уменьшается с юга



Фиг. 4

на север от 1,8 до 0,4, и глубина его залегания увеличивается с юга на север от 20 до 120 м. В тех местах, где мощность слоя 1—1,8 м и глубина залегания небольшая, порядок аномалии составляет 120 гамм. Наоборот, там, где мощность слоя около 0,5 м и глубина залегания большая, никаких аномалий не отмечается, что и следовало ожидать. Марганцевое оруднение по профилю III—III' характеризуется с преобладанием карбонатной руды, выше которой иногда имеется окисная или окисленная руда. Полезная мощность марганцевого слоя заключена в

пределах 0,3—3 м, но в большей части не превосходит 1—1,5 м. Глубина залегания разных частей слоя варьирует от 50 до 140 м, но часто— от 100 до 140 м. В тех местах, где полезная мощность слоя составляет 0,3—1,5 м и глубина залегания >60 м, аномалии не замечаются.

Как видно, магнитная аномалия не отмечается в тех местах, где мощность марганцевого слоя ничтожно мала и глубина его залегания большая. Вполне понятно, что в данных условиях нельзя было бы ожидать на поверхности Земли магнитного поля марганцевой руды. Однако отсутствие магнитной аномалии в данном случае является еще дополнительным доказательством того, что толща, лежащая над марганцевым горизонтом, действительно, не создает ощутимого магнитного поля.

Аномальное магнитное поле с положительным и отрицательным знаками нами рассмотрено как одно целое, вызванное марганцевым слоем. Возникает вопрос, как можно объяснить отрицательную ветвь этой аномалии? Горизонтально залегающие залежи очень часто могут быть намагниченены в наклонном направлении. В основном это зависит от ориентировки тел относительно магнитного меридиана и от угла наклона магнитного поля Земли.

В случае наклонного намагничения однородного горизонтального слоя методом магнитного моделирования нами была получена положительная и отрицательная ветви кривой Z. При этом экстремальные значения магнитного поля наклонно намагниченного слоя значительно больше, чем при вертикальном намагничении [10]. Угол наклонения магнитного поля Земли на исследуемой территории составляет около 60°. Марганцевый горизонтальный слой в общем случае неоднородный и глубина залегания его частей неодинакова. Поэтому форма кривой Z наклонно намагниченного горизонтального слоя частично будет деформирована. Таким образом, в этом районе над марганцевым оруднением ожидалось магнитное поле с положительным и отрицательным знаками, что и в действительности нами выявлено.

Для точек, расположенных над большим массивом каких-либо горных пород, вертикально намагниченных с интенсивностью I, магнитное поле  $Z=2\pi I$ . Пользуясь этой формулой, ниже даем приближенный расчет магнитного поля различных типов марганцевых руд. При среднем значении  $I=(150-200)\cdot10^{-6}$  CGSM зернистых руд вычисленное значение Z составляет 95—125 гамм, а при максимальном значении I достигает 190 гамм. Вычисленное поле пласт и мцвари при среднем значении намагничения  $(200-250)\cdot10^{-6}$  CGSM находится в пределах 125—155 гамм. В случае белта Z имеет значение 90—110 гамм. Намагченность жгали в среднем составляет  $(250-300)\cdot10^{-6}$  CGSM, соответственно Z имеет значение 160—190 гамм. Для карбонатной руды Z имеет значение в пределах 130—260 гамм. Вычисленное значение Z окислен-

ной руды в большинстве случаев находится в пределах 70—130 гамм. Однако магнитное поле в действительности будет больше вычисленного, так как в случае наклонного намагничения горизонтального слоя отмечается повышенное поле.

Из вышеизложенного приходим к выводу о возможности поисков марганцевых руд с помощью высокоточной магниторазведки, если марганцевое оруднение мощностью больше 1 м залегает до глубины 50 м.

Академия наук Грузинской ССР

Институт геофизики

Тбилиси

(Поступило в редакцию 25.1.1966)

ЗАМЕЧАНИЯ

З. А. АДАМСОЛОН

БАТИНСКИЙ РЕГИОН  
 БАТИНСКИЙ РЕГИОН  
 БАТИНСКИЙ РЕГИОН

РУЧНОЙ

Согласно моим наблюдениям в Батинском районе Батинского района Северо-Кавказского края, где я проводил геологические и геофизические исследования, можно отметить следующее:

Согласно моим наблюдениям в Батинском районе Батинского района Северо-Кавказского края, где я проводил геологические и геофизические исследования, можно отметить следующее:

#### ДАМОЧИАНСКАЯ ЛИТЕРАТУРА — ЦИТИРОВАННАЯ ЛИТЕРАТУРА

1. М. С. Абакелина. К вопросу геологической интерпретации результатов магнитной микросъемки в Чнатурском марганцевом районе. Труды Института геофизики АН СССР, Грузинский филиал, т. IV, 1939.
2. К. Б. Вейнберг. О влиянии северо-уральских марганцевых руд на магнитное поле. Советская геология, № 6, 1939.
3. Н. Н. Трубятинский. Магнитометрическое обследование марганцевых месторождений, Никопольский район, 1928—1929 гг. Труды ВГРО, вып. 166, 1932.
4. B. S. R. Rao. Rhimasankarem V. L. S. An interpretation of the vertical magnetic anomalies over the Kodur manganese belt. Current Sci., № 11, 1957.
5. B. S. R. Rao. Bhimasankarem V. L. S. Vertical magnetic anomalies in Kodur manganese belt. Proc. 45 the Indian Sci. Congr. Assoc. Madras, 1958.

6. Г. А. Авалиани. Марганец. Природные ресурсы Грузинской ССР, т. 1, 1958.
7. А. Г. Бетехтин. О генезисе Чнатурского марганцевого месторождения. Труды конфер. по генезису руд железа, марганца и алюминия. Изд. АН СССР, 1937.
8. А. В. Гавашели. О генезисе марганцевых руд Чнатуро-Сачхерского бассейна. Сообщения АН СССР, № 6, 1951.
9. Е. И. Соколова. Физико-химические исследования осадочных железных и марганцевых руд и вмещающих их пород. Изд. АН СССР, М., 1962.
10. М. Л. Челишвили. Лабораторная установка для исследования магнитных полей и решение некоторых задач разведочной магнитометрии методом магнитного моделирования. Труды Института геофизики АН ГССР, т. XIV, 1955.

ХИМИЯ

Г. А. ГОЛОВКО, Е. И. БОРЗЕНКО, Г. В. ЦИЦИШВИЛИ (академик  
АН ГССР), Т. Г. АНДРОНИКАШВИЛИ

## НЕРАВНОВЕСНЫЕ ИЗОБАРЫ АДСОРБЦИИ-ДЕСОРБЦИИ АРГОНА И КИСЛОРОДА НА СИНТЕТИЧЕСКИХ ЦЕОЛИТАХ

При разработке технологических процессов очистки газов от примесей с помощью синтетических цеолитов, наряду с изотермами адсорбции отдельных компонентов или смесей газов, большой интерес представляют также изобары адсорбции-десорбции. Например, при выборе режима очистки аргона от кислорода очень важно обеспечить селективное и полное поглощение кислорода. В противном случае либо не будет обеспечена заданная чистота аргона, либо он будет адсорбироваться параллельно с кислородом, что может привести к очень большим потерям аргона.

При равновесной адсорбции количество поглощаемых газов возрастает с понижением температуры, достигая максимума в области температуры насыщенных паров адсорбата при выбранном давлении. Однако для снятия равновесной изобары адсорбции-десорбции таких газов, как кислород и аргон, на цеолитах NaA и KA, особенно в интервале температур от критической до температуры  $-180^{\circ}\text{C}$ , требуется очень длительное время (измеряемое сутками). Практически время контакта газа с адсорбентом (например, при динамическом режиме очистки аргона от кислорода) исчисляется минутами или секундами.

Естественно также, что эффективность многократной адсорбционной очистки существенно зависит от условий проведения процесса и, в частности, от режима охлаждения адсорбента.

На рис. 1—4 приведены неравновесные изобары адсорбции-десорбции кислорода и аргона на цеолитах ГОБ ВНИИП NaA (Ц-202—194), KA (Ц-202—384) и серебряной форме цеолита типа А, синтезированной по методике Института физической и органической химии им. П. Г. Меликишвили АН ГССР. Во всех случаях в адсорбере было загружено по 650 г цеолита и адсорбция проводилась в статических условиях при давлении около 1, 2 ата.

Регенерация цеолита осуществлялась с помощью горячего воздуха, подаваемого в межтрубное пространство адсорбера, в сочетании с вакуумированием. Подогрев цеолита KA не превышал  $240^{\circ}\text{C}$ , NaA и



AgNaA—280—300°C, с выдержкой при указанной температуре в течение 3—4 часов. Более подробное описание установки и режима регенерации адсорбентов приведено в работах [1, 2].

Охлаждение адсорбента производилось на первой стадии (до 50—60°C) воздухом (продувкой межтрубного пространства аппарата), а далее— с помощью жидкого кислорода.

Во избежание подсоса воздуха при понижении температуры цеолита, давление в динамической трубке повышалось за счет подачи кислорода или аргона и поддерживалось на уровне 1,0—1,2 ата до окончания процесса охлаждения.

При этом, как правило, активного поглощения кислорода или аргона не наблюдалось и количество адсорбированного газа не превышало 5—10 л (см. нижние прямые линии на рис. 1, 2 Б и 4). В то же время, если при температуре ниже —50°C резко увеличить темп охлаждения либо резко повысить давление (например, только в это время начать подавать газ в адсорбер), начинается процесс весьма интенсивной адсорбции. В качестве подобного примера приведена нижняя кривая на рис. 1.

Остальные неравновесные изобары (рис. 1—4) были получены при подогреве цеолита (жидкий кислород сливался, а межтрубное пространство адсорбера продувалось холодным или горячим воздухом).

На рис. 1 приведены неравновесные изобары адсорбции-десорбции кислорода и аргона, полученные при подогреве цеолита NaA со скоростью около 1° за 2,5 мин. Аналогичные условия соблюдались при снятии участков изобар адсорбции  $O_2$  и  $A_r$ , приведенных на рис. 2 А (верхние кривые). При повышении скорости подогрева примерно до 1° за 0,7—1 мин (средние кривые) и до 1° за 0,25—0,35 мин (нижние кривые) количество адсорбированного кислорода и аргона резко уменьшается.

Неравновесные изобары адсорбции-десорбции кислорода и аргона на цеолите KA и AgNaA (рис. 2, Б и 4) и участки неравновесных изобар адсорбции на этих же цеолитах, приведенные на рис. 3 А и 3 Б

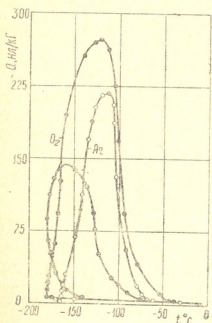


Рис. 1. Неравновесные изобары адсорбции-десорбции аргона и кислорода на цеолите NaA

(верхние кривые), соответствуют скорости подогрева, близкой к  $1^\circ$  за 3–3,3 мин. Средние кривые на рис. 3, А и 3, Б получены при скорости подогрева цеолитов, равной  $1^\circ$  за 1,5 мин, а нижние кривые—скорости подогрева, лежащей в пределах  $1^\circ$  за 0,5–1 мин.

Анализ экспериментальных данных показал, что адсорбция кислорода и аргона на исследованных цеолитах при температуре ниже  $T_{kp}$  достаточно точно соответствует закону внутренней диффузии  $\tau^{1/2}$ , а количество адсорбированных газов может быть определено из выражения

$$a_\tau = K\tau^{1/2},$$

где  $a_\tau$ —количество адсорбированного газа, отнесенное к нормальным

условиям (760 мм рт. ст. и  $0^\circ\text{C}$ ) и 1 кг (насыпной вес) цеолита за время  $\tau$ ; К—коэффициент, зависящий от свойств адсорбата и адсорбента (особенно от условий и степени дегидратации [3]).

Вычисленные значения коэффициентов активности у цеолитов NaA, KA и AgNaA в среднем равны по кислороду соответственно  $K_{O_2}=32; 30$  и 26; по аргону они

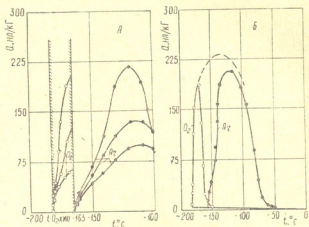


Рис. 2. А—участки неравновесных изобар адсорбции аргона и кислорода на цеолите NaA; Б—неравновесные изобары адсорбции-десорбции аргона и кислорода на цеолите KA

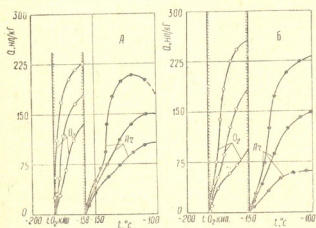


Рис. 3. А—участки неравновесных изобар адсорбции аргона и кислорода на цеолите KA; Б—участки неравновесных изобар адсорбции аргона и кислорода на серебряной форме цеолита NaA

почти в два раза меньше и составляют соответственно  $K_{Ar}=20; 16$  и 15.

Более резкое замедление процесса адсорбции аргона при температуре ниже  $T_{kp}$  объясняется, по-видимому, тем, что критический диаметр атомов аргона ( $3,84 \text{ \AA}$ ) больше, чем критический диаметр молекул кислорода ( $2,8 \text{ \AA}$ ), последние быстрее диффундируют и, кроме того, кислород обладает относительно большим сродством с цеолитами, чем аргон.

Поскольку коэффициент  $K$  зависит от большего числа факторов, значения  $K_{O_2}$  и  $K_{Ar}$ , вычисленные для различных температур, отличаются иногда более чем на 10%, однако в подавляющем большинстве случаев это расхождение значительно меньше. В качестве примера в таблице

приведены значения коэффициента  $K_{O_2}$  для цеолита NaA.

Как видно из таблицы, значение  $K_{O_2}$  несущественно отличается от средней величины—32. Следует отметить также, что в начальный период адсорбции расхождение в коэффициенте может достигать существенной величины из-за активной адсорбции газов на вторичной пористой структуре и различия температуры периферийных и внутренних слоев сорбента. Известно также, что при относительной адсорбции  $\gamma = 0,6 - 0,7$  закон внутренней диффузии  $\tau^{1/2}$  перестает быть справедливым.

Из рассмотрения рис. 1 и 2 А видно, что интенсивная адсорбция кислорода начинается в области температур минус 183—180°C (в зависимости от барометрического давления, концентрации хладоагента и др.) и достигает в первом случае

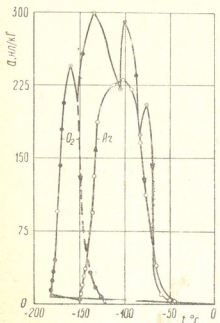


Рис. 4. Неравновесные изобары адсорбции-десорбции аргона и кислорода на серебряной форме цеолита NaA

(при температуре около  $-120^\circ\text{C}$ ) 280 л (при нормальных условиях и пересчете на 1 кг цеолита). Количество адсорбированного аргона при температуре  $-115^\circ\text{C}$  составляет около 220 мл/кг.

При дальнейшем повышении температуры начинается процесс весьма интенсивной десорбции. Началу процесса адсорбции аргона соответствовала в этом случае температура  $-165^\circ\text{C}$ . Для цеолита KA эта температура несколько выше (рис. 2 Б и 3 А) и равна около  $-158^\circ\text{C}$ . Еще больше интервал температур ( $-182$  и  $-150^\circ\text{C}$ ), в котором не

наблюдалось процесса адсорбции аргона, у цеолита AgNaA (рис. 4 и 3 Б).

Начало десорбции кислорода при температуре минус 170—160°C объясняется несколько повышенным темпом подогрева. В действительности зона адсорбции кислорода шире зоны адсорбции аргона и в данном случае это видно из рассмотрения рис. 4, когда в момент прекращения подогрева цеолита Ag NaA после начала процесса десорбции снова возобновлялся процесс адсорбции кислорода.

При любой скорости подогрева исследованных цеолитов процесс десорбции кислорода и аргона почти полностью заканчивался в интервале температур от — 70 до — 40°C.

Исследованные цеолиты всегда поглощали кислорода на 15—20% больше, чем аргона (в сопоставимых условиях), что не противоречит также основному термическому уравнению адсорбции для адсорбентов первого структурного типа [4].

В рассматриваемом интервале температур, т. е. при  $T \leq T_{kp}$ ,

$$a = \frac{W_0}{V^*} e^{-B \frac{T^2}{\beta^2} (\lg Ps/P)},$$

или в линейной форме

$$\lg a V^* = \lg W_0 - 0,434 \frac{B}{\beta^2} [T \lg (Ps/P)]^2.$$

Поскольку для кислорода и аргона значения коэффициента аффинности  $\beta$  и объемы 1 ммоля  $V^*$  имеют близкие значения, количество адсорбированного вещества  $a$  при прочих разных условиях зависит от величины  $(\lg Ps/P)^2$ , которая для кислорода всегда будет меньше, чем для аргона.

Следует отметить, что исследованные цеолиты поглощали в описанных условиях весьма значительные количества кислорода и аргона. Расчеты показывают, что столь значительное количество газов может

Значения коэффициента К для цеолита  
NaA по кислороду

№ п/п	Температура в конце процесса адсорбции, °C	Разность температур в начале и в конце процесса адсорбции, °C	Время адсорбции, τ	Количество $O_2$ адсорбированного за время τ (рис. 2, А)	Коэффициент $K_{O_2}$
1	-165	17	40,36''	202,0	32,2
2	-165	17	15,42''	127,0	32,1
3	-165	17	4,30''	87,5	31,9
4	-170	12	28,36''	180,0	33,7
5	-170	12	11,06''	105,0	31,6
6	-170	12	3,09''	57,0	32,1
7	-175	7	16,33''	130,0	31,9
8	-175	7	1,51''	43,0	31,9

Среднее значение  $K_{O_2}$  равно 32,0.

быть поглощено цеолитами лишь при условии такой упаковки молекул (атомов), при которой плотность адсорбированной фазы будет превышать плотность нормальных жидкостей. На возможность столь плотной упаковки указывалось в работе М. М. Дубинина и Е. Г. Жуковской [5], где отмечено, что адсорбированный аргон соответствует состоянию переохлажденной жидкости. Возможно, имеются и другие причины, объяснение которых может быть найдено лишь при дальнейших исследованиях.

Академия наук Грузинской ССР  
Институт физической и  
органической химии  
им. П. Г. Меликишвили

(Поступило в редакцию 21.3.1966)

## Ленинградский технологический институт холодильной промышленности

၆. ဘက္ကဗေဒ၊ ၇. ပုဂ္ဂန်စာတမ်း၊ ၈. ပေါ်ပေါ်ဆောင်ရွက် (သူတေသနပညာလျှော့ကြော်ချို့ယော်အားဖြင့် ပေါ်ပေါ်ဆောင်ရွက်နိုင်သူတေသနပညာလျှော့ကြော်ချို့ယော်)၊ ၉. အနေဖော်ပေါ်ပေါ်ဆောင်ရွက်

არგონისა და შავებადის ალერგიული-დასორიზმის  
არაფონასტორული იზოპარეზი სინთეზურ  
ცენტრითმა

၃၅၈၀၄၂

სინთეზური ცეოლითების საშუალებით ნარევებისაგან აირების გაწმენდის ტექნოლოგიური პროცესების დამუშავებისას, ცალკეული კომპონენტების ან აირების ნარევების აღსორბების იზოთერმების გარდა, საინტერესოა გვერდეს აგრძელებული მონაცემები აღსორბები-დესორბების იზობარების შესახებაც.

კუსის კიხტერიყასთან და გულა კუსის მართვის მიზანით დასორბენტებად გამოყენებულია A ტიპის ჩატარებულ გამოკვლევაში ადსორბენტებად გამოყენებულია A ტიპის ნატრიუმის, კალიუმისა და ვერცხლის ფორმის ცეოლითები. ადსორბენტების ნატრიუმის, ისევე, როგორც რეგენერაციას, ვაწარმოებდით ცეოლითების გა-გაძრიყვნას, ისევე, რეგენერაციას, ვაწარმოებდით ცეოლითების გა-ნერგით 3—4 საათის განმავლობაში.

А ტიპის ნატრიუმის ფორმის ცელლითის განურების ტემპერატურა და ალემატება 240°-ს, ხოლო კალიუმისა და ვერცხლის ფორმებისა—280—300°-ს. ადსორბციის პროცესს ვატარებდით დაბალ ტემპერატურაზე. პირველ ადსორბციის პროცესს ვატარებდით დაბალ ტემპერატურაზე. პირველ ადსორბციის შემდეგ ადსორბენტს ვაცივებდით სტადიაზე (ტემპერატურული რეგენერაციის შემდეგ) ადსორბენტს ვაცივებდით სტადიაზე (ტემპერატურული რეგენერაციის შემდეგ) აზოტის საშუალებით. უნდა აღი- პერით 50—60°-მდე, ხოლო შემდეგ ოხევადი აზოტის საშუალებით. უნდა აღი- ნიშნოს, რომ კარგად გამოხატული ადსორბციის პროცესი შემჩნეულია ვაცი- ვების ტემპის მკვეთრი გაზრდისას, ან წნევის მკვეთრი გადილებისას ადსორ- ბერში.

ექსპერიმენტული მონაცემების ანალიზმა გვიჩვენა, რომ ჟანგბადისა და არგონის ადსორბცია გამოკვლეულ ცერლითებზე კრიტიკული ტემპერატურის ქვემოთ საქმიანო ზუსტად შეესაბამება შიგა დიფუზიის კანონს.

ამ მონაცემებიდან აგრეთვე ჩანს, რომ კრიტიკული ტემპერატურის ქვე-მოთ არგონის ადსორბცია რამდენადმე შენელებულია ჟანგბადთან შედარებით. დადგენილია, რომ გამოკვლეული ცერლითები ყოველთვის შთანთქავდნენ ჟანგ-ბადს 15—20%-ით მეტს, ვიდრე არგონს.

კინეტიკური ეფექტის გავლენის გამოყენება უზრუნველყოფს არგონის ნა-რევიდან ჟანგბადის სელექტიურ შთანთქმას. ჟანგბადის მიმართ ცერლითების უფრო მაღალი ადსორბციული ტევადობის უზრუნველყოფისათვის სამუშაო რე-კიმის ოპტიმალური ტემპერატურა უნდა შეიქმნას—183°C-ზე უფრო მეტი, მაგრამ არ უნდა აღმატებოდეს A ტიპის ნატრიუმის ფორმის ცერლითისა-თვის—165°C, კალიუმის ფორმის ცერლითისათვის—158°C და ვერცხლის ფორ-მის ცერლითისათვის—150°C, რათა ადგილი არ ქმნდეს არგონის შესამჩნევ შთანთქმას.

ეს პროცესი, როგორც ჩანს, დაკავშირებულია მოლეკულების ისეთ ჩალა-გებასთან, რომლის დროსაც ადსორბირებული ფაზის სიმკვრივე ჭარბობს ნორ-მალური სითხის სიმკვრივეს. ასეთი მკრრივი ჩალაგების შესძლებლობაზე მი-თითებული არის მ. ლუბინინის შრომაში მიერთოოროვან სორბენტებზე არგო-ნის ადსორბციის შესწავლისას, სადაც ნაჩვენებია, რომ ადსორბირებული არ-გონი შეესაბამება გადაცემის სითხის მდგომარეობას.

#### დაოფიციული ლიტერატურა — ЦИТИРОВАННАЯ ЛИТЕРАТУРА

- Г. А. Головко. Применение синтетических цеолитов для адсорбционно-термической очистки аргона от кислорода. В сб.: „Синтез, исследование и применение цеолитов”, изд. „Наука”, 1965, 321—323.
- Г. А. Головко. Аппараты и установки для производства аргона. М.—Л., изд. „Машиностроение”, 1965, 164.
- R. M. Barrer, A. B. Robins. Sorption of mixtures. Part 1. Molecular sieve separation of permanent and inert gases. Trans. Faraday Soc., 49, 7, N 367, 1953, 807—815.
- М. Дубинин, З. А. Жукова, Н. В. Кельцев. О применимости потенциальной теории к адсорбции газов и паров синтетическими цеолитами. В сб.: „Синтетические цеолиты”, изд. АН СССР, М., 1962, 7—17.
- М. М. Дубинин, Е. Г. Жуковская. Особенности адсорбции паров микропористыми адсорбентами. ДАН СССР, т. 156, № 2, 1965, 404—407.

ХИМИЯ

Х. И. АРЕШИДЗЕ (член-корреспондент АН ГССР),  
Е. М. БЕНАШВИЛИ, Т. Т. КУРАШВИЛИ

ДЕГИДРАТАЦИЯ ЦИКЛОГЕКСАНОЛА НА ПРИРОДНОМ И  
СИНТЕТИЧЕСКИХ ЦЕОЛИТАХ

Ранее одним из нас [1] было показано, что при дегидратации циклогексанола в присутствии гумбриня образуется циклогексен, который изомеризуется сжатием цикла и передвижением двойной связи, в результате чего получаются метилцикlopентены.

В предыдущем исследовании [2] для дегидратации циклогексанола были использованы как природный, так и активированный гумбрин и промышленный алюмосиликат. В работе [2] ставилась целью подыскать оптимальные условия дегидратации циклогексанола с максимальным выходом продуктов изомеризации циклогексена — метилцикlopентенов. Гидрированием образовавшихся метилцикlopентенов был получен метилцикlopентан с хорошим выходом в пересчете на исходный циклогексанол.

Реакция изомеризации циклогексена в метилцикlopентены на различных окислах исследована Н. Д. Зелинским с сотрудниками [3, 4].

Контактные превращения циклогексена над активированными природными и синтетическими алюмосиликатами изучались рядом авторов [5—7].

В настоящей работе мы задались целью исследовать катализитические свойства некоторых ионообменных форм синтетических цеолитов в реакции дегидратации циклогексанола. Поскольку реакции идут в основном во внутриструктуральных полостях цеолитов, для их протекания необходимо, чтобы поперечное сечение входных окон или каналов цеолитов было больше или равно критическому диаметру как реагирующей молекулы, так и продуктов реакции. Размеры этих каналов зависят как от типа цеолитов, так и от природы ионообменных катионов, которые, в свою очередь, могут различно влиять на катализитические свойства этих цеолитов.

Для исследования реакции дегидратации циклогексанола были использованы синтетические цеолиты водородной и декатионированной форм типов X и A, а также кальциевой формы обоих типов, природный цеолит — анальцим, гумбрин и промышленный алюмосиликат.

На основании исследований, проведенных в лаборатории физической химии Института физической и органической химии им. П. Г. Меликишили АН ГССР под руководством Г. В. Цицишвили разработана пропись получения водородной и декатионированной форм цеолитов типа X и A, по которой в 1964 г. на Горьковской базе ВНИИПИ получена опытная партия этих цеолитов (1).

(1) За предоставление образцов этих цеолитов выражаем благодарность Г. В. Цицишвили, Г. Д. Багратишвили, К. А. Бежашвили.

В работе [8] представлены результаты по получению и исследованию свойств цеолитов типа X в аммонийной и водородной ионообменных формах.

Г. В. Цицишвили с сотрудниками [9] исследовали адсорбционные свойства водородных форм цеолитов типа X и A, полученных ими термообработкой аммониевых форм в вакууме.

Оказалось, что адсорбционные свойства этих цеолитов растут с увеличением степени замещения ионов натрия на водород. Верхней границей соответствующей стабильности водородных форм цеолитов типа A является степень замещения около 20%, а в цеолите типа X степень замещения значительно выше.

Специфическими свойствами водородных форм цеолитов являются, наряду с высокой адсорбционной способностью, высокая катализическая активность, кислотостойкость и др., поэтому изучение возможностей применения этого цеолита в каталитических процессах представляют значительный интерес. Как показали наши исследования, водородный цеолит типа X является прекрасным катализатором дегидратации циклогексанола, который в сравнительно мягких условиях опыта при 180—200°C полностью и селективно проводит дегидратацию циклогексанола с образованием циклогексена.

Катализическую активность синтетических цеолитов NaX, CaA и HX в реакции дегидратации изопропилового спирта исследовали Г. В. Цицишвили с сотрудниками [10]. По способности проводить дегидратацию изопропилового спирта эти цеолиты расположены в ряд  $\text{HX} > \text{NaX} > \text{CaX}$ .

Дегидратацию циклогексанола на синтетическом цеолите типа V с соотношением  $\frac{\text{SiO}_2}{\text{Al}_2\text{O}_3} = 3,4$  провели Х. М. Миначев с сотрудниками [11].

Ими установлено, что, селективная дегидратация циклогексанола при 150° идет на 68%, а при 170° — уже на 100%.

В ряде работ [12—14] синтетические цеолиты NaX, CaX, CaA, а также H-морденит использованы в качестве катализаторов для дегидратации различных спиртов.

### Экспериментальная часть

Исследуемый циклогексанол был получен из центральной лаборатории Руставского химкомбината. Ниже приводим его физические свойства.

Наши данные: т. кип. (р 726 мм) 158—159°C;  $n_D^{25}$  1,4638;  $d_4^{25}$  0,9448.

Литературные данные: т. кип. (р 722 мм) 158,8—159°C;  $n_D^{25}$  1,4654;  $d_4^{25}$  0,9440.

Опыты по дегидратации циклогексанола проводились в лабораторной трубчатой печи, в которую помещалась кварцевая трубка с внутренним диаметром 18 мм и длиной 46 мм. Продукты дегидратации получались в специально охлаждаемом приемнике, они улавливались также в змеевике, помещенном в сосуд Дюара с охлаждающей смесью.

В процессе дегидратации газообразование не имело места. Продукты дегидратации после удаления выделившейся воды и соответствующей сушки фракционировались с целью выделения узких углеводородных фракций и определения количества непрореагированного спирта. Для углеводородных фракций определялись физические свойства, а также бромные числа, на основании которых определялось содержание непредельных углеводородов. Для идентификации образовавшихся углеводородов проводились также спектроскопические исследования узких фракций методом комбинационного рассеяния.

В качестве катализаторов для дегидратации циклогексанола были применены полученные на Горьковской опытной базе ВНИИП водородные и декатионированные цеолиты Х партий Ц=202-467 (порошкообразные) и Ц=202-476 (гранулированные) и цеолиты типа А в водородной и декатионированной формах партий Ц=202-472 (гранулированные) и Ц=202-461 (порошкообразные).

Кроме этих цеолитов, были использованы также синтетические гранулированные цеолиты кальциевой формы типов Х и А партий Ц=202-235 и Ц=202-538 соответственно.

Наряду с синтетическими цеолитами, в реакции дегидратации циклогексанола были исследованы также природный цеолит-анальцит, природный гумбрин и промышленный алюмосиликат Бакинской катализаторной фабрики. Ниже приводим химический состав этих катализаторов.

Природный гумбрин „Мхенджисеули“, проба 1955 г.

SiO <sub>2</sub>	Al <sub>2</sub> O <sub>3</sub>	Fe <sub>2</sub> O <sub>3</sub>	FeO	CaO	MgO	Na <sub>2</sub> O	TiO <sub>2</sub>	P <sub>2</sub> O <sub>5</sub>	K <sub>2</sub> O	SO <sub>3</sub>
57,55	11,68	3,76	1,03	2,27	4,34	1,09	0,23	0,11	0,55	0,33

Влага — 11,01 %, потери при прокаливании — 4,72 %.

Анальгим

SiO <sub>2</sub>	Al <sub>2</sub> O <sub>3</sub>	Fe <sub>2</sub> O <sub>3</sub>	FeO	MgO	CaO	Na <sub>2</sub> O	K <sub>2</sub> O
52,18	21,99	5,46	1,03	1,55	0,82	6,30	1,29

Влага — 2,55 %, потери при прокаливании — 5,37.

Промышленный алюмосиликат Бакинской катализаторной фабрики

SiO <sub>2</sub>	Al <sub>2</sub> O <sub>3</sub>	CaO + FeO,	Na <sub>2</sub> O
84,0	15,0	1,0	0,01

Каждый из этих катализаторов в количестве 50 мл помещался в кварцевую трубку трубчатой электропечи и до начала опыта в течение



6 часов нагревался с повышением температуры до 400—500° до прекращения выделения воды под вакуумом водоструйного насоса. В опытах с водородными формами цеолитов температуру повышали до 300—350°, во избежание частичного разложения этого цеолита и превращения в декатионированную форму.

В таких же условиях производилась регенерация катализатора после каждого опыта, только для выжигания образовавшегося кокса с поверхности катализатора он прокаливался в токе воздуха до 500°С, за исключением водородных цеолитов.

Опыты по дегидратации циклогексанола проводились первоначально в интервале температур от 180 до 300°С и при объемных скоростях 0,2—1,5 час<sup>-1</sup> с целью установления оптимального режима дегидратации. Далее были выбраны более мягкие условия опыта (температура 180—200° и объемная скорость 0,5 час<sup>-1</sup>) в качестве модельных, и все исследованные катализаторы были сравнены по своей дегидратирующей способности в этих условиях.

Результаты исследования представлены в табл. 1 и 2.

Таблица 1  
Результаты дегидратации циклогексанола на водородной и декатионированной формах синтетических цеолитов типа X

№ п/п	Наименование цеолитов	Температура дегидратации, °С	Объемная скорость, час <sup>-1</sup>	Степень дегидратации	Свойства продуктов дегидратации				
					T, кип., °С	n <sub>D</sub> <sup>20</sup>	d <sub>4</sub> <sup>20</sup>	Бромное число	Целекл. углевод., вес. %
1	Водородная форма, негранулированная	180	0,5	97,6	78—84	1,4460	0,8096	188,8	96,8
2	"	180	1,0	91,5	79—86	1,4463	0,8079	189,3	97,1
3	"	180	1,5	66,1	79—85	1,4461	0,8074	188,6	96,8
4	"	200	1,0	100,0	79—83	1,4462	0,8066	189,5	97,2
5	"	200	1,5	100,0	79—85	1,4465	0,8064	195,5	100,0
6	Водородная форма, гранулированная	180	0,5	100,0	81—82	1,4464	0,8079	196,0	100,0
7	"	200	0,5	100,0	80—82	1,4460	0,8082	194,0	100,0
8	"	200	1,5	100,0	79—82	1,4461	0,8071	195,3	100,0
9	Декатионированная форма, негранулированная	180	0,5	95,0	1) 74—78 2) 78—84	— 1,4451	0,8056 —	179,4 —	— 92,0
10	"	200	0,5	100,0	1) 76—79 2) 79—82	1,4360 1,4431	9,7694 0,7406	155,3 169,4	79,7 86,9
11	"	200	1,5	94,6	79—85	1,4460	0,8099	188,9	96,9
12	Декатионированная форма, гранулированная	180	0,5	100,0	80—83	1,4460	0,8056	191,5	98,2
13	"	200	0,5	100,0	79—82	1,4463	0,8058	196,5	100,0
14	"	200	1,5	100,0	78—82	1,4461	0,8079	191,1	98,1

Как показали сравнения ряда катализаторов в модельных условиях опыта (табл. 1), водородные и декатионированные формы цеолитов X обладают 100% дегидратирующей способностью и являются селективными катализаторами, так как в очень незначительной степени вызывают изомеризацию образовавшегося циклогексена в метилциклогептены.

Высокой дегидратирующей способностью обладает также синтетический цеолит NaX (97%). На цеолите CaX степень дегидратации достигает 80%, анальцим — 74,5%, а на природном гумбрине — 64,8%. Как видно из табл. 2, значительно низкие превращения циклогексанола получены на синтетических цеолитах типа А. Из исследованных катализаторов этого типа самая низкая способность дегидратации у декатионированной формы (8,8%) и ничтожна мала у NaA ≈ (3%). По всей вероятности, на этих катализаторах реакция дегидратации циклогексанола, ввиду геометрических затруднений для проникновения его вовнутрь кристаллической полости, протекает в основном на вторичной пористой поверхности цеолитов, которая очень мала по сравнению с общей поверхностью цеолитов.

Таблица 2

Результаты дегидратации циклогексанола на различных контактах

№ п/п	Наименование контактов	Температура дегидратации, °C	Объемная скорость, час <sup>-1</sup>	Степень дегидратации	Свойства продуктов дегидратации				
					T. кип., °C	n <sub>D</sub> <sup>20</sup>	d <sub>4</sub> <sup>20</sup>	Бромное число	Непред. углевод. вес. %
1	Природный гумбрин	200	0,5	64,8	80—82	1,4460	0,8065	187,1	96,0
2	Природный цеолит — анальцим	200	0,5	74,5	80—82	1,4462	0,8079	184,4	95,6
3	Промышленный алюмосиликат	200	0,5	100,0	1) 75—79 2) 79—82	1,4325 1,4410	0,7847 0,8096	144,9 188,5	74,3 96,7
4	:	200	1,5	100,0	79—82	1,4432	0,7952	178,1	91,4
5	:	260	0,5	100,0	1) 71,5—78 2) 78—80	1,4270 0,4400	0,7790 0,7910	127,2	65,3
6	Синтетический цеолит NaX, гранулированный	200	0,5	97,0	81—82	1,4478	0,8090	192,8	99,0
7	Синтетический цеолит NaA, гранулированный	200	0,5	~3	—	—	—	—	—
8	Синтетический цеолит CaX, гранулированный	200	0,5	80,0	80—82	1,4450	0,8051	185,5	95,2
9	Синтетический цеолит CaA, гранулированный	200	0,5	67,6	81—82	1,4470	0,8070	191,3	98,1
10	Синтетический цеолит HA, гранулированный	200	0,5	56,0	79—82	1,4452	0,8079	184,4	94,6
11	Синтетический цеолит DA, гранулированный	200	0,5	31,0	70—78	1,4470	0,8107	184,4	94,6
12	Синтетический цеолит DA, негранулированный	200	0,5	8,8	79—82	1,4470	0,8099	192,5	98,8

Более высокие значения степени дегидратации получены на гранулированных цеолитах, содержащих связующий алюмосиликат в количестве 15—20%, который сам является хорошим катализатором дегидратации. Так, в случае декатионированной формы со связующим получена степень дегидратации 31% против 8,8% без связующего.

Из исследованных нами гранулированных цеолитов типа А наиболее высокую степень дегидратации характеризуется кальцевая форма. По активности дегидратации их можно расположить в следующий ряд: CaA > HA > DA > NaA.

Высокой изомеризующей способностью обладает промышленный алюмосиликат Бакинской катализаторной фабрики, который при 250—

260° полностью изомеризует образовавшийся циклогексен в мегилциклопентены. В результате интенсивного перераспределения водорода в катализаторе получается смесь метилцикlopентана с метилицикlopентенами, наряду с высококипящими продуктами полимеризации.

При температуре 200° и объемной скорости 1,5 час<sup>-1</sup> на этом алюмосиликате не наблюдается реакции изомеризации и единственным продуктом дегидратации циклогексанола является циклогексен с примесью циклогексана. При той же температуре, но более низкой объемной скорости (0,5 час<sup>-1</sup>), наряду с циклогексеном, образуются также продукты его изомеризации и перераспределения водорода. Таким образом, на промышленном алюмосиликатном катализаторе можно управлять реакцией дегидратации циклогексанола путем изменения температуры реакции и объемной скорости подачи спирта.

Спектроскопические исследования<sup>1</sup> продуктов дегидратации проводились методом комбинационного рассеяния на спектрографе ИСП-51. Катализаторы, выкипающие в пределах 79—82°, содержали только циклогексен с характерными частотами  $\Delta\nu \text{ см}^{-1}$ : 825; 1654; 1223; 396. Показателем высокой степени частоты циклогексена можно считать наличие в спектре эталонного циклогексена таких частот, интенсивность которых равна 12 по принятой в СССР шкале интенсивностей.

### Выводы

1. Исследована реакция дегидратации циклогексанола на природном и синтетических цеолитах типа X и A, а также на гумбрине и промышленном алюмосиликате.

2. В результате исследования установлено, что водородные и декатионированные формы цеолитов X представляют собой селективные катализаторы дегидратации циклогексанола и в условиях температуры 200° и объемной скорости 0,5—1,5 час<sup>-1</sup> на 100% дегидратируют циклогексанол с образованием циклогексена. За ними следуют синтетические цеолиты NaX и CaX, на которых степень дегидратации циклогексанола достигает 97 и 80% соответственно. Таким образом, дегидратирующие свойства синтетических цеолитов типа X можно расположить в следующий ряд:  $\text{HX} \approx \text{DX} > \text{NaX} > \text{CaX}$ .

3. На природном гумбрине и анальцимме степень дегидратации циклогексанола в условиях температуры 200° и объемной скорости 0,5 час<sup>-1</sup> составляет 64,8 и 74,5% соответственно. В тех же условиях на синтетических цеолитах типа A степень дегидратации значительно ниже и уменьшается в ряду  $\text{CaA} > \text{HA} > \text{DA} > \text{NaA}$ .

4. Промышленный алюмосиликат, наряду с дегидратацией циклогексанола, вызывает изомеризацию продуктов дегидратации и перераспределение водорода, в результате чего частично образуются насыщенные углеводороды и высокомолекулярный продукт полимеризации.

<sup>1</sup> Спектроскопические исследования выполнены А. В. Долидзе, за что выражаем ему благодарность.

Регулирование температуры дегидратации и скорости подачи спирта дает возможность направлять реакцию дегидратации циклогексанола в сторону преимущественного образования циклогексена или же ментилцикlopентенов.

Академия наук Грузинской ССР

Институт физической и  
органической химии  
им. П. Г. Меликишвили

(Поступило в редакцию 5.2.1966)

၅၀၃၀၃

ଓଡ଼ିଆ କେବଳ ଏକ ଭାଷା ନାହିଁ, ଏକ ଧରମ ନାହିଁ, ଏକ ଜୀବନ ରୂପ ନାହିଁ।

3-2-9053

შრომაში შესწავლილია ცალლობექსანოლის დეპილატაციის რეაქცია სხვა-  
დასხვა ფორმისა და ტიპის სინთეზურ ცეოლითებზე და ზოგიერთ ბუნებრივ  
და ხელოვნურ ალფამისილეკიაზე.

და ჟელოვერტი ტანგებონდა ატმოსფერულ წნევაზე, გამდინარე დეპილატაციის ცდები ტანგებონდა ატმოსფერულ წნევაზე, გამდინარე ტიპის პარატში, 180—300°-ზე, 0,2—1,5 საათი<sup>-1</sup> მოცულობითი სიჩქარის დროს აპტიმალური რეაქციის მიზნით. შემდგა შერჩეულ იყო დეპილატაციიმაღლური რეაქციის დაგენერირება (200°C და 0,5 საათი<sup>-1</sup> მოცულობითი სიჩქარე) ციის უფრო რბილი პირობები (200°C და 0,5 საათი<sup>-1</sup> მოცულობითი სიჩქარე) და ამ პირობებში ჩვენ მიერ ჯამინიკულებული ყველა კატალიზატორი შედარებულ და ამ პირობებში ჩვენ მიერ ჯამინიკულებული ყველა კატალიზატორი შედარებულ იქნა ერთმანეთთან ციკლოპექტანოლის მიმართ დეპილატაციის უნარის მიხედვით.

როგორც გამოკვლევის შედეგებში გვიჩვენა, წყალბადისა და დეკატიონი-  
ს რებული ფრამის X ტიპის სინთეზური ცეოლითები როგორც გრანულირე-  
ბულ, ისე არაგრანულირებულ მდგომარეობაში, წარმოადგენს სუკეთეს კა-  
ჰილ, ისე არაგრანულირებულ მდგომარეობაში, წარმოადგენს სუკეთეს კა-  
ჰილიზატორებს ციკლოპექსათლის დეპიდრატაციის რეაქციაში, რაღაც იშვე-  
რენ მის 100%-ით დეპიდრატაციას ციკლოპექსათლის წარმოქმნით.

ბუნებრივ ცეოლით ანალიტიკა, რომელიც თავისი კრისტალური ბუნებით A ტიპის ცეოლითებს მიეკუთვნება, ნაკლები ხარისხით მიღის ციკლოპექსან-ლის დეპილრატაცია, ვიდრე X ტიპის ცეოლითებზე, მაგრამ გაცილებით უკრო მეტად, ვიდრე ჩევენ მიერ შესწავლილ A ტიპის ცეოლითებზე.



დეპიდრატაციის ტემპერატურისა და სპირტის მიწოდების სიჩქარის ცვლი-  
ლება საშუალებას იძლევა ციკლოპექსანოლის დეპიდრატაციის რეაქცია სამ-  
რეწველო ალუმინიუმის წარმართოს ციკლოპექსენისა ან უპირატესად მე-  
თილციკლოპენტენების მიღების მიმართულებით.

### დამოუმუშლი ლიტერატურა — ЦИТИРОВАННАЯ ЛИТЕРАТУРА

1. Х. И. Арешидзе и Е. К. Тавартиналадзе. Дегидратация циклогексанола гумбрином. ЖПХ, 22, 1949, 119.
2. Х. И. Арешидзе и Е. М. Бенашвили. Получение метициклоалентана дегидратацией циклогексанола и изомеризацией циклогексена с последующим гидрированием. В сб.: «Поверхностные явления на алюмосиликатах», изд. «Медицинера», Тбилиси, 1965, 114.
3. Н. Д. Зелинский и Ю. А. Арбузова. О контактном превращении шестичленного цикла в пятичленный. ДАН СССР, 23, 1939, 793.
4. Ю. А. Арбузов и Н. Д. Зелинский. Изомеризация окислами металлов циклогексена и гептена-1. ДАН СССР, 30, 1941, 712.
5. А. Ф. Николаева, В. М. Татевский и А. В. Фрост. Превращение циклогексена над активированной глиной. ЖХХ, 15, 1945, 796.
6. Н. И. Шуйкин и Е. А. Тимофеева. Исследование превращения индивидуальных углеводородов в контакте с активированной глиной. Изв. АН СССР, ОХН, 1953, 678.
7. И. А. Мусаев и В. В. Щекин. Получение метициклоалентана из циклогексанола. ДАН СССР, 74, 1950, 733.
8. Г. В. Цицишвили, Г. Д. Багратишвили, К. А. Бежашвили, Д. Н. Барнашибшили и Л. С. Шуакришвили. Получение и исследование свойств цеолитов типа X в аммонийной и водородной ионообменных формах. ДАН СССР, 152, 1963, 1136.
9. Г. В. Цицишвили, Г. Д. Багратишвили, К. А. Бежашвили и др. Синтез и исследование свойств водородных форм цеолитов. В сб.: «Цеолиты, их синтез, свойства и применение». изд. АН СССР, М.—Л., 1965, 168.
10. Г. В. Цицишвили, Ш. И. Сидамонидзе, Ш. А. Зедгенидзе. Катализическая активность цеолитов NaX, CaA и NH в реакциях крекинга и дегидратации. ДАН СССР, 153, № 6, 1963, 1395.
11. Х. М. Миначев, В. И. Гаранин и Я. В. Исаков. Дегидратация спиртов на синтетическом цеолите структуры Y. Иза. АН СССР, ОХН, № 9, 1964, 1722.
12. P. Keogh, L. B. Sand. A new intrakrystalline Catalyst, 83, 1961, 3536.
13. И. Б. Рапопорт, А. Б. Ициксон, Е. М. Хейфец, Г. В. Сидякова, Дегидратация пентанола-1 на синтетических цеолитах типа NaX. Нефтехимия, 5, № 4, 1965, 549.
14. И. Б. Рапопорт, А. Б. Ициксон, Е. М. Хейфец, Г. В. Сидякова, Дегидратация спиртов на синтетических цеолитах. Нефтехимия, 5, № 5, 1965, 738.

ХИМИЯ

П. Р. МУСТАФАЕВА, А. К. АСКЕРОВ, С. И. САДЫХ-ЗАДЕ,  
Л. Д. МЕЛИКАДЗЕ, Р. А. ЭИВАЗОВА

ДИМЕРИЗАЦИЯ 3-МЕТИЛ- И 3,5-ДИМЕТИЛ- $\alpha$ -  
МЕТИЛСТИРОЛОВ

(Представлено членом-корреспондентом Академии Х. И. Арешидзе 8.2.1966)

В предыдущей статье [1] нами были сообщены результаты исследования по димеризации 3-метилстирола и 3,5-диметилстирола над силикагелем.

Продолжая исследования в данном направлении, в настоящей статье приводим результаты димеризации не описанных в литературе 3-метил- и 3,5-диметил- $\alpha$ -метилстиролов в присутствии катализаторов—силикагеля,  $H_2SO_4$  и цеолита.

Димеризации подвергались как мономеры, так и катализаты—смесь соответствующих алкил- и алкенилароматических углеводородов, полученная дегидрированием 3-метил- и 3,5-диметилизопропилбензолов [2, 3]. Изучено влияние природы катализатора, температуры реакции и скорости подачи сырья на выход и характер полученных димеров. Силикагель, впервые применяемый в качестве димеризующего агента, оказался наиболее эффективным катализатором, не требующим регенерации и способствующим количественному выходу димеров.

При этом было установлено, что изменение температуры (40—100°) и скорости подачи сырья (0,25—0,5 л/лкч) незначительно влияет на выход полученных димеров.

Дальнейшее увеличение скорости подачи сырья ведет к снижению выхода димеров.

Исследование показало, что при димеризации в присутствии силикагеля непредельная часть катализата полностью димеризуется, а предельная остается без каких-либо изменений. Полученные при этом димеры по всем своим показателям соответствуют димерам, синтезированным из мономеров. Таким образом, применение катализаторов значительно упрощает процесс получения димеров.

Также было установлено, что полученные димеры легко гидрируются обработкой их полилитийпроизводных хлористым аммонием по ранее описанному методу [4].

Строение димеров 3-метил- и 3,5-диметил- $\alpha$ -метилстиролов, полученных над силикагелем, и их гидрогенизатов определялось спектральным анализом. Спектры поглощения димеров исследовались в растворе и. гексане

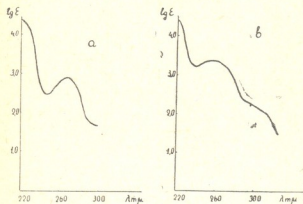
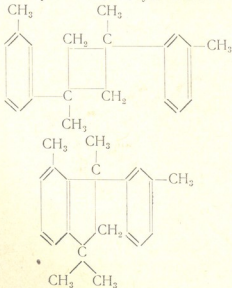


Рис. 1. УФ-спектры поглощения: а—димера 3,5-диметил- $\alpha$ -метилстирола ( $M=292$ ,  $c=0,002$  в гексане) б—димера 3-метил- $\alpha$ -метилстирола ( $M=264$ ,  $C=0,002$  в гексане)

2860, 2854, 2866, 2958  $\text{cm}^{-1}$  соответствуют валентным колебаниям  $\text{CH}_3$ -групп. Частоты 2919, 2921, 2925  $\text{cm}^{-1}$  указывают на наличие  $\text{CH}_3$ -групп, а отсутствие у гидрогенизатов частот 3000—3021  $\text{cm}^{-1}$ , характерных для ароматических  $\text{CH}$ -групп, указывает на исчерпывающее гидрирование последних в пределах чувствительности метода.

Таким образом, можно полагать, что силикагель способствует образованию насыщенных димеров 3-метил- $\alpha$ -метилстирола и 3,5-диметил- $\alpha$ -метилстирола циклического строения с циклобутановым или индановым кольцами:



сана при концентрации  $C=0,002$  на спектрофотометре СФ-4. Спектры поглощения указанных продуктов и их гидрогенизатов в ИКС-области снимались на спектрометре ИКС-12 в области 2,5—5  $\mu$ .

В УФ-области найдены частоты, характерные для изолированных бензольных колец (рис. 1).

Спектры поглощения в ИК-области показывают, что димеры и их гидрогенизаты содержат  $\text{CH}_3$ -группы, ибо частоты 2961,

Проведенные опыты по сернокислотной димеризации 3-метил- $\alpha$ -метилястирола с изменением концентрации  $H_2SO_4$  от 10 до 80% и продолжительности реакции от 20 до 30 часов показали, что 10—15%  $H_2SO_4$  способствует образованию иенасыщенного димера с выходом 28%.

Иенасыщенный характер полученного димера был подтвержден как реакцией на бромную воду, так и наличием в спектрах поглощения частот, характерных для кратной связи ( $1500, 1600, 1611, 1631 \text{ см}^{-1}$ ) (рис. 2).

Вероятно, в этих условиях 3-метил- $\alpha$ -метилястирол димеризуется в 1,1-диметил-1,3-дитоллилбутен-2, подобно  $\alpha$ -метилястиролу [5]. Однако  $H_2SO_4$  с концентрацией 45—80% способствует образованию насыщенных

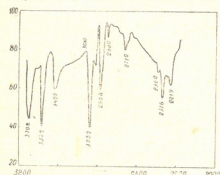


Рис. 2. ИК-спектры поглощения димера 3-метил- $\alpha$ -метилястирола, димеризованного разбавленной серной кислотой

димеров, по-видимому, циклического строения. При этом наилучший выход димера—80%—достигается в присутствии 60%  $H_2SO_4$  и при 20-часовом кипячении реакционной смеси.

Предельный характер и циклическое строение димера были подтверждены данными спектрального анализа (рис. 3).

Найдены частоты, характерные для  $CH_3$ -групп— $2880, 2958 \text{ см}^{-1}$ ,  $CH_2$ -групп— $2830, 2710 \text{ см}^{-1}$  и  $CH$ -ароматических групп— $3010 \text{ см}^{-1}$ .

Димеризация, проведенная над цеолитом, не дала положительных результатов.

Установление точной структурной формулы полученных димеров является предметом наших дальнейших исследований.

Следует отметить, что синтезированные димеры отличаются большим удельным весом ( $0,9941—0,9955$ ), высокими температурами кипения

(166—172°/1—2 мм) и теплотворной способностью ( $Q=10037-10050$  ккал) и поэтому могут найти применение в качестве компонента топлива.

### ЭКСПЕРИМЕНТАЛЬНАЯ ЧАСТЬ

Исходным сырьем для димеризации служили: 3-метил- $\alpha$ -метилстирол, полученный дегидрированием 3-метилизопропилбензола [2], т. кип. 81—82/20 мм;  $n_D^{20}=1,5340$ ,  $d_4^{20}=0,9066$ ; 3,5-диметил- $\alpha$ -метилстирол, полученный дегидрированием 3,5-диметилизопропилбензола (3), т. кип. 87—88°/10 мм;  $n_D^{20}=1,5321$ ,  $d_4^{20}=0,8986$ ; катализат 3-метилизопропилбензола,  $d_4^{20}=1,5155$ , содержащий 53% мономера (2); катализат 3,5-диметилизопропилбензола,  $n_D^{20}=1,5116$ , содержащий 42% мономера (3); силикагель, заводской, марки КСМ, диаметром зерна 0,5 мм; серная кислота.

Влияние условий реакции на выход димеров

Таблица 1

Катализат	Характеристика катализата		Условия димеризации		Фракционный состав, вес. % на мономер			Потери, вес. %
	$n_D^{20}$	содержание мономера, вес. %	т°С	скорость подачи сырья, л/мин	непрореагировавший мономер	димер	остаток	
3-метилизопропилбензола	1,5155	53	40	0,25	—	96,3	2,5	1,2
	“	“	60	0,25	—	95,8	2,8	1,4
	“	“	80	0,25	—	95,5	3	1,5
	“	“	40	0,5	3,5	94,2	1	1,3
	“	“	60	0,5	—	98,0	0,8	1,2
	“	“	80	0,5	—	96,2	2,5	1,3
	“	“	100	0,5	—	95,0	3,6	1,4
3,5-диметилизопропилбензола	1,5116	42	40	0,25	—	96,1	2,7	1,2
	“	“	60	0,25	—	95,8	3,0	1,2
	“	“	80	0,25	—	95,2	3,5	1,3
	“	“	40	0,5	3,0	94,3	1,5	1,2
	“	“	60	0,5	—	97,0	1,6	1,4
	“	“	80	0,5	—	95,0	3,7	1,3

Димеризация исследуемых мономеров в присутствии силикагеля проводилась в вертикальных лабораторных реакторах с автоматической

регулировкой температуры. Реактором служила кварцевая трубка (внутренним диаметром 34 мм длиной 1 м) наполненная силикагелем (V 100 мм).

Исходное сырье с определенной скоростью (0,25—0,5 л/лкч.) пропускалось через слой силикагеля при температуре 40—120° (табл. № 1).

Сернокислотная димеризация осуществлялась в круглодонной колбе, снабженной холодильником, термометром и мешалкой, при мольном соотношении мономера и кислоты—1:8, температуре 100—110° в течение 20—30 часов при непрерывном перемешивании (табл. 2).

Таблица 2

Мономер	Условия димеризации				Характер полу-ченного димера	Фракционный со-став, вес. %			Потеря, вес. %
	мольное со-отношение мономера и H <sub>2</sub> SO <sub>4</sub>	концентра-ция H <sub>2</sub> SO <sub>4</sub> , %	T°C	время, час		непроре-гированший мономер	димер	остаток	
3-метил- $\alpha$ -мети-стирол	1 : 8	10	100—110	15	ненасы-щенный	45	20	32,5	2,5
	*	*	*	20	*	40	28	29,7	2,3
	*	*	*	30	*	37,5	28	32,1	2,4
	*	45	*	20	предель-ный	26,8	55	15,9	2,3
	*	50	*	20	*	20,0	60	17,6	2,4
	*	60	*	20	*	6,5	80	11,6	1,9
	*	80	*	20	*	6,0	69,5	22,3	2,2
	*	60	*	30	*	5,0	80	13,0	2,0

По окончании реакции смесь разбавлялась водой и углеводородный слой извлекался эфиром.

Экстрагированная часть после отгонки эфира нейтрализовалась, сушилась и подвергалась разгонке под вакуумом.

Димеризация 3-метил- $\alpha$ -метилястирола над силикагелем проводилась по вышеописанной методике.

Полученные результаты приведены в табл. 1. В оптимальных условиях 45 г катализатора 3-метилизопропилбензола подвергалось димеризации (температура 60°C и скорость подачи сырья 0,5 л/лкч).

Получено 43 г димеризата, ректификацией которого выделено 22 г димера 3-метил- $\alpha$ -метилястирола со следующими свойствами:

Т. кип. 166—168°/2 мм; n<sub>D</sub><sup>20</sup>—1,5632; d<sub>4</sub><sup>20</sup>—0,9941;

MR<sub>D</sub> найд.—86,04; MR<sub>D</sub> выч.—85,618;

м. в. (найд.)—254,6; м. в. (выч.)—264; η<sup>+50°</sup>—113 сст;

Q<sub>H</sub>—9585 ккал; Q<sub>S</sub>—10073 ккал; выход—98%.



Найдено, %: С—90,87; Н—9,13.

$C_{20}H_{24}$ . Вычислено, %: С—90,91; Н—9,09.

ЗАМЕРЗАЮЩИЙ  
ВЛАСТИВОСТИ

Димеризация 3,5-диметил- $\alpha$ -метилстирола над силикагелем. 44,5 г катализата 3,5-диметилизопропилбензола подвергалась димеризации при 60° и скорости подачи сырья 0,5 л/лкч. Получено 43 г димеризата, ректификацией которого выделено 17,4 г димера 3,5-диметил- $\alpha$ -метилстирола со следующими свойствами:

Т. кип. 170—172°/1 мм;  $n_D^{20}$ —1,5598;  $d_4^{20}$ —0,9955;

м. в. (выч.)—292; м. в. (найд.)—280,8;

$MR_D$  найд.—94,73;  $MR_D$  выч.—94,854;  $\eta^{+50^\circ}$ —120 сст;

$Q_u$ —9520 ккал;  $Q_v$ —10050 ккал; выход—97%.

Найдено, %: С—90,44; Н—9,56.

$C_{22}H_{28}$ . Вычислено, %: С—90,41, Н—9,59.

Димеризация 3-метил- $\alpha$ -метилстирола в присутствии 10%  $H_2SO_4$ . 10 г мономера подвергалось димеризации по вышеописанной методике в присутствии  $H_2SO_4$  в мольном соотношении 1:8, при температуре 100°C в течение 20 часов. Выделено 3 г насыщенного димера со следующими свойствами:

Т. кип. 163—165°/2 мм;  $n_D^{20}$ —1,5598;  $d_4^{20}$ —0,9884;

$MR_D$  (найд.)—86,46;  $MR_D$  (выч.)—86,891;

м. в. (найд.)—260; м. в. (выч.)—264;  $\eta^{+50^\circ}$ —70 сст;

$Q_u$ —9777 ккал;  $Q_v$ —10329 ккал; выход—28%.

Найдено, %: С—90,77; Н—9,23.

$C_{20}H_{24}$ . Вычислено, %: С—90,91; Н—9,09.

Димеризация 3-метил- $\alpha$ -метилстирола в присутствии 60%  $H_2SO_4$ . 10 г мономера подвергалось димеризации при температуре 100—110°C в течение 20 часов. Получено 6 г насыщенного димера со следующими показателями:

Т. кип. 158—160°/2 мм;  $n_D^{20}$ —1,5628;  $d_4^{20}$ —1,016;

$MR_D$  найд.—85,887;  $MR_D$  выч.—85,618;

м. в. (найд.)—263; м. в. (выч.)—264;  $\eta^{+50^\circ}$ —87 сст;

$Q_u$ —9603 ккал,  $Q_v$ —10097 ккал; выход—80%.

Найдено, %: С—90,86; Н—9,14.

$C_{20}H_{24}$ . Вычислено, %: С—90,91; Н—9,09.

Гидрогенизация димера 3-метил- $\alpha$ -метилстирола. Димер и мелконаструганный сухой металлический литий помещались в реакционную колбу. Воздух из колбы вытеснялся азотом, непрерывно подававшимся в продолжение всего процесса. Затем добавлялся этиламин и включалась мешалка для интенсивного перемешивания содержимого

колбы. После завершения реакции (прекращение выделения тепла) от реакционной смеси отделялся остаток непрореагированного лития и раствор обрабатывался сухим хлористым аммонием. Извлечение гидрогенизата производилось экстракцией эфиром. Эфирный раствор после обезвоживания сульфатом магния освобождался от растворителя отгонкой на водяной бане. Выделенный гидрогенизат имел следующие свойства:

Т. кип. 160—162°/6 мм;  $n_{D}^{20}$ —1,5025;  $d_{4}^{20}$ —0,9152;

$MR_D$  найд.—88,00;  $MR_D$  выч.—88,42;

м. в. (найд.)—271; м. в. (выч.)—276;

$Q_H$ —10172 ккал;  $Q_B$ —10892 ккал;

Найдено, %: С—86,89; Н—13,11.

$C_{20}H_{36}$ . Вычислено, %: С—86,95; Н—13,05.

Гидрогенизация димера 3,5-диметил- $\alpha$ -метилстирола проводилась аналогично описанной. Выделен гидрогенизат со следующими показателями:

Т. кип. 172—174°/9 мм;  $n_{D}^{20}$ —1,4863;  $d_{4}^{20}$ —0,899;

$MR_D$  найд.—97,1;  $MR_D$  выч.—97,656;

м. в. (найд.)—300; м. в. (выч.)—304;

$Q_H$ —10150 ккал;  $Q_B$ —10861 ккал.

Найдено, %: С—86,89; Н—13,19.

$C_{22}H_{40}$ . Вычислено, %: С—86,81; Н—13,19.

### Выводы

1. Впервые изучена димеризация 3-метил- и 3,5-диметил- $\alpha$ -метилстиролов в присутствии силикагеля.

2. Установлено, что при димеризации, проведенной над силикагелем и в присутствии  $H_2SO_4$  с концентрацией 45—80%, образуются циклические димеры предельного характера, а разбавленная  $H_2SO_4$  (10%) способствует образованию ненасыщенного линейного димера.

3. Сравнительная характеристика катализаторов—силикагеля,  $H_2SO_4$  и цеолита—выявила преимущества проведенной над силикагелем димеризации, которые заключаются в легкости и быстроте осуществления данного процесса с количественным выходом димеров.

4. Показано, что катализаты, полученные при дегидрировании 3-метилизопропилбензола и 3,5-диметилизопропилбензола, являются доступным и эффективным сырьем для получения димеров.

6. „Химия“, XLIV, № 1, 1966.



5. Гидрогенизаты синтезированных димеров могут найти применение в производстве высококачественных топлив и в качестве смягчающих агентов.

Академия наук Азербайджанской ССР  
Институт нефтехимических процессов  
им. Ю. Г. Мамедалиева  
Баку

Академия наук Грузинской ССР  
Институт физической и  
органической химии  
им. П. Г. Меликишвили  
Тбилиси

(Поступило в редакцию 8.2.1966)

50005

З. ШАХЕТАЧАЕВА, А. АСКЕРОВА, С. САДЫХ-ЗАДЕ,  
6. МИЛИКАДЗЕ

### 3-МЕТИЛ- И 3,5-ДИМЕТИЛ-А-МЕТИЛСУЛЬФОЛ ДИМЕТИЛСУЛЬФОЛ

Р е ч ь о т ъ я

Шахетаева З.М. — 3-МЕТИЛ- И 3,5-ДИМЕТИЛ-А-МЕТИЛСУЛЬФОЛЫ  
Наши исследования по синтезу и свойствам 3-метил- и 3,5-диметилсульфолов начались в 1960 г. в Институте нефтехимических процессов Академии наук Азербайджанской ССР. В то время мы изучали различные методы получения 3-метил- и 3,5-диметилсульфолов. Наиболее перспективным оказался метод гидротермального разложения соответствующих сульфонатов. Установлено, что при температуре 150—180°С и давлении 100—150 атм. в течение 1—2 часов 3-метилсульфонаты и 3,5-диметилсульфонаты разлагаются с полным выходом 3-метил- и 3,5-диметилсульфолов. При этом выход продуктов разложения колебался в пределах 70—80%.

Наши исследования по синтезу и свойствам 3-метил- и 3,5-диметилсульфолов продолжаются в настоящее время в Институте нефтехимических процессов Академии наук Грузинской ССР. Установлено, что 3-метил- и 3,5-диметилсульфолы являются стабильными соединениями, не поддающимися действию кипящего концентрированной серной кислоты. При нагревании в кипящем концентрированном растворе серной кислоты эти соединения разлагаются с полным выходом 3-метил- и 3,5-диметилсульфолов.

### ДОПОЛНИТЕЛЬНАЯ ЛИТЕРАТУРА — ЦИТИРОВАННАЯ ЛИТЕРАТУРА

1. А. К. Аскеров, П. Р. Мустафаева, С. И. Садых-заде. Димеризация 3-метил- и 3,5-диметилстиролов. Сообщения АН ГССР, XLIII: 2, 1966.
2. А. К. Аскеров, С. И. Садых-заде, П. Р. Мустафаева. Получение винил- и а-метилвинилтолуолов катализитическим дегидрированием этил- и изопропилтолуолов. Азерб. хим. журнал, 6, 1961.
3. С. Д. Мехтиев, С. И. Садых-заде, А. К. Аскеров. Синтез винил- и изопропенилксилолов. Журнал научно-технической информации. Баку, 3, 1962.
4. Л. Д. Меликадзе, Т. А. Элиава, Г. Д. Багратишвили. Гидрогенизация высокомолекулярных ароматических углеводородов нефти в лабильных условиях. Сообщения АН ГССР, XXIII, 6, 1959.
5. Landen Rixie. Димеризация под влиянием 43%-ной  $H_2SO_4$ . Recueil trav. chim., 75, 11, 1956, 1343—46.

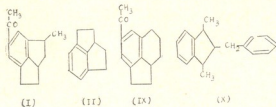
ХИМИЯ

Р. М. ЛАГИДЗЕ, Н. С. САНИКИДЗЕ

КОНДЕНСАЦИЯ БЕНЗОЛА С 2,4-ДИОКСИ-3-МЕТИЛПЕНТАНОМ  
В ПРИСУТСТВИИ ХЛОРИСТОГО АЛЮМИНИЯ

(Представлено членом-корреспондентом Академии Х. И. Арешидзе 25.4.1966)

В предварительном сообщении [1] одним из нас было высказано предположение, что образующийся при конденсации триацетата гексантриола с бензолом кетон состава  $C_{14}H_{16}O$  с т. кип. 130—135° (2—3 мм),  $n_D^{20}$  1,5730, отвечает структурной формуле (1)



Позже Рапопорт и Паски осуществили синтез 2, 2 а, 3, 4-тетрагидро-Н-цикlopент [cd] индена (II) и показали, что, вопреки распространенному представлению, подобные структуры не являются сильно напряженными циклическими системами [2, 3]. Названные авторы отмечают, что результаты окисления полученного нами кетона  $C_{14}H_{16}O$  находятся в противоречии с предложенной структурой (1).

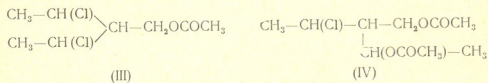
В связи с этим мы проверили все экспериментальные факты и заново обсудили вопрос о строении кетона  $C_{14}H_{16}O$ . В настоящей работе приведены также результаты исследования продуктов конденсации бензола непосредственно с 2,4-диокси-3-метилпентаном.

Установлено, что выделенная ранее из продуктов окисления кислота с температурой плавления, растянутой до 234°, которая ошибочно была принята за бензол-1, 2, 4-трикарбоновую кислоту [4], после повторных перекристаллизаций плавится в пределах 257—261° и отвечает бензол-1, 2, 3, 5-тетракарбоновой кислоте. На основании литературных данных мы считали, что исходный продукт отвечает 2, 4, 6-гексантриолу [1, 5].

Действительно, полученный нами из Шкопау (ГДР) трехатомный спирт представляет собой изомерный гексантриол 2, 4-диокси-3-метилолпентан [6].

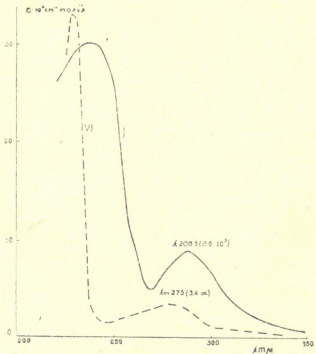
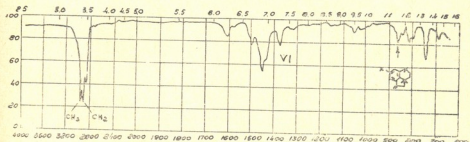
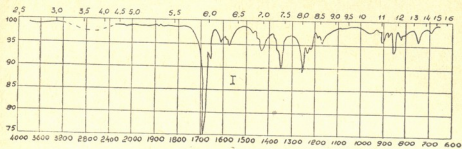
В соответствии с этим все аналитические данные, приведенные в ранее опубликованной работе [1], за исключением показателя преломления фракции с т. кип. 130—135°, полностью сохраняют силу и рассмотренные в ней структурные формулы требуют уточнения.

Как выяснилось, наряду с кетоном  $C_{14}H_{16}O$  и дихлорацетоксигексаном (III), при конденсации триацетата 2,4-диокси-3-метилолпентана с бензолом образуется такжеmonoхлордиацетоксигексан (IV)

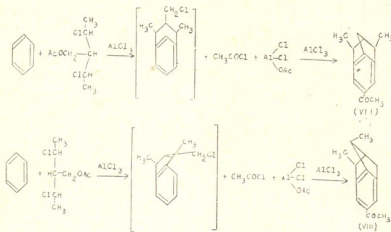


Имеются указания, что в ряде случаев аналогичные дихлоралканы под действием хлористого алюминия претерпевают изомеризацию [7]. Однако опыты по окислению недавно полученного нами омылением хлороэфира (III) дихлоргидрина, в результате которых была выделена и идентифицирована 3-хлор-2'-хлор-2-этилбутановая кислота [8], подтверждают, что в описанных условиях конденсации изомеризация хлороэфиров не имеет места.

Мы показали, что тщательно очищенная хроматографированием фракция с т. кип. 135—137° (2—2,5 мм),  $n_D^{20}$  1,5825, отвечает эмпирической формуле  $C_{14}H_{16}O$ . С семикарбазидом она дает семикарбазон с т. пл. 224—225°  $C_{15}H_{19}N_3O$  (V). Из продуктов ее окисления  $KMnO_4$  выделена и идентифицирована бензол-1, 2, 3, 5-тетракарбоновая кислота. В ИК-спектре (I) наблюдается характерная для карбонильной группы арилкетонов полоса  $1692\text{ cm}^{-1}$ . Две другие полосы  $857$  и  $1370\text{ cm}^{-1}$  соответственно могут быть отнесены к 1, 2, 3, 5-тетразамещенному бензолу и деформационному колебанию метильной группы. Восстановлением по Клеменсену получен углеводород  $C_{14}H_{18}$  (VI) с т. кип. 95—96° (2—2,5 мм),  $n_D^{20}$  1,5570. В ИК-спектре (VI), так же как в исходном кетоне, полоса около  $857\text{ cm}^{-1}$  соответствует 1, 2, 3, 5-тетразамещенному бензольному кольцу. Полоса  $2964\text{ cm}^{-1}$  характерна для метильной группы, а  $2932\text{ cm}^{-1}$ —для метиленовой группы. В УФ-спектре (I) небольшой батохромный сдвиг по сравнению с углеводородом обусловлен сопряжением кетогруппы и бензольного кольца.



В соответствии с ранее высказанными соображениями [9] механизм реакции образования кетона представляется нам в следующем виде:



На основании рассмотренных выше фактов и способа получения в качестве наиболее вероятных могут быть рассмотрены структурные формулы (I), (VII), (VIII) и (IX). Из них структура (IX) отвергается [по той причине, что кетон  $\text{C}_{14}\text{H}_{16}\text{O}$  и углеводород (VI) при обработке над  $\text{Pd/C}$  при  $300-320^\circ$  не дегидрируются, в то время как ацетилтетрагидроаценафтины даже в менее жестких условиях дегидрируются совершенно гладко].

Структуры (VII) и (VIII), по-видимому, сильно напряжены. По этой причине можно предполагать, что в процессе образования они, подобно недавно описанным бициклическим [III], подвергаются перегруппировкам. По своему химическому поведению кетон  $\text{C}_{14}\text{H}_{16}\text{O}$  лучше всех согласуется со структурной формулой (I), и фракция с т. кип.  $135-137^\circ$  ( $2-2.5$  мм),  $n_{D}^{20} 1.5825$ , наряду с некоторыми преимущественно пространственными изомерами, очевидно, в основном состоит из указанной структуры.

Определенное противоречие, заключающееся в том, что продукт его восстановления — углеводород (VI) в условиях, описанных Рапопортом и Паски, не гидрируется, следует объяснить возможностями изомеризации некоторых циклических соединений при их восстановлении по Клеменсену.

Алкилирование бензола непосредственно 2,4-диокси-3-метилолпентаном проводили в аналогичных условиях в течение 23—25 часов, при молярном соотношении триола и  $\text{AlCl}_3$  1:4. При уменьшении продолжительности реакции и количества хлористого алюминия продукты алкилирования получались с более низкими выходами.

Из продуктов реакции удалось выделить три вещества. Кристаллический углеводород с т. пл.  $69-70^\circ$  получен в небольшом количестве и детально не охарактеризован.

Вторая фракция с т. кип. 134—136° (1—2 мм) получается в выходе до 30% и отвечает эмпирической формуле  $C_{18}H_{20}$  (X). Этот углеводород, так же как вещество с т. пл. 69—70°, в обычных условиях при комнатной температуре не гидрируется над Pt-м катализатором и не дегидрируется. Из продуктов окисления (X)  $KMnO_4$  выделены и идентифицированы о-фталевая и бензойная кислоты. В ИК-спектре (X) присутствуют полосы, характерные как для монозамещенного (699, 739, 1030, 1088 см<sup>-1</sup>), так и для ортозамещенного бензола (757 см<sup>-1</sup>). Эти факты позволяют приписать ему структурную формулу, отвечающую 1,3-диметил-2-бензилгидридинену (X).

Третья фракция с т. кип. 148—150° (1—2 мм) получена с выходом около 25%. Она не гидрируется в присутствии Pt-го катализатора, но при обработке над Pd/C при 300—310° дает антрацен. Сравнение с литературными данными [10, 11] и большое расхождение результатов анализа с теорией показало, что фракция с т. кип. 148—150° (1—2 мм) не отвечает ни одному из известных гидроантраценов. Изучение структуры этого углеводорода продолжается. Суммарный выход всех углеводородных фракций составляет около 70%.

### ЭКСПЕРИМЕНТАЛЬНАЯ ЧАСТЬ

2, 4-диокси-3-метилолпентан имеет следующие показатели: т. кип. 113—113,5° (0,5—1 мм);  $n_D^{20}$  1,4680;  $d_4^{20}$  1,0848;  $M_{RD}$  34,33. Найдено, %: C 53,98; 53,71; H 10,53; 10,56;  $C_6H_{14}O_3$ . Вычислено, %: C 53,73; H 10,44;  $M_{RD}$  34,48.

Ацетилированием исходного триола избытком уксусного ангидрида в обычных условиях получен триацетат с т. кип. 135—137° (2—2,5 мм);  $n_D^{20}$  1,4375;  $d_4^{20}$  1,0810. Выход 82%.

0,1361 г вещества. На омыление израсходовано 3,09 мл 0,5 N спиртового раствора KOH.  $C_{12}H_{20}O_6$ . Вычислено 3,10 мл.

К смеси 10,14 г  $AlCl_3$  (0,075 г-мол) и 60 мл деароматизированного бензина (т. кип. до 120°) при постоянном перемешивании добавлено по каплям 20 г триацетата (0,076 г-мол). Реакцию проводили при 100—105° в течение 15 часов. Обработкой комплекса обычным путем получен монохлордиацетоксигексан (IV) с т. кип. 85—88° (0,5—1 мм);  $n_D^{20}$  1,4510;  $d_4^{20}$  1,1290;  $M_{RD}$  56,40; выч. 56,55. Найдено, %: Cl 15,25.  $C_{10}H_{17}O_4Cl$ . Вычислено, %: Cl 15,01. Выход 70%.

В другом опыте 15,84 г  $AlCl_3$  (0,118 г-мол) и 20 г триацетата (0,076 г-мол) нагревали при непрерывном перемешивании в течение 16—17 часов до 150°. Полученный продукт отвечает (III); т. кип. 70—73° (0,5—1 мм);  $n_D^{20}$  1,4620;  $d_4^{20}$  1,1533;  $M_{RD}$  50,77; выч. 50,53. Найдено, %: Cl 33,40.  $C_8H_{14}O_2Cl_2$ . Вычислено, %: Cl 33,33. Выход 10,52 г (64%).

30 г (0,115 г-мол) триацетата, 61,4 г (0,459 г-мол)  $AlCl_3$ , 44,85 г (0,575 г-мол) бензола. К смеси рассчитанных количеств бензола и  $AlCl_3$

при непрерывном перемешивании добавлено по каплям 30 г триацетата. При температуре около 40—45° начиналось заметное на глаз выделение HCl. Максимальная температура 81—83°. Продолжительность реакции 30—32 часа. Вакуум-перегонкой 32 г конденсата получены: первая фракция с т. кип. 40—60° (1—2 мм), выход 4,2 г (13%); вторая фракция с т. кип. 70—110° (1—2 мм), выход 14 г (43%); третья фракция с т. кип. 135—145° (1—2 мм), выход 6,5 г (20%); четвертая фракция с т. кип. 150—155° (1—2 мм), выход 3,6 г (11%). Основная масса первой фракции перегоняется при 199—204°,  $n_{D}^{20}$  1,5350, с семикарбазидом дает семикарбазон с т. пл. 197°. По литературным данным, ацетофеонон характеризуется т. кип. 200—202°,  $n_{D}^{20}$  1,5342, т. пл. семикарбазона 198°. Из второй широкой фракции с т. кип. 70—110° (1—2 мм) выделены: дихлорацетоксигексан (III) с т. кип. 98—105° (2 мм),  $n_{D}^{20}$  1,4610 и монохлордиацетоксигексан (IV) с т. кип. 106—110° (2 мм),  $n_{D}^{20}$  1,4510. Многократной фракционировкой третьей фракции и обработкой полученного продукта методом preparative тонкослойной хроматографии [12] над  $\text{Al}_2\text{O}_3$  (V активность по Брокману) в системе гексан-бензол (1:3) до полного удаления сопутствующих веществ удалось выделить индивидуальное соединение с т. кип. 135—137° (2—2,5 мм),  $n_{D}^{20}$  1,5825. Найдено, %: C 84,06; 83,96; % H 7,92; 7,95.  $\text{C}_{14}\text{H}_{16}\text{O}$ . Вычислено, %: C 84, H 8. Четвертая фракция легко окисляется на воздухе и нами не исследовалась.

Окисление кетона  $\text{C}_{14}\text{H}_{16}\text{O}$  перманганатом калия. 1 г кетона, 2—3 г  $\text{NaHCO}_3$  и 100 мл 1% раствора  $\text{KMnO}_4$  кипятили при непрерывном перемешивании в течение 25—30 часов. По мере обесцвечивания раствора отдельными порциями добавляли растертый в порошок  $\text{KMnO}_4$ . Образовавшуюся двуокись марганца несколько раз промывали горячей водой. Фильтрат обрабатывали эфиром для извлечения нейтральных веществ и подкисляли разбавленной  $\text{H}_2\text{SO}_4$ . Полученный продукт, перекристаллизованный из водного этанола, плавится в пределах 255—258°. По литературным данным, т. пл. бензол-1, 2, 3, 5-тетракарбоновой кислоты 262° [13].

0,02 г кислоты обрабатывали диазометаном в эфирном растворе до прекращения выделения  $\text{N}_2$ . Продукт этерификации имеет т. пл. 108—109°. По литературным данным, т. пл. тетраметилового эфира бензол-1, 2, 3, 5-тетракарбоновой кислоты 108—109° [13]. Проба смешения с синтетическим образцом тетраметилового эфира не дает депрессии температуры плавления.

Конденсацию 2,4-диокси-3-метилпентана с бензолом проводили в аналогичных условиях в течение 25 часов при 83—85°. 50 г (0,373 г-мол) гексантриола, 291 г (3,7 г-мол) бензола, 199 г (1,49 г-мол) безводного  $\text{AlCl}_3$ . Вакуум-перегонкой 51 г конденсата получены:

первая фракция с т. кип. 45—100° (2 мм), 3,2 г (6,2%); вторая фракция с т. кип. 110—140° (2 мм), 14,8 г (29%); третья фракция с т. кип. 140—150° (2 мм), 12,3 г (24%). Их многократной фракционировкой и хроматографированием на незакрепленном слое  $\text{Al}_2\text{O}_3$  (II активности) в системе пентан-бензол (19 : 1) выделены следующие продукты: кристаллическое вещество с т. пл. 69—70° (из этанола). Найдено, %: С 92,58; Н 7,25; М 157±2 (масс-спектроскопическим методом). Не обесцвечивает бромную воду и слабый щелочной раствор  $\text{KMnO}_4$ . Фракция с т. кип. 134—136° (1—2 мм),  $n_{\text{D}}^{20}$  1,6075;  $d_4^{20}$  1,0753; MR<sub>D</sub> 75,84; выч. 75,92. Найдено, %: С 91,35; 91,41; Н 8,48; 8,36; М 234 (по Раству).  $\text{C}_{18}\text{H}_{20}$ . Вычислено, %: С 91,52; Н 8,47; М 236 (Х).

1 г углеводорода (Х), 1,5 г  $\text{NaHCO}_3$  и 100 мл 1% раствора  $\text{KMnO}_4$  кипятили в течение 15—16 часов. Из продуктов окисления в виде сублимата удалось выделить бензойную кислоту с т. пл. 120—121°. Определение температуры плавления ее смешанной пробы с заведомым образцом бензойной кислоты не показало депрессии. Остаток после сублимации бензойной кислоты перекристаллизован из этанола. Полученное вещество с т. пл. 186—189° в смешанной пробе с о-фталевой кислотой не дает сколько-нибудь заметной депрессии температуры плавления. Выделенная таким путем кислота кипячением с уксусным ангидридом в течение 6 часов при 180—190° была переведена в ангидрид о-фталевой кислоты, который в смешанной пробе с чистым образцом о-фталевого ангидрида не показывает депрессии температуры плавления. Фракция с т. кип. 148—150° (1—2 мм) характеризуется следующими показателями:  $n_{\text{D}}^{20}$  1,6625;  $d_4^{20}$  1,1072. Найдено, %: С 92,23; 92,40; Н 7,39; 7,39.

Дегидрирование углеводорода с т. кип. 148—150° (1—2 мм). В 50-миллилитровой високогорлой колбочке Кельдаля с обратным холодильником 1 г вещества дегидрировали в присутствии 0,15 г Pd/C при 300—310° в течение 30 часов при одновременном пропускании в смеси слабого тока предварительно высущенного  $\text{CO}_2$ .

Из катализата выделен продукт, который после перекристаллизации из этанола плавится в пределах 214—216° и в смешанной пробе с заведомым образцом антрацена с т. пл. 216—217° не дает депрессии температуры плавления. 0,02 г вещества в 2 мл ледяной уксусной кислоты окислено хромовой смесью (1 мл  $\text{H}_2\text{SO}_4$  и 2 мл 20% водного раствора  $\text{CrO}_3$ ). Из продуктов окисления выделено вещество с т. пл. 283—284°, которое в смешанной пробе с чистым антрахиноном не показывает депрессии температуры плавления.

Академия наук Грузинской ССР

Институт физической и органической химии  
им. П. Г. Меликишвили

(Поступило в редакцию 25.4.1966)

რ. ლაგიძე, ნ. სანკიძე

**2,4-დიოქსი-3-მეთილოლპენტანის კონდენსაცია ბინეოლთან  
ძლის ალმინის თანადასწრებით**

რეზიუმე

2,4-დიოქსი-3-მეთილოლპენტანის ტრიალეტატის კონდენსაციით ბენზოლთან ქლორინი ალმინის თანადასწრებით გამოყოფილი და დაბასიათებულია ქლოროეთერები: 2,4-დიქლორ-3-მეთილოლპენტანის ოცეტატი (III), 2-ქლორ-4-ოქსი-3-მეთილოლპენტანის დიაცეტატი (IV) და კეტონი  $C_{14}H_{16}O$  (1), რომლის სტრუქტურულად ფორმულა განხილულია ანალიზური მონაცემების, უანგვის შედეგების, სპექტროსკოპული მონაცემებისა და ზოგიერთი ქიმიური გარდაქმნების საფუძველზე. ბენზოლის ალკილირებით უშუალოდ 2,4-დიოქსი-3-მეთილოლპენტანით ქლორიანი ალუმინის თანადასწრებით მიიღება ნახშირწყალბადების ნარევი 70% გამოსავლით. ძირითადი ფრაქცია დ. ტ. 134—136° (1—2 მმ) 30% გამოსავლით უპასუხებს 1,3-დიმეთილ-2-ბენზილპილრინდენს (X).

დაოფენული ლიტერატურა — ЦИТИРОВАННАЯ ЛИТЕРАТУРА

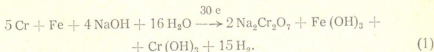
1. Р. М. Лагидзе. Об алкилировании бензола дикацетатом 1,3-бутиленгликоля и триациетатом 2, 4, 6-гексантриола. ДАН СССР, 6, 1951, 1023.
2. H. Rapoport, J. Pasky. 2, 2a, 3, 4-Tetrahydro-1 H-cyclopent[cd]indene. J. Am. chem. Soc., 15, 1956, 3788.
3. H. Rapoport, G. Smolinskii. 2, 2a, 3, 3a, 4, 5-Hexahydro-1 H-cyclopent-[kl]-as-indacene. J. Am. chem. Soc., 5, 1960, 1171.
4. Р. М. Лагидзе, Б. С. Потхверашвили. Реакции конденсации диациетатов 1, 3-и 1, 4-бутандиолов с бензолом и толуолом в присутствии безводного хлористого алюминия. Сообщения АН ГССР, 8, 1953, 473.
5. А. Д. Петров. Синтез и изомерные превращения алифатических углеводородов. Изд. АН СССР, 1947, 252.
6. Acetylenic chemistry, Y. W. Reppe. Chief research Laboratories of Y. G. Farben-industrie A. G. P. B Report-18652-S (Translated from German).
7. K. Sisido, H. Nozaki. Friedel-Crafts Reactions with Organic Dihalides. J. Am. chem. Soc., 4, 1947, 961; The Friedel—Crafts Reaction of Benzene and 3, 4-Dichlorohexane. J. Am. chem. Soc., 3, 1948, 1288.
8. Р. М. Лагидзе, Н. С. Санкидзе. Синтез некоторых меркаптосоединений и их производных на основе 2, 4-диокси-3-метилпентана и 1, 2, 6-гексантриола. Сообщения АН ГССР, XXXVII: 1, 1965, 65.
9. Р. М. Лагидзе. Материалы научной сессии институтов химии АН республик Закавказья, Ереван, 1962, 252.
10. У. Враун, Е. Гаун, Й. Симман. Über Benzopolymethylenverbindungen. Zbl., 3, 1922, 251.
11. J. Knotnerus, H. Schilling. New syntheses of cis—bicyclo [3. 3. 0] octane and cis—bicyclo [3. 3. 0] oct-2-ene. Recueil, 9—10, 1964, 1185.
12. А. А. Ахрем, А. Н. Кузнецова. Тонкослойная хроматография. Изд. „Наука“, М., 1964.
13. Майер. Анализ и определение строения органических соединений, II. ИЛ, Л., 1937, 326.

## ХИМИЧЕСКАЯ ТЕХНОЛОГИЯ

Дж. Ф. ГВЕЛЕСИАНИ, Р. И. АГЛАДЗЕ (академик АН ГССР),  
Л. Л. РУБЕШ

### ГИДРОТЕРМАЛЬНАЯ ОЧИСТКА РАСТВОРОВ БИХРОМАТА НАТРИЯ, ПОЛУЧЕННЫХ ЭЛЕКТРОСИНТЕЗОМ ИЗ ФЕРРОХРОМА

В связи с тем что используемый в промышленности способ производства бихромата натрия [1] не обеспечивает получения продукта, более чистого, чем предусмотрено по стандарту (ГОСТ 2651—44), нами был разработан способ получения бихромата натрия из углеродистого феррохрома [2—4], в основе которого лежит суммарная реакция электросинтеза



Данный способ позволяет улучшить стандарт по всем примесям. Однако в процессе анодного растворения феррохрома в растворе бихромата натрия ( $\text{pH}=3,5$ —4) образуются растворимые соединения трехвалентного хрома и железа, удаление которых известными химическими методами без изменения состава и степени чистоты раствора не удается.

В данной работе приводятся результаты гидротермальной очистки указанных растворов.

#### Экспериментальная часть

Исследуемые растворы бихромата натрия получались анодным растворением феррохрома марки Хр-6 (ГОСТ 4757—49) по установленному ранее режиму [3]. Для поддержания pH электролита в процессе анодного растворения в пределах 3,5—4,5 использовался раствор NaOH квалификации «хч».

Полученные по реакции (1) пульпы обрабатывались в железном автоклаве емкостью 0,5 л, снабженном электрообогревом.

Для установления влияния продолжительности обработки на степень очистки растворов и различные характеристики шламов была проведена серия опытов, результаты которой приведены в табл. 1. Скорость фильтрации пульп в табл. 1 определялась по количеству фильтрата, прошедшего через бумажный фильтр за 10 минут.

Для изучения скорости промывки оставшихся на фильтрах шламов: и сопоставления ее со скоростью фильтрации пульп шламы ре-пульпировались в 2 л воды и отстоявались до тех пор, пока их объемы



не составили объема, занимаемого первоначально пульпой. Затем осторожно сливалась осветленная часть, а оставшиеся 100 мл со шламом переносились на фильтр и фильтровались аналогично исходным пульпам.

Таблица 1

Данные по влиянию продолжительности обработки бихроматных пульп при 10 атм ( $t=165-175^{\circ}\text{C}$ ).

Исходная пульпа: объем—100 мл; Ж:Т=12:1; состав жидкой фазы (г/л): $\text{CrO}_4^{2-}$ —134,6;  $\text{Cr}^{6+}$ —1,8;  $\text{Fe}^{3+}$ —1,2;  $\text{pH}=3,5$ .

Продолжительность	Скорость, мл/час		Отношение объемов растворов/шлам после 20-часового отстаивания	Содержание в фильтрате, г			Содержание $\text{Cr}^{6+}$ в промывках, г	Потери $\text{Cr}^{6+}$ , %
	фильтрации	промывки		$\text{Cr}^{6+}$	$\text{Cr}^{3+}$	$\text{Fe}^{3+}$		
Необработанная	224	173	11,1	2,11	5,24	0,18	0,12	1,76
1 минута	248	193	15,1	2,51	5,18	0,01	сл.	1,53
1 час	256	240	16,7	2,59	5,07	нет	нет	2,14
2 часа	280	273	17,5	2,67	5,12	—	—	4,29
3 часа	288	270	18,2	2,84	5,13	—	—	3,43

Скорость отстаивания определялась в 100-миллилитровых мерных цилиндрах диаметром 30 мм по высоте осветленной части раствора.

Потери  $\text{Cr}^{6+}$  определялись по разности содержания его до и после обработки пульп.

Таблица 2

Влияние давления и  $\text{pH}$  на качество очистки раствора при автоклавировке обработке бихроматных пульп

№ серии	№ опыта	$\text{pH}$ исходной пульпы	Развиваемое в автоклаве давление, атм	$\text{pH}$ раствора после обработки в автоклаве	Качество очистки раствора
I	1	3,5	6	4,08	Неполная
	2		10	4,43	Полная
	3		14	4,48	"
	4		22	4,56	"
III	1	5,0	11	5,32	Неполная
	2		12	5,42	"
	3		14	5,40	"
	4		15	5,56	Полная
	5		18	5,68	"
	1	6,0	10	6,03	Неполная
	2		14	6,10	"
	3		15	6,26	"
	4		18	6,22	Полная
	5		22	5,27	"

Результаты опытов по установлению оптимального режима обработки пульп с различным значением pH сведены в табл. 2.

Степень очистки растворов определялась химическим анализом на содержание трехвалентного хрома и железа. Следует отметить, что растворы бихромата натрия до автоклавирования имеют интенсивную темную окраску. После обработки они становятся совершенно прозрачными и приобретают ярко-оранжевую окраску. Резкое изменение окраски позволяет визуально судить о степени очистки растворов от примесей трехвалентного хрома и железа.

В табл. 3 приведены результаты крупнолабораторных опытов, проведенных в автоклаве емкостью 65 л.

Таблица 3

## Данные крупнолабораторных опытов

$P=16$  атм ( $t=180-185^{\circ}\text{C}$ ). Исходная пульпа: Ж:Т=10:1; состав жидкой фазы (г/л):  $\text{CrO}_3$ —189;  $\text{Cr}^{3+}$ —2,16;  $\text{Fe}^{3+}$ —1,85;  $\text{pH}=3,8$ .

Объем исходной пульпы	Продолжительность, час			Содержание $\text{Cr}^{3+}$ , кг		Потери $\text{Cr}^{3+}$ , %
	нагрева	выдержки	охлаждения	до обработки	после обработки	
50	3,5	1	20	4,89	4,82	1,34
55	4,0	1	20	5,37	5,21	3,09

Таблица 4

Образец	Содержание, %						
	$\text{CrO}_3$	$\text{SO}_4^{2-}$	$\text{Cl}^-$	Fe	H. O	CaO	$\text{SiO}_2$
№ 1, полученный на дистиллированной воде	71—75	0,08—0,13	сл.—0,025	сл.	0,02—0,1	0,005	0,02
№ 2, полученный на водопроводной воде	71—75	0,20—0,30	0,05—0,06	сл.	0,02—0,10	0,020	0,03

Исследованные растворы для лабораторных опытов были получены при использовании дистиллированной воды, а для крупнолабораторных опытов — при использовании водопроводной воды.

Отфильтрованные растворы после автоклавной обработки подвергались выпариванию до получения сухого вещества. Аналитические данные полученных образцов бихромата натрия приведены в табл. 4.

## Обсуждение результатов

Данные табл. 1 показывают, что с увеличением времени выдержки пульп в автоклаве заметно возрастают скорости их фильтрации, промывки и отстаивания, а также отношение объемов раствор/шлам после 20-часового отстаивания.



Уменьшение скорости промывки шлама по сравнению со скоростью фильтрации того же шлама обусловлено тем, что при промывке из гидроокисного шлама вымывается коагулятор, роль которого выполняет электролит  $\text{Na}_2\text{Cr}_2\text{O}_7$ . При удалении коагулятора коллоидные свойства гидроокисного шлама увеличиваются, что приводит к снижению скорости фильтрации (промывки). С увеличением продолжительности автоклавной обработки гидроокисный шлам все больше теряет коллоидные свойства и частички его приобретают свойства кристаллического вещества, что приводит не только к увеличению скорости фильтрации пульпы, но и к сохранению высокой фильтрующей способности шлама при промывке и к уменьшению его объема.

Из данных табл. 1 видно также, что после автоклавной обработки пульп теряется до 4 %  $\text{Cr}^{6+}$ . В литературе имеются указания относительно возможности разрушения соединений  $\text{Cr}^{6+}$  при нагреве раствора [5]. Поскольку принятые в данном случае условия обработки растворов более жесткие, чем в указанной литературе, были поставлены специальные опыты для установления причины потерь при автоклавной обработке. С этой целью растворы различной концентрации бихромата изтрия реактивной чистоты были помещены в герметически закрывающиеся железные капсулы и нагреты в термостате до 180°C с различной продолжительностью (серия I и II, табл. 5). Для сопоставления в этих же капсулах нагревались отделенные от шлама растворы бихромата натрия, полученные анодным растворением феррохрома и содержащие 0,69 г/л  $\text{Cr}^{3+}$  и 0,2 г/л  $\text{Fe}^{3+}$  (серия III, табл. 5).

При низких концентрациях (42,38 г/л  $\text{Cr}^{6+}$ , I серия) чистых растворов бихромата натрия разрушение  $\text{Cr}_2\text{O}_7^{2-}$ -ионов незначительно. При высоких концентрациях (101,42 г/л  $\text{Cr}^{6+}$ , II серия) наблюдается тенденция роста степени разрушения с продолжительностью нагрева. Однако при максимальной продолжительности она не превышает 0,64 %. В случае же растворов, содержащих  $\text{Cr}^{3+}$  и  $\text{Fe}^{3+}$ , потери  $\text{Cr}^{6+}$  достигают двух с лишним процентов. Если во II серии опытов (табл. 5) произошло незначительное помутнение растворов, то в III серии выпал осадок, который после тщательной промывки и растворения в  $\text{H}_2\text{SO}_4$  обнаружил содержание  $\text{Cr}^{6+}$  до 1 % от его исходного количества в растворе.

В литературе известно существование малорастворимых хромихроматов с различным отношением  $\text{Cr}^{3+} : \text{Cr}^{6+}$  (или  $\text{Fe}^{3+} : \text{Cr}^{6+}$ ) [6]. Если допустить, что в III серии опытов за счет содержащихся в растворе  $\text{Cr}^{3+}$  и  $\text{Fe}^{3+}$  образовались нерастворимые соединения типа  $\text{Cr}_2(\text{Cr}_2\text{O}_7)_3$  и  $\text{Fe}_2(\text{Cr}_2\text{O}_7)_3$ , то потери  $\text{Cr}^{6+}$  с ними в пересчете составят около 14 мг. Остальные потери  $\text{Cr}^{6+}$ , по-видимому, следует объяснить разрушением  $\text{Cr}_2\text{O}_7^{2-}$ -ионов, тем более что они соизмеримы с потерями  $\text{Cr}^{6+}$  во II серии опытов (табл. 5).

Таким образом, потери при автоклавировании обусловлены как переходом части  $\text{Cr}^{6+}$ , соизмеримой с примесями  $\text{Cr}^{3+}$  и  $\text{Fe}^{3+}$  в растворе, в водонерастворимую форму, так и частичным разрушением  $\text{Cr}_2\text{O}_7^{2-}$ -ионов с формированием  $\text{Cr}_2\text{O}_3$ .

Из данных табл. 2 видно, что с повышением величины рН пульпы увеличиваются необходимые для полной очистки растворов параметры автоклавирования. Кроме того, во всех случаях после автоклавной обработки имеет место повышение рН растворов. При этом чем ниже

Таблица 5

№ серии опытов	Исходная концентрация Cr <sup>6+</sup> , г/л	Продолжительность выдержки в автоклаве при 180 °C, час	Содержание Cr <sup>6+</sup> , мг		Потери Cr <sup>6+</sup>	
			до обработки	после обработки	мг	%
I	42,38	1		423,0	0,8	0,19
		2		423,0	0,8	0,19
		3	423,8	423,0	0,8	0,19
		4		423,0	0,8	0,19
II	101,42	1		1012,0	2,2	0,22
		2		1009,5	4,7	0,46
		3	1014,2	—	—	—
		4		1000,7	6,5	0,64
III	101,25	1		988,3	24,2	2,39
		2		990,4	22,1	2,18
		3	1012,5	990,4	22,1	2,18
		4		988,3	24,2	2,39

значение рН исходной пульпы и чем выше нагрев (давление), тем больше изменение рН в сторону повышения.

Некоторое повышение рН растворов, полученных после анодного растворения феррохрома, имеющих рН=3—4, происходит и при их долгом стоянии с выделением части растворенных Cr<sup>3+</sup> и Fe<sup>3+</sup> в осадок. Это указывает на метастабильный характер соединений, образующихся в растворе в процессе анодного растворения феррохрома. Из литературных данных [6] известно, что в соответствующих условиях возможно образование кислого хромата, который при нагревании теряет воду и превращается в нормальную соль:



При допущении существования части Cr<sup>6+</sup> в растворах, полученных после анодного растворения феррохрома в виде кислых хроматов натрия, легко объяснить повышение рН после автоклавной обработки этих растворов. Однако на данном этапе исследований из-за неизученности указанных растворов не представляется возможным объяснение механизма происходящих в этой системе изменений при воздействии высокой температуры. Данный вопрос требует специального изучения.

Существующий стандарт предусматривает содержание в феррохроме до 0,04% серы, которая в процессе анодного растворения феррохрома окисляется до SO<sub>4</sub><sup>2-</sup>-иона и попадает в раствор. Указанный источник приводит к попаданию в продукт около 0,1% SO<sub>4</sub><sup>2-</sup>-ионов (табл.



4, образец № 1). Дополнительным источником попадания сульфатов а также хлоридов в продукт может оказаться используемая в цикле жесткая вода, всегда содержащая то или иное количество этих примесей. Использование водопроводной воды при проведении крупных опытов (табл. 3) привело к повышению содержания в продукте как сульфатов, так и хлоридов (табл. 4, образец № 2). То же самое можно сказать и в отношении кальция.

Поскольку использованный в процессе анодного растворения феррохром содержал 0,65% кремния, который в процессе анодного растворения феррохрома тоже подвергается анодному окислению с образованием кремниекислоты, продукт был проанализирован и на содержание  $\text{SiO}_2$ . Как показывают данные табл. 4, только сотые доли процента  $\text{SiO}_2$  содержатся в продукте. Образовавшаяся кремниекислота почти полностью адсорбируется гидроокисным осадком и после автоклавной обработки остается в шламе.

При проведении крупнолабораторных опытов были определены расходные коэффициенты, на основе которых и использования данных действующих заводов был проведен ориентировочный расчет себестоимости бихромата натрия, полученного электросинтезом из феррохрома при использовании автоклавной очистки растворов. Расчет показал, что себестоимость полученного таким путем бихромата натрия находится на уровне существующей в настоящее время на разных заводах хромовых соединений, а при дешевой электроэнергии (0,25 коп/квтч) — ниже существующей.

#### Выводы

1. Установлено, что автоклавная обработка пульп, полученных при электросинтезе бихромата натрия из феррохрома, позволяет полностью очистить растворы от примесей трехвалентного хрома и железа и заметно улучшает фильтрующие свойства гидроокисных шламов.

2. Установлены оптимальные условия автоклавной обработки растворов бихромата натрия:  $\text{pH}=3,5-4$ ; нагрев —  $170-190^\circ\text{C}$  (давление 10—15 атм); выдержка — 1 час.

3. Показано, что путем получения бихромата натрия из феррохрома электросинтезом с использованием автоклавной очистки растворов возможно заметное улучшение качества бихромата натрия при сохранении существующей стоимости продукта.

Академия наук Грузинской ССР  
Институт неорганической химии  
и электрохимии

(Поступило в редакцию 25.4.1966)

БІЛБОДАРЫ ҚАЗАҚСТАНДАСЫ

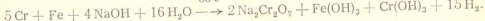
Х. 88040000, 6. 880400 (Академия наук Грузии, სსრ მეცნიერებათა ფაկულტეტის აკადემიის 8-ე ғафу მინისტრის),  
ლ. 60200

ФЕРРОХРОМОВОДАБ ელექტროსინთეზით მიღებული ნატრიუმის  
გირომატის ხსნარების პიდრობის გარემონტი

6 9 0 7 3 2

ფეროქრომიდან ნატრიუმის ბიქრომატის ელექტროსინთეზური გზით მიღება დამყარებულია შემდევ ძირითად რეაქციაზე:

30 e



პროცესი მიმდინარეობს სუსტ მჟავა გარემოში ( $\text{pH}=3.5-4.0$ ). ანოდურალ წარმოქმნილნი სამვალენტიანი ქრომისა და რკინის ნაწილი რჩება სსნარში საბოლოო ნაერთების სახით. რომელთა მოცილება სსნარების შემადგროლობის შესნაღი ნაერთების სახით. რომელთა მოცილება სსნარების გარეშე ცნობილი ქიმიური მეცნიერებისა და სისუფთავის ხარისხის გაუარესების გარეშე ცნობილი ქიმიური მეცნიერებით არ შეჩედება.

ნაჩვენებია, რომ ელექტროსინთეზის შედეგად მიღებული პულპის აერო-კლავური დამუშავება  $170-190^{\circ}$  ტემპერატურისა და 10—15 ატმ წნევის პირობებში საშუალებას იძლევა მთლიანად მოვაცილოთ აღნიშნულ ხსნარებს სამკალენტიანი ქრომისა და რეინის მინარევები. ამავე დროს საგრძნობლად უმჯობესდება ჰიდროკანგების შლამის წურვის უნარიანობა. ხსნარების სრული გაწმენდისათვის საჭირო გახსურების ტემპერატურა უკაპრობორულ დამკიდებულებაშია მათ მეყვანობასთან (2—6 pH-ის ფარგლებში). დანაკარგები, რომლებიც დაკავშირებულია ხატრიუმის ბიქრომატის დაშლასთან მაღალ ტემპერატურაზე, არ აღემატებიან 1,5% -ს, ხოლო უსსნადი ქრომატების ჭარბოქმნასთან 1% -ს.

ავტოკლავური ხერხის გამოყენება ფეროქრომილან ნატროიტის ბიქრომა-  
ტის ელექტროსინთეზური მიღების ტექნოლოგიაში ჰქონის რეალურ შესაძლებ-  
ლობას მნიშვნელოვნად გაუმჯობესდეს არსებული სტანდარტი ამ პროცესტზე  
მისი ღირებულების შეუცვლელად.

დაკოვებული სიტყვათას — ЦИТИРОВАННАЯ ЛИТЕРАТУРА

1. М. Е. Позин. Технология минеральных солей. Госхимиздат, М., 1961.
  2. Р. И. Агладзе, Т. В. Ионатамишвили. Анондное растворение феррохрома в растворах карбоната натрия и едкого натра. ЖПХ, 28, № 9, 1956, 1365.
  3. Р. И. Агладзе, Т. В. Ионатамишвили. Бихроматы из феррохрома. Сообщения АН ГССР, XVII, № 10, 1956, 883.
  4. Гидроэлектрометаллургия хрома. Сб. работ, изд. АН ГССР, Тбилиси, 1959.
  5. Н. Д. Бирюков. К вопросу о получении химически чистого хромового ангидрида. ЖХО, 10, вып. 10, 1940, 942.
  6. M. Udy. Chromium, vol. I, Chemistry of Chromium and its Compounds. Reinolds Publ. Corp., New-York, Chapman and Hall, London, 1956.



## БИОХИМИЯ

М. М. ЗААЛИШВИЛИ, Г. В. МИКАДЗЕ, Т. Г. СУРГУЛАДЗЕ

### ПОЛУЧЕНИЕ И СВОЙСТВА ПРОТЕИНА M ГЛАДКОЙ МЫШЦЫ

(Представлено академиком С. В. Дурмишидзе 13.6.1965)

В 1949 г. Чапо [1] установил, что для сокращения нитей миозина В мышцы матки под влиянием АТФ требуется присутствие водорастворимого фактора (х-фактор). В 1963—1964 гг. нами подробно изучена механохимия сокращения пленочных нитей миозина В мышцы желудка под влиянием АТФ и установлено, что водорастворимый белок, который при экстракции мышцы, как правило, переходит в миогеновую фракцию, является необходимым компонентом сократительной системы. Этот водорастворимый белок был назван протеином M, а сократительный комплекс, состоящий из миозина В и протеина M, — миозином MB [2, 3].

Целью настоящей работы является изучение некоторых свойств чистого препарата протеина M и разработка метода его получения.

#### Методика

Желудок кролика освобождался от слизистой оболочки, предварительно измельчался, замораживался на испарителе холодильника и растирался в фарфоровой ступке. Миозин В получался по методу Рюг [4]. Растиртая мышца в продолжение 24 часов экстрагировалась шестикратным объемом буферного раствора, содержащего 0,5 М KCl, 0,05 М NaHCO<sub>3</sub>, 0,02 М глицина и 0,05 М трис-буфера, pH 7,5. Нерастворимая часть удалялась центрифугированием, а миозин В осаждался разведением центрифугата водой до ионной силы 0,27. Выпавший осадок миозина В центрифугировался при 3000 g в продолжение 20 минут, и осадок растворялся в растворе, содержащем 0,6 М KCl и 0,05 М трис-буфера, pH 7,5. После этой операции в целях дальнейшей очистки миозин В переосаждался бидистиллятом еще 3 раза.

Миозин A и B поперечнополосатой мышцы получали по методу Сент-Дьеरдьи [5]. Для выделения неочищенного препарата протеина M растертая мышца желудка экстрагировалась тремя объемами бидистиллята комнатной температуры в течение 15 минут. Чтобы предотвратить разрушение структурных компонентов клетки, в некоторых случаях неочищенный препарат протеина M получали также экстрагированием мышцы раствором, содержащим 0,2 М сахарозы, 5 · 10<sup>-3</sup> М MgCl<sub>2</sub> и 0,05 М трис-буфера, pH 7,5.

Получение пленочных нитей и изучение их сократительной способности производились по ранее описанной методике [6].

## Результаты и их обсуждение

Согласно данным Нидхема, Виллямса [7] и Рюг [4], препараты актомиозина мышцы матки [7] и моллюсков [4], осажденные соответственно при ионной силе 0,25 и 0,27, не содержат тропомиозина. Нами было установлено, что пленочные нити миозина В мышцы желудка, свободные от белков, растворимых при ионной силе 0,27, на 15—20-й минуте после воздействия АТФ укорачиваются лишь на 30%, в то время как в присутствии протеина М сокращение нитей миозина В под влиянием АТФ на первой же минуте достигает 50—60% [2, 3]. (В этих опытах был использован миозин В третьего переосаждения).

Можно было полагать, что протеин М является лишь ускоряющим, а не необходимым компонентом сократительной системы. Однако нами в настоящее время установлено, что путем многократного (4—5 раз) переосаждения миозина В мышцы желудка получается препарат белка, пленочные нити которого вовсе не сокращаются под влиянием АТФ (рис. 1, кривая 1), в то время как нити миозина МВ в третьем переосаждении.

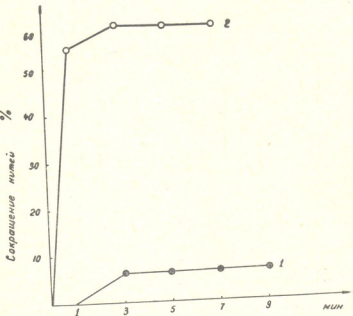


Рис. 1. Сокращение нитей миозина В гладкой мышцы под влиянием АТФ в присутствии и отсутствии протеина М. Состав среды: 0,05 M KCl,  $10^{-3}$  M  $MgCl_2$ , 0,02 M веронал-веронал-калиевый буфер (рН 7,5),  $5 \cdot 10^{-3}$  M АТФ при 37°. 1—Нити миозина В четвертого переосаждения; 2—нити, полученные из протеина М и миозина В четвертого переосаждения.

Под влиянием того же макроэрга в первую же минуту укорачиваются на 50—60% (рис. 1, кривая 2). Из этих экспериментов следует, что

протеин М является не ускоряющим сокращение, а необходимым для этого из основных компонентов сократительной системы.

Согласно данным Чапо, х-фактор мышцы матки не диализируется и термобилен [1]. В результате наших экспериментов выяснилось, что протеин М мышцы желудка при диализе также не теряет свою активность (рис. 2, кривая 2). Однако, в отличие от х-фактора Чапо, протеину М свойственна необычайная устойчивость к температурному воздействию. Если раствор неочищенного протеина М мышцы желудка нагревать в течение 10 минут при 100°, денатурированные белки отделить центрифугированием и центрифугат довести водой до исходного объема, то пленочные нити, приготовленные из смеси этого центрифугата и миозина В желудка, сокращаются так же интенсивно (рис. 2, кривая 3), как нити, полученные с ненагретым протеином М (рис. 2, кривая 1).

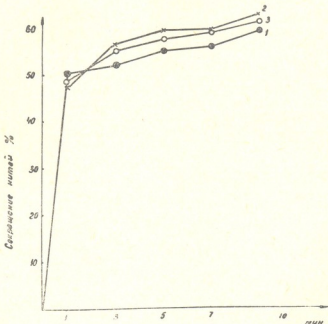


Рис. 2. Сокращение нитей миозина MB, полученного из миозина В и нагретого протеина М. (Состав среды и условия опытов см. на рис. 1). 1—Нити миозина MB, полученные из миозина В и ненагретого протеина М; 2—нити миозина MB, полученные из миозина В и диализированного протеина М; 3—нити миозина MB, полученные из миозина В и нагретого в течение 10 минут при 100° протеина М

Согласно имеющимся в литературе данным, водный экстракт усиливает сокращение актомиозина, вызванное действием АТФ [5]. Ускоряющее воздействие водного экстракта на сокращение актомиозина объясняется присутствием в нем  $Mg^{++}$  и изомеразы Банги, вызывающих внутримолекулярные перегруппировки в молекуле АДФ.

Вследствие этого в ней формируется активная пироfosфатная конформация. АДФ в присутствии  $Mg^{++}$  и изомеразы Банги вызывает такие же изменения актомиозина, как и АТФ. Изомераза осаждается сульфатом аммония в пределах 0,5—0,7 насыщения, а также трихлоруксусной кислотой. В растворе 0,15 M HCl она выдерживает нагревание до 100° в продолжение 10 минут без потери энзимной активности [5]. Однако А. В. Котельниковой было показано, что изомераза Банги является миокиназой Калькера [8]. Чапо также высказывает предположение, что х-фактор может быть миокиназой [9].

Протеин M мышцы желудка также осаждается трихлоруксусной кислотой и в ней выдерживает нагревание до 100° в продолжение 10 минут. В этом отношении протеин M сходен с миокиназой Калькера и изомеразой Банги.

Согласно литературным данным, миокиназа локализована или в структурных элементах клетки (в саркосомах поперечнополосатой мышцы [10]), или в саркоплазме (в мышце сердца [11]). С целью предотвращения разрушения структурных элементов клетки, а также установления местонахождения протеина M в клетке гладкой мускулатуры в отдельных наших экспериментах экстракцию протеина M из мышцы желудка производили изотоническим буферным раствором сахарозы и полученный экстракт центрифугировали при 105 000 g в течение 1 часа. Полученная прозрачная надосадочная жидкость своим влиянием на сокращение пленочных нитей не отличалась от неочищенного протеина M (рис. 3, кривая 2). Следует отметить также,

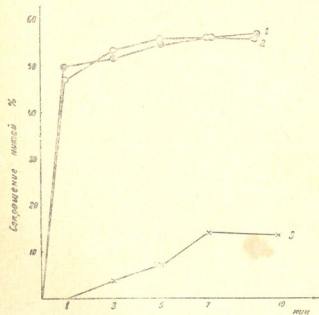


Рис. 3. Сокращение нитей миозина MB под влиянием АДФ и АТФ. 1—Нити, полученные из миозина B и протеина M,  $5 \cdot 10^{-3}$  M АТФ при 37°; 2—нити из миозина B и протеина M, полученного экстракцией изотоническим раствором сахарозы и центрифугированием при 105000 g,  $5 \cdot 10^{-3}$  M АТФ при 37°; 3—нити миозина MB,  $10^{-2}$  M АДФ при 37°.

что АДФ в присутствии протеина M не вызывает сокращения пленочных нитей миозина B желудка (рис. 3, кривая 3). Эти опыты убедительно свидетельствуют о том, что протеин M не является миокиназой.

Протеин M сульфатом аммония высаливается в пределах 0,2—0,5 насыщения. На рис. 4 приведены кривые укорочения пленочных нитей актомиозина мышцы желудка в присутствии протеина M, осажденного сульфатом аммония из неочищенного экстракта (кривая 1), и в присутствии протеина M, осажденного сульфатом аммония из предварительно нагревшегося до 100° экстракта протеина M (кривая 2).

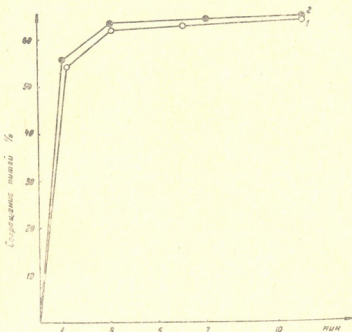


Рис. 4. Сокращение миозина МВ, полученного из миозина В и протеина M, высоловленного сульфатом аммония в пределах 0,2—0,5 насыщения. (Состав среды и условия опытов см. на рис. 1). 1—Нити миозина МВ, полученные из миозина В и протеина M, осажденного сульфатом аммония из неочищенного экстракта; 2—нити миозина МВ, полученные из миозина В и протеина M, осажденного сульфатом аммония из предварительно нагревшегося до 100° неочищенного экстракта

В целях концентрирования и дальнейшей очистки протеина M белковая фракция, осажденная из нагревшегося экстракта сульфатом аммония в пределах насыщения 0,2—0,5, дialisировалась сперва против воды, а после удаления сульфата аммония — против 0,05 M трикс-буфера, pH 7,5. Из полученного белкового раствора протеин M осаждался в изоэлектрической точке (pH 5,6) 0,1 N HCl.

На основе проведенных экспериментов предлагаемый нами метод получения чистого препарата протеина M заключается в следующем: освобожденная от слизистой оболочки и хорошо измельченная мышца желудка экстрагируется тремя объемами воды (или буферным раствором, содержащим 0,2 M сахарозы,  $5 \cdot 10^{-3}$  M  $MgCl_2$  и 0,05 M трикс-буфера, pH 7,5). Экстракт центрифугируется при 105 000 g, и

прозрачный центрифугат нагревается при 100° в течение 10 минут. После охлаждения и удаления коагулированных белков прозрачный белковый раствор насыщается до 0,2 насыщения сульфатом аммония. Осадок удаляется центрифугированием и протеин M высаливается добавлением сульфата аммония до 0,5 насыщения. Спустя 30 минут выпавший осадок протеина M отделяется центрифугированием, растворяется в воде и полученный белковый раствор дialisируется сперва против воды до полного удаления сульфата аммония, а затем—против 0,05 M трикс-буфера. Из полученного белкового раствора протеин M осаждается в изоэлектрической точке (рН 5,6) 0,1 N HCl.

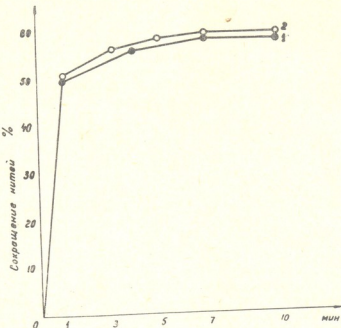


Рис. 5. Влияние протеина M поперечнополосатой мышцы на сокращение нитей миозина В гладкой мышцы. (Состав среды и условия опытов см. на рис. 1). 1—Нити миозина MB, полученные из миозина В гладкой мышцы и протеина M поперечнополосатой мышцы; 2—нити миозина MB, полученные из миозина В гладкой мышцы и протеина M гладкой мышцы (нити миозина MB, полученные из миозина В гладкой мышцы и из соответствующей протеину M белковой фракции миозина А поперечнополосатой мышцы, практически не сокращаются и соответствующая кривая не приводится)

В последнее время было установлено, что, кроме миозина и актина, в процессе суперпреципитации миозина В участвуют еще два белка — тропомиозиноподобный белок [12] и а-актинин [13]. Первый из них обусловливает чувствительность актомиозина к ионам Ca, а второй усиливает взаимодействие миозина с актином. Показано также, что эти белки связаны с актином [14]. По-видимому, и протеин M связан с актином. Это подтверждилось следующими экспериментами.

Растворы миозина А и В нагревались до 100° в течение 10 минут, охлаждались, и коагулированные белки удалялись центрифугированием. Прозрачные центрифугаты использовались для получения пленочных нитей миозина МВ мышцы желудка. В то время как пленочные нити миозина МВ, полученные из миозина В гладкой мышцы и центрифугата миозина В поперечнополосатой мышцы, сокращаются на 50—60%, нити, полученные из миозина В гладкой мышцы и экстракта миозина А поперечнополосатой мышцы, не сокращаются (рис. 5). Выделение протеина М из миозина В поперечнополосатой мышцы возможно методикой, предлагаемой нами для гладкой мышцы желудка. Полученные экспериментальные данные подтверждают высказанное нами ранее предположение, что для сокращения актомиозина поперечнополосатой мышцы также необходим дополнительный фактор — протеин М. Этот фактор в случае гладкой мышцы легко отделяется от актомиозина, в то время как в случае поперечнополосатой мышцы он более прочно связан с актомиозином [2, 3].

Дальнейшие исследования физико-химических свойств протеина М позволят выяснить, идентичен ли протеин М белку Эбашвили [14].

### Выводы

Протеин М гладкой мышцы не диализируется, не седиментирует при 105 000 g, термостабилен (выдерживает нагревание при 100° в течение 10 минут без какой-либо потери активности), осаждается сульфатом аммония в пределах 0,2—0,5 насыщения и в изоэлектрической точке. Изоэлектрическая точка протеина М лежит при pH 5,6. На основе этих свойств нами предлагается метод получения чистого препарата протеина М. Протеин М гладкой мышцы не является миокиназой. Протеин М получен нами из миозина В поперечнополосатой мышцы методом, предлагаемым для гладкой мышцы. Проведенные нами опыты указывают, что, по-видимому, протеин М сосредоточен в активной части миозина В поперечнополосатой мышцы.

Полученные нами экспериментальные, а также литературные данные подтверждают высказанное ранее нами предположение, что для сокращения любого типа мышцы необходим дополнительный белковый компонент — протеин М. Таким образом, сократительным комплексом мышцы является не актомиозин, а комплекс из миозина, актина и протеина М — миозин МВ.

Академия наук Грузинской ССР

Институт физиологии

(Поступило в редакцию 13.6.1966)

Запись

ა. ჩალავაძე, გ. მიაშვილი, თ. სურგულაძე

რეზიუმე

გლუტონ კუნთის პროტეინი M-ის მიღება და თვისტაბილურობის კუნთის პროტეინი M არ განიცდის დიალიზს და არ სედიმენტირდება 105.000g-ზე. თერმოსტაბილურია (უძლებს 10 წუთის განმავლობაში 100°-

ზე გაცხელებას აქტივობის შემცირების გარეშე), ილექტა ამონიუმის სულფატით 0,2—0,5 გაჭრების ფარგლებში და იზოლექტრულ წერტილში. პროტეინი M-ის იზოლექტრული წერტილი იმყოფება pH 5,6. ამ თვისებების საფუძვლით ჩვენ შევიმუშავეთ პროტეინ M-ის სუფორ პრეპარატის მიღების მეთოდი. გლუკო კუნთის პროტეინ M-ს არ ახსიათებს მიკინაზური აქტივობა. პროტეინი M შეიძლება მიღებულ იქნეს განივზოლიანი კუნთიდან გამოყოფილი მიოზინ B-ს პრეპარატიდან მეთოდით, რომელიც შემუშავებულია ჩვენ მიერ გლუკო კუნთიდან პროტეინ M-ის გამოყოფისათვის. ჩატარებული ცდები მუთითებენ, რომ პროტეინი M შედის განივზოლიანი კუნთის მიოზინ B-ს აქტინურ ნაწილში.

მიღებული ექსპრესიმენტული და აგრეთვე ლიტერატურული მონაცემები ადასტურებენ ჩვენ მიერ აღრე გამოთქმულ ვარაუდს, რომ ნებისმიერი ტიპის კუნთის შეკუმშვისათვის აუცილებელია დამატებითი ცილოვანი კომპონენტი — პროტეინი M. ამგვარად, კუნთის შეკუმშვად კომპლექსებს წარმოადგენს არა აქტომიოზინი, არამედ მიოზინის, აქტინისა და პროტეინ M-საგან შემდგარი კომპლექსი — მიოზინი MB.

#### დამოუკავშირი ლიტერატურა — ЦИТИРОВАННАЯ ЛИТЕРАТУРА

1. A. Csapo. Studies on the ATP-ase activity of the uterine muscle. *Acta Physiol. Scand.*, 19, 100, 1949.
2. Г. В. Микадзе. Сократительные свойства пленочных нитей миозина в гладкой мускулатуре. Сообщения АН ГССР, XXXI, 1963, 295.
3. М. М. Заалишвили и Г. В. Микадзе. Некоторые вопросы механохимии гладкой мышцы. Биохимия, 29, 1964, 801.
4. J. C. Riegg. The proteins associated with contraction in lamellibranch 'catch' muscle. *Proc. Roy. Soc., B*, 154, 1961, 207.
5. А. Сент-Дьердьи. О мышечной деятельности. М., Медгиз, 1947.
6. М. М. Заалишвили и Г. В. Микадзе. Роль актина в мышечной ткани и некоторые вопросы теории мышечного сокращения. Биохимия, 24, 1959, 612.
7. D. M. Needham, J. M. Williams. Some properties of uterus actomyosin and myofilaments. *Biochem. J.*, 73, 1959, 171.
8. А. В. Котельникова. О получении и некоторых свойствах очищенной фосфомутазы АДФ из мыши. Биохимия, 18, 1953, 522.
9. A. Csapo. The mechanism of myometrical function and its disorders. In: *Modern Trends in Obstetrics and Genecology* (second series), chap. 2, 20, ed. by K. Bowes, London, 1955.
10. K. W. Cleland, E. C. Slater. Respiratory granules of hearts'muscle. *Biochem. J.*, 53, 1953, 547.
11. S. V. Perry. The adenosintriphosphatase activity of lipoprotein granules isolated from skeletal muscle. *Biochem. Biophys. Acta*, 8, 1952, 499.
12. S. Ebashi. Third component participating in the superprecipitation of Natural Actomyosin. *Nature*, 200, 1963, 100.
13. S. Ebashi, F. Ebashi, K. Maruyama. A new protein factor promoting contraction of actomyosin. *Nature*, 203, 1964, 645.
14. S. Ebashi. Studies on the contractile system from a physiological point of view. XXIII Internat. Congr. of physiol. Sciences. Tokyo, Japan, September 1—9. Symposium VII. Structure and function of muscle. 1965, 405.

გილობრივი

6. აღმასია

ქარგვა-ალგინითი სისტემის გავლენა თახვის თავის ტვინის  
ძოლინებითაურაზულ არტივობაზე

(წარმოადგინა ექიმები იუ. ქომეთიანშა 22.1.1966)

აღრე ჩატარებული გამოკვლევებით [1] ჩვენ მიერ ნაჩვენები იყო, რომ მე-  
თილენის სილურის ინტრაორტალური შეყვანისას ნერვ-კუნთოვანი გადაცე-  
მა კავდება შეძელევადად. ისეთი რედოქტი სისტემების შეყვანის შემთხვევაში,  
როდესაც უანგვა-ალგინითი პოტენციალი დიდდება. ნერვიდან კუნთხზე აგზ-  
ნების გადაცემა კავდება. სალებავას ალგინის შემდეგ ნერვ-კუნთოვანი გადა-  
ცემა კვლავ ნორმას უბრუნდება. გაირკვა აგრეთვე, რომ მეთილენის სილურ-  
კე უარყოფით გავლენას ანდენს კუნთოვანი ქსოვილის ჰომოგენატის ქოლინე-  
სურაზე აქტივობაზე.

ზოგიერთი მკვლევარის მტკიცებით, მეთილენის სილურჭით ქოლინესთე-  
რაზს შეკვება უნდა იყოს გამოწვეული კონკურენტული ინპილიტების გამო.  
ცნობილია, რომ აცქ და მეთილენის სილურჯეში წარმოდგენილია მეოთხეული  
აზოტის კატიონური ბირთვი, რომელიც გამსაზღვრავს სუბსტრატის სწრაფას  
ფერმენტის აქტიური ცენტრის, მიმართ. აღნიშნულიდან გამომდინარე, შეიძლე-  
ბოდა დაგვეშვა, რომ მეთილენის სილურჯე კონკურენციის უწევს აცქ-ის დაკავ-  
შირებას, როგორც ფერმენტთან, ისე პოსტინაცისური მემბრანის ქემორეცეპ-  
ტორთან და ამის გამო კავდება ფერმენტული და სინაპსური აქტივობა და შე-  
დეგად კუნთოვანი ქსოვილის შეკუმშვა.

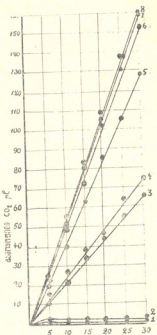
ზემოთ აღნიშნული მიზნების დასამტკიცებლად ჩვენ მიზნად დავისახეთ  
შეგვესწავლა ქოლინესთერაზულ აქტივობაზე ისეთი უანგვა-ალგინითი სისტე-  
მების გავლენა, რომელიც გამსაზღვრებიან მეთილენის სილურჭისაგან უანგვა-  
ალგინითი პოტენციალებით. მიღებული შედეგები საშუალებას მოგვცემდა გა-  
ვვრენვია უანგვა-ალგინითი პოტენციალის მოქმედების ხსიათი.

ქოლინესთერაზული აქტივობა ისაზღვრებოდა თეთრი თაგვის თავის ტვი-  
ნის პრეპარატებში. დეკაიტრაციის შემდეგ ცხოველს სწრაფად ვაცლილით თა-  
ვის ტვინს. ვსრისავდით დიბისტრილატში (1:30) და ვფილტრავდით ბაბაში [2].  
ფერმენტის პრეპარატი მზადდებოდა სიცივეში.

ფერმენტულ აქტივობას ვსაზღვრავდით მანომეტრული მეთოდით ვარსუ-  
რის აპარატში [3]. ბუფერად გამოყენებული იყო რინგერ-კრებსის ბიკარბონა-  
ტული ხსნარი (pH-7,0). საინკუბაციო არეში ემატებოდა საბოლოო კონცენ-  
ტრაციით  $KCl = 8,9 \times 10^{-3} M$ . აცქ—0,66 მგ/მლ, უანგვა-ალგინითი სალებავები— $10^{-3} M$ , თავის ტვინის ჰომოგენატი—11 მგ 1 მლ-ში. საინკუბაციო ხსნარის  
მოცულობა უდრიდა 3 მლ-ს. ინკუბაცია წარმოებდა 37°C-ზე.

ინპიბირებას აქვს აღვილი, ფერმენტის მოქმედების კინეტიკური მრუდი არა-სწორი. ინპიბირობის მოქმედებით აქტიური ცენტრის შებოჭვისა ან აპოფერ-მენტის კონფორმაციული ცვლილებების შედეგად ფერმენტული აქტივობა იც-მენტის კონფორმაციული ცვლილებების შედეგად ფერმენტული აქტივობა იც-

სურ. 1. ფანგვა-ალგენითი სალება-  
ების გაულენა თავის თავის ტეინის  
ჰომოგენიტეტის ქოლინესტერაზე აქ-  
ტივობაზე: 1—მეთოლურის სილურჯე,  
2—იანუს მწვანე, 3—გალოციანინ,  
4—ნილის სილურჯე, 5—ღრელორ-  
ფენილინდოფენოლი, 6—ინდიგო-  
კარბინი, 7—მურევსიდა, 8—საკონ-  
ტროლო (სალებავის გარეშე). ორ-  
დინარი—ქოლინესტერაზე აქტი-  
ვობა, ასციისა—ინკუბაციის დრო  
წუთობით



ვლება და კინეტიკური მრუდი საწყისი მიმართულებიდან გაღახრება. გარკვეული დროის შემდეგ, როდესაც სისტემაში დამყარდება სტაციონარული მდგრადირება, აცქ დაშლის სიჩქარე წეიძლება მუდმივი გახდეს და კინეტიკურმა რეაქცია მიიღოს სწორი სახე.

თეთრი თავის თავის ტეინის ჰომოგენიტეტის ქოლინესტერაზე აქტივობაზე ფანგვა-ალგენითი სალებავების გაულენა განსაკუთრებით მკვეთრად გამოვლინებარების არეში მეთილენის სილურჯისა (მს) და იანუს მწვანეს (იან) და სინკუბაციონ არეში მეთილენის სილურჯისა (მს) და იანუს მწვანეს (იან) და მათებისას. შედარებით ნაკლები ინპიბირება ალინიშება დქფი, ნილ და გალთანდასწორებისას. საინკუბაციო არეში მურ და ინდ დამატებისას ფერმენტული აქტივობა პრაქტიკულად არ იცვლება.

მს და იან ქიმიური შენებიდან გამომდინარე, ირკვევა, რომ მს შეიცავს ტეოთხეული აზოტის კატიონურ ბირთვს, იან-ში კი ასეთი ბირთვი არ არის წარმოდგენილი [8]. თუ დავუშვით, რომ ქოლინესტერაზე ინპიბირება მს მეთილენის კატიონური ბირთვით არის განპირობებული, მაშინ გაუგება-თხეული აზოტის კატიონური ბირთვით არის განპირობებული, რომელიც შეცეცვას მეოთხე-ლი იყო იქსაზინური სალებავი (ნილის სილურჯე), რომელიც შეცეცვას მეოთხე-ლი ული აზოტის კატიონური ბირთვს და გალური ფულის სალებავი (გალოციანინი). ული აზოტის კატიონური ბირთვის გარეშე, ფერმენტული აქტივობა შედარებით მა-ნეოთხეული აზოტის ბირთვის გარეშე, ფერმენტული აქტივობა შედარებით მა-ლალ დონეზე რჩება. აქტივობა შესაბამისად კონტროლის 40—47%-ს შეადგენს..



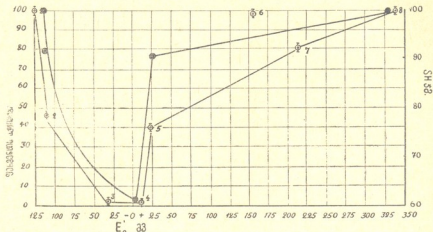
მიღებული შედეგებიდან გამომდინარე, ის დასკვნა უნდა გაკეთდეს, რომ ქოლინესთერაზულ აქტივობაზე უანგვა-ალდგენითი სალებავების გავლენა არ შეიძლება იმსახურობის კონკურენცული შეკითხვით. აზოტის მეოთხეულ დაჯგუფებას ერთგვება გარკვეული როლი ფერმენტის ინჯექციაციაში, მაგრამ ჩვენი ცდის პირობებში ეს მოქმედება არ ვლინდება როგორც კანონმიერი ფაქტი. კონცენტრის მიერ [9] ნაჩერებია, რომ საცუარას საინკუბაცია არეში უანგვა-ალდგენითი სალებავების დამატებისას იცვლება E<sub>h</sub>. ჩვენი ცდის პირობებში უანგვა-ალდგენითი სალებავების გავლენით თავის ტვინის პომოვენატის ინციბირებისას იგრძევთ იცვლება არეს E<sub>h</sub>. მიღებული შედეგები მოცემულია 1 ცხრილში.

ရာဇ်နှေး—၊ လလွှာပြင်တော် စာလျော့လျော့ပိုး E, မီ-၈၀							
ပုဂ္ဂနိုင်	အောက်ပါသို့	ပုဂ္ဂနိုင်	အောက်ပါသို့	ပုဂ္ဂနိုင်	အောက်ပါသို့	ပုဂ္ဂနိုင်	အောက်ပါသို့
+169,9	+243,8	+262,8	+290,9	+297,7	+302,8	+308,7	+335

როგორც 1 ცხრილიდან ჩანს, გაზომილი ჟანგვა-აღდგენითი პოტენციალები არ შეესაბამებიან გამოყენებული სალებაების სტანდარტულ პოტენციალებს, მაგრამ ძვრები პოტენციალებში აღინიშნება. ეს თავისი მხრივ უნდა იწვევდეს ფერმენტის, კერძოდ, ქოლანუსთვის. პას ჰელისიზმზე იოპროპრეპული მუხტების გადანაწილებას, რის შედეგად იცვლება SH-ისა და S-S-ჯგუფების შეფარდება და შესაბამისად ფერმენტული ძრიტივაბარი.

სურ. 2-დან ჩანს, რომ თავგის თავის ტენის ჰომოგენატის ქოლინესთერაზული აქტივობა საინკუბაცია: არეს უანგვა-ალფგენით პოტენციალის შემცირებისას თანდათანობით კავდება და სრულდებით ქრება, როდესაც არეს პოტენციალი + 11, — 35 მე-მდე ეცემა. აქედან, პოტენციალის შემდგომ შემცირებას თან სდევს ფერმენტული აქტივობის გაზრდა. მაგ., ფერმენტული აქტივობა 20%-ით კავდება + 217 მე-ზე (დქფი), + 21 მე-ზე (გალ) 60%-ით, + 11 მე-ზე ((მს) ფერმენტის მოქმედება 100%-ით კავდება. საცნუბაციო არეს უანგვა-ალფგენით პოტენციალის შემცირებისას — 35 მე-მდე (იან) ფერმენტული აქტივობა შეკავებული რჩება. E' შემდგომი შემცირებისას (ნიღ) ფერმენტის მოქმედება 53%-ს შეადგენს. ხოლო — 125 მე-ზე (ინღ) ფერმენტული აქტივობა კვლევ ნორმას უბრუნდება. როგორც სურ. 2-დან ჩანს, დადგებითი პოტენციალების არეში ქოლინესთერაზულ აქტივობასა და E' შორის დამოკიდებულება ფართო საზღვრებში იცვლება (+ 10, + 340 მე); დაბალი უანგვა-ალფგენითი პოტენციალების პირობებში კი აქტივობის შემცირება უფრო გრევთორად მცლავნდება — 30 მე-დან — 125 მე-მდე. ამის მიზეზი პირველ ყოვლისა უნდა

უექებოთ უანგვა-ალდეგენითი პოტენციალების იმ ზეგავლენა  
ნი ახდენენ ფერმენტის ფიზიკურ-ქიმიურ მდგომარეობაზე.



સુર. 2. ટેન્ટર ટાગવોિસ ટાગવોિસ ક્ર્યુનિન્સ કેમીનગ્રેનાર્ટિસ ક્રોલિન્જિસટેરાશ્યુલ એટ્રીપ્રોથાન્ઝ શાન્ડ્રા-અલદ્વા-નિંઠ સાલ્પ્ટેચર્બોસ ગ્રાફ્ટિંગના: 1—નિન્દોગ્યાર્ટિસિન, 2—નોલિસ સિલ્વર્જ્ય, 3—નાંસ્ક્રાન્ઝ, 4—શૈતાલ્યનિન્સ સિલ્વર્જ્ય, 5—ગ્રાલ્યુપ્રાનિન્નિન, 6—મેર્યાર્સ્પીલ્ફ, 7—ડિગ્લેન્ટરફેન્નિલાન્ડ્રોફ્યુન્નલ્સ, 8—કેમીનગ્રેનાર્ટિસ સાલ્પ્ટેચર્બોસ ગ્રાફ્ટિંગ. નર્લન્નાર્ટિશ મિન્ચ્યેર્લાંડ ટ્યુર્મન્ફ્રીલ્સાં એટ્રીપ્રોથાન્ઝ પ્રાણીલ્યાં (◎—◎) દા SH-ફ્રેન્ટ્યુબોસ રૂાન્ડાન્ડિન્બા (●—●) %—નોંધ સાફ્ન્યુન્ટર્નલાંસ મિન્ચાર્ટ, એન્ફ્રાન્ઝ—સાલ્પ્ટેચર્બોસ શાન્ડ્રા-અલદ્વા-નિંઠ ક્રોલિન્જિસટેરાશ્યુલ એટ્રીપ્રોથાન્ઝ (E.—M.—S.)

ესტონი 2

օլյէ քմբունուրացօս— $110 \cdot 10^{-7}$  M, pH 7,6, t 37°C

კორინტი	შემოგენერირებული მასალები	ქოლენსიონული ექსპრესია M წერტილი	SHuM 100 მდე ტენ- ის ქსოვილში		P	SH %-ზებით საღ- ნის თანადაცვუ- ლის
			კომერციული	კომერციული + სილვანიუმი		
საკონტროლო (კომოგენატი)	+335	$3,3 \cdot 10^{-7}$	1,20	1,21	$<0,5$	100
ჰომოგენატი + ინდიგოკარ- მისი	-125	$3,3 \cdot 10^{-7}$	1,20	1,20	—	100
ჰომოგენატი + ნილის სილ- ვანი	-116	$1,2 \cdot 10^{-7}$	1,24	1,15	$<0,05$	92,7
ჰომოგენატი + გალოციანინი	+21	$1,1 \cdot 10^{-7}$	1,37	1,25	$<0,05$	91,2
ჰომოგენატი + მუთილენის სილურული	+11	0	1,24	0,78	$<0,05$	62,9



ქოლინესთერაზულ აქტივობაზე უანგვა-ალდგენითი სალებავების მოქმედების მცენიშვილის გარკვევის მიზნით სპეციალურად იქნა შესწავლილი, თუ როგორ იცვლება  $\text{SH}-\text{ჯგუფების}$  განაწილება და პრედექსპონენციალური მაჩვენებელი გარემო არეს უანგვა-ალდგენითი პოტენციალებთან დამოკიდებულებით (იხ. ცხრილი 2).

ლიტერატურაში არ არის მონაცემები იმის შესახებ, თუ როგორ იცელება SH- განაწილება გარემო არქს ჭანვა-აღდგენითი პოტენციალებთან დამოკიდებულებით. არაპირდაპირ ცდებში კოშტობა ცის მიერ [10] ნაჩვენებია მს-ით კუნთოვანი ქსოვილის SH- ჭანვების დაკანვების შესაძლებლობა. 3. ქომეთიანის მონაცემებით, მს თანდასწრებისას საფუარს უჭრედში მატულობს დაუანგული გლუტათიონის რაოდინობა [11].

ჩენი ცდის პირობებში სპეციალურად შევისწავლეთ სულფჰიდრილის განვითარების განაწილება სხვადასხვა ყანგვა-ალღენითი პოტენციალის მქონე სა-ლებავების თანდასწრებისას. მიღებული შედეგებიდან (იხ. ცხრილი 2) ჩანს, რომ თავას ტენის პომიგენტში SH-განვითარებაზე გაელენს ახდენს გარემო არეს უანგვა-ალღენითი პოტენციალის სიდიდე. როცა ქოლინესთერა-ზული აქტივობა მაქსიმალურადაა შეკავებული (მხ), SH-განვითარების რაოდენობა, სკონტრილოსთან შედარებით, 62,9%-ს აღწევს. გალოციანინისა და ნილის სი-ლურჯის თანდასწრებისას SH-განვითარების რაოდენობა მხოლოდ 8—10%-ით არის შემცირებული. საინკუბაციო არეში ინდიგოკარმინის დაბატებისას ( $E'_1 = -125$  მვ) ქოლინესთერაზული აქტივობა და SH-განვითარების რაოდენობა პრაქტიკულად არ იცვლება. როგორც სურ. 2-დან ჩანს, ფერმენტული აქტივობის მრუდი საღება-ვების თანდასწრებისას SH-განვითარების რაოდენობის ცვლილებასთან სრულ შე-საბამისობაშია.

ცნობილია, რომ ქლინიკურაზე არ ეკუთვნის ისეთი ფერმენტების ჯგუფს, რომელთა აქტიურ ცენტრში წარმოდგენილია ალდგენილი სულფატ-რილის ჯგუფები, მაგრამ როგორც ირკვევა, აპოფერმენტში სულფატილის ჯგუფების განაწილებას გარკვეული მნიშვნელობა უნდა ენიჭებოდეს ფერმენტის მოქმედებაში. დაბალი ჟანგვა-ალდგენით პოტენციალით არ ხდება ცელილება SH-ების განაწილებაში (ინდ.). იმ შემთხვევაში, თუ ჟანგვა-ალდგენით პოტენციალი—125 მგ-დან +11 მგ-მდე ისტრება, ფერმენტში მცირდება SH-ჯგუფების რაოდენობა და იქმნება ისეთი პირობა, რაც ხელს უშლის ფერმენტის აქტიურ ცენტრს დაიკავშიროს სუბსტრატი. ეს მნიშვნელობა მეღავნდება დაბალი რეალექსი პოტენციალის პირობებში; გარემო არეს მაღალი ჟანგვა-ალდგენით პოტენციალის გავლენა კი სხვა მიზანებით უნდა იწეს გამოწვეული.

ცნობილია, რომ SH-ჯუტები მოლეკულური ქრისტალიდ უშესალოდ ძნელად აქვთნებიან. რეაქციის პარალიზმისათვის საჭიროა აეტრიური საწყისი ფატა-

ლიზატორის სახით, მაგ., რკინა ან ისეთი უკუქცევადი უანგვა-ალდგენითი შემცირება ტემპები, რომლებიც შუამავლის როლს ასრულებდნ უანგბადსა და SH-ჯგუფებს უორის (მაგ., უანგვა-ალდგენითი საღებავები). ვლიქრობთ, ეს უნდა იყოს იძის მიზეზი, რომ საღებავების თანდასწრებისა ფერმენტული აქტივობა და SH-ჯგუფების რაოდენობა თავის ტვინის ჰომოგენატში მცირდება (მს, იან და სხვა).

### დასკვნა

შესწავლილია თეთრი თაგვის თავის ტვინის ჰომოგენატის ქოლინესთერაზულ აქტივობაზე უანგვა-ალდგენითი საღებავების გავლენა.

გარემო არეს უანგვა-ალდგენითი პოტენციალის შემცირებასთან ერთად +11-დან —30 მე-მდე ქოლინესთერაზული აქტივობა მაქსიმალურად კავდება. უანგვა-ალდგენითი პოტენციალის შემდგომი შემცირებით — 125 მე-მდე ან გადიდებით +335 მე-მდე, ფერმენტული მოქმედება მატულობს და ნორმის უბრუნდება. ქოლინესთერაზული აქტივობის შეკავებასთან ერთად მეთილენის სილურჯის თანდასწრებისა აღინიშნება თავის ტვინის ჰომოგენატში SH-ჯგუფების რაოდენობის შემცირება. საინკუბაციო არეში გალოციანინისა და ნილის სილურჯის დამატებისას ფერმენტული აქტივობა, საკონტროლოსთან შედარებით, შესაბამისად 40—47%-ს აღწევს, SH-ჯგუფების რაოდენობა კი 8—10%-ით მცირდება. დაბალი პოტენციალის მქონე საღებავი ინდიგოკარმინი ( $E_0' = -125$  მვ) გავლენას არ აძლენს ქოლინესთერაზულ აქტივობაზე და თაგვის თავის ტვინის ჰომოგენატში SH-ჯგუფების განაწილებაზე.

თაგვის თავის ტვინის ჰომოგენატის ქოლინესთერაზულ აქტივობაზე უანგვა-ალდგენითი საღებავების გავლენა აისხება ფერმენტის ზედაპირზე იონიზირებული მუხტების გადანაწილებით და აპოფერმენტის რედოქსი პოტენციალის შეცვლით SH-ჯგუფების დაეანგვის შედეგად.

შრომაში მოცემულია ორორიული შეხედულება ნერვული სისტემის ქოლინესთერაზულ აქტივობაში SH-ჯგუფებისა და უანგვა-ალდგენითი პოტენციალების დამკიდებულების შესახებ.

თბილისის სახელმწიფო უნივერსიტეტი

(რედაქტორის მოუვადა 29.1.1966)

### БИОХИМИЯ

Н. Г. АЛЕКСИДЗЕ

ВЛИЯНИЕ ОКИСЛИТЕЛЬНО-ВОССТАНОВИТЕЛЬНЫХ СИСТЕМ  
НА ХОЛИНЭСТЕРАЗНУЮ АКТИВНОСТЬ ГОЛОВНОГО МОЗГА  
БЕЛЫХ МЫШЕЙ

Р е з у м е

Изучено влияние окислительно-восстановительных красителей на холинэстеразную активность головного мозга белых мышей. В качестве редокссистем были использованы обратимые редокскрасители: дихлорфеноллиндофенол ( $E_0' = +217$  мв), мурексид ( $E_0' = +151$  мв), галоцианин ( $E_0' = +21$  мв), метиленовая синь ( $E_0' = +11$  мв), янус зеленый ( $E_0' = -35$  мв), нильская голубая ( $E_0' = -116$  мв), индигокармин ( $E_0' = -125$  мв).

8. „მამბე“, XLIV, № 1, 1966.

Установлена определенная зависимость между ферментативной активностью и величиной редокспотенциала.

При уменьшении редокспотенциала от +11 до —30 мв холинэстеразная активность ингибируется максимально (судя по стандартным потенциалам красителей). Повышением редокспотенциала до +335 мв или уменьшением до —125 мв холинэстеразная активность вновь достигает нормы. Параллельно с торможением холинэстеразной активности в присутствии метиленовой сини наблюдается уменьшение количества SH-групп в гомогенате головного мозга мышей на 37,1 %. При добавлении в инкубационную среду галоцианина или нильской голубой ферментативная активность составляет соответственно 40—47 % контроля, а количество SH-групп уменьшается на 8—10 %.

Редокссистемы с низким окислительно-восстановительным потенциалом (например, индигокармин  $E_0' = -125$  мв) не оказывают влияния на холинэстеразную активность и на распределение SH-групп.

Влияние окислительно-восстановительных красителей на холинэстеразную активность головного мозга белых мышей объясняется изменением родокспотенциала фермента в результате окисления сульфгидрильных групп.

#### ԶԱՄՓՈՅՑՈ ՀՈՅՈՒՅԹԻՒՆ — ЦИТИРОВАННАЯ ЛИТЕРАТУРА

1. Н. Г. Александров. Влияние редокспотенциала внешней среды на чувствительность мышцы к ацетилхолину. Биофизика, т. 7, вып. 5, 1962.
2. И. А. Брик, А. П. Бресткин и В. А. Яковлев. Взаимодействие эфиров N-метилкарбаминовой кислоты с ацетилхолинэстеразами головного мозга белых мышей и мясных мух. Биохимия, т. 29, вып. 6, 1964.
3. K. B. Augustinsson. Methods of biochemical analysis. Ed. by David Glick, N. Y., 1957.
4. Ю. М. Торчинский. Аргенто- и меркуриметрическое определение содержания SH-групп в сыворотке крови и гомогенате мозга кошки. Бюлл. экспер. биол. и мед., т. 12, 1958, 108.
5. P. Reiss. L'action du potentiel d'oxydation-reduction du milieu sur la protéolyse de la pulpe de rate. C. R. Soc. biol., 128, 1938.
6. J. Sizer, A. Tytell. The activity of crystalline urease as a function of oxidation-reduction potential. J. Biol. Chem., 138, 2, 1941.
7. Д. Нахманзон. Перспектива исследования молекулярных основ активности нервов. Молекулярная биология. Изд. «Наука», 1964.
8. Химические реактивы и препараты. Госхимиздат, 1953.
9. E. Conway. La méthode des indicateurs nucléaires dans l'étude des transports actifs d'ions. Pergamon Press, 1959.
10. Х. С. Коштоянц. Белковые тела, обмен веществ и первичная регуляция. Изд. АН СССР, М., 1952.
11. П. А. Кометянин. Влияние окислительно-восстановительного потенциала на распределение электролитов в дрожжевой клетке. Труды Тбилисского гос. ун-та, т. 46, 1952.



გეოგრაფია

ქ. თბილისი

პახლგაზრდა ტექტონიკური მოძრაობების როლი ჯავახეთის  
გულგანური მთიანეთის რელიეფის ძირითადი ფორმების  
ჩამოყალიბების

(წარმოდგინა ეკადემიკოს ა. ჭავახიშვილმა 10.1.1966)

ჭავახეთის ულკანური მთიანეთის რელიეფის თანამედროვე ფორმების ჩა-  
მოყალიბებაში ეგზოგენურ ფერტორებთან ერთად წამყვან როლს ახალგვაზრდა  
ტექტონიკური მოძრაობები ასრულებს. ეს უკანასკნელი დაიწყო მიოცენში,  
გრძელდებოდა მთელი მეოთხეულის მანძილზე და დღესაც მიმდინარეობს. ამა-  
ვე პერიოდს ემთხვევა ულკანური ინტენსიური გამოვლინება, რის შედეგადაც  
ამოღვრილი მეზე და ფუძე ქანების ქვეშ განამარტედ სუბსტრატის დენუდი-  
რებული რელიეფი და იმ დროს არსებული ძველი ტექტონიკური სტრუქ-  
ტურები.

ჭავახეთის მთიანეთი, პ. გამყრელი ძირის მონაცემებით [1], ჭავახე-  
თის ზონაში ანუ ართვინ-ბოლნისის ჩრდილო განაპირა ზოლში შედის. ე. მი-  
ლა ნოვსკი [2] კი მას ულკანური მთიანეთის თაღური აზევების ზონა-  
ში ანუ, უფრო სწორად, ახალქალაქის ულკანური მთიანეთის ქვეზონაში ითვ-  
სებს.

ჭავახეთის ზონას ჩრდილოეთით ესაზღვრება აჭარა-თრიალეთის ნაოქა ზო-  
ლი. ამ ორი გეოტექტონიკურ ერთეულს შორის საზღვარს სხვადასხვა მკვლე-  
ვარი სხვადასხვა აღვილებული ატარებს. ახალი გეოლოგიური მონაცემების საფუძ-  
ველზე, შეიძლება უფრო მართებულად ჩაითვალოს ის აზრი, რომ მათ შორის  
საზღვარი ჭრაბარეთის ანტიკლინის სამხრეთ ფრთის ძირში იქნეს გაულებული.  
სამხრეთ-აღმოსავლეთით იგი მროვდაგ-ყარაბახის აზევების ზონას ებჯინება,  
რომელსაც ე. მილა ნოვსკი მცს ჩრდილო-დასავლეთ გაგრძელებად თვლის, სამხ-  
რეთით კი მსხვილი ანტიკლინური აზევებით, გეკდალის ანუ ჩილდირის ქედით.  
ისაზღვრება.

ჭავახეთის ზეგნის გეოლოგიურ აგებულებაში მონაწილეობს ზედა მიოცენ-  
შვედაპლიოცენური შეავე ეფუზივების, რომლებიც გაშიშელებულია მაღლა აზი-  
ლული ქედებისა და ცალკეული გუმბათისებური მთების ფერობებზე. მათი  
ფართობის დიდი ნაწილი, საკმაოდ ერთდირებული და უსწორმასწორო რელიე-  
ფით, განმარტებულია ზედაპლიოცენურ-მეოთხეულის ხნოვანების დოლერი-  
ტული და ანდეზიტური ლავის ნაკადების ქვეშ. ამ სხვადასხვა ასაკის და სხვა-

დასხვა პეტროგრაფიული შედგენილობის ეფუზივებიდან გაცილებით კარგად ემჩნევა დისლოცირების ხარისხი დოლერიტული ლავის ნაკადებს, რომელიც ახალქალაქის წყების სახელითა ცნობილი.

საკულევი მხარის ამ ნაწილში ახალგაზრდა ტექტონიკურამა მოძრაობებმა, რომლებიც გამოვლინდა ძირითადად პლიკატურ დისლოციებში და იშვიათად გვარიგალურ გადააღვილებებში, შესამჩნევი დეფორმირება შეიტანეს ახალგვარდა ლავური ნაკადების პირველადი რელიეფის მოხაზულობაში. მათგან შეგვარდა ლავური ნაკადების პირველადი რელიეფის მოხაზულობაში. მათგან შეგვარდი სტრუქტურები. მოკლე და ვიწრო ნაოჭებით, მკაფიოდაა გამოხატული რელიეფში. ანტიკლინური სტრუქტურები იძლევიან დაღებით ფორმებს, სერებს, ქედებსა და ცალკეულ გუმბათურ ახალლებებს, რამდენიმე ათეული მეტრის შეფარდებითი სიმაღლეებით, ხოლო სინკლინური — შესაბამისად დეპრესიებს, ქვაბულებს. მათი უმრავლესობა ან ტბიური ნალექებითა ამოესილი და იდეალურ ვაკე ზედაპირებს ჰქმნიან, ან კიდევ ტბებითა დაკავებული.

მეოთხეული ლავური ნაკადების რელიეფის ტექტონიკური დეფორმაციის ნიშნები განსაკუთრებით მკაფიოდაა გამოსახული ახალქალაქის ბლატოს ჩრდილო და სამხრეთ პერიფერიებზე, კერძოდ, ჭობარეთ-ტაბისურისა და კარშიანის ქვერაონებში.

აღსანიშნავია ის ფაქტიც, რომ ნაოჭები, რომლებიც საქმიოდ კარგადაა გამოხატული რელიეფში, გაწოლილია ძირითადად სამხრეთ-დასავლეთიდან ჩრდილო-აღმოსავლეთით. სერი მიმართულება აქვს, მაგ., აზმანის, მურავეანისა და დილიფის, ვარევნის, მურჯახეთის, ზავრეთისა და სხვა ანტიკლინურ სელის, დილიფის, ვარევნის, მურჯახეთის, ზავრეთისა და სხვა ანტიკლინურ სელის და მათ შორის მდებარე სინკლინურ დეპრესიებს. ქვემოთ ვიძლევით ამ მსხვილი ნაოჭების მორფოლოგიურ დახსახითებას.

ჯავახეთის ზეგნის ჩრდილო პერიფერიული ნაწილი, რომელიც საქმიოდ მაღალ პიკსომეტრიულ (1800—2500) მდებარეობას იკავებს, მოქცეულია თრიალეთის ქედის აღმავალ მოძრაობაში [3]. ექვემდებარება გამოსახული ბრაზიანტიკლინური ნაოჭების კულისისებური აგებულება. სერ, მაგალითად, ანტიკლინური ნაოჭები, რომლებიც სხვა აღვილებთან შედარებით სუსტადაა გამორტული რელიეფში, ფიქსირებულია სოფ. მოდეგისა და სოფ. ბალანტიანი. ნატული ფიქსირებულია სიმართულეთით, ხევში, ჩანს ანტიკლინის ღერძი, დოლერილებით აგებული. მისი სამხრეთი ფრთა ეცემა 15°-იანი კუთხით, ხოლო ჩრდილო ფრთის დაქანების კუთხე 5—7° ან აღემატება.

სოფ. ბალანთას არაინში ფიქსირებულ წაგრძელებულ ჩაღაბლებაში კარგადა გამოსახული სინკლინური ბუნება; ექვემდებარები ეცემან სინკლინის დოლერის მიმართულებით. ამასთან, სინკლინის ჩრდილო ფრთაში დოლერილების კუთხე არ აღემატება 15°, როცა სამხრეთი ფრთაში იყი 25—35° აღწევს.

მოლითის სინკლინის ჩრდილოეთი, 2405 მ სიმაღლეზე, დოლერიტული ლავებით აგებული ამავე სახელწოდების ანტიკლინური მაღარების, ლავებით აგებული ამავე სახელწოდების ანტიკლინური მაღარების, მდებარეობითა და მიმართულებით ემთხვევა სანტა-ავრალოს (წალიგი თავისი მდებარეობითა და მიმართულებით ემთხვევა სანტა-ავრალოს ქედის ანტიკლინური სერის გაგრძელებას. მოლითის სერს აქვს ბლატოს მაგვარი, კარგად მოვცებული ზედაპირი. ანტიკლინის სამხრეთი ფრთა ნალე-

ბადა ა დაქანებული. ამრიგად, მოლითის ანტიკლინური სერი, მსგავსად ანტიკლინური პლატოს ჩრდილო პერიფერიაზე არსებული ნაოჭებისა, ასიმეტრიული ბუნების მატარებელია.

მოლითის ანტიკლინური სერის დასავლეთით მდებარეობს ალუვიური, ტბიური ნალექებით ამოვსილი უდაბნოს სინკლინური დეპრესია. მისი ზედაპირი წარმოადგენს იდეალურ ვაკეს, რის გამოც მდ. ქუმა ზემო წელში გამოუშავებია ტიპიური მენტრები.

ახალგაზრდის პლატოს ჩრდილო-დასავლეთ ნაწილში, ნატუსის თავიდან სოფლების — გოყიო-აზევრეთის ზოლზე, სამხრეთ-დასავლეთიდან ჩრდილო-აღმოსავლეთით გადაჭიმულია აზევრეთ-ნატუსისთვის ანტიკლინური ამაღლება. იგი იგებულია ღოლერიტული ლავებისაგან, რომლის შეფარდებითი სიმაღლე ახალგაზრდის პლატოს ზედაპირიდან 300—500 მ ფარგლებში მერყეობს. ღოლერიტების ამ სიმაღლეზე არაა უნდა იყოს ანარეკლი თრიალეთის ქედის ინტენსიური აზევებისა მეოთხეულში. ამ ანტიკლინური აზევების — ტექტონიკური მუხლის (3. გამყრელი ძის მონაცემებით [1]). ჩრდილო დამრეცი ფერდობი 10°-მდე დახრის კუთხით თანდათანობით გადადის სამხრეთი დახრილ ფაფახის პლატოსმაგვარ რელიეფში, მაშინ, როდესაც მისი სამხრეთი ფრთა 30—50°-იანი კუთხით ციცაბოდ ეშვება ახალგაზრდის პლატოსაკენ. ანტიკლინური სერის თაღი, მასზე აწევდოლი სხვადასხვა სიმაღლის მწვერვალების შედეგად, ტალღურ-ბორცვიანია. მეორე მხრივ, ეს მთლიანი ამაღლება დანაწევრებულია ცალკეულ მონაცემებიად მდ. ჭობარეთის, თეთრობრის, ბურნაშეთისა და გოლოლარის ღრმად ჩატარელი კარიბისმაგვარი ხეობებით.

მეორე ანტიკლინური სერი, რომელიც ნატუსისთვი-აზევრეთის ანტიკლინური აზევების სამხრეთით მდებარეობს, ცნობილია ვარგავ-ალასტანის ამაღლებად. იგი იშვება სოფ. ვარგათან, მიემართება ოღმოსავლეთით და სოფ. ალასტანის რაიონში იძირება, ე. წ. ალასტანის სინკლინურ დეპრესიაში. ანტიკლინური სერი ასიმეტრიულია: მისი ჩრდილო ფერდობი მოკლეა და ეცემა 15°-იანი კუთხით; სამხრეთით კი 25°-იანი კუთხით.

ვარგავ-მურჩუმტებეს ანტიკლინური სერი ვიწროა და გადაჭიმულია სამხრეთ-დასავლეთიდან ჩრდილო-აღმოსავლეთით. მისი რელიეფი ვართულებულია რამდენიმე გუმბათური, ანტიკლინური ნაოჭით. მათი ანარეკლი რელიეფში გამოხატულია მთა მურჩუმტებესა და რიგი უსახელო ამაღლებებით. ამ შედარებით მსხვილი ნაოჭების გარდა, ახალგაზრდის პლატოს ჩრდილო ნაწილში კარგადაა გამოსახული რამდენიმე ანტიკლინური სერი. ამ სხვადასხვა მიმმრთულების ნაოჭებით, როგორიც არის ქოთელის, ზაკის, ტურცის, ბარალეთისა და სხვ. დასერილია პლატოს ზედაპირი. მთთი შეფარდებითი ნიმიღლები ახალგაზრდის პლატოს ზედაპირიდან 20—30 მ აღწევს.

ზემოთ ჩამოთვლილი ანტიკლინური სერები გაძოყოფილია ერთომეორისაგან ფართო სინკლინური დეპრესიებით, რომელთა ძირები ამოვსილია დელფინური და ალუვიური ტბიური ნალექებით. ამ ნალექებზე განვითარებული რელიეფი იდეალური ვაკე ზედაპირების მატარებელია. ამ დეპრესიებიდან აღსანიშნავია ბარალეთის დეპრესია, სადაც ალუვიურ-ტბიური ნალექების სიმძ-

ლავრე, ჭაბურღლილების მონაცემებით, 28 მ აღწევს. მის იდეალურ ვაკე ზედა-პირზე მიეღინება მდ. ბარალეთისწყალი, რომლისთვისაც დამახასიაჟებელია მე-ანდრების გაჩენა და კალაპოტის სანაპირო ზოლის ძლიერი დაჭაობება. ამ დეპ-რესიის გენეზისის შესახებ მკვლევართა შორის არსებობს აზრთა სხვადასხვაობა. მკვლევართა უმრავლესობა მის წარმოშობას უკავშირებს მდ. ბარალეთის-წყლის გადაეცევის დოლერიტების ლავის ნაკადების და ზეკის შლაკური კონუსის გაჩენის შედეგად. ჩვენი აზრით, ამ დეპრესიის გაფორმებაში დიდი როლი შეასრულა ტექტონიკურა მოძრაობებმა, კერძოდ, ქოთელის ანტიკლინის წარ-მოქმნამ, რომლის აღმოსავლეთით განვითარდა ე. წ. ბარალეთის სინკლინური დეპრესია.

რელიეფის ტექტონიკური დეფორმაცის ნიშნები კიდევ უფრო კარგადაა გამოსახული ახალქალაქის პლატოს სამხრეთ-დასავლეთ პერიფერიულ ნაწილში. ამ სტრუქტურებიდან აღსანიშვნავია: აზმანის, მურავკალისა და დილიფის ან-ტიკლინური სერები, მათ შორის მდებარე სინკლინური (აზმანის, ხავეთის, კარ-ძახისა და ხანჩალის) დეპრესიებით.

აზმანის სინკლინი მდებარეობს ამავე სახელწოდების სოფლის ტერიტო-რიაზე და მორფოლოგიურად წარმოადგენს სამაოდ ფართო დეპრესიის. იგი აგებულია ახალქალაქის წყების დოლერიტული ქანებით. ნაოჭის ფრთხები ძლი-ერაა გაშლილი; მულდა ამოვსილია ალუვიურ-ტბიური ნალექებით. მის იდეა-ლურ ვაკე ზედაპირზე მდ. აზმანი ინვითარებს კარგად გამოსახულ მეანდრებს.

აზმანის სინკლინური დეპრესიის სამხრეთით, 9 კმ მანძილზე, გაუიმულია განედურად ამავე სახელწოდების ანტიკლინური აზევება. იგი წარმოადგენს მორფოლოგიურად მდ. აზმანისა და კოდალაწყლის წყალგამყოფ ქედს. ნოკის ლერის ქედის თხემის თანხვედრილია. ქედი აგებულია ახალქალაქის წყების ოლივინიანი დოლერიტებით. იგი ასიმეტრიული ბუნების მატარებელია. მისი ჩრდილო ფერდი ცეცაბოდ ეცემა, სამხრეთი კი შესამჩნევად დამრეცია. მისი ფერდობები მძლავრი დელუვიური საფარითა დაფარულია; აღგილ-აღგილ ამო-ნილია დოლერიტების კლდოვანი შეერილები. თხემური ნაწილი ხავეთი ბრტყელი და ფართო ზედაპირის შემთხვევა.

მურაველის ანტიკლინური სერი აგებულია ახალქალაქის წყების ეფუზი-ური წარმონაქმნებით. იგი თავისი ჰიდრომეტრიული მაჩვენებლებით ბევრად ალემატება აზმანის ანტიკლინურ სერს. ანტიკლინური სერის ლერტულ ნაწილში მდებარეობს კულკანური ცენტრი შლაკური კონუსით — მთა ქოროლი. ანტი-კლინი ასიმეტრიულია; მისი ჩრდილო ფრთა ეცემა 45° კუთხით, ხოლო სამხ-რეთი 15°-იანი კუთხით. ამ ანტიკლინურ ამაღლებას სახელმწიფო საზღვარი-დან მთა ქოროლამდე აქვთ განედური მიმართულება, უკანასკნელიდან იღებს აღმოსავლეთურ მიმართულებას და სულდის ოროგრაფიულ დეპრესიაში იძი-რება. სულდის დეპრესიიდან იწყება მეორე ამაღლება — გიუნეის მთა, რომელიც წოფ. ვაჩიანმდე აღწევს. ამ ამაღლებას ლ. მარუაშვილი [5] მურავე-ლის ქედის გაგრძელებად თვლის; ახალი მონაცემებით, გიუნეის ამაღლება წარ-მოადგენს კულკანურ მთას, რომლის ფართო თხემზე განლაგებულია კულკანუ-რი კონუსები: გიუნეი, ოკაში, სურპისარი და სხვა.

ამ ორ, მურაკველსა და აშმანის, ანტიკლინურ სერს შორის მოთავსებულია საქმაოდ ფართო სინკლინური დეპრესია — ხევეთის სინკლინი. იგი გადაჭიმულია სამჩრეფ-დასაცლეთიდან ჩრდილო-აღმოსაცლეთით, 10 კმ სიგრძეზე. მის აგებულებაში მონაწილეობას ღებულობს ახალქალაქის წყების დოლერიტული და ბაზალტური ქანები. ვულკანოგენური ფორმაციები გაშიშვლებულია სინკლინის ფრთებში, მულდა კი მოვსილია ალუვიურ-ტბიური და სუფთა ტბიური (თიხები და ქვიშები) ნალექებით. ამ ნალექებში ნახულ იქნა ფაუნა *Dreissen-sia* SP. ეს ნალექები ზემოდან დაფარულია მძლავრი დელუვით. უკანასკნელი განიცდის ძლიერ დამეწყვერას, რცე შედეგადაც ხევეთის სინკლინური დეპრესიის ტლივით ჩაღილობრივი და გორჩა-გბორცვიანია.

მურავვალის ანტიკლინური ქედის სამხრეთით მდებარეობს კარწახის სინკლინური დეპრესია. იგი იწყება სოფ. ბოზალის გაღასასვლელიდან და სოფ. ფილიპოვებასა და სოფ. კარწახზე გავლით უერთდება ხოზაფინის დეპრესიას. ამ უკანასკნელის შიდაცესი ნაშილი ხოზაფინის ტბას უკავია.

დილიფის ანუ ხანჩალის ანტიკლინური სერი ხანჩალის ტბის დეპრესიის გა-  
მოჰყოფს ახალქალაქის პლატოსაგან, კერძოდ დილით მონდრიოს ვაკისაგან.  
შის აგებულებაში მონაწილეობენ ქისაოთიბის წყების ანდეზიტო-დაციტები და  
ახალქალაქის წყების დოლერიტული ლავები. სერის ანტიკლინური ბუნება  
დეინდება დოლერიტების დაქანებით. ანტიკლინის ჩრდილო ფრთაშე ანდეზი-  
ტო-დაციტურ ქანებშე განლაგებული დოლერიტების დაქანების კუთხე თხევ-  
თან ახლო 70°-ს უდრის, ქვემოთ თანადათან მცირდება და ჩამოდის 25°-მდე;  
სამხრეთ ფრთაში კი დოლერიტების დაქანების კუთხე 10—12° არ აღმატება.  
ამრიგად, ანტიკლინური სერი შევეორად ასიმეტრიულია. ანტიკლინის ლერძის  
მიმართულება განედურია და სერის თხემურ ნაწილს ემთხვევა. სერი აზიდუ-  
ლია საგრძნობ სიმაღლეზე. მის სამხრეთ ნაწილში, სოფ. დელიფის რაიონში,  
მდებარეობს ახალგაზრდა შლაფიტი კონუსი, რომლის მორფოლოგია იმაზე მი-  
უთითებს, რომ პიროკლასტური მასალის ამოფრქვევა მოხდა ანტიკლინის ამა-  
ზევების შემდეგ.

დილივის სერიის სამხრეთ-აღმოსავლეთით და მეკულის ქედის ჩრდილ ფერდობის ძირში მდგებარეობს ფართო სინკლინური დეპრესია. დეპრესიის ძირი დაკავებული აქვს ხანჩალის ტბას. დეპრესია აგებულია დოლერიტული ლა-ვებით; უკანასკნელი ზემოდან დაფარულია საქმიან მძლავრი ალუვიურ-ტბილური და საკუთრივ ტბიური ნალექებით. მა სინკლინური დეპრესიის აღმოსავლეთ კიდეზე (სოფ. ხანჩალის რაიონში) 1300 მ სიღრმეზე ჭაბურღილით ვერ გადაიკვეთა ლავის ქვეშა სუბსტრატი. აღნიშნული ფარგლებით სუბსტრატის ღრმად დაძირების უდავო მაჩვენებელია. მასვე მიუთითებს მა რაიონში ჩატარებული გორიზონები (ცერტიკალური ელექტროპროფილიტება) გამოკვლევები.

კავახეთის ზეგნის სამხრეთ კიდეზე კარგადა გამოხატული ტერიტორიული რელიეფი — გვკდალის ანტიკლინური ქედი. ეს განედური ქედი გადაჭიმულია 60 კმ სიგრძეზე; მისი სიგანე ტბა ხანჩალის მერიდიანზე 15 კმ უდრის. ქედი ძირითადად აგებულია შუავე ეფუზიური ქანებით — ანდეზიტებითა და ანდეზიტო-დაციტებით; მთა გვკდალზე გაშიშვლებულია ახალქალაქის პლატოს

ამგებელი დოლერიტები. ამ სიმაღლეზე დოლერიტების აჩსებობა, რომლის ცენტრი მურაკველის ქედზე, კერძოდ, ქეროლლიზე უნდა მდებარეობდეს, მიუ-თითებს ქედის აზევების ამპლიტუდზე დოლერიტების ამოლვრის შემდეგ. აზე-ვების ამპლიტუდა 900—1000 მ შეადგენს. ახალქალაქის პლატოდან თხემური ნაწილი გორაკ-ბორცვიანი ტალღური რელიეფის მქონეა. ქედის ჩრდილო ფერ-დობი დაფარულია მძლავრი დელუვიური ნალექებით და დანაწევრებულია ლრმად მდინარეთა ხეობებით.

გარდა ამისა, ქედის ფერდობზე, ასევე მის თხემურ ნაწილში, განლაგებულია სილრმით რღვევებთან დაკავშირებული ახალგაზრდა ლავებისა და პირო-კლასტური მასალის მომცემი ვულკანური ცენტრები. ეს რღვევები, რომელიც აქ ახსებული ახალგაზრდა ვულკანური ცენტრების განლაგებით დგინდება, განედური მიმართულებისაა. განედური მიმართულებისაა აგრეთვე ქედის ჩრდი-ლოეთით ახსებული ორი რღვევა: 1. ქეროლლი-გაუნერიამი და 2. სულდა-რაშკალა. ჩამოთვლილ რღვევებთან დაკავშირებული პუნქტები ემთხვევა უშუალოდ ვულკანური ცენტრების (მლაკური კონუსების) გადაკვეთას.

ამრიგად, ჭავახეთის ზეგნის სამხრეთ ნაწილში გვაქვს სამი განედური მა-მართულების რღვევა, რომლებთანც დაკავშირებულია ვულკანური ცენტრები.

დასასრულ, აღსანიშნავია ის გარემოება, რომ ახალგაზრდა ტექტონიკურმა მოძრაობებმა რელიეფის დეფორმირებასთან ერთად მნიშვნელოვანი როლი შეასრულა ჰიდროგრაფიული ქსელის განვითარებასა და მიმართულებაში. ასე, მაგალითად, მდ. ფარავნის შენაკადები მიედინებიან რელიეფის დახრის მიმარ-თულებით, რაც გამოწვეულია ალაზანის აზევებით ჩრდილო და სამხრეთ პერიფერიაზე. აღსანიშნავია აგრეთვე ის ფაქტი, რომ მდ. მტკვრის და ფარავნის შენაკადებისათვის დამახსინაობელია შებრუნებული ჰიდროგრაფიუ-ლი მრუდის ასებობა, რაც გამოიხატება იმაში, რომ მათი დახრა ზემო წელ-ში მცირეა, ხოლო ქვემო შელში შესამჩნევად იზრდება და ჩანჩქერებით გამო-ირჩევა.

ყოველივე ზემოთ აღნიშნულის შემდეგ შეგვიძლია დავასკვნათ, რომ მესა-მეულის დასასრულისა და მეოთხეული დროის ახალგაზრდა ტექტონიკურმა მოძრაობებმა, რომელზედაც მიუთითებს ახალგაზრდა ლავების დანაშება, მნი-შვნელოვანი როლი შეასრულებს გარაზეთის ზეგნის ჰიდროგრაფიული რელიეფის გარ-დაქმნაში და თანამედროვე რელიეფის მსხვილი ფორმების ჩამოყალიბებაში. თბილისის სახელმწიფო უნივერსიტეტი

(რედაქტირა მოუენდა 25.1.1966)

## ГЕОГРАФИЯ

### Д. Д. ЦЕРЕТЕЛИ

## РОЛЬ НОВЕЙШИХ ТЕКТОНИЧЕСКИХ ДВИЖЕНИЙ В ФОРМИ- РОВАНИИ ОСНОВНЫХ ФОРМ РЕЛЬЕФА ДЖАВАХЕТСКОГО ВУЛКАНИЧЕСКОГО НАГОРЬЯ

### Резюме

Во время проведения крупномасштабной геологической съемки Джавахетского вулканического нагорья в течение нескольких лет мы

пришли к выводу, что в формировании основных форм современного рельефа большую роль играли новейшие тектонические движения, начавшиеся в миоцене и продолжавшиеся в четвертичном периоде.

В геотектоническом отношении П. Д. Гамкрелидзе [1] относит Джавахетское нагорье к крайней северной части Артвино-Болниской глыбы, Е. Е. Милановский [2] же — к подзоне Ахалкалакского вулканического нагорья.

Вся площадь Джавахетского нагорья покрыта мощными миоплио-ценовыми и плейстоценовыми вулканическими образованиями, вследствие чего завуалировано строение подлавового субстрата.

На исследованной территории в области развития Ахалкалакской свиты хорошо заметна дислоцированность слагающих пород. Складки в основном покровного характера, широко раскрытые и короткие.

В северной части исследованной территории наблюдаются четкие следы довольно резких воздыманий Ахалкалакского плато, где фиксируются вытянутые в субширотном направлении кулисообразно расположенные возвышенности антиклинального строения и широкие мульдообразные понижения. Поднятие северной части Ахалкалакского плато вызвано орогенетическими движениями, захватывающими всю Аджаро-Триалетскую складчатую систему.

Складки четко выражены также в рельефе юго-западной и южной частей Ахалкалакского плато, где общее простиранние складок приближается к широтному. Углы падения крыльев складок колеблются в пределах  $10-25^{\circ}$ , достигая иногда  $70^{\circ}$ . Эти антиклинальные складки и разделяющие их синклинали хорошо выражены в рельефе: антиклинали совпадают с положительными формами рельефа, которые образуют гряды и куполообразные возвышенности. На них группируются центры извержения основных эфузивов и экструзионных материалов. Синклинали с отрицательными депрессиями и блюдцевидными понижениями заполнены аллювиально-озерными отложениями. Поверхность их ровная и представляет собой идеальную плоскость.

В связи с новейшими тектоническими движениями произошли изменения рельефа, а также перестройка гидрографической сети и формирование молодых долин в верховье бассейна Ахалкалакисцкали.

На основе изучения молодых дислоцированных лав и тектонических структур Джавахетского нагорья мы приходим к заключению, что в формировании современных крупных форм рельефа основную роль играли неотектонические и новейшие движения.

#### ԳԱՅՈՒԹՅՈՒՆ ՊՈՅԱԲՈՒՐԱ — ЦИТИРОВАННАЯ ЛИТЕРАТУРА

1. П. Д. Гамкрелидзе. Геологическое строение Аджаро-Триалетской складчатой системы. Ин-т геологии и минералогии АН ГССР, Монографии, № 2, 1949.
2. Е. Е. Милановский. Геология Армянской ССР, т. I, Геоморфология. Изд. АН АрмССР, 1962.
3. Схиртладзе. Постплиоценовый эфузивный вулканализм Грузии. Ин-т геологии АН ГССР, Монографии, № 8, 1959.

ГЕОЛОГИЯ

С. И. КУЛОШВИЛИ, В. М. ШАПОШНИКОВ

О ВОЗМОЖНОСТИ ПРИМЕНЕНИЯ МОРФОМЕТРИЧЕСКОГО  
МЕТОДА ПОИСКОВ ТЕКТОНИЧЕСКИХ СТРУКТУР В  
МЕЖДУРЕЧНЫХ ВПАДИНАХ (НА ПРИМЕРЕ КАРТАЛИНСКОЙ  
ДЕПРЕССИИ)

(Представлено академиком П. Д. Гамкелидзе 23.12.1965)

Морфометрический метод поисков тектонических структур (В. П. Философов) стал применяться в геологической практике сравнительно недавно, с 1958 г. Проведенные за эти годы исследования в платформенных условиях Саратовской, Куйбышевской, Волгоградской, Оренбургской областей и Ставропольского края показали эффективность и высокую экономичность этого нового метода поисков локальных поднятий [1, 2].

Сущность метода заключается в выявлении тектонических структур по топографическим картам на основании изучения закономерностей процессов размыва земной поверхности.

Топографические карты в достаточной мере отображают рельеф местности. По рисунку гидрографической сети и междуречий на этих картах можно отделить области с преобладанием эрозионно-денудационных процессов от участков аккумуляции. По ним можно с большой степенью точности определять горизонтальную и вертикальную расчлененность рельефа, глубину вреза речных долин и производить ряд других морфометрических измерений.

В результате поднятия местности над уровнем моря расчлененность рельефа возрастает, а следовательно, увеличиваются глубина вреза долин и топографическая поверхность (площадь с учетом всех наклонов местности и высоты над уровнем моря). Наоборот, при опускании земной поверхности глубина долин уменьшается за счет заполнения их аккумулятивным материалом. Незначительные по глубине долины могут целиком заполниться осадками и прекратить свое существование как пониженные формы рельефа. В случае опускания относительная высота водоразделов над долинами понижается, величина топографической поверхности уменьшается и приближается к картографической, т. е. к проекции топографической поверхности на эллипсоид, принятый в геодезии за поверхность земли.

Морфометрический метод основан на том положении, что рельеф в пределах антиклинальных поднятий всегда значительно расчленен. Максимальное расчленение, как правило, приходится на крылья антиклинальных структур. Рельеф же тектонических впадин, в том числе и имеющих обращенное строение, размыт значительно менее интенсивно. Здесь же обычно наблюдается небольшая расчлененность рельефа.

Общеизвестно, что значения силы тяжести тесно связаны с высотой местности, уменьшаясь при повышении рельефа и, наоборот, увеличиваясь при его понижении. Благодаря значительным градиентам силы

тяжести, существующим на границах тектонических поднятий и опусканий (т. е. антиклиналей и синклиналей), размыв поверхности в пределах крыльев складок, даже погребенных под чехлом более молодых недислоцированных пород, обычно идет более усиленно, чем в пределах тектонических впадин. Эта интенсивность размыва фиксируется на топографических картах и выявляется морфометрическим методом.

Таким образом, морфометрический метод исследования связи рельефа с тектоническими поднятиями основан на изучении вышеописанных закономерностей развития рельефа местности [2]. Морфометрический метод заключается в построении на топографической основе различных специальных карт: порядков долин и водоразделов, базисной поверхности, вершинной поверхности, остаточного рельефа и др. Затем эти карты подвергаются геолого-геоморфологической интерпретации, на основании чего составляется карта прогноза антиклинальных тектонических структур, благоприятных для скопления залежей нефти и газа. При изучении районов с резко выраженным рельефом пользуются топографическими картами масштаба 1:100 000. В условиях слабо расчлененного рельефа, при наличии небольших абсолютных и относительных высот, лучше всего использовать карты масштаба 1:50 000 или даже 1:25 000. Основой для всех морфометрических карт служат копии с топографических карт, на которых четко изображены гидрография и рельеф в горизонталях. При слабо расчлененном рельефе обязательно наносятся также дополнительные и вспомогательные горизontали.

**Карта порядков долин.** Такая карта является основой для составления последующих морфометрических карт и поэтому должна составляться с особой тщательностью. На копии топографической карты наносятся долины рек, балок, ложбин стока и т. п. Затем определяются порядки этих долин по методу Хортон — Панова, уточненному В. П. Философовым. По этому способу долина, не принимающая ни одного притока, считается долиной первого порядка. Долина второго порядка образуется при слиянии двух долин первого порядка, долина третьего порядка возникает в результате слияния двух долин второго порядка и т. д. Впадение долины первого или второго порядка в долину третьего порядка не увеличивает ее категории.

Таким образом, порядок долины постепенно возрастает от верховьев к низовьям рек. Этот способ определения порядков долин дает возможность рассматривать долину в ее развитии, позволяя сравнивать с другими долинами. Порядок долин в сочетании с их формой служит одним из показателей тектонического строения местности. Так, тектоническим поднятиям соответствует быстрый переход низких порядков в более высокие. В пределах же тектонических впадин нарастание порядков долин идет медленно.

**Карта базисной поверхности.** Базисной поверхностью называется поверхность, проходящая по одноименным отметкам тальвегов долин. Последние для базисной поверхности являются как бы скелетом.

Для составления карты базисной поверхности на карте порядков долин отмечают пересечение горизонталями речных русел, а также тальвегов всех сухих долин. Получается ряд точек с одинаковыми высотами, которые соединяют плавными кривыми, называемыми изобази-

тами. Последние имеют те же свойства, что и горизонтали. Изобазиты не могут проходить ниже одноименных горизонталей, а должны лишь касаться их в точках пересечения горизонталями тальвегов долин. Как и горизонтали, изобазиты не могут пересекаться друг с другом.

Совокупный рисунок изобазит дает изображение некоторой поверхности, которая приближается к поверхности местных базисов эрозии. Рисунок изобазит зависит от продольных профилей долин, входящих в данный бассейн, и от формы долинных систем, отражая характер тектонических движений со временем образования речной сети. В. Е. Хаин [3] отмечает, что форма продольного профиля рек отражает не только характер современной тектонической деформации их русел, но и движения большей продолжительности. Поскольку карта базисной поверхности является, по существу, картой продольных профилей рек, поэтому по ней можно изучать движения земной коры. Для участков тектонических поднятий характерны малые заложения между изобазитами, а для площадей тектонических опусканий величина заложения возрастает в несколько раз.

**Карта остаточного рельефа.** Карта остаточного рельефа получается путем вычитания базисной поверхности из гипсометрической. Вычитание производится по точкам пересечения изолиний данных поверхностей. Отмечают точки пересечения, например, 600-метровой изобазиты с 800-метровой горизонталью. Здесь превышение второй над первой составляет 200 м. Затем находят точки пересечения изобазиты с отметкой 800 м и горизонтали с отметкой 1000 м, где превышение составляет те же 200 м. Полученные точки соединяют плавной кривой, именуемой 200-метровой изогипсонахитой, т. е. изолинией равных значений остаточных высот. Аналогично получают 300-метровую изогипсонахиту и т. д. Карта остаточного рельефа показывает, какой объем горных пород при современных геологических и физико-географических условиях подлежит дальнейшему уничтожению и смыву.

Для локальных антиклинальных поднятий с прямым рельефом остаточные высоты в пределах их сводовых частей образуют небольшие замкнутые участки. На крыльях таких антиклиналей остаточные высоты имеют большие мощности и овальные очертания небольших размеров, образуя в целом почти замкнутый эллипс или круг, внутренняя сторона которого оконтуривает антиклинальную складку. При локальных складках с обращенным рельефом отмеченные выше показатели сохраняются, за исключением сводовой части структуры, где в большинстве случаев отсутствуют остаточные высоты.

Таким образом, на карте базисной поверхности в сочетании с картой остаточного рельефа можно выделить локальные антиклинальные складки. В пределах антиклинальных структур изобазиты обычно сгущаются и приобретают V-образный и U-образный рисунок, обращенный вершиной к одной из периклинальных структуры. Остаточный рельеф, значительный по размерам и мощности, оконтуривает поднятие, а для структур с прямым рельефом характерно, кроме того, наличие небольших по площади и мощности остаточных высот и в пределах свода.

Мы остановились лишь на основных приемах морфометрического метода, использованных нами при исследовании локальных поднятий в пределах Карталинской депрессии. Для детального анализа отдельных

антиклинальных структур, определения их амплитуды, прослеживания разрывных нарушений и т. п. необходимы составление ряда дополнительных морфометрических карт и их совместная интерпретация.

Следует иметь в виду, что применение морфометрического метода поисков структур ограничивалось до настоящего времени лишь платформенными равнинными областями с развитием прерывистой (по классификации В. В. Белоусова) складчатости. Карталинская депрессия представляет собой в геоструктурном отношении межгорную впадину и как по степени расчлененности рельефа, так и по морфологии развитых в ее пределах структурных форм занимает промежуточное положение между областями типично платформенного и типично геосинклинального строения. Проведенные нами морфометрические исследования показали возможность их применения и в условиях межгорной депрессии.

Морфометрические работы проводились по упрощенной методике с составлением карт порядков речных долин, базисной поверхности и остаточного рельефа второго порядка.

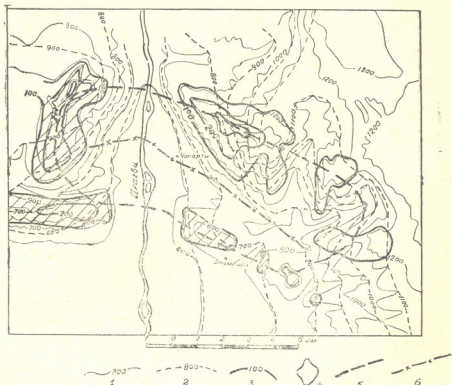
Рельеф исследуемой территории с точки зрения морфометрических построений очень неоднороден. Если в осевой части впадины (в Тирионской и Мухранской долинах) заложение между основными горизонтальными составляющими составляет 10—20 мм, то в бортовых ее зонах оно уменьшается до 1—0,5 мм, что очень затруднило построение карты базисной поверхности. Поэтому до высот с абсолютными отметками 900 м заложение изобазит принято равным 20 м, а выше оно составляет уже 100 м. Такое различное сечение базисной поверхности в пределах одного и того же района несколько осложняет интерпретацию морфометрических карт. Те же замечания относятся и к карте остаточного рельефа. Если в центральной части депрессии мощность остаточного рельефа колеблется от 20 до 60 м, то в бортовых частях она возрастает до 300 м. Размеры остаточных высот изменяются в самых широких пределах, от 1×1 км до 10×5 км.

Большинство выявленных морфометрических аномалий приурочено к северной части исследованной территории, к так называемой Громи-Бицмендской полосе поднятий. При этом наблюдается определенное совпадение поднятий, установленных морфометрическим методом со структурами, ранее установленными обычными геологическими и геофизическими методами.

Так, в восточной части Карталинской депрессии, в бассейне р. Арагви, выявлено поднятие, которое почти в точности совпадает с местоположением Чопортской и расположенной в 3 км южнее нее Бицмендской антиклиналий (черт. 1). Несколько западнее установлена крупная структура длиной до 18 км и шириной до 6 км, соответствующая как по своему расположению, так и по размерам Мчадиджварской складке, строение которой известно по результатам геологосъемочных и буровых работ.

В междуречье Ксани и Меджуды нами выявлено длинное и узкое антиклинальное поднятие, имеющее в восточной части широтное простирание, сменяющееся западнее р. Лехуры общекавказским. По своему местоположению это поднятие, по-видимому, соответствует Одзисской антиклинали, а также расположенным непосредственно к северо-западу от последней небольшим Орчосанской и Хурвалетской складкам [4].

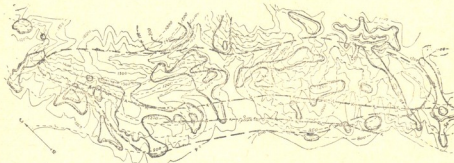
Далее к северо-западу, в бассейне р. Меджуды, устанавливается еще одна крупная аномалия, длиной до 25 км и шириной до 5 км, совпадающая с расположенной здесь Громской брахиантиклиналью и надвинутой на нее с севера Метесманской антиклиналью [5]. Наличие этих





посредственной близости друг от друга (Одзисская, Орчосанская и Гурцианская валетская) или даже частично перекрывающие друг друга (Метесманьская и Громская), выражаются в рельефе в виде одного поднятия, равного по величине и форме составляющим его отдельным структурам.

Характерной морфологической особенностью всех без исключения антиклинальных складок, развитых в зоне северного борта Каргалинской депрессии, является их резко выраженная асимметрия, проявляющаяся в сочетании сравнительно пологих северо-восточных крыльев и крутых, нередко опрокинутых, юго-западных. Эта особенность строения антиклинальных структур находит свое отражение и на карте остаточного рельефа. Участки последнего, оконтуривающие пологие северо-восточные крылья, имеют, как правило, крупные размеры и значительную мощность, местами превышающую 300 м. Наоборот, участки остаточного рельефа, расположенные вдоль опрокинутых юго-западных крыльев, обычно образуют небольшие замкнутые участки незначительной мощности (в среднем 60—100 м). Остаточные же высоты, расположенные в пределах сводовых частей структур как по размерам, так и по мощности занимают промежуточное положение.



Черт. 2. Совмещенная морфометрическая карта района Громской и Метесманьской антиклиналей. Пример тектонического поднятия при прямом рельефе: 1 — 5 — то же, что и на черт. 1; 6 — оси Громской и Метесманьской антиклиналей, установленные по данным геологической съемки и бурения

На западном борту впадины нами выявлено еще два довольно крупных поднятия северо-западного простираия. Одно из них расположено в среднем течении р. Большая Лиахва и в общих чертах совпадает с широкой и спокойной Цхинвальской антиклиналью [4]. Небольшие по размерам и мощности остаточные высоты хорошо оконтуривают оба ее крыла и юго-восточную периклиналь в районе г. Цхинвали. Второе поднятие расположено в бассейне р. Проне. О наличии здесь антиклинальной структуры в литературе сведений нет, поскольку большая часть этой территории закрыта недислоцированными четвертичными образованиями. Однако в самой западной части установленного поднятия обнажаются отложения сарматского яруса, в которых отмечается антиклинальный перегиб пластов. Наконец, еще одна морфометрическая аномалия выявлена уже в пределах южного борта депрессии, на правом берегу р. Дзамы, южнее ст. Карели. Это поднятие, длиной около 10 км и шириной 3 км, имеющее юго-запад-северо-восточное простира-

ние, свойственное структурам Триалетской складчатой системы, совпадает с положением Квемо-Лететской антиклинали, установленной М. И. Варенцовым [5]. Характерно, что и здесь остаточные высоты, оконтуривающие более пологое юго-восточное крыло, имеют значительно большую мощность, чем остаточные высоты, расположенные вдоль крутого северо-западного крыла.

В центральной части впадины, в пределах Мухранской и Тирпонской долин, характеризующихся слабо расчлененным рельефом и развитием широких террас и пойм, построить карту остаточного рельефа не представилось возможным. По-видимому, для выявления локальных поднятий в этой части Карталинской депрессии необходимо использование топографических карт более крупного масштаба.

В результате морфологических исследований, проведенных нами на территории Карталинской межгорной впадины, удалось установить некоторые закономерности между выявленными локальными аномалиями и антиклинальными поднятиями, известными по результатам предшествующих геолого-геофизических работ.

1. Большинство морфологических аномалий имеет обращенный рельеф, характеризующийся расположением долин вдоль длинной оси структуры, дугообразным рисунком изобазит, обращенным вершиной к одной из периклиналей, отсутствием остаточных высот вдоль свода структуры и обилием их на крыльях и переклиналях (черт. 1).

2. Морфологическая аномалия, соответствующая Громской и Метсманской антиклиналям, имеет прямое отражение в рельефе, которому свойственны: радиальное расположение долин, эллипсообразный рисунок изобазит, присутствие локальных остаточных высот в пределах свода структуры и на ее крыльях (черт. 2).

3. Несколько антиклинальных поднятий, расположенных в непосредственной близости друг от друга, могут отображаться на морфометрических картах в виде одной крупной аномалии.

4. В случае резкой асимметрии структуры максимальные остаточные высоты (как по размерам, так и по мощности) приурочиваются к более пологим крыльям.

В заключение следует отметить, что проведенные исследования показали возможность применения в условиях межгорной депрессии морфометрического метода поисков структур, уже доказавшего свою высокую экономичность и эффективность в ряде районов Волго-Уральской области и Ставропольского края.

Для установления более определенных закономерностей пространственной взаимосвязи выявляемых морфологическим методом структур с существующими необходима постановка опытных исследований в более широких масштабах, особенно в районах с хорошо изученным геологическим строением.

Всесоюзный нефтяной геологоразведочный институт

Ставропольский филиал ГрозНИИ

(Поступило в редакцию 23.12.1965)

1. အာဇာပိုင်း၊ 2. အာဇာပိုင်း၊ 3. အာဇာပိုင်း

Հայոց ե

ლი გაძონი მეტად განვითარება (ნახ. 1).  
მორგონობის ანომალია, რომელიც შეესაბამება გროვისა და შეტეს-  
შანის ანტიკლინალუბს, ნათლად გამოისახება რელიეფში, რომელსაც ახასია-  
თებს: ხეობების რადიალური განლაგება, იზობაზიტების ელიფსური ფორმა  
და ლიკალური ნარჩენი სიმაღლეების გაზრდულება სტრუქტურის თაღსა და  
ფრთხებზე (ნახ. 2).

ერთმანეთთან უშუალო სიახლოვეს განლაგებული რამდენიმე ახტიყლიხა-  
ლური ამოზილვა მორფომეტრულ ჩუქებზე შეიძლება გამოისახოს, როგორც  
ერთი დიდი ანომალია. სტრუქტურის მკვეთრი ასიმეტრიულობის შემთხვევაში  
ნარჩენი სიმღალეები (როგორც ზომით, ისე სიმძლავრით) შე-  
დარცხებით დამრცებული ფრთხებზეა განლაგებული.

და ორი მონაცემის გათვალისწინებული ფორმაზე დატენის და მის გამოყენება  
დასასრულს შეიძლება აღნიშვნის, რომ ჩატარებულმა გამოყენება  
დადასტურეს, მთათაშორის ასევე ლი დეპრესიის პირობებში სტრუქტურუ-  
პის ძებნის დროს მორფომეტრული მეთოდის გამოყენების შესაძლებლობა,  
რომლის მაღალი ეკონომიურობა და ეფექტურობა უკვე დამტკიცებულია  
კონკრეტული და სტაციონარული მხარის მთელ ჩივ რიცონებში.

#### САМЫЕ ЧИТАЕМЫЕ КНИГИ — ЦИТИРОВАННАЯ ЛИТЕРАТУРА

1. С. Г. Неручев и В. М. Шапошников. Об изучении тектоники Центрального и Восточного Предкавказья с помощью морфологического метода. В сб.: «Геологическое строение и нефтегазоносность Северного Предкавказья». Труды ВИГИИ, вып. XXXII, 1960.
  2. В. П. Философов. Руководство по применению морфометрического метода поисков тектонических структур. Изд. Саратовского ун-та, 1960.
  3. В. Е. Хани. Геотектонические основы поисков нефти. Азнефтездат, 1954.
  4. М. И. Варенцов и В. Т. Мордовский. Геологическое строение северного борта Гори-Мухранской депрессии. Изд. АН СССР, 1954.
  5. М. И. Варенцов. Геологическое строение западной части Курийской депрессии. Изд. АН СССР, 1950.
  6. В. П. Философов и В. М. Шапошников. Методика составления и интерпретация морфологических карт слабо расчлененных территорий на примере Восточного Предкавказья. В сб.: «Морфометрический метод при геологических исследованиях», изд. Саратовского ун-та, 1963.



## ГЕОЛОГИЯ

Г. Д. АНАНИАШВИЛИ

### ОПИСАНИЕ РАЗРЕЗА МИОЦЕНОВЫХ ОТЛОЖЕНИЙ БАССЕЙНА р. ИНЦРА (ЗАПАДНАЯ ГРУЗИЯ)

(Представлено академиком И. В. Качарава 10.2.1966)

Стратиграфическая схема нижней части миоцена Грузии до настоящего времени не может считаться точно установленной. Решение этого вопроса осложняется тем, что очень редко встречаются разрезы, где вместе были бы представлены палеонтологически хорошо охарактеризованные сакараульский, коцахурский и тарханский горизонты.

Поэтому каждый новый разрез, где вышеотмеченные горизонты встречаются вместе, имеет важное значение для уточнения стратиграфической схемы миоцена.

В летние периоды 1960—1961 гг. в северном крыле Мегрельской синклинали, в районе ущелья р. Инкра, нами обнаружен разрез, имеющий значение для уточнения схемы стратиграфии нижней части миоцена. Упомянутый разрез находится в 6 км от хорошо известного в геологической литературе Джгалского разреза (бассейн р. Чанисцкали).

Ниже приводится описание разреза снизу вверх.

В ущелье р. Инкра на фораминиферовые мергели верхнего эоцена налегают:

1. Тонкослоистые карбонатные глины с частыми прослойками желтовато-серых песчаников и мергелей. Азимут падения слоев NO 40°, >80° . . . . .	54 м.
2. Чередование типично майкопских глин, песчанистых глин и мергелей. Местами в глинах встречаются эллиптические конкреции, чешуи рыб и линзочки гипса . . . . .	95 м.
3. Породы, аналогичные пачке 2, но в толще преобладают пропластки рыхлых серых слабокарбонатных песчаников. В нижней части пачки встречаются крупные (0,5—2,5 м) сферосидеритовые септариин . . . . .	60 м.
Перерыв . . . . .	65 м.
4. Породы, аналогичные пачке 3 . . . . .	50 м.
5. Типичные майкопские глины . . . . .	70 м

6. Чередование майкопских глин, толсто- и тонкослоистых рыхлых карбонатных песчаников и песчанистых глин . . . . . 80 м.  
 Перерыв . . . . . 40 м.
7. Глины, аналогичные пачке 6, но с прослойми тонкослоистых песчанистых глин. В основании пачки найдены *Leda fragilis* Chemn., *Glycymeris (Pectunculus) deshayesi* Mayer . . . . . 50 м.
8. Желтовато-серые толстослоистые песчаники с редкими про-пластками тонкослоистых глин. Для толстослоистых песчаников харак-терно сферическое выветривание . . . . . 25 м.
9. Породы, аналогичные пачке 9. В толстослоистых песчаниках в нижней части разреза собраны *Rzehakia (=Oncophora) socialis* (Rz.), *Eoprosodacna cartlica* David., *Congeria cf. transcaucasica* David., *Melanopsis sp.* . . . . . 30 м.
10. Серые плотные толстослоистые слабокарбонатные песчани-ки. В них встречены *Rzehakia socialis* (Rz.), *Eoprosodacna cf. cartlica* David., *Congeria sp.*, *Melanopsis sp.* . . . . . 2 м.
11. Массивные зеленовато-серые слегка рыхлые песчаники. Выше на 10 и 15 м от основания пачки найдены *Rzehakia socialis* (Rz.), *Eoprosodacna cartlica* David., *Congeria sp.* . . . . . 25 м.  
 Перерыв . . . . . 3 м.
12. Чередование тонкослоистых слабокарбонатных желтоватых песчанистых глин и песчаников. В нижней части пачки встречаются прощлости желтоватых твердых мергелей (0,1—0,2м) . . . . . 20 м.
13. Породы, аналогичные пачке 12. В основании пачки, в глинах найдены *Leda fragilis* Chemn., *L. subfragilis* M. Hoern., *Nucula nucleus* L., *Pinna sp.*, *Amussium denudatum* Reuss, *Lima skeliensis* Merkl., *Ostrea cochlear* Poli, *Cardium impar* Zhizh., *Chama gryphoides* L., *Rzehakia so-cialis* (Rz.), *Cultellus cf. scaphoideus* Zhizh., *Xylophaga dorsalis* Turt., *Aporrhais pes-pelecani* L., *Pleurotoma neutra* Liver., *Natica helicina* Broc., *Nassa tamanensis* David. var. *ingurensis* nov. . . . . 5 м.
14. Тонкослоистые желтоватые глины и песчанистые глины с про-слойми серых сильнокарбонатных песчаников. Из глин нами собраны *Nucula nucleus* L., *Amussium denudatum* Reus, *Cardium centrumpanium* Andrus., *Abra parabilis* Zhizh., *Corbula gibba* Ol., *Xylophaga dorsalis* Turt., *Aporrhais pes-pelecani* L., *Natica helicina* Broc., *Nassa cf. tama-nensis* David., *N. restitutiana* Font., *Pleurotoma neutra* Liver. . . . . 5 м.
15. Глины, аналогичные пачке 14. Основание пачки переполнено *Nucula nucleus* L. . . . . 4 м.  
 Перерыв . . . . . 23 м.
16. Чередование серых тонкослоистых песчанистых глин и песча-ников. На 2,5 м от основания в пачке найдены *Cardium centrumpanium*

Andrus., *Venus cf. marginata* M. Hörn. var. *jusmaci* Schwetz., *Abra parabilis* Zhizh., *Lima skeliensis* Merklin., *Aloides gibba* Ol., *Xylophaga dorsalis* Turt., *Ervilia praepodolica* Andrus., *Mactra bajarunasi* Roles., *Ervilia praepodolica* Andrus., *Aloidea gibba* Ol. Азимут падения слоев NO  $60^{\circ} < 70^{\circ}$  . . . . . 45 м.

Перерыв . . . . . 23 м.

17. Чередование толстослоистых желтовато-серых песчаников и тонкослоистых глинистых песчаников. В пачке редко встречаются пропластки (0,1—0,3 м) очень плотных сильно карбонатных песчаников, в которых содержится фауна *Meretrix rufa* Poli var. *taurica* Andrus. 20 м.

Перерыв . . . . . 20 м.

18. Толсто- и тонкослоистые песчаники и глинистые песчаники с линзами микреконгломератов (толщина 0,2—0,5 м; длина до 3 м). Размер галек обычно больше 0,01 м. Гальки хорошо окатанные и сильно сцепментированные крупно-зернистым песчаником. Фауна в основном приурочена к линзам микреконгломератов, нам здесь удалось определить *Ervilia praepodolica* Andrus., *Cardium centrumpanum* Andrus., *Cerithium cattleyae* Baily, *C. cf. rubiginosum* Eichw. . . . . 64 м.

Перерыв . . . . . 35 м.

19. Породы, аналогичные пачке 19 . . . . . 25 м.

Перерыв . . . . . 13 м.

20. Тонкослоистые желтовато-серые песчаники, глины и глинистые песчаники, с прослойями толстослоистых плотных сильнокарбонатных песчаников (до 0,5 м). В глинистых прослоях нижней части пачки найдены *Meretrix rufa* Poli var. *taurica* Andrus., *Ervilia praepodolica* Andrus. . . . . 30 м.

21. Чередование массивных желтовато-серых песчаников и тонкослоистых песчанистых глин . . . . . 52 м.

22. Пласт конгломерата. Гальки (0,01—0,03 м) хорошо окатаны, сильно сцепментированы. Редко встречаются валуны, размер которых достигает до 0,2—0,3 м . . . . . 2 м.

23. Чередование желтовато-серых толстослоистых рыхлых песчаников, глины и глинистых песчаников. Пачка по всей мощности переполнена *Spaniodontella pulchella* Baily.

В описанном разрезе пачки 1—5 (общей мощностью 450 м) не содержат фауну. Однако, принимая во внимание их согласное залегание между зоной *Bolinia* верхнего эоцен [1—4] и сакараульским горизонтом (нижний миоцен), указанные слои можно отнести к олигоцену.

В основании пачки 7 нами найдена руководящая форма сакараульского горизонта—*Clycymeris (Pectunculus) deshayesi* Mayer.

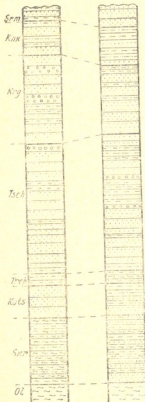
К сакараульскому горизонту следует отнести также нижележащую пачку 6, литологически сходную с упомянутыми слоями с *Clycymeris deshayesi* Mayer. В соседнем Джгальском разрезе, в аналогичных поро-

дах, на таком же стратиграфическом уровне Е. К. Вахания [5] была обнаружена характерная форма упомянутого горизонта.

Суммарная мощность сакараульских отложений достигает 170 м.

Пачки 8—11 (85 м) по содержащейся в них фауне (*Rrehakia socialis* (Rz.), *Eoprosodacna cartlica* David., *Congeria cf. transcaucasica*. David)

ущ р Инцира с Джегали



относятся к коцахурскому горизонту.

Пачка 12 фауну не содержит.

В пачках 13—15 в большом количестве найдены руководящие формы тарханского горизонта—*Nucula nucleus* L., *Amussium denudatum* Reuss, *Aporrhais pes-pelecani* L., *Natica helicina* Broc., *Nassa tamanensis* David., *Pleurotoma neutra* Liver., *P. acclivis* Zhizh., *Turbonilla brevis* Reuss.

Здесь следует обратить внимание на совместное нахождение *Rrehakia socialis* (Rz.) с типичной фауной тарханского горизонта. Аналогичное явление отмечается в Лечхуми [5, 6] и Карталинии [7, 8].

В комплексе тарханской фауны впервые отмечена нами *Chama gryphoides* L. По данным Р. Л. Мерклина и Л. А. Невесской [9], эта форма встречается в тортонах Западной Украины и в коникском горизонте Северного Кавказа, Туркмении и Устюри, т. е. в слоях, отлавливавшихся в морях с нормальной (или почти нормальной) соленостью.

Рис. 1. Схема сопоставления миоценовых отложений ущелья р. Инцира и окрестностей с. Джегали: 1—некарбонатные глины с ярким и с чешуями рыб (майкопские глины); 2—конгломераты; 3—толстослоистые песчаники; 4—песчанистые глины; 5—тонкослоистые песчаники; 6—тонкослоистые карбонатные глины; 7—тонкослоистые глинистые песчаники



Нахождение *Chama gryphoides* L. в тарханском горизонте Грузии облегчит параллелизацию тортона Западной Украины и Молдавии с тарханом Закавказья.

В рассматриваемом разрезе обращает на себя внимание пачка № 12 (20 м), согласно расположенная между палеонтологически охарактеризованными коцахурским и тарханским отложениями. Эти осадки соответствуют т. н. „джгалльскому горизонту“, выделенному М. Ф. Дзевелая [10] в бассейне р. Чанисцкали. Однако в последнее время выяснилось [11—13], что верхняя 25-метровая пачка „джгалльского горизонта“ по р. Чанисцкали содержит тарханскую фауну (*Leda fragilis* Chemn., *L. subfragilis* R. Hoern., L., *peela* L., *Nucula nucleus* L., *N. placentina* Lam., *Diplodonta cf. subtriangula* Zhizh., *Cryptodon cf. laevis* Zhizh., *Spirialis* sp.). На этом основании мы полагаем, что пачка 12 первого разреза относится к тарханскому горизонту.

Что касается нижней части „джгалльского горизонта“ мощностью 50 м, то она в бассейне р. Инцира, на наш взгляд, полностью замещается толстослоистыми песчаниками с характерной фауной коцахурского горизонта (пачки 8—11).

В рассматриваемом разрезе выше согласно следует мощная толща (330 м) чокракского горизонта с фауной (пачки 16—22), которая, в свою очередь, перекрывается караганскими песчаниками (пачка 23).

Таким образом, на основании вышеприведенных данных из миоценовых отложений Мегрелии наблюдается следующая последовательность отложений снизу вверх: сакараульский, коцахурский, тарханский и чокракский горизонты.

Академия наук Грузинской ССР

Геологический институт

(Поступило в редакцию 10.2.1966)

გვთლობია

გ. აცანიაშვილი

მიოცენის ნალექების პრიულის აღწირი

მე. იცხას ხომალი

რეზიუმე

შრომაში აღწერილია დღემდე უცნობი გეოლოგიური კრიოლი მდ. ინტრას ხეობის გასწერივ სამეგრელოს სინკლინის ჩრდილო ფრთაზე. აქ გამოყოფილია საყრაცხლო, კოწიხეური, თარხნული, ჩოკრაცხლი და კარაგანული პორიზონები.

ახლი მონაცემების საფუძველზე ე. წ. „ჯგალის პორიზონტის“ არსებობა, როგორც დამოუკიდებელი სტრატიგრაფიული პორიზონტისა, არ დასტურდება.

**დამოუკიცული ლიტერატურა — ЦИТИРОВАННАЯ ЛИТЕРАТУРА**

1. ა. გავარავა. რევა-ლენინგრადის აუზი და მოსაზღვრე რაიონები პალეოგენის დროს. საქართველოს სსრ. მეცნ. ექსემის გეოლოგიური ინსტიტუტის შრომები. ველია. სერია, ტ. II (VII), 1944.
2. И. В. Качарава. Палеоген. Геология СССР, т. X. Грузинская ССР, ч. 1. изд. „Недра“, М., 1964.
3. Е. К. Вахания. Стратиграфия инжемиоценовых отложений Грузии. Изв. Геолог. о-ва Грузии, т. I, вып. 1, 1959.
4. А. Г. Лалиев. Маликопская серия Грузии. Изд. „Недра“, М., 1964.
5. გ. ანანიაშვილი. რევა-ლენინგრადის სინკლინის დასავლეთ ნაწილის მოცულის ქვედა პორფირების შესახებ. საქართველოს სსრ მეც. ექსემის „საქართველოს გეოლ. საზ-ბის მომენტი“, ტ. II, ნავ. 2, 1961.
6. Г. Д. Аниашвили. Некоторые двустворчатые миоценовых отложений западной части Рачинско-Лечхумской синклинали. Труды Геол. ин-та АН ГССР, сер. геол., т. XIV (XIX), 1964.
7. М. С. Зиновьев. О стратиграфическом распространении *Rzehakia* (=Onco-phora) *socialis* (Rzeh.). ДАН СССР, т. 106, № 1, 1956.
8. З. В. Сахелашвили. Фауна горийских устричных слоев. Труды Геол. ин-та АН ГССР, сер. геол., т. XIV (XIX), 1964.
9. Р. Л. Мерклин и Л. А. Невесская. Определитель двустворчатых моллюсков миоцена Туркмении и Западного Казахстана. Труды Палеонтологического ин-та АН ГССР, т. LIX, 1955.
10. М. Ф. Дзвелая. К стратиграфии миоцена Мегрелии. Изв. АН СССР, сер. геол. № 4, 1940.
11. მ. ჯანებაძე. თარხანის პორფირების სტრუქტურული მდგრადრეობის საკითხების შესახებ. საქართველოს სსრ მეცნ. ექსემის გეოლოგიისა და მინერალოგიის ინსტიტუტი. შრომათა კრებული, 1951.
12. К. Г. Багдасарян. Некоторые новые данные о тарханском горизонте Грузии. Сообщения АН ГССР, т. XXII, № 2, 1959.
13. Д. П. Окромчедидзе. О тарханском горизонте Мегрелии. Труды ВНИГНИ, вып. XV, 1959.
14. К. Г. Багдасарян. Развитие моллюсковой фауны чокрака Грузии. Институт палеобиологии АН ГССР, 1965.
15. Г. А. Квалиашвили. Онкофоровый (рзегакиевский) горизонт Евразии. Институт палеобиологии АН ГССР, 1962.

ПЕТРОГРАФИЯ

Д. Н. КЕЦХОВЕЛИ

## ЯВЛЕНИЯ ГИБРИДИЗМА В ЦЕЙСКОМ МАССИВЕ (СЕВЕРНЫЙ КАВКАЗ)

(Представлено академиком Г. С. Дзоценидзе 8. 2. 1966)

Цейский гранитоидный массив находится на северном склоне Большого Кавказа в Алагирском районе Северо-Осетинской АССР. В основном он сложен нижнемезозойскими (?) кварцевыми диоритами, гранодиоритами и гранитизированными ксенолитами основных магматических пород. Сравнительно подчиненную роль играют гранитизированные ксенолиты кристаллических сланцев и секущие основные и лейкократовые жилы. Формирование кварцевых диоритов и гранодиоритов обусловлено процессами гибридизма и метасоматоза. В результате изменения состава интрузированной кислой магмы, связанного с ассилиацией основных магматических пород и кристаллических сланцев, образовалась гибридная мagma, а затем произошло метасоматическое преобразование продуктов кристаллизации последней.

Наши наблюдения подтверждают выводы В. Ф. Морковкиной [1] о широком развитии явлений гибридизма в Цейском массиве.

По своему минералогическому и химическому составу гибридные породы массива занимают промежуточное положение между роговообманковыми кварцевыми диоритами и кварцодержащими диоритами. Гибридный характер рассматриваемых диоритов иллюстрируется главным образом характером зональности плагиоклазов, наличием многочисленных измененных ксенолитов основных пород, местами обнаруживающих резкие границы, неоднородностью и структурными особенностями.

Изучение химизма и минералогического состава гибридных пород показывает, что ксенолиты, попавшие в магму, изменяли ее состав, между ними происходила взаимная реакция. Первичные минералы ксенолитов оказывались неустойчивыми. Они подвергались коррозии и замещению более устойчивыми минералами. Пироксен и бурая роговая обманка преобразовались в обыкновенную и светло-зеленую роговую обманку, а плагиоклаз — в более кислую разность. В связи с этим процессом возникли акцессорные минералы — апатит и сфен.

Для иллюстрации изменения количественно-минералогического и химического составов ксенолитов основных магматических пород в процессе гибридизма в табл. 1 и 2 приводятся средний количественно-минералогический состав и среднее молекулярное количество (в %) семи главных элементов ксенолитов диабазов и габбро и продуктов их преобразования (окварцованных роговообманковых диоритов).

Обилие в гибридных породах роговой обманки говорит о том, что гибридизация происходила при участии большого количества летучих. Усвоение магмой постороннего материала протекало путем метасоматических реакций. Кроме того, летучие способствовали перемещению



веществ в гибридизированных участках магмы, обуславливая большую подвижность химических компонентов меланократовых ксенолитов путем газового переноса.

Таблица 1  
Средний количественно-минералогический состав ксенолитов диабаза и габбро и продуктов их преобразования в Цейском массиве

Породы	Роговая обманка	Минералы									Примечания (1)	
		Плагиоклаз	Кварц	Пироксен	Биотит	Минералы группы эпидота	Хлорит	Непрозрачный рудный минерал	Апатит	Сфен и леноксен		
Диабазы и габбро	51,6	45,7	—	0,2	0,4	0,1	0,4	1,2	0,1	0,3	100	Среднее из пяти образцов
Окварцованные роговообманковые диориты	42,5	45,9	5,8	—	0,4	0,8	0,2	1,1	0,5	2,8	100	Среднее из четырех образцов

Таблица 2  
Среднее молекулярное количество семи главных элементов ксенолитов диабаза и габбро и продуктов их преобразования в Цейском массиве

Группы пород	Средний молекулярный процент (X100)							Примечания
	CaO	FeO + Fe <sub>2</sub> O <sub>3</sub>	MgO	Al <sub>2</sub> O <sub>3</sub>	Na <sub>2</sub> O	K <sub>2</sub> O	SiO <sub>2</sub>	
Диабазы и габбро	19,1	8,3	21,4	18,7	4,7	0,2	81,6	Среднее из четырех анализов
Окварцованные роговообманковые диориты	14,2	6,5	12,2	17,6	7,0	1,2	91,1	Среднее из трех анализов

Процесса полного переплавления ксенолитов не наблюдается. По всей вероятности, интрудировавшаяся кислая магма по пути движения в условиях падения температуры и давления не обладала большим запасом тепловой энергии. В данном случае изменение ксенолитов происходило метасоматически. Этим же следует объяснить тот факт, что состав пород эндоконтактовых зон не проявляет ясную зависимость от состава контактируемых пород. Описанные в литературе примеры гибридизма с переплавлением ксенолитов показывают активную роль краевой асимиляции в процессе становления гибридных пород [2—5].

Фактический материал позволяет приблизительно судить о составе магмы до поглощения ею ксенолитов габбро-дибаза и кристаллических сланцев.

Исходная магма содержала калий в очень малом количестве; он не входит в существенном количестве и в гибридные роговообманко-

вые кварцевые диориты массива (табл. 3 и 4). Калисодержащие минералы отсутствуют и в ксенолитах диабазов и габбро (табл. 2).

Более сложно определение содержания натрия в магме. Для решения этого вопроса, а также для определения условий образования зональных плагиоклазов при гибридизме необходимо наличие данных о составе зональных плагиоклазов. Ядра зональных плагиоклазов, по-видимому, выделились до загрязнения магмы. Из многочисленных замеров последних (табл. 5) видно, что состав ядер зональных плагиоклазов

Таблица 3

Количественно-минералогический состав роговообмаковых кварцевых диоритов Цейского массива

№ образца	Минералы										
	Плагиоклаз	Кварц	Роговая обманка	Хорит	Биотит	Минералы группы эпилота	Калишпат	Сфен	Непрозрачный рудный минерал	Апатит	Сумма
71	57,3	21,8	9,1	7,3	—	2,2	0,4	0,5	1,4	—	100
153	54,6	24,0	13,8	1,2	—	4,3	1,4	0,5	0,2	—	100
300	49,2	27,8	13,1	3,6	3,5	0,9	0,2	0,2	1,3	0,2	100

Таблица 4

Химический состав роговообмаковых кварцевых диоритов Цейского массива

№ образца	Окислы															
	SiO <sub>2</sub>	TiO <sub>2</sub>	Al <sub>2</sub> O <sub>3</sub>	Fe <sub>2</sub> O <sub>3</sub>	FeO	MnO	MgO	CaO	Na <sub>2</sub> O	K <sub>2</sub> O	SO <sub>3</sub>	P <sub>2</sub> O <sub>5</sub>	H <sub>2</sub> O <sup>-</sup>	H <sub>2</sub> O <sup>+</sup>	п.п.п.	Сумма
71	65,02	0,40	16,85	0,47	2,37	0,08	2,37	4,48	4,50	0,84	сл.	0,37	0,20	—	2,12	100,07
153	62,62	0,60	18,02	1,40	2,88	0,08	1,28	3,50	4,00	1,90	0,70	0,11	0,47	—	1,97	99,93
300	68,17	0,18	14,03	1,23	2,70	0,10	1,62	3,22	7,02	1,00	нет	0,14	0,13	0,17	0,34	100,5

зов гибридных пород колеблется от N 24 до N 43. По экспериментальным данным Боуэна, первичные кристаллические фазы всегда бывают богаче аортитом, чем состав расплавов, из которых они образуются [6—8]. Самые кислые по составу ядра зональных плагиоклазов (N 24—25) на диаграмме равновесия бинарной системы альбит-аортит соответствуют содержанию в магме 2—3% аортитовой молекулы.

Исходя из представления о том, что зональность плагиоклазов обусловлена нарушением теплового или концентрационного режима магмы, включения плагиоклазов в центральной части зональных плагиоклазов должны были образоваться до гибридизации магмы и должны иметь одинаковый характер, или более кислый по сравнению с ядрами зональных плагиоклазов. Наши данные соответствуют вышеизложенному.

Образование плагиоклазов с обратной зональностью объясняется некоторыми исследователями [6, 7, 9] быстрым охлаждением магмы в условиях явления переохлаждения или кристаллизации неустойчивой системы.

нр з	Ядро	I	II	III	IV	V	VI	VII	VIII	IX	X	XI	XII	XIII	XIV	XV	XVI	XVII	XVIII	XIX	XX	XXI
1	32 $0.4 \times 1.6$	49 0.04	41 0.4	52–53 0.5	36 0.04	30 0.03																
2	43 $0.7 \times 0.8$	35 0.3	32 0.7	46 0.02	32 0.4	46–47 0.03	31 0.5	39 0.2	36 0.5	42 0.05	38–39 0.15	51 0.01	38 0.16	47 0.1	31 0.14	34 0.13	30 0.15	39–40 0.02	35 0.1	40 0.02	нензм. 0.3	12 0.1
3	33 $0.2 \times 0.4$	41 0.05																				
4	36 $0.2 \times 0.2$	34 0.15	38 0.15	36 0.25	16 0.1																	
5	35																					
6	36 $0.5 \times 0.6$	28 0.05	25 0.08	20 0.02	4 0.03																	
7	32 $0.4 \times 0.8$	нензм. 0.02	25 0.07	34 0.06	20 0.05	24 0.4	10 0.2															
8	30																					
9	31 $0.3 \times 0.3$	19 0.05	14 0.02																			
10	35 $0.3 \times 0.4$	25 0.4	35 0.3	28 0.4	18 0.4	13 0.5																
11	20	35	32	30	28	22	18															
12	35	27	—	33	—	24	18															
13	24	22	30	26	20	27	25															
14	28	36	34	32	—	28																
15	34	38	36	35	31																	

Присутствие в гибридных породах многочисленных измененных основных ксенолитов говорит о том, что обратная зональность плагиоклазов обусловлена процессами поглощения ксенолитов и связанного с ним повторного разогревания магмы.

Возникновение дополнительных источников тепла допустимо в результате экзотермических реакций между расплавом и твердой фазой в изобарических условиях с выпадением инконгруэнтно плавящейся фазы, а также привноса в магму воды из ксенолитов. Освоение кислой магмой основных пород, по-видимому, вызвало повышение ее основности, и благодаря повторному разогреванию магмы кристаллизовались богатые аортитовой молекулой плагиоклазы. Чрезвычайно малая ширина основных зон плагиоклазов, возможно, указывает на быстрое изменение температурного режима. Магма принимает более или менее стабильный состав: происходит падение ее температуры и выделяются плагиоклазы с нормальной зональностью. Далее, видимо, вновь создается возможность разогревания магмы. Сказанное свидетельствует о том, что условия кристаллизации магмы в период выделения плагиоклазов подвергались существенным изменениям.

Интенсивная альбитизация ксенолитов под воздействием интрузированной магмы указывает на обильное содержание в первичной магме натрия.

Г. С. Дзоценидзе [10] в диоритовых породах окрестности г. Кутиаси установил аналогичную закономерность во взаимоотношении кварцево-диоритовой магмы и основного ксенолита: «Бессспорно, что миграция  $\text{Na}_2\text{O}$  из магмы в ксенолит вызывала переход лабрадора в кислый плагиоклаз, а освобождающаяся из аортитовых молекул лабрадора извест переходит из ксенолита в магму, что вызывало в ней образование обратной зональности в плагиоклазах».

Существенным является вопрос об определении кислотности первоначальной магмы. Кварц роговообманковых кварцевых диоритов представлен двумя видами: реликтовым и привнесенным. Присутствие первичных зерен кварца в гибридных породах свидетельствует об избыточном содержании кремнеzemса в исходной магме. Главным породообразующим химическим минералом в роговообманковом кварцевом диорите является обыкновенная зеленая роговая обманка, не отличающаяся от новообразованной зеленой роговой обманки ксенолитов основных магматических пород. Представляется, что большая часть химических компонентов заимствована магмой из основных магматических ксенолитов.

Первичная магма до гибридизации по составу, видимо, приближалась к лейкократовому плагиограниту, а не к нормальному граниту, как это предполагали ранее.

В 1952 г. Г. М. Заридзе [11] отмечал, что магма лейкократовых гранитов являлась исходной для всех гранитоидов Кавказа. По его мнению, гранитоиды приобретают свой обычный гранитоидный состав благодаря воздействию лейкократовой магмы на вмещающие основные магматические породы. Аналогичные соображения были высказаны В. С. Коптевым-Дворниковым на примере гибридных гранитоидов Центрального Казахстана [3, 12]. Он отмечает также, что исходная магма гранитоидов отвечает лейкократовым гранитам. Все

разнообразие пород объясняется их различной ассимиляционной способностью.

Таким образом, в Цейском массиве путем изменения состава интрузий плагиоалейской магмы, вызванной ее воздействием на основные магматические породы и кристаллические сланцы, формировались пегматитовые диориты и кварцодержащие диориты.

Академия наук Грузинской ССР

Геологический институт

(Поступило в редакцию 8.2.1966)

ეროვნული

39803

პლაკიოალიასკიტური მაგმის მოქმედებით ფუძე მაგმურ ქანებზე და კრისტალურ ღიქტლებზე წარმოიშვა ჰიბრიდული მაგმა.

პლაგიოალისტური მაგმა ქსენოლითების გაღნობას აჩ იწვევს. ქსენო-  
ლითების გარდაქმნა მიმდინარეობს შეტასომატური გზით.

ჰიბრიდული მაგის ნორმალური კრისტალიზაციის შედეგად ჭარმოშობილი ქანები თავიანთი მინერალური და ქიმიური შედეგენილობით რეაცუარიან კვარციან ღიორიტებსა და კვარცის შემცავ ღიორიტებს შორის გარდამავალ ქანებს უპასუხებენ.

დამოწერული ლიტერატურა — ЦИТИРОВАННАЯ ЛИТЕРАТУРА

1. В. Ф. Морковкина. Гранитоиды Центрального Кавказа (Осетия). Труды Ин-та геол. наук АН СССР, вып. 107, петр. сер., № 31, 1950.
  2. L. Kingsley, A. Wells, S. W. Wooldridge. Rock group of Jersey with special reference to intrusive phenomena of Ronez. Proc. Geol. Ass. Lond., vol. 42, 1931.
  3. В. С. Коптев-Дворников. Явления гибридизации на примерах некоторых интрузий палеозоя Центрального Казахстана. Труды Ин-та геол. наук АН СССР, вып. 148, петр. сер., № 44, 1953.
  4. Т. М. Дембо. Явления анатексиса, гибридизма и ассоцииации в каледонской гранодиоритовой интрузии северной части Кузнецкого Алатау. Советская геология, № 51, 1956.
  5. И. М. Исамухамедов. Роль ассоцииационных процессов в петрогенезисе. Магматизм и связь с ним полезных ископаемых. Труды 2-го Всес. петр. сов., 1960.
  6. В. Н. Лодочников. Главнейшие породообразующие минералы, 1947.
  7. Т. Барт. Теоретическая петрология. ИЛ, М., 1956.
  8. В. Эйттель. Физическая химия силикатов. ИЛ, М., 1962.
  9. I. M. Fuster. Formation par metasomatose de quelques structures ronecs dans les plagioclases volcaniques. Bull. Comm. geol. Finlandes, 166, 1954.
  10. Г. С. Дзоценидзе. Молодые диоритовые породы окрестностей г. Кутаиси. Изд. ПГУ, 1948, 78.
  11. Г. М. Заридзе. О проблеме генезиса гранитов. Изв. АН СССР, сер. геол., № 3, 1952.
  12. В. С. Коптев-Дворников. К вопросу о некоторых закономерностях нормирования интрузивных комплексов гранитондов (на примере Центрального Казахстана). Изд. АН СССР, сер. геол., № 4, 1952.



პიროვნების

დ. პილიძე

შილატურისა და ჩხარ-აჯამის დილიციტები

(წარმოადგინა ექადემიკოსმა გ. პოჭენიძემ 8.2.1966)

შილატურისა და ჩხარ-აჯამეთის რაიონებში სილიციტები მოქმედულია ოლიგოცენურ-ქვ. მთიცენური საკინო ნალექებში; სილიციტებთან კი უშუალო კავშირში მარგანეცის მაღნიანი წყება, ორავე რაიონში სილიციტებში გაირჩეა:  
1) ოპოკები — არაორგანული, ქიმიურად დანალექი სილიციტები და  
2) სპონგოლიტები — ორგანოგენური სილიციტები.

ოპოკები. შილატურის რაიონში შესწავლილი 7 დეტალური ლითოლოგიური კრილიდან ოპოკების გამოსავალები ყველა ჭრილშია ცნობილი. ისინა უკველთვის მდებარეობენ მაღნიანი შრეების თანებზე და წინ უძლვიან სპონგოლიტების გამოჩენას. მათი სიმძლავრე 1—7 მეტრის ფარგლებში იცვლება. ყველა ჭრილში ოპოკების რამდენიმე შრეა, რომლებიც ქვიშაქვებთან მორიგეობენ. ოპოკები შეიცავენ ისეთივე ხსიათის ტერიგენ მინარევებს, როგორსაც შეიცავენ ამ რაიონში გაერცელებული მაღნისქვეშა და მაღნისქვედა ქვიშაქვები. ძირითადად მათში აღინიშნება კვარცის პატარა ზომის ნატეხები, ერთეული რაოდენობით პლაგიოკლასტები და ქანის ნატეხები, იშვიათად გლაუკონიტიც.

შილატურის ოპოკები ძირითადად შედგებიან გადაკრისტალების საწყის პროცესში მყოფი ოპალური ნივთიერებისაგან. შლიფში ჩანს ქალცედონის მკრთალი ბალები. ხშირად გადაკრისტალების პროცესი უფრო წინაა წასული; იშვიათად კი ოპოკები მთლიანად ოპალური ნივთიერებითაა წარმოდგენილი.

ჩხარ-აჯამეთის რაიონში შესწავლილი 5 დეტალური ლითოლოგიური კრილიდან ოპოკები მხოლოდ ბროლისქედის ჭრილში გვხვდება. ბროლისქედიდან აღმოსავლეთი ტერიგენი არც ჩვენ მიერ და არც აღრინდელ მკლევართა [1] მიერ ნანახი არ არის.

ბროლისქედის ოპოკებიც (სიმძლავრე 2,5—3 მ) ძირითადად წარმოდგენილია ოპალით, რომელიც ძლიერ წვრილაგრეგატულ ქალცედონშია გადასული. ამავე ჭრილში მარგანეცის მაღნის ცემენტის როლში ოპალური ნივთიერება უხვად მონაწილეობს. ბროლისქედის ოპოკებში ტერიგენი მინარევი თითქმის არ შეინიშნება. იშვიათად გვხვდება მხოლოდ კვარცის ძლიერ წვრილი ნატეხები.

ოპოკების სრულმა სილიკატურმა ანალიზმა გამოარკვია, რომ ისინი ძირითადად წარმოადგენენ მეორე და მესამე ტიპის ოპოკებს [2]. მათში  $\text{SiO}_2$ -ის ა-

ოდენობა 62—81%-ის ფარგლებშია. განსაკუთრებით აღსანიშნავია ოქიებში  $Al_2O_3$ -ის დიდი რაოდენობა (7,5—16,2%), რაც თიხის მინარევის აჩვებობითაა გამოწვეული. ტუტებიდან  $Na_2O$  1%-ს ფარგლებშია, ხოლ  $K_2O$ —2—2,24%, რაც უდავოდ კალიუმის შინდგრის შპატებისა და გლუკონიტის აჩვებობით აისანება. დიდია ხურებითი დანაკარგის სიდიდე — 3,62—5,85%. ამის მიზეზი ოქონებში თავისუფალი წყლიანი  $SiO_2$ -ის დიდი რაოდენობით არსებობა.

ოპალური ნივთიერების გარდატეხის მაჩვენებელი უდრის 1,539—1,543-ს, რაც ნათლად მიუთითებს, რომ ოპალი გადაკრისტალუდულია. მასშე აღასტურებს რენტგენოსტრუქტურული ანალიზი, რომელმაც გამოარკვია, რომ ოპოკებში  $\text{SiO}_2$  წარმოდგენილია  $\alpha$ -ფორმით.

სპეციულური ანალიზები გვიჩვენებს. რომ ოპოვებში  $0,1\%$ -ის ფარგლებში არის Ti,  $0,004$ — $0,8\%$ —V,  $0,003$ — $0,01\%$ —Zr,  $0,006$ — $0,01\%$ —Sr, კვალის სახით—Ga-ი.

ს პ პ ნ გ თ ლ ი თ ე ბ ი . ჭიათურის ს პ ნ გ თ ლ ი თ ე ბ ი ს ა გ ე ბ უ ლ ე ბ ა შ ი მ თ ნ ა წ ი ლ ე ლ უ ბ ე ლ თ ა ს პ ი კ უ ლ ე ბ ი უ მ ე ტ ე ს შ ე მ თ ხ ვ ე ბ ა შ ი წ ა რ მ ო დ გ ე ნ ი ლ ი ა რ ა ლ ი თ ა ს პ ა ლ უ რ ი ნ ი ვ თ ი ე რ ე ბ ა ო დ ნ ა ვ გ ა დ ა კ რ ი ს ტ ა ლ ე ბ უ ლ ი ა . უ კ ვ ე გ ა დ ა კ რ ი ს ტ ა ლ ე ბ უ ლ ი , ტ ი პ ი უ რ ი ქ ა ლ ც უ დ ი ნ ი თ წ ა რ მ ო დ გ ე ნ ი ლ ი ს პ ი კ უ ლ ე ბ ი , ჩ ხ ა რ - ა ჭ ა მ ე თ ი ს ს პ ი კ უ ლ ი თ ე ბ ი ს ა გ ა ნ გ ა მ ე თ ი ს გ ა მ ს ხ ა ვ ე ბ ი თ , ა რ ც თ უ ი ს ე ს შ ი რ ი ა . უ მ რ ა ვ ლ ე ს შ ე მ თ ხ ვ ე ვ ა შ ი ა რ ა ლ უ რ ი ნ ი ვ თ ი ე რ ე ბ ა , ი ს ე რ ა ვ ლ ე ს ტ ა ლ ე ბ ი ს ს ა წ ყ ი ს ტ ა დ ი ა ზ ე ბ ა . ჯ ა რ ე დ ი ნ ი ვ ლ ე ბ შ ი ს პ ი კ უ ლ ა თ ა კ რ ი ნ ტ უ რ ე ბ ი ო დ ნ ა ვ ჩ ა ნ ს . ზ ო ვ ი ს პ ი კ უ ლ ი თ ი ს ს პ ი კ უ ლ ა თ ა მ ო ხ ა ს უ ლ ი ბ ა უ ფ რ ი მ ჟ ა ტ ი ღ ი დ გ ა მ ი ღ უ შ უ რ ე ბ ა . გ ა დ ა კ რ ი ს ტ ა ლ ე ბ ი ს პ რ ი ც ე ს ი ს ხ ე ვ ა დ ა ს ხ ე ვ ა შ რ ე შ ი მ ე ტ ნ ა კ ლ ე ბ ი ს ი ძ ლ ი ე რ ი მ ე ღ ლ ა ვ ნ დ ე ბ ა . ა რ ი ს ი ს ე თ ი შ ე მ თ ხ ვ ე ვ ე ბ ი ც , რ ა ღ ე ს ა ც შ ლ ი ღ ი ს ე რ თ უ ბ ა ნ შ ი ს პ ი კ უ ლ ე ბ ი ქ ა ლ ც ე დ ი ნ ი ს ა , მ ე რ კ ე უ ბ ა ნ შ ი კ ი — ა რ ა ლ ი ს . ზ ო ვ ე რ ს პ ი კ უ ლ ა თ ა ღ ა რ შ ი Mn-ია ჩ ა ლ ე ბ ი ლ ი , ზ ო ვ ე რ კ ი — ვ ლ ა უ კ რ ი ტ ი .

ტერიტორია მინაშებებიდან სპონგოლიტებში მონაწილეობს დაიდ რაოდენბით კვარტი, პლაგიოკლასზეცი — ძლიერ ხშირად მთლიანად გასერიციტებულიც და სულ საღიც. აგრეთვე იშვიათად შედარებით ფუძე, ლაბრადორის რიგის პლაგიოკლაზი. მინდებრის შეატებიდან აღსანიშნავია საქმიო რომელნობით K-შპატების არსებობა, რაც ხშირად მიკროკლინითაა წარმოდგენილი. არის პერტიტული შენაზარებებიც. ხშირია საღი და დიდი ზომის ქარსები — უფრო ხშირად მუსკოვიტი, იშვიათად ბიოტიტი. ხშირად არის აგრეთვე ძირულის მასივებისათვის დამაბასითათვებელი ქანების ნატეხები — ტიპიური გრანიტული, კვარცორფიტული, მირმეტიტული, მიკროლითურისაინი, პეგმატიტური (ცბრალი ქვის სტრუქტურით); კვარციტები როგორც მსხვილი, ისე წურილაგრეგატული, უფლეანტური მინის ნატეხები, რომლებიც ზოგჯერ გაქლორიტებულია და სპ. აღსანიშნავია, რომ გვხვდება ქალცედონის როგორც ოთხქუთხა ნატეხები, ისე ჭრგვალი გამონაყოფები. ეს უკანასკნელი, ჩეენი აზრით, შეიძლება აუტიგენური წარმოშობისად ჩავთვალოთ. აუტიგენური მინერალებიდან აღსანიშნავია აგრეთვე გლაუკონიტის არსებობაც.

სპონგოლითებში, ისე როგორც ქვიშაქვებში (რომლებიც მორიგეობენ სპონგოლითებთან), ტერიგენი მინარევი სუსტად დამუშავებული და დახარისხებულია. სპონგოლითებსა და ქვიშაქვებს შორის შეიძლება ასეთი გარდამავალი რიგის გამოყოფა: სპონგოლითი → ქვიშიანი სპონგოლითი → სპონგოლითური ქვიშაქვე → ქვიშაქვა.

როგორც მათი დასახელებიდან ჩანს, ქვიშიანი სპონგოლითები და სპონგოლითური ქვიშაქვები საკუთრივ სპონგოლითებიდანა გამოყოფილი ტერიგენი მასალის რაოდენობის მიხედვით. საკუთრივ სპონგოლითები ტერიგენი მინარევისაგან სუფთაა, იშვიათად შეინიშნება ზემოაღნიშნული მინერალები: ქვიშიან სპონგოლითში ტერიგენი მინარევი მეტია, ვიდრე სპონგოლითში, ხოლო სპონგოლითურ ქვიშაქვაში იმდენად მეტი, რომ ეს უკვე ქვიშაქვაა, მაგრამ სპონგოლითური. ეს გარემოება შეიძლება აიხსნას მკვებავი პროვინციდან ტერიგენი მასალის მოდენის ცვალებადობით, რაც სეზონის კლიმატურ ცვალებადობასთან დაკავშირებული მექანიკური დენუდაციის სიძლიერის შედარებით ცვლილებას შეიძლება დაკუთავშიროთ. ასეთი დაშვება შესაძლებელია იმ შემთხვევაში, როდესაც გარდამავალი რიგი ერთი ზეგნის (ამ შემთხვევაში აუზის ერთნაირი სიღრმისა და ნაპირისაგან ერთნაირი სიშორის) ფარგლებში გვხვდება, ხოლო როდესაც საქმე გვაქვს ერთი ზეგნიდან მეორისაკენ ტერიგენი შასალის მატება-კლებასთან, ამ მოვლენის ახსნა ნხვა მიზეზს უნდა დაუკუთავშიროთ.

სუფთა სპონგოლითები, რომლებიც თითქმის სულ არ შეიცავენ ტერიგენ მინარევებს ჭიათურის რაიონში, ჩხარ-აჯამეთის სპონგოლითებისაგან განსხვავებით, იშვიათია. საყურადღებოა, რომ დასაცავთ ზეგნებზე სილიციტებში ქვიშიანი მინარევი ბევრია და ქვიშაქვის შრეებიც ხშირი; აღმოსავლეთისაკენ კი ქვიშური მასალა საგრძნობლად იყლებს და პასიეტის ზეგანზე სილიციტების მორიგეობაში ქვიშაქვის არცერთი შრე არ ჩანს. უნდა აღინიშნოს, რომ როგორც სპონგოლითების, ისე ქვიშაქვების ცემენტის როლში ოპალური ნივთიერება გამოდის. ხშირად სპიკულები და ქვიშაქვის მარცვლები ჭარბი რაოდენობის ცემენტში (ამორტულ  $\text{SiO}_2$ -ში) ჩაფლული.

სპონგოლითებთან იშვიათად მორიგეობენ აგრეთვე ძლიერ მცირე სიმძლავრის თიხები (3—5—10 სმ), რომლებშიც ხშირად აღინიშნება კაოლინის მინერალები და უფრო იშვიათად კი ჰიდროქარისების დაგროვებანი.

სპონგოლითების სიმძლავრე ჭიათურის რაიონში სამხრეთ-დასავლეთიდან ჩრდილო-აღმოსავლეთისაკენ ჭერ იმატებს, ხოლო შემდეგ ამავე მიმართულებით კლუბულობს. სპონგოლითებსა და მაღალიან ჰორიზონტებს შორის ჩნდება მაკაბური ფაციესის თიხები, რომელთა სიმძლავრე ჩრდილო-აღმოსავლეთური მიმართულებით მკვეთრად იმატებს. ჩვანიდან ბუნიკაური-თაბაგრების მიმართულებით სიმძლავრის მატების შემდეგ, მღვიმევი—დარკვეთისაკენ სიძლავრე იყლებს და სარკეში სილიციტები სრულებით აღარაა. ასევე პერევისიდან პასიეტისაკენ და მერკევიდან ბჟინევისაკენ სპონგოლითების სიმძლავრე იმატებს. ბჟინევში (ბურღილებით) სპონგოლითების გაერცელების ზოლში აღინია. „მომბე“, XLIV, № 1, 1966.

შენება მისი მაქსიმალური სიმძლავრე—70 მ; ბეკინევისა და პასიეთის ორმოსავლეთით სპონგოლითების სიმძლავრის კლება დაღგენილია აგრეთვე ბურლილებით მდ. დუმალას მარჯვენა მხარესა და მდ. მდ. ჩეკიანას ქვემო და იქვერას ზემო წელში [3]. ასე, რომ სპონგოლითების გავრცელების ფართზე მათი მაქსიმალური სიმძლავრე აღინიშნება ცენტრალურ ნაწილში (თაბაგრები — პასიეთი — ბეკინევი).

როგორც ჩანს, იქ, სადაც ტერიგენი მასალის დალექვა უხვად წარმოებს ორგანული სამყაროს განვითარებისათვის არაა ხელსაყრელი პირობები (რვანი — პერევისა — მერევის ზოლი). კლასტური მასალის სიუხვე ხელს უშლის ღრუბლების ფართო განვითარებას. სადაც უტეში ქვიშური მასალა ნაკლები რაოდენობით აღწევს, ღრუბლები ფართოდ ვითარდებან (ზემოაღნიშნული ცენტრალური ზოლი). უფრო აღმოსავლეთით, მაკიპური თიხების გაბატონებასთან ურთად, სპონგოლითების განვითარება ისევ იზღუდება, რაც აუზის გაღრმივებასთან უნდა იყოს დაკავშირებული.

სპონგოლითები ჩხარ-აჭამეთის რაიონშიც უზეალოდ მოსდევენ მარგანე-ცის მაღანიან ჰორიზონტს. მათ შორის გამოიყოფა მცირე სიმძლავრის (2—3—5 მ) ქვიშეაქვების დასტა, რომლის შემაღენლობაში ყველაზე ღიდი რაოდენობით კვარცი, იშვათათა პლაგიოკლაზები; შედარებით ხშირია გაქლორიტებული მასები და გლაუკონიტი, ზოგჯერ აღინიშნება აუტიგენური მომრგვალო ფორმის რადიალურ-სხივოსნური ქალცედონიც. აღსანიშნავია ძლიერ მცირე რაოდენობით მიკროლითურმასიანი პორფირული ქანის ნატეხების არსებობაც. ქვიშეაქვების ცემენტი ოპალური ნივთიერებაა.

სპონგოლითები ფართო გავრცელებით სარგებლობენ აღნიშნული რაიონის დასავლეთ ნაწილში (მდ. ჭიშურის ხეობა, ბროლისქედი, სოფ. სიმონეთი); აღმოსავლეთისაკენ მათი სიმძლავრე თანდათან კლებულობს, მდ. ძევრულის ხეობაში სპონგოლითების სიმძლავრე 5 მეტრს არ აღმატება, ხოლო სოფ. ჩხარის მიღამოებში მათი არსებობა არაა დადგენილი.

ჩხარ-აჭამეთის სპონგოლითებში კლასტური მასალის მინარევი ძლიერ ცოტა. ისინი შეიცავენ კვარცის ერთეულ მარცვლებს, იშეიათად სრულიად გასვრიციტებულ პლაგიოკლაზებს. სპონგოლითებში სპიკულები ძირითადად ქალცედონითა წარმოდგენილი, რომელთა შორის შეიძლება გავარჩიოთ სპონგოლითები, სადაც სპიკულებს თავიანთი მოხაზულობა, მოტულოვანი კარგად აქვთ შენარჩუნებული. მათ შემადგენელ ინალურ ნივთიერებას გადაკრისტალება განუცდია. ამ შემთხვევაში უზრუ ხშირად სპიკულების აგებულებაში მოხაწილეობს რადიალურ-სხივოსნური ქალცედონი. უფრო ხშირია სპონგოლითები, როცა სპიკულებს თავიანთი მოხაზულობა შეცვლილი აქვთ. მათ შორის შეიძლება გამოიყოს: 1. სპონგოლითები, რომელთა სპიკულებს მოხაზულობა ოდნავ შეცვლილი აქვთ. ამ ღროს ქალცედონის ნაწილი რადიალურ-სხივოსნურია, ნაწილი კი წერილ-აგრეგატული. ეს უკანასკნელი გახვდება იმ უბნებში, სადაც სპიკულები აღარ ჩანს; სპიკულები კი ისევ რადიალურ-სხივოსნური ქალცედონითა წარმოდგენილი. 2. სპონგოლითები, რომელთა სპიკულებს თავიანთი მორფოლოვანია იმდენად შეცვლილი აქვთ, რომ ძნელი წარმოსადგენია მათი ორგა-

ნოგენული წარმოშობა. მა შემთხვევაში ქანი თითქმის მთლიანად წვრილაგრე-  
გატული ქალცედონისაგან შედგება. ასეთი მორფოლოგიადყარგული სპიკულე-  
ბი გვხვდება იმ უბნებში, რომელსაც გაყაფება განვიტარა.

გაკავებული უბნების, ქალცედონის ლინებისა და შრეების არსებობა ჩხარ-აჭამეთის სილიციტებიან ზოლში ხშირი მოვლენაა. ცნობილია, რომ ბროლის-ქედზე ოლიგოცენ—ქვ. მიოცენური ნალექების კრილი რამდენიმე მეტრის სიმ-ძლავრის ქალცედონის შრეებით მთავრდება. როგორც ზემოთქმულიდან ჩანს, და როგორც  $\text{SiO}_2$ -ის გეოქიმიის უკანასკნელი გამოკვლევები გვიჩვენებენ, ამ ზოლში სპონგოლითებში ქალცედონის დიდი რაოდენობა ორგანოგენული წარ-მოშობის ოპალური ნივთიერების გახსნითა და შემდგომ ხელახალი გამოლექ-ვითა გამოწვეული. ამაგრე მიუთითებს გრ ერთი, გაკავებულ უბნებში სპიკუ-ლების კონფიგურაციის დარღვევა ან სრულიად გაქრობა; მეორეც აღსანიშნა-ვია, რომ ხშირად სპიკულას თავისი მოხაზულობა შენარჩუნებული აქვს, მაგრამ დაკარგული აქვს მისუვის დამასაითაბელი სტრუქტურული ნიშანი — ღარი. შლიფში ჩანს სპიკულები, რომელთაც დარი შენარჩუნებული აქვთ, ან შენარ-ჩუნებული არ აქვთ. უკანასკნელ შემთხვევაში, როგორც ჩანს, გახსნილი ოპა-ლი იმავე სიცარიელეში გამოილექებოდა, მოხაზულობა ჩემბოდა სპიკულის. ხოლო სტრუქტურული ნიშანი, რასაკვირველია, ისპობორა.

ჩხარ-აგამეთის სპონგოლითებში შეიძლება გამოვყოთ თიხიანი სპონგოლი-  
თები და თიხები, რომლებშიც სპიკულებია ჩაფლული. ეს ზერები შედგენილო-  
ბისა და მიკროსკოპიული იერის მიხედვით, თიხაა, მაგრამ სლილში ჩანს მკრთა-  
ლი ორგანოგენული კონტურები, რომლებიც სპიკულებს მოგვაგონებენ. რო-  
გორც ჩანს, ამ შემთხვევაში, გახსნილი  $\text{SiO}_2$ -ის აღსორბებია ხდება წილინდი-  
ჟერსილი მყარი ნაწილაკებით [4], ან სხვანაირად რომ ვთქვათ, ხდება ახლად-  
წარმონაქმნთა გაჩენა, თიხის მინერალების სახით, რომელთათვისაც  $\text{SiO}_2$ -ის არ-  
სებობა უცილებელი პირობაა. ეს ახლადწარმონაქმნები აქვთ გახსნილი სპი-  
კულების სიცარიელეებს და, ამგვარად, ვლებულობთ ზემოთ აღნიშნულ თიხო-  
ვან ქანს, არც თუ ისე მკვეთრი ფსევდოსპონგოლითური სტრუქტურით.

აღსანიშნავია, რომ ორივე რაიონში მარგანეცის მაღანი ზოგჯერ სავსეა ჟალცედონური სპიკულებით, სადაც Mn ცემენტის როლში გამოდის. ზოგჯერ კი მარგანეცის ოოლითურ მაღანს ოპალი აცემენტიბას.

Шеє є залізистою складом. Сільськогосподарські вироби з цієї скелі мають високу якість та високу стійкість до атмосферних умов. Це дозволяє використовувати її для будівництва, а також для виготовлення керамічних виробів та іншої промисловості.

სპექტრალური ანალიზები სპონგოლითებში იგვევ იშვიათი და გაფანტული ელემენტების არსებობას აღვენს, როგორსაც ოპოებში ვხედებით: Ti—0,1—0,5%, V—0,004—0,08%, Zr—0,006—0,03%, ძლიერ მცირე რაოდნობით—Ga, Nb და Sr.

კიათურისა და ჩხარ-აგამეთის რაიონებში სილიციტების ფართო გავრცელება ცხადყოფს, რომ იმდროინდელ აუზში  $\text{SiO}_2$  დიდი რაოდენობით იმყოფებოდა. ფაქტოური მასალის შესწავლის საფუძველზე შეიძლება ითქვას, რომ

$\text{SiO}_2$ -ის სიცარბეზე მეტყველებს როგორც ოპონის შრეების, ისე თვით სპონგოლითების არსებობაც. როგორც ჩანს, აუზში იძრდებოდა  $\text{SiO}_2$ -ის კონცენტრაცია და იგი ჯერ ქიმიური გზით იღებებოდა (ობალი ცემენტის სახით მარგანეცის მაღალში და ოპალი ოპონებში).  $\text{SiO}_2$ -იანი ფაუნის განვითარებისა-და განვითარების მაღალში და ოპალი ოპონებში).  $\text{SiO}_2$ -იანი ფაუნის განვითარებისა-და განვითარების მარგანეცის მაღალში და ოპალი ოპონებში (შირბეზი ( $\text{SiO}_2$ -ის დიდი თვის აუზში თავიდანვე იყო საჭირო ხელშემწყობი პირბეზი ( $\text{SiO}_2$ -ის დიდი თვის აუზში თავიდანვე იყო საჭირო ხელშემწყობი პირბეზი ( $\text{SiO}_2$ -ის დიდი დრო სა-რაოდენობა), მაგრამ ორგანული სამყაროს განვითარებისთვის დიდი დრო სა-კირო. მე დროის განმავლობაში აუზში  $\text{SiO}_2$ -ის კონცენტრაციის განუწყვე-ტებამა ზრდამ, ხსნარის გადაფერება და ქიმიური ნალექების (ოპონების) წარ-მოშობა გამოიწვია. უმნიშვნელო რაოდენობის სახით სპონგიები ხელ-ნელა იწ-ყებენ განვითარებას, რასაც მოწმობს თვით ოპონებში ერთეული რაოდენობით სპიკულების არსებობა.

თბილისის სახელმწიფო უნივერსიტეტი

(ରେଲାଫ୍ରେଂଚ୍ ମନ୍ଦିର 12.2.1966)

## НЕТРОГРАФИЯ

Д. Г. ЧЕЛИДЗЕ

СИЛДИНЫ ЧИАТУРА-ЧХАР-АДЖАМЕТСКОЙ ПОЛОСЫ

### Резюме

Силициты Чнатура-Чхар-Аджаметской полосы приурочены к олигоценово-нижнемиоценовым отложениям. К ним же приурочена марган-

цеворудная толща. В силицитах можно выделить: 1) опоки — химические силикиты и 2) спонголиты — органогенные силикиты.

Опоки сравнительно хорошо развиты в Чиятурском районе. В Чхар-Аджаметском они встречаются только в одном (Бролис-кеди) разрезе.

Из силицитов заметно преобладают спонголиты. В Чиятурском районе в спонголитах часты прослои песчаников и в самих спонголитах песчанистый материал присутствует в заметном количестве. Выделяется следующий переходный ряд: спонголиты → песчанистые спонголиты → спонголитовые песчаники → песчаники. Характер песчанистого материала кварц-аркозовый. Чиятурские спонголиты в основном опаловые.

В спонголитах Чхар-Аджаметского района песчанистый материал присутствует в малом количестве. Здесь почти все силикиты являются собственно спонголитами. Редки и прослои песчаников.

В этих спонголитах органогенная структура изменена полностью или частично, что, как видно, связано с растворением органогенного опалового вещества. Спонголиты Чхар-Аджаметского района почти все халцедоновые.

Изученный фактический материал свидетельствует о том, что олигоцен-нижнемиоценовый бассейн этой полосы был сравнительно насыщен кремнеземом, что способствовало как его химической садке, так и развитию кремневых организмов.

По-видимому, повышение концентрации и садка как  $\text{SiO}_2$ , так и  $\text{Mn}$  происходили одновременно, что подтверждается рядом фактов.

О повышенном содержании  $\text{SiO}_2$  свидетельствует не только наличие опоковых слоев и кремнезема в роли цемента, но и широкое развитие спонголитов. Этот процесс можно представить следующим образом: в водоеме повышалась концентрация  $\text{SiO}_2$ , для развития кремневой фауны создавались благоприятные условия, но для развития органического мира нужно было время. Ввиду непрерывного роста концентрации из раствора началось осаждение  $\text{SiO}_2$  химическим путем. Фауна начала развиваться, что подтверждается нахождением в опоках единичных спикул губок. Привнос  $\text{SiO}_2$  продолжается, но химические осадки уже не образуются, так как потребление основной части  $\text{SiO}_2$  происходит кремневой фауной — спонгиями.

#### ԱՅԱԺԱՅԱԿԱՆ ԱՌՑՈՒԹՅՈՒՆ — ЦИТИРОВАННАЯ ЛИТЕРАТУРА

1. Д. Тавадзе, Д. Долидзе, Н. Канделаки. Отчет Чхар-Аджаметской геологоразведочной партии на марганец за 1947 г. Фонды ГГУ, 1948.
2. Գ. Ջելաձ. յշտանիկ թօքամունքով ռէմույնի Շըսնեց. Խյահուզում Ան Թէօթերէնդատա օյագոյնով թողծվ. XXXIX:2, 1965.
3. А. Чиковани. О стратиграфии и фациях третичных отложений северной периферии Дзириульского массива. Труды Геол. ин-та АН ГССР, сер. геолог. т. XII (XVII). 1961.
4. К. Краускоф. Геохимия литогенеза в среде осадкообразования. Геохимия литогенеза, 1963.

МИНЕРАЛОГИЯ

Р. М. МАНВЕЛИДЗЕ

О КАЛИ-НАТРОВЫХ ПОЛЕВЫХ ШПАТАХ ХЕВСКОЙ  
ИНТРУЗИИ

(Представлено академиком Г. С. Даццидзе 25.4.1966)

Находящаяся в юго-восточной части Дзирильского кристаллического массива Хевская интрузия является самым молодым образованием среди гранитоидов этого массива. Исходя из того, что она пироконтактно воздействует на порfirитовую серию байоса и трансгрессивно перекрывает осадочными породами нижнего мела, возраст интрузии определяется интервалом между средней юрой и нижним мелом и ее внедрение связывается с батской эрофазой.

Хевская интрузия еще в 30-х гг. детально была исследована Г. М. Заридзе [1], установившим неоднородность состава интрузии и выделившим в ней светлые и темные разновидности гранитоидов. В настоящее время Г. М. Заридзе и Н. Ф. Татришвили [2] считают темные разновидности гранитоидов Хевской интрузии «продуктами определенной ступени метасоматической гранитизации вмещающих их основных пород».

Описания гранитоидов Хевской интрузии содержатся в работах и других исследователей Дзирильского кристаллического массива [3—5].

В отмеченных работах кали-натровые полевые шпаты Хевской интрузии диагностированы анортоклазом — так они называются до настоящего времени [2]. Основанием для такого заключения послужило широкое распространение в гранитоидах интрузии кали-натровых полевых шпатов с относительно малыми углами оптических осей.

Однако интервал колебаний в значениях — 2V (от 44 до 76°)<sup>1</sup> в опубликованных по Хевской интрузии работах [1, 3—5] несколько иной, чем это принято для анортоклаза (от — 35 до — 55°). Это обстоятельство указывает на то, что содержание, вкладываемое в понятие «анортоклаз», не может полностью отразить истинной природы и разнообразия кали-натровых полевых шпатов Хевской интрузии.

Относительно термина «анортоклаз» известно, что он уже давно играет неопределенную роль. До настоящего времени не существует однозначного и конкретного определения этого термина. Различными исследователями он понимается по-разному. Касаясь этого вопроса в одной из своих работ, еще в 1952 г. Ф. Лавес [6] совершенно справедливо констатировал, что отмеченное положение «не удивительно, так

<sup>1</sup> Здесь учтены измерения, полученные только по двум выходам оптических осей.

как самостоятельного минерала «анортоклаз» не существует, если употреблять понятие «минерал» в его общепринятом значении».

Исходя из сказанного, можно заключить, что существующая интерпретация кали-натровых полевых шпатов Хевской интрузии неисчерпывающая и требует пересмотра. Это становится еще более очевидным в свете современных представлений о природе кали-натровых полевых шпатов.

На основании многочисленных экспериментальных и региональных исследований последних лет, развитых и сведенных в монографии А. С. Марфунина [7], доказана принадлежность кали-натровых полевых шпатов к «упорядочивающимся сериям», что принципиально меняет существующие ранее взгляды об этой группе породообразующих минералов.

Степень упорядочения внутренней структуры кали-натровых полевых шпатов определяется как условиями их образования, так и перераспределением ионов Al и Si в твердом состоянии. Считается, что упорядочение, распад гомогенного твердого раствора, развитие триклиничности и микроклиновой решетки — это тесно связанные между собой явления; в природе они обычно проявляются как разные стороны единого процесса — превращений в твердом состоянии. Среди отмеченных явлений определяющая роль принадлежит упорядочению внутренней структуры.

Исходя из этих позиций, исследование кали-натровых полевых шпатов вообще и Хевской интрузии в частности должно охватывать комплекс отмеченных вопросов.

Об упорядочении внутренней структуры отдельных индивидов кали-натровых полевых шпатов Хевской интрузии можем судить по величине угла оптических осей в них, который находится в прямо пропорциональной зависимости от степени упорядочения.

—2V в изученных кали-натровых полевых шпатах нами определялся в толстых шлифах методом коноскопирования на федоровском столике. Полученные результаты полностью подтверждают отмечающийся в опубликованных работах по Хевской интрузии широкий интервал колебаний значений — 2V (см. выше).

Для наглядности приводим результаты определений в двух образцах гранитоидов Хевской интрузии: 1) № 613 — 2V=52; 75; 78°; 2) № 617 — 2V=44; 52°.

Вычисления степени упорядочения ( $S_{mp}$ ), сведенные в таблице, показывают, что  $S_{mp}$  кали-натровых полевых шпатов интрузии фактически принимает как минимальные, так и максимальные значения. Из результатов, приводимых в таблице, можно заключить, что в гранитоидах Хевской интрузии, наряду с преимущественно распространенными, сравнительно малоупорядоченными ( $S_{mp} < 0,5$ ) кали-натровыми полевыми шпатами, содержатся и высокоупорядоченные структурные типы ( $S_{mp}$  около 1).

Степень триклиничности кали-натровых полевых шпатов Хевской интрузии определялась по рентгенограммам, снятым на дифрактометре УРС-50И.

Дифрактограммы, характеризующие кали-натровые полевые шпаты интрузии, приводятся на рис. 1. По ним, наряду со степенью триклинистости ( $\Delta_p$ ), определялся и состав гомогенного твердого раствора.

Таблица 1

№ п/п	-2 V	S <sub>mp</sub>	№ п/п	-2 V	S <sub>mp</sub>	№ п/п	-2 V	S <sub>mp</sub>
1	44°	0	11	54°	0,25	21	60°	0,40
2	44°	0	12	54°	0,25	22	60°	0,40
3	50°	0,15	13	54°	0,25	23	60°	0,40
4	50°	0,15	14	55°	0,27	24	60°	0,40
5	52°	0,20	15	55°	0,27	25	63°	0,47
6	52°	0,20	16	58°	0,35	26	68°	0,60
7	52°	0,20	17	58°	0,35	27	70°	0,65
8	53°	0,22	18	58°	0,35	28	75°	0,78
9	53°	0,22	19	60°	0,40	29	76°	0,80
10	53°	0,22	20	60°	0,40	30	78°	0,90

Дифрактограмма I соответствует лейкократовой разновидности, II—промежуточной, а III—относительно меланократовой разновидности гранитоидов интрузии.

На дифрактограмме I пик (131), как видим, не расщеплен и даже не расширен. Это указывает на то, что в данном случае степень триклинистости ( $\Delta_p$ ) равняется нулю или, во всяком случае, очень близка к нему.

На последующих дифрактограммах пик (131) отчетливо расщеплен на пики (131) и (131). Расчет степени триклинистости по этим пикам соответственно дает значения  $\Delta_p=0,67$  и  $0,82$ .

Как видим, интервал колебаний значений степени триклинистости, как и степени упорядоченности, широк.

Содержание в гранитоидах Хевской интрузии кали-натровых полевых шпатов с высокими степенями упорядочения и триклинистости указывает на возможность развития в них микроклиновой решетки. В опубликованных работах отмечается только простые двойники, а наличие в них полисинтетического двойникования отрицается. Однако, как показало детальное исследование многочисленных шлифов, это не совсем так.

Микроскопическое исследование кали-натровых полевых шпатов гранитоидов Хевской интрузии показывает отчетливое преобладание простых двойников и, как правило, отсутствие кали-натровых полевых шпатов с ярко выраженной микроклиновой решеткой. Но это не значит, что полисинтетическое двойникование полностью отсутствует. Некоторые зерна обнаруживают пятнистое погасание, которое в редких случаях принимает очертания микроклиновой решетки (рис. 2).

Отмеченное обстоятельство свидетельствует о том, что полисинтетическое двойникование хотя и является редким, но отнюдь не чуждо кали-натровым полевым шпатам Хевской интрузии и еще раз доказывает присутствие среди них максимально упорядоченных структурных типов (микроклинов). При этом, если учесть, что в кали-натровых по-

левых шпатах Хевской интрузии может быть развито также субмикроскопическое полисинтетическое двойникование, можно предположить, что зерна, аналогичные приводимым на рис. 2, могут пользоваться более широким распространением, чем это обнаруживается при микроскопических наблюдениях.

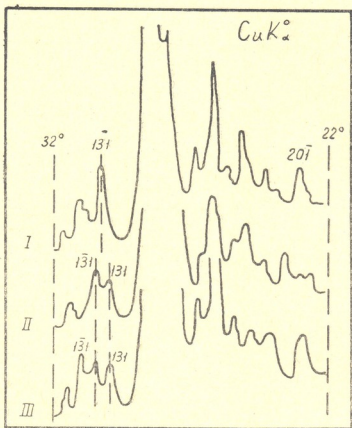


Рис. 1. Дифрактограммы кали-натровых полевых шпатов Хевской интрузии

В зернах кали-натрового полевого шпата гранитоидов Хевской интрузии под микроскопом, как правило, отчетливо различаются две самостоятельные фазы — гомогенный твердый раствор и альбитовые вrostки.

Судя по данным вышеприведенных дифрактограмм, гомогенный твердый раствор в нашем случае характеризуется постоянством соотношения между  $KAlSi_3O_8$  и  $NaAlSi_3O_8$ . По величине межплоскостных расстояний (201) определяется состав гомогенного твердого раствора:  $KAlSi_3O_8$  — 85—80% и  $NaAlSi_3O_8$  — 10—15%. Это указывает на существенно калиевую природу кали-натровых полевых шпатов Хевской интрузии.

Альбитовые вrostки обычно неравномерно распределены в гомогенном твердом растворе кали-натрового полевого шпата, и лишь изредка наблюдаются зерна с их равномерным распределением. Очень часто в образованиях кали-натрового полевого шпата имеются лишь 2—3 полоски альбита, нередко они вообще отсутствуют. Альбитовые вростки преимущественно тонковолокнистые, но местами довольно широкие и грубоватые. Как правило, в большинстве случаев невозможно усмотреть какую-нибудь закономерность в образовании и распределении альбитовых вростков. Но в отдельных зернах кали-натрового полевого шпата альбитовые вростки кажутся приуроченными к резорбированным включениям плагиоклаза. Это обстоятельство наводит на мысль, что наряду с перититами распада в гранитоидах Хевской интрузии, по-видимому, распространены и перититы замещения.



Рис. 2. Решетчатый кали-натровый полевой шпат Хевской интрузии, Q—кварц

В заключение считаем необходимым коснуться вопроса взаимоотношений кали-натрового полевого шпата с другими породообразующими минералами гранитоидов Хевской интрузии. Это, как нам кажется, позволит выяснить условия формирования и объяснить причины изложенного разнообразия в свойствах кали-натровых полевых шпатов.

В гранитоидах Хевской интрузии, характеризующихся четко выраженной гипидиоморфнозернистой структурой, кали-натровый полевой шпат всегда резко аллотриоморфен. В ряде случаев в шлифах пород интрузии можно наблюдать четко выраженный идиоморфизм темно-цветных компонентов и плагиоклаза относительно кали-натрового полевого шпата. Но нередки случаи, когда очертания контактов кали-натрового полевого шпата с другими породообразующими минералами сильно извилисты и очень напоминают контуры, возникающие при метасоматических замещениях.

Различен и характер включений в образованиях кали-натрового полевого шпата. Они сравнительно редки, но, если в одних случаях наблюдаются включения с идиоморфными, хорошо развитыми кристаллографическими очертаниями, в других они сильно резорбированы, а иногда даже клочкообразны.

Указанный характер взаимоотношений кали-натрового полевого шпата с другими породообразующими минералами позволяет предположить, что он формировался в результате двух различных процессов — прямой кристаллизации из расплава (преимущественно) и метасоматического замещения.

Метасоматические образования кали-натрового полевого шпата могли формироваться как в позднемагматической стадии становления Хевской интрузии, так и после ее полного затвердевания. О возможности последнего явления свидетельствуют наблюдающиеся в Хевской интрузии мелкие лейкократовые прожилки, представляющие микропегматитовые срастания кали-натрового полевого шпата, кварца и в сравнительно малом количестве плагиоклаза. Думается, что образование этих прожилков связано с теми лейкократовыми растворами, которые воздействовали на породы Хевской интрузии после ее затвердевания.

Изучение кали-натровых полевых шпатов Хевской интрузии показывает сложность их природы. Доминирующими типами являются малоупорядоченные кали-натровые полевые шпаты, находящиеся в метастабильном равновесии. Но наряду с ними содержатся кали-натровые полевые шпаты с высокими степенями упорядочения и триклинистости и даже индивиды с отчетливо выраженной микроклиновой решеткой.

Предполагаем, что такое разнообразие кали-натровых полевых шпатов Хевской интрузии, с одной стороны, определяется их генетическими особенностями, а с другой — относительно молодым геологическим возрастом (батским) интрузии.

Академия наук Грузинской ССР

Геологический институт

(Поступило в редакцию 27.4.1966)

806062440808

6. 856304080

ხევის ინტრუზივის კალიუმ-ნატრიუმიანი მინდვრის შპატები არსებულ  
ლიტერატურულ წყაროებში განსაზღვრულია ანორთოკლაზად. ასეთ სახელ-  
წოდებას ინარჩუნებენ ისინი ღლემდე.

რეზიუმე

ხევის ინტრუზივის კალიუმ-ნატრიუმიანი მინდვრის შპატები არსებულ  
ლიტერატურულ წყაროებში განსაზღვრულია ანორთოკლაზად. ასეთ სახელ-  
წოდებას ინარჩუნებენ ისინი ღლემდე.

ჩატარებულმა მუშაობამ დაგვინახა, რომ აღნიშნული ინტრუზივის კა-  
ლიუმ-ნატრიუმიანი მინდვრის შპატები ხასიათდებიან გაცილებით როგორი

ბუნებით, ვიდრე ამის გამოხატვა შეუძლია საკმაოდ ორჟოფულ და გაუკვეთების ტერმინს — „ანორთოკლაზეს“.

სევის ინტრუზივის გრანიტოიდებში კალიუმ-ნატრიუმიანი მინდვრის ჰა-ტების, ძირითადად გავრცელებულ, ნაკლებად მოწესრიგებულ ტიპებთას ერთად, ვხვდებით მაქსიმალურად მოწესრიგებულ სტრუქტურულ ტიპებსაც (მიკროკლინი). სხვაობა აღინიშნება აგრეთვე ტრიკლინურობის, პერტიტიზაციისა და პოლისინთეტიკური შემრჩენებლების განვითარებაშიც.

შრომაში გამოიქმულია მოსაზრება, რომ ინტრუზივის კალიუმ-ნატრიუმიანი მინდვრის ჰა-ტების თვისებათა ასეთი ცვალებადობა გაპირობებული უხდა იყოს ერთი მხრივ თვით კალიუმ-ნატრიუმიანი მინდვრის ჰა-ტების გენერიკური თავისებურებებით (მაგმური და მეტასომატური), ხოლო მეორე მხრივ — ინტრუზივის შედარებით ახალგაზრდა გეოლოგიური ასაკით (ბათური).

#### დაცოშვაბული ლიტერატურა — ЦИТИРОВАННАЯ ЛИТЕРАТУРА

1. Г. М. Заридзе. Хевская неонинтрузия в Дзириульском массиве. Бюлл. Геол. ин-та Грузии, т. IV, вып. I, Тбилиси, 1938.
2. Геология СССР, т. X, изд. «Недра», М., 1964.
3. Г. М. Смирнов и Г. М. Заридзе. Неонинтрузия в Дзириульском кристаллическом массиве. ДАН СССР, т. II, № 1, 1936.
4. Г. М. Смирнов, Н. Ф. Татришвили, Т. Г. Казахашвили. Геологопетрографический очерк северо-восточной части Дзириульского кристаллического массива. Труды Петрогр. ин-та АН СССР, вып. 11, 1937.
5. Г. М. Смирнов, Н. Ф. Татришвили, Т. Г. Казахашвили. Геологопетрографический очерк юго-восточной части Дзириульского кристаллического массива. Труды Грузинского отд. ВИМСа, вып. II, 1938.
6. Ф. Лавес. Фазовые отношения щелочных полевых шпатов. В сб.: «Полевые шпаты», ИЛ, М., 1956.
7. А. С. Марфунин. Полевые шпаты — фазовые взаимоотношения, оптические свойства, геологическое распределение. Изд. АН СССР, М., 1962.



ТЕХНИКА

Л. Г. АБЕЛИШВИЛИ (член-корреспондент АН Грузинской ССР),  
Г. Д. ЦИСКАРИШВИЛИ

## ОПРЕДЕЛЕНИЕ ВЕСА ПОЕЗДА ПО НАГРЕВАНИЮ ТЯГОВЫХ ЭЛЕКТРИЧЕСКИХ МАШИН

Вопрос об определении наибольшего веса поезда по нагреванию тяговых электрических машин—один из важнейших в электрической тяге. Это вытекает из необходимости наиболее полного использования основного силового оборудования электрических локомотивов. С другой стороны, имеющиеся решения вопроса [1—5] имеют приближенный характер.

В настоящей статье, с целью развития прежних работ [3, 4], задача об определении наибольшего веса поезда по нагреванию тяговых электромашин рассматривается в порядке второго приближения. Исходным известным при этом предполагается наибольшее превышение температуры двигателей над окружающей средой для некоторого любого веса поезда, установленное существующим относительно точным или приближенным расчетным путем или же экспериментально.

Решение подобной задачи [1, 2] сводилось к формулам

$$Q = Q_0 \sqrt{\frac{\tau_{\text{доп}}}{\tau_0}}$$

И

$$\mathcal{Q} = (P + \mathcal{Q}_0) \sqrt[3]{\left(\frac{\tau_{\text{ZON}}}{\tau_0}\right)^2 - P}, \quad (1)$$

где:

$Q$  — искомый вес поезда,

$\tau_0$  — наибольшее превышение температуры, соответствующее известному весу поезда  $Q_0$ ,

$\tau_{\text{доп}}$ —допустимое превышение температуры,

*P*—вес локомотива.

Формулы построены исходя из метода среднеквадратичного тока, в предположении, что превышение температуры пропорционально квадрату тока. Кроме того, в первой формуле (1) предполагалось, что вес поезда



приближенно пропорционален току, а во второй формуле—тяговая характеристика электровозов удовлетворяет уравнению

$$FV^4 = \text{пост.}$$

Ниже, как и раньше [3, 4], дается определение веса  $Q$  исходя из аппроксимации тепловой характеристики  $\tau_\infty = f(F)$ —зависимости установленного превышения температуры от силы тяги—трехчленом вида

$$\tau_\infty = a + bF^n. \quad (2)$$

Такая аппроксимация позволяет [3, 4] построить кривую  $\xi = \varphi(s)$ , где  $s$ —путь, а  $\xi$ —величина, не зависящая от веса поезда и связанная с превышением температуры равенством

$$\tau = a + b(P + Q)^n \xi. \quad (3)$$

Отсюда можно утверждать, что наибольшее превышение температуры для разных весов поездов ( $\tau_0$  при  $Q_0$  и  $\tau_{\text{доп}}$  при  $Q$ ) произойдет в одном и том же месте, при наибольшем  $\xi$ .

Исходя из этого можно получить из равенства (3)

$$\frac{\tau_{\text{доп}} - a}{(P + Q)^n} = \frac{\tau_0 - a}{(P + Q_0)^n},$$

откуда искомый вес поезда найдется в виде

$$Q = (P + Q_0) \sqrt[n]{\frac{\tau_{\text{доп}} - a}{\tau_0 - a}} - P. \quad (4)$$

Для перехода от одного веса поезда к другому при выводе расчетной формулы (4) было использовано лишь понятие о кривой  $\xi = \varphi(s)$ . Построение же ее делается ненужным. Этим исключаются ряд допущений, связанных с построением  $\xi = \varphi(s)$  и, следовательно, с определением  $Q$ . Такими допущениями являются предположения о движении поезда по отдельным элементам профиля с установленной скоростью и постоянстве сопротивления движению. Делается ненужным также и оперирование так называемой „постоянной пути“, которая в действительности меняется в определенных пределах.

Таким образом, если формулы (1) по точности стоят на уровне метода среднеквадратичного тока, а построенный авторами расчет на аппроксимации (2) стоит на более высоком уровне точности, соответствующем тяговым расчетам по методу установленных скоростей, то расчетная формула (4) не содержит условностей последнего метода и соответствует еще более высокому уровню точности. Далее, если предлагаемая формула (4), построенная на аппроксимации (2), может рассматриваться как дальнейшее развитие более ранних предложений авторов [3, 4, 5], то простое сопоставление видов (1) и (4) позволяет заключить, что (4) является дальнейшим развитием и формул (1).

В ранних предложениях авторов параметры  $a$ ,  $b$  и  $n$ , входящие в аппроксимацию (2), определялись по трем точкам кривой  $\tau_\infty = f(F)$ . Выбор этих точек мог иметь субъективный характер. Это приводило к различным значениям параметров (ср. [3] и [5]) и к практически неудобному значению показателя корня  $n$ .

Этот недостаток может быть устранен при аппроксимации по многим —  $m$  точкам. В этом случае по методу наименьших квадратов [6] можно получить

$$a = \frac{\sum_{k=1}^m \tau_k \sum_{k=1}^m F_k^{2n} - \sum_{k=1}^m \tau_k F_k^n \sum_{k=1}^m F_k^n}{m \sum_{k=1}^m F_k^{2n} - \left( \sum_{k=1}^m F_k^n \right)^2}$$

и

$$b = \frac{m \sum_{k=1}^m \tau_k F_k^n - \sum_{k=1}^m \tau_k \sum_{k=1}^m F_k^n}{m \sum_{k=1}^m F_k^{2n} - \left( \sum_{k=1}^m F_k^n \right)^2}. \quad (5)$$

Показатель корня для удобства расчетов может приниматься равным  $n = \frac{3}{2}$ , 2, 3 или даже 4. Из этих значений должно быть принято, которое для данного электрического локомотива принимает наименьшее среднеквадратичное отклонение:

$$\delta = \sqrt{\frac{\sum_{k=1}^m (a + bF_k^n - \tau_k)^2}{m}}.$$

Соответствующие расчеты с использованием вычислительных машин были выполнены для электровозов действующего парка СССР— ВЛ 22<sup>м</sup>, ВЛ 23, ВЛ 8, ВЛ 60 и Ф. Полученные результаты (для оптимального значения  $n$ ) приводятся в табл. 1.

Для определения веса поезда по формуле (4) требуются лишь параметры  $a$  и  $n$ . Проверочные расчеты показали крайне незначительное влияние изменений величины  $a$  на окончательные итоги определения веса поезда (колебание значения весов составило  $5 \div 8$  т при изменении режима тяги с ПП на ОП3 или ОП2). Для практических расчетов можно рекомендовать значения параметров по табл. 2.

Таблица 1

№ п/п	Типы электровозов	Режимы тяги	Параметры			Средне-квадратичная погрешность $\delta$ в $^{\circ}\text{C}$	Примечание
			$a$	$b$	$n$		
1	ВЛ 22 <sup>м</sup>	ПП	38	0,236	2	8	6×ДПЭ—400
		ОП 1	39	0,298		7	
		ОП 2	41	0,359		6	
2	ВЛ 23	ПП	35	0,0075	3	4	6×НБ—406 Б
		ОП 1	36	0,0101		5	
		ОП 2	38	0,0137		5	
		ОП 3	44	0,0182		5	
3	ВЛ 8	ПП	35	0,0032	3	4	8×НБ—406 А
		ОП 1	36	0,0043		5	
		ОП 2	38	0,0058		5	
		ОП 3	44	0,0077		5	
4	ВЛ 60	НП	13	0,22	2	7	6×НБ—412 <sup>м</sup>
		ОП 1	17	0,26		7	
		ОП 2	21	0,29		8	
		ОП 3	25	0,34		9,6	
5	Ф	НП	18	0,09	2	3	6×ТАО649 В 1
		ОП 1	20	0,12		2	
		ОП 2	23	0,14		3,7	
		ОП 3	24	0,19		2	

По данным табл. 2 и по формуле (4) был произведен поверочный расчет веса поезда для одной из проектируемых железнодорожных линий. Тяговые двигатели электровоза ВЛ8 (НБ 406) при весе поезда  $Q_0=1500$  т перегревались до  $\tau_0=169,7^{\circ}\text{C}$  в конце участка запроектированной линии, как показал расчет, выполненный аналитическим методом, рекомендуемым правилами тяговых расчетов (ПТР).

Таблица 2

Параметры	Типы электровозов				
	ВЛ 22 <sup>м</sup>	ВЛ 23	ВЛ 8	ВЛ 60	Ф
$n$	2	3	3	2	2
$a$ (в $^{\circ}\text{C}$ )	39	35	35	20	20

Повторными расчетами, согласно ПТР, был найден вес поезда, при котором тяговые двигатели уже не перегревались выше  $\tau_{\text{доп}}=120^{\circ}\text{C}$ . Это был  $Q=1250$  т.

По формуле (4) ( $\alpha=35^\circ\text{C}$ ,  $Q_0=1500$  т,  $\tau_0=169,7^\circ\text{C}$ ,  $\tau_{d90}=120^\circ\text{C}$  и  $P=184$  т) находим  $Q=1260$  т. Расхождение не превышает рекомендуемую точность определения весов поездов.

Грузинский политехнический институт

им. В. И. Ленина  
Тбилиси

(Поступило в редакцию 17.5.1966)

ტექნიკა

ლ. აგელიშვილი (საქართველოს სსრ მეცნიერებათა აკადემიის წევრ-კორესპონდენტი),  
გ. ცისარიშვილი

### მატარებლის ფონის განსაზღვრა ელექტრულ მანქანითა გაცურების პირობით

რ ე ზ ი უ მ ე

სტატიაში განხილულია მატარებლის წონის დაზუსტების ამოცანა წევის მანქანების გახურების მიხედვით. ცნობილად მიჩნეულია მატარებლის სხვა ნებისმიერი წონა და ძრავების შესაბამისი გახურების ტემპერატურათა სხვაობა, რაც შეიძლება წინასწარ დადგენილ იქნეს მიახლოებითი ან ზუსტი გაანგარიშებით, ან ექსპრიმენტულად.

შრომაში თეორიულად დასაბუთებულია საანგარიშო ფორმულა (4), სადაც:  $Q$ —საძიებელი წონაა,  $Q_0$ —საწყისი წინასწარი წონა,  $\tau$ —ტემპერატურის უდიდესი გადაკარბება ამ წონისათვის,  $\tau_{d90}$ —ტემპერატურის დასაშენები გადაკარბება და  $P$ —ლოკომოტივის წონა.  $a$  და  $b$ —პარამეტრები სხვადასხვა ტიპის ელექტრომავლებისათვის, მოცემულია მე-2 ცხრილში.

მიღებული ფორმულა შეესაბამება გაანგარიშების სიზუსტის უფრო მაღალ დონეს, ვიდრე არსებული ანალოგიური ფორმულები.

### დაოვიაგული ლიტერატურა — ЦИТИРОВАННАЯ ЛИТЕРАТУРА

1. В. Е. Розенфельд, Ю. Е. Рыбин, И. А. Лакштовский. Электрическая тяга поездов. М., 1958.
2. В. Е. Розенфельд, Н. Н. Сидоров, С. Е. Кузин, И. И. Власов. Электрические железные дороги. М., 1957.
3. Л. Г. Абелишивили. Расчет весов электрических поездов по нагреванию тяговых двигателей. Труды ИЭ АН ГССР, VIII, Тбилиси, 1953.

4. Г. Д. Цискаришвили. Некоторые вопросы проектирования продольного профиля железных дорог с учетом нагревания двигателей при электровозной тяге. Труды Грузинского политехнического ин-та им. В. И. Ленина, № 3 (69), Тбилиси, 1960.
5. Л. Г. Абелишвили, Г. Д. Цискаришвили. Зависимость веса поезда от профильных условий железнодорожных линий. Труды Грузинского политехнического ин-та им. В. И. Ленина, № 3 (108), Тбилиси, 1966.

СТРОИТЕЛЬНАЯ МЕХАНИКА

О. И. КВИЦАРИДЗЕ, С. М. ГУЛИЕВ, Л. О. ГВЕЛЕСИАНИ,  
Б. М. ГРИГОЛАШВИЛИ

МНОГОКАНАЛЬНОЕ РЕГУЛИРОВАНИЕ ТЕМПЕРАТУРЫ И  
ВЛАЖНОСТИ СРЕДЫ ПРИ ИССЛЕДОВАНИИ РЕОЛОГИЧЕСКИХ  
СВОЙСТВ СТРОИТЕЛЬНЫХ МАТЕРИАЛОВ И КОНСТРУКЦИИ

(Представлено академиком К. С. Завриевым 10. 12. 1965)

Характер развития процессов ползучести и степень деформативности строительных конструкций при длительно действующих статических или многократно повторных нагрузках в значительной мере зависят от температурно-влажностного режима окружающей среды. В изгибающихся железобетонных элементах, которые работают в условиях повышенных температур воздуха или в сухой среде, в процессе эксплуатации имеет место более интенсивное нарастание прогибов. Величины пластических деформаций ползучести в зависимости от температурно-влажностных условий среды резко отличаются в конструкциях и деталях, составленных из пластмасс. В той или иной степени это относится ко всем другим строительным материалам и изделиям из них.

Поэтому знание закономерности изменения реологических свойств строительных материалов в зависимости от условий температурно-влажностного режима окружающей среды имеет особое значение при проектировании и эксплуатации несущих элементов зданий и сооружений. Правильная оценка порядка ожидаемых деформаций и критерий длительной прочности дают возможность повысить надежность конструкций, а также обеспечить эффективное технико-экономическое решение вопроса. Однако в настоящее время мы не располагаем достаточной информацией в этом направлении. Реологические свойства строительных материалов и конструкций при различных условиях среды почти не освещаются в специальной литературе.

Недостаточная изученность этого вопроса прежде всего объясняется тем, что постановка специальных экспериментальных исследований встречает большие затруднения. Особенно сложно обеспечить стабильность заданного режима среды в продолжение длительного времени, от нескольких месяцев до 3—5 лет. При этом количество необходимых вариантов температурно-влажностных режимов для полного

изучения данного вопроса должно быть не менее 9—10. Таким образом, исключительная техническая сложность осуществления этих экспериментов усугубляется также длительностью времени исследований. Поэтому для практической возможности проведения указанных работ необходимо иметь специальную измерительную и регулирующую аппаратуру с высокими показателями надежности ее работы в продолжение длительного времени.

В ИСМИСе АН ГССР в течение ряда лет проводятся исследования по определению степени влияния режима среды на деформативные свойства железобетона, а также изучаются вопросы длительной прочности конструктивных пластмасс. Для этой цели в лаборатории предварительно напряженных конструкций были разработаны и изготовлены аппаратура и приспособления, которые позволяют проводить исследования с достаточно высокой точностью.

Экспериментальное оборудование для исследования влияния температурно-влажностного фактора на реологические свойства строительных конструкций и материалов состоит из следующих узлов:

1. Установки для загрузки опытных образцов.
2. Колпаки-камеры для изоляции образцов от наружного воздуха.
3. Приборы для измерения деформаций в образцах.
4. Нагревательная система для камер и аппаратура для автоматического регулирования температуры.
5. Приспособления с регулирующим устройством для подачи в камеры влажного воздуха.

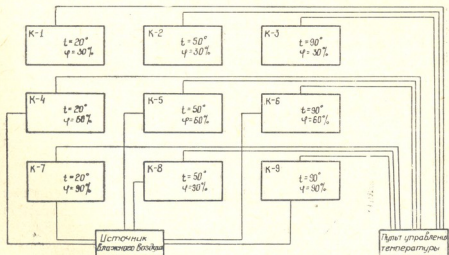


Рис. 1. Принятые температурно-влажностные режимы в камерах

Для каждого вида материала предусмотрено всего девять камер. Железобетонные элементы испытываются на изгиб, а пластмассы — на растяжение. В каждой камере поддерживается определенный режим.

Систему камер обслуживает один пульт управления для поддержания в них заданной температуры и один источник для питания камер влажным воздухом (рис. 1).

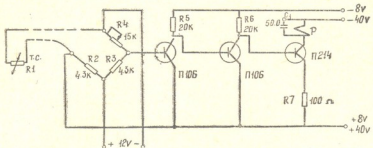


Рис. 2. Принципиальная схема регулировочного моста с усилителем постоянного тока

В данной статье дается описание лишь устройств по регулированию температуры и влажности воздуха в камерах. Конструкции камер и загрузочных приспособлений, а также измерительной аппаратуры мы здесь не касаемся, так как в принципе они мало отличаются от общепринятых решений и в зависимости от размеров образцов и вида испытания могут быть решены по-разному.

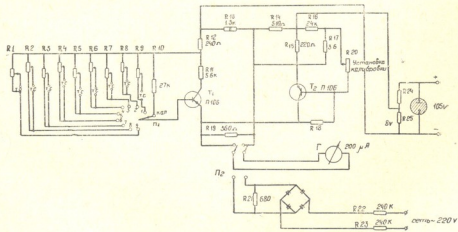


Рис. 3. Принципиальная схема измерителя температуры

В основу прибора для регулирования и стабильного поддержания температуры в девяти камерах положено свойство термосопротивлений изменять свою величину в зависимости от температуры.

Прибор состоит из входного моста, усилителя постоянного тока, измерителя температуры и блока питания.

Входной мост (рис. 2) состоит из термосопротивления  $R_1$ , из постоянных сопротивлений  $R_2$  и  $R_3$  и из переменного сопротивления  $R_4$ . Ток разбаланса моста подается на трехкаскадный усилитель постоянного тока, на выходе которого включено реле  $P$ , блокирование — конденсатором большой емкости для замедления срабатывания и отпускания реле.

В цепи эмиттера выходного каскада включено сопротивление  $R_7$ , которое уменьшает начальный ток выходного каскада и облегчает подбор транзисторов.

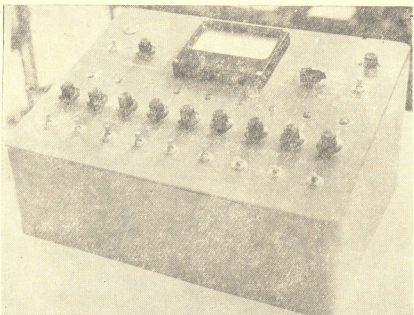


Рис. 4. Пульт прибора для регулирования температуры

Прибор состоит из девяти однотипных усилителей и мостов, а также самостоятельных источников питания входных мостов. Прибор позволяет поддерживать постоянную температуру внутри камер в пределах от 20 до 100°C.

Измеритель температуры (рис. 3) служит для дистанционного измерения температуры в камерах с пределом измерений от 10 до 100°C. Датчиком температуры служит термосопротивление включенной в цепи базы трэнзистора.

Изменение температуры вызывает изменение сопротивления датчика, что, в свою очередь, вызывает изменение коллекторного тока транзистора  $T_1$ .

Каждое термосопротивление шунтируется полупеременным сопротивлением для выравнивания чувствительности термосопротивлений. Это необходимо для того, чтобы все термосопротивления имели одну общую шкалу измерений.

Назначение транзистора  $T_2$  двойкое: во-первых, с помощью изменения величины сопротивления  $R_{20}$  в цепи базы  $T_2$  меняется коллекторный ток  $T_2$ , протекающий через измерительный прибор, причем направление его противоположно направлению тока транзистора  $T_1$  и тем самым достигается комплексация неуправляемого тока  $T_1$ ; во-вторых, благодаря такому включению триодов  $T_1$  и  $T_2$  при определенном их подборе достигается почти полная температурная компенсация триода  $T_1$  в широком интервале температур.

С помощью переключателя  $\Pi_2$  измерительный прибор Г подключается через выпрямительный мост и добавочные сопротивления к сети, что дает возможность контролировать напряжение сети, питающей прибор.

Прибор (рис. 4) питается от сети переменного тока напряжением 220 вольт. После включения прибора соответствующими тумблерами включается подогрев нужных камер и температура доводится до заданной. Затем поворотом ручки «Регулировка температуры» данной камеры выключается подогрев.

С этого времени в камере поддерживается температура, при которой произвели включение камеры. Так устанавливаются нужные температуры во всех камерах. В течение первого часа работы необходимо

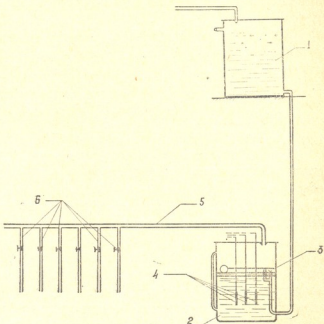


Рис. 5. Принципиальная схема установки для регулирования влажности воздуха



несколько раз корректируют температуру в камерах, так как прогрев камеры происходит вначале неравномерно. В дальнейшем же камера равномерно прогревается и температура поддерживается в пределах 1°. Для контроля за температурой в камерах на пульте управления расположены измерительные температур, который перед измерением комбинируется специальной ручкой «Установка калибровки», затем переключением переключателя  $P_1$  измеряется температура в нужной камере.

Работа установки по регулированию влажности воздуха (рис. 5) основана на принципе подачи пара в камеры в количестве, необходимом для поддержания заданного режима. Из емкостного резервуара 1 под статическим давлением подается водопроводная вода в бак-парообразователь 2. Постоянный уровень воды в баке поддерживается с помощью поплавка, закрывающего и открывающего входной клапан 3. Вода в баке нагревается медным электрическим кипятильником 4.

Пар по трубопроводу 5 через распределители 6 подводится к камерам. На каждом распределителе устроен регулирующий вентиль 7, открытие и закрытие которого осуществляется вручную или с помощью релейной установки. В последнем случае датчиками для сигнала служат установленные в камерах психрометры, состоящие из контактных термометров.

Длительное время беспрерывной эксплуатации описанных приборов и устройств — показатель их высокой надежности в работе. Это дает возможность рекомендовать разработанную в ИСМиСе схему электронной многоканальной регулирующей аппаратуры для исследований реологических процессов в строительных материалах и конструкциях при любых заданных режимах температуры и влажности окружающей среды.

Академия наук Грузинской ССР  
Институт строительной механики и  
сейсмостойкости

Тбилиси

(Поступило в редакцию 12.3.1966)

სამუშაოებლო ავტორი

თ. კვიცარიძე, ხ. გულიელმი, ლ. გველესიანი, ბ. გრიგორიაშვილი  
გარეამოს ტექნიკურისა და ტენიანობის მრავალარხოვანი  
რეგულირება სამუშაოებლო გასაღებისა და კონსტრუქციების  
რეოლოგიური თვისებების გამოკვლევის დროს

რეზიუმე

სამუშაოებლო კონსტრუქციები ხანგრძლივი ექსპლუატაციის დროს იმუო-  
ფებიან გარემოს სხვადასხვა პირობებში. მათზე გავლენის ახდენებ ატმოსფე-  
რული ფერტორები, ტემპერატურა, ტენიანობა და სხვა. სამუშაოებლო კონსტ-  
რული ფერტორები, ტემპერატურა, ტენიანობა და სხვა. სამუშაოებლო კონსტ-

режима подачи газа. При этом вентилятором создается необходимое давление для подачи газа в систему. Воздух, проходящий через систему, может быть охлажден или нагреван в зависимости от требований эксперимента. Для этого используются различные типы теплообменников, такие как конвекторы, радиаторы и т. д. Важно отметить, что система должна обеспечивать стабильные параметры температуры и влажности, чтобы избежать нежелательных физиологических реакций у исследуемых организмов.

Система управления температурой и влажностью может включать в себя различные датчики, которые мониторят температуру и влажность в различных точках системы. Данные с этих датчиков передаются в центральный компьютер, который управляет работой всех компонентов системы. Компьютер также может использовать различные алгоритмы для управления работой системы, чтобы обеспечить оптимальные условия для исследования.

Важной частью системы является система вентиляции и кондиционирования воздуха. Вентиляторы и фильтры обеспечивают чистый и свежий воздух, а кондиционеры позволяют поддерживать заданные температурные и влажностные условия. Система должна быть надежной и способной выдерживать различные нагрузки и изменения условий эксперимента.



## СТРОИТЕЛЬНАЯ МЕХАНИКА

Д. В. ЗАМБАХИДЗЕ

### ОБ УПРУГИХ КОНСТАНТАХ ОРИЕНТИРОВАННЫХ СТЕКЛОПЛАСТИКОВ ПРИ ПОВЫШЕННЫХ ТЕМПЕРАТУРАХ

(Представлено академиком К. С. Завриевым 31.3.1966)

Стеклопластики представляют собой композиционный материал, и поэтому их поведение существенно зависит от свойств составляющих компонентов. Стекло при умеренных температурах ведет себя как идеально упругий материал. Несмотря на это, в стеклопластике в целом появляются неупругие деформации, присутствие которых полностью предопределяется свойствами полимера связующего и закономерностями их совместной деформации.

На основании рассмотрения деформации стеклопластика как композиционного материала в работе [1] были получены уравнения связи для ортотропного армированного полимера на основе обобщенного уравнения Максвелла, выражающие скорость деформации в зависимости от напряженного и деформированного состояния стеклопластика.

В случае квазистатического одноосного изотермического растяжения вдоль оси  $x$  в предположении отсутствия остаточной деформации (величина которой для ориентированных стеклопластиков ничтожно мала) это уравнение при определенных условиях записывается в следующем виде:

$$\frac{d\epsilon_x}{dt} = \frac{1}{\epsilon_{x,x}} \frac{d\sigma_x}{dt} + \frac{\sigma_x - E_{\infty,x}\epsilon_x^*}{\eta_{0,x}} \exp \left\{ \frac{1}{m_x^*} \left[ \frac{1}{3} \gamma^* \sigma_x + |\sigma_x - E_{\infty,x} \epsilon_x| \right] \right\}, \quad (1)$$

где  $\epsilon_x = e + \epsilon_x^*$  представляет собой суммарную деформацию и состоит из упругой  $e = \frac{\sigma_x}{E_{x,x}}$  и высокоэластической  $\epsilon_x^*$ -частей общей деформации;  $\sigma_x$ —напряжение;  $t$ —время;  $E_{x,x}$ —модуль упругости;  $E_{\infty,x}$ —модуль высокоэластичности;  $m_x^*$ —логарифмический модуль скорости;  $\eta_{0,x}^*$ —так называемый коэффициент начальной вязкости;  $\gamma^*$ —объемный коэффициент; коэффициентом  $\gamma^*$  для стеклопластиков в большинстве случаев можно пренебречь. Параметры этого уравнения  $E_{x,x}$ ;  $E_{\infty,x}$ ;  $m_x^*$ ;  $\eta_{0,x}^*$ ;  $\gamma^*$  зависят от механических характеристик стекла и связующего, а также от расположения осей упругой симметрии относительно действующей силы. Описанные далее эксперименты проводились в основном при постоянной скорости деформации  $V_{\epsilon,x} = \frac{d\epsilon_x}{dt} = \text{const}$ . В этом случае диф-

ференциальное уравнение диаграмм растяжения при одноосном растяжении получается как частный случай из уравнения связи (1) и имеет вид

$$\frac{d\sigma_x}{d\varepsilon_x} = E_{x,x} \left\{ 1 - \frac{f_x^*}{\eta_{0,x} v_{\varepsilon,x}} \exp \left[ \frac{1}{m_x^*} \left( \frac{1}{3} \gamma^* \sigma_x + |f^*| \right) \right] \right\}, \quad (2)$$

где

$$f_x^* = (1 + E_{\infty,x}/E_{x,x}) \sigma_x - E_{\infty,x} \varepsilon_x,$$

$$\sigma_x = \frac{1}{1 + E_{\infty,x}/E_{x,x}} (f_x^* + E_{\infty,x} \varepsilon_x).$$

Из уравнения (2) отчетливо видно, что обе составляющие общей деформации, упругая и высокоэластическая, развиваются одновременно.

Но когда  $v_{\varepsilon,x} \rightarrow \infty$ ,  $\frac{d\sigma_x}{d\varepsilon_x} \rightarrow E_{x,x}$ , т. е. к модулю упругости. Таким об-

разом, точное выделение упругой составляющей деформации требует определенной скорости деформирования для каждой температуры испытания в отдельности. В работах [3, 4] даются минимальные скорости деформации для определения упругих постоянных, они лежат в пределах 0,01—0,05% /мин. Для нашего случая при скорости 0,08—0,10% /мин точки циклической диаграммы  $\sigma = \sigma(\varepsilon_x)$  при нагрузке и разгрузке лежат на одной прямой, т. е. полностью исключается влияние высокоэластической деформации при всех углах расположения оси упругой симметрии и при всех употребляемых температурах (рис. 1).

В данной статье рассматривается влияние температуры и частично анизотропии на упругие константы стеклопластика, а также дается сравнение констант, найденных по данным эксперимента, с константами, определяемыми с помощью теоретических формул, дающих возможность вычисления констант материала по известным свойствам исходных компонентов: стеклянных волокон и связующего.

Материалом для эксперимента служил равнопрочный СВАМ, изготовленный на Ленинградском заводе слоистых пластиков на эпоксидно-фенольном связующем, содержание которого по весу составляет 21—22%. Из пластины толщиной 3 мм вырезались образцы для растяжения под разным углом относительно осей упругой симметрии стеклопластика. Образцы имели прямоугольную призматическую форму с шириной 15 или 30 мм, толщиной 3 мм и длиной 235 мм.

Для определения экспериментальных значений упругих констант была проведена серия испытаний стеклопластика СВАМ при разных температурах. Для большей уверенности в полученных результатах модуль упругости определяли тремя разными способами. Измерения продольных и поперечных деформаций в основном про-

изводились с помощью датчиков сопротивления. Кроме того, для определения модуля упругости по наклону линейной части диаграммы растяжения применялся механический прибор [2].

Как уже отмечалось выше, чем больше скорость деформирования, тем точнее определяются упругие константы материала. С помощью методов, использующих колебательные процессы, при малых напряжениях достигаются большие скорости деформации. К этим методам относится акустический [7], резонансный [8] и частотный [4]. В настоящей работе для определения упругих констант применялся частотный метод, основанный на измерении частот свободных колебаний образца.

Датчики сопротивления наклеивались на образцы после последовательной зачистки, промывки и естественной сушки образца с помощью клея БФ-2, после чего производилась полимеризация образцов. В качестве температурного компенсатора применялся идентичный образец с наклеенными датчиками. Компенсационный образец во время испытаний помещался вблизи испытуемого образца в тех же температурных условиях. Подробное описание методики испытаний стеклопластиков с датчиками сопротивления при повышенных температурах дано в работе [4].

Для определения модуля упругости частотным методом употреблялись аналогичные образцы с наклеенными датчиками. При этом способе определения модуля упругости экспериментально устанавливается частота собственных колебаний образца, а по известной частоте вычисляется модуль упругости. В нашем случае мы использовали изгибные колебания.

В случае колебания консоли частота основного тона [4, 5]

$$\tilde{f} = \frac{1}{2H} \sqrt{\frac{g}{Y_0}}, \quad (3)$$

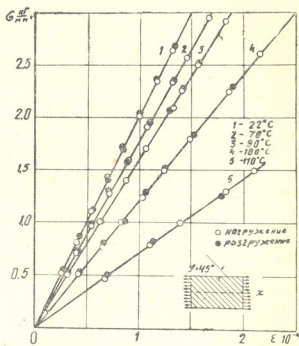


Рис. 1. Циклическая диаграмма нагрузки-разгрузки

где  $g = 981 \text{ см}/\text{см}^2$  и для однородной изотропной консоли постоянного сечения

$$Y_0 = \frac{33}{140} \frac{G l^3}{3 E J}.$$

Внося значение  $Y_0$  и  $J$ -момента инерции в уравнение (3), получаем

$$E = 38 \frac{G}{b} \left( \frac{l}{100 \delta} \right)^3 f^2, \quad (4)$$

где  $G$ —все консоли, г;  $l$ —длина, см;  $b$ —ширина;  $\delta$ —толщина консоли, см;  $f$ —частота собственных колебаний, определенная экспериментально.

Несмотря на то что все вышеуказанные формулы написаны для однородного изотропного тела, пригодность данного способа определения модуля упругости для анизотропного материала доказана в работе [3, 4]. Кроме того, полученные результаты экспериментов с помощью разных методов определения модуля упругости удовлетворительно совпадают друг с другом, что будет показано ниже.

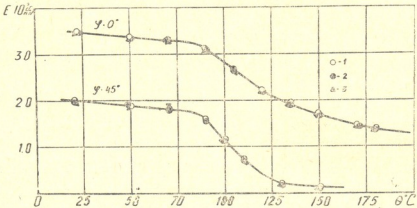


Рис. 2. Зависимость модуля упругости от температуры

На рис. 2 дана зависимость модуля упругости в функции от температуры для образцов, вырезанных под углом  $\varphi = 0$  и  $45^\circ$ . Как видно из графика, до определенной температуры наблюдается близкая к линейной зависимость модуля упругости от температуры, после достижения  $\sim 85^\circ\text{C}$  обнаруживается резкое падение модуля (Юнга). Указанная температура соответствует температуре стеклования полимера связующего, что лишний раз доказывает определяющее значение полимера связующего в развитии нелинейных деформаций в стеклопластике. На последнем участке зависимости  $E$  от температуры выравнивается и почти не зависит от температуры, наступает равновесное состояние полимера. График строился с помощью экспериментально полученных значений, определенных тремя различными способами. Как видно из графика, точки удовлетворительно совпадают.

На рис. 3 дан график влияния температуры на коэффициент Пуассона для образцов  $\varphi = 0, 45^\circ$ . Как видно из графика, для образцов  $\varphi = 0^\circ$  коэффициент Пуассона в начальный момент слабо зависит от температуры. В районе температуры стеклования полимера-связующего наблю-

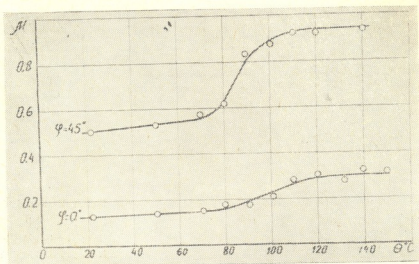


Рис. 3. Зависимость коэффициента Пуассона от температуры

дается более интенсивная зависимость коэффициента от температуры. Для образцов с  $\varphi = 45^\circ$  зависимость выражается более отчетливо.

СВАМ является материалом слоистым и анизотропным—его свойства зависят от направления деформирующей силы. Несмотря на некоторую хаотичность расположения стекловолокна в поперечном сечении пластика, стеклопластики типа СВАМ можно считать ортотропными пластинками, для которых при определенных условиях соблюдается гипотеза прямых нормалей по всей толщине поперечного сечения образца [1]. Поэтому упругие константы и их зависимость от температуры в произвольном направлении можно вычислить по известным формулам теории упругости анизотропного тела [5, 6], располагая четырьмя упругими постоянными: модулем упругости (Ионга) в трех направлениях  $\varphi=0^\circ, 90^\circ$  и  $45^\circ$  и коэффициентом Пуассона в каком-нибудь направлении. По этой причине в настоящей работе мы ограничились тремя направлениями осей упругой симметрии для определения упругих констант материала  $\varphi = 0^\circ, 90^\circ$  и  $45^\circ$ . Для равнопрочного материала СВАМ направления  $\varphi = 0^\circ$  и  $90^\circ$  эквивалентны.

При условии соблюдения гипотезы прямых нормалей приближенные формулы для определения констант материала по свойствам его составляющих имеют следующий вид [1, 3]:



$$\begin{aligned} E_{x,x} &= E_0 = E_a F_a (n_a + \lambda_0 n_c) (1 + z) \cong E_a F_a (n_a + \lambda_0 n_c), \\ \lambda &= \frac{E_{y,y}}{E_{x,x}} = \frac{E_{90}}{E_0} = \frac{n_c + \lambda_0 n_a}{n_a + \lambda_0 n_c}, \quad \left( \frac{E_{90}}{E_0} = \frac{\mu_{90}}{\mu_0} \right), \\ \mu_{x,y} &= \mu_{90} = \frac{\lambda_0}{n_a + \lambda_0 n_c} (\mu_a F_a + \mu_c F_c), \end{aligned} \quad (5)$$

$$G_{x,y} = G_0 = G_a \sqrt{\frac{G_c F_a}{G_a F_c}} \sqrt{\frac{1 + \chi_0}{1 + \chi_{90}}} \cong G_a \sqrt{\frac{G_c F_a}{G_a F_c}},$$

где

$$\chi_0 = \frac{E_c F_c}{E_a F_a}, \quad \chi_{90} = \frac{E_c F_a}{F_a F_c}; \quad \overline{\chi}_0 = \frac{G_c F_c}{G_a F_a}, \quad \chi_{90} = \frac{G_c F_a}{G_a F_c}.$$

Для направлений  $\varphi = 45^\circ$

$$\begin{aligned} E_{45} &= 4G_0 \frac{1}{1 + (G_0/E_{90})(1 + \lambda - 2\mu_{90})}, \\ \mu_{45} &= 1 - \frac{1}{2} \frac{E_{45}}{E_{90}} (1 + \lambda - 2\mu_{90}). \end{aligned} \quad (6)$$

Выше обозначено:  $E_{x,x} = E_0$ —модуль упругости по направлению оси  $X$ ;  $E_{y,y} = E_{90}$ —в перпендикулярном направлении;  $\mu_{y,x} = \mu_0$ —коэффициент Пуассона при растяжении по оси  $X$ ;  $\mu_{x,y} = \mu_{90}$ —в перпендикулярном направлении (во всех обозначениях индекс „а“ относится к стекловолокну, индекс „с“—к смоле);  $G_{x,y} = G_0$ —модуль сдвига при растяжении по оси  $X$ ;  $F_a$ ,  $F_c$ —относительное объемное содержание стеклянных волокон и связующего, они вычисляются по формуле

$$\begin{aligned} F_a &= x_a \frac{\gamma}{\gamma_a} = \frac{x_a (1 - F_b)}{x_a + x_c (\gamma_a/\gamma_c)}, \\ F_c &= x_c \frac{\gamma}{\gamma_c} = \frac{x_c (1 - F_b)}{x_c + x_a (\gamma_c/\gamma_a)}, \\ (1 - F_b)/\gamma &= (x_a/\gamma_a) + (x_c/\gamma_c); \end{aligned} \quad (7)$$

$x_a$ ,  $x_c$ —относительные весовые содержания стеклянных волокон и связующего в стеклопластике;  $E_a$ ,  $\mu_a$ ,  $G_a$ —модуль упругости, коэффициент Пуассона и модуль сдвига стеклянных волокон, а  $E_c$ ,  $\mu_c$ ,  $G_c$ —аналогичные величины для связующего;  $\gamma_a$ ,  $\gamma_c$ ,  $\gamma$ —удельные веса стеклянных волокон, связующего и стеклопластика;  $F_b$ —объемное содержание воздушных включений (пористость), в большинстве случаев ими можно пренебречь, тогда  $F_a + F_c = 1$ .

Если рассматривать СВАМ как ортотропную пластинку при условии, что  $E_{45}$ ,  $E_0$ ,  $E_{90}$ ,  $\mu_{90}$  являются независимыми постоянными, формулы для вычисления модуля упругости и коэффициента Пуассона для произвольного угла между осями упругой симметрии и направлением растяжения  $\varphi$  будут иметь следующий вид [5, 6]:

$$E_\varphi = \frac{\lambda E_0}{\lambda \cos^4 \varphi + 2B \cos^2 \varphi \sin^2 \varphi + \sin^4 \varphi},$$

$$\mu_{\varphi} = \frac{\mu_{90} - (1 + \lambda - 2B) \sin^2 2\varphi / 4}{\lambda \cos^4 \varphi + 2B \cos^2 \varphi \sin^2 \varphi + \sin^4 \varphi}, \quad (8)$$

где

$$\lambda = E_{90}/E_0, \quad 2B = 4(E_{90}/E_{45}) - (1 + \lambda) = (E_{90}/G_0) - 2\mu_{90}.$$

Таким образом, четыре независимые константы анизотропного тела выражаются с помощью констант двух изотропных составляющих.

По вышеуказанным теоретическим формулам были вычислены упругие константы материала. Результаты вычислений помещены в таблице. Нетрудно видеть, что теоретические и экспериментальные значения констант для модуля упругости удовлетворительно совпадают: расхождение не превышает 5%. Теоретические значения коэффициента Пуассона более заметно отличаются от экспериментальных. Такое различие, возможно, является следствием отклонения от гипотезы прямых нормалей, в особенности вблизи свободных границ образца. Это явление подлежит самостоятельному исследованию.

$\theta^{\circ}\text{C}$	$\varphi$	$E - 10^{-3} \text{ кг}/\text{см}^2 \mu$			
		эксперим.	теорет.	эксперим.	теорет.
22	0	350	340	0,13	0,11
	45	200	200	0,5	0,50
50	0	338	332	0,14	0,12
	45	190	188	0,53	0,52
70	0	328	319	0,145	0,126
	45	180	178	0,56	0,53
80	0	325	311	0,16	0,13
	45	177	172	0,63	0,55
90	0	308	294	0,19	—
	45	160	155	0,83	0,68

Теоретические значения констант материала вычислялись только до температуры  $90^{\circ}\text{C}$ , так как отсутствовали экспериментальные данные о константах смолы выше указанного температурного предела. При вычислении данных, приведенных в таблице, постоянные стекловолокон принимались независимыми от температуры, а для полимера использовались данные В. Ф. Бабича и А. Я. Гольдмана [9].

#### Выводы

- При определении упругих констант необходимо соблюдать указанную выше скорость деформации, обеспечивающую точное разделение упругой деформации от высокоэластической, независимо от температуры.

- Получены экспериментальные зависимости модуля упругости и коэффициента Пуассона от температуры для  $\varphi = 0$  и  $45^{\circ}$ .

- Четыре независимые константы стеклопластика и при повышенных температурах удовлетворительно определяются теоретическими



формулами, полученными в предположении монолитности материала и справедливости гипотезы прямых нормалей с помощью известных упругих констант стекла и связующего.

4. Удовлетворительное совпадение вычисленного и экспериментального значения упругих констант дает дополнительное свидетельство возможности рассмотрения СВАМа как ортотропного тела и при повышенной температуре.

5. Полученные результаты могут быть использованы при создании новых материалов и расчете конструктивных элементов.

Институт химической физики АН СССР

(Поступило в редакцию 15.4.1966)

სააგრენიგლო მიწანიჩა

CP09010000000000000000000000000000

ନାରୀର ଅନ୍ତିମ ପଦ୍ଧତି କିମ୍ବା କିମ୍ବା କିମ୍ବା କିମ୍ବା କିମ୍ବା କିମ୍ବା

၄၁၈

დრეკალობის კონსტანტების განსაზღვრის დროს აუცილებელია დავიცვათ ზემოთ აღნიშნული დეფორმაციის სიჩქარე, რომელიც უზრუნველყოფს დრეკალი დეფორმაციის ზუსტ გამოყოფას მაღალელასტიურიღან მაღალი ტემპერატურის პირობებში.

დრეკალობის მოტულია და პუასონის კოეფიციენტის ექსპერიმენტული დამოუკიდებლობა ტემპერატურისაგან მიღებულია  $\phi = 0$  და  $45^\circ$ -სათვის.

მინაპლოსტის ოთხი დამოუკიდებელი კონსტანტა, მაღალი ტემპერატურის პირობებში, დაძვრებული განისაზღვრება თეორიული ფორმულებით, რომლებიც მიღებულია მსალის მონოლითურობისა და პირდაპირი ნორმალების შემთხვევაში, მინისა და შემაკავშირებლის ცონილი შეკვეთისას კონსტანტების დაწერარებით.

დრეალობს კონსტანტების გამოთვლით და ექსპრიმენტული მიზენელობების დამტკიცებულებით დამტკიცებულების დამტკიცებული შესაძლებლობას იძლევა განვითაროთ „CBAM“, ორგანიზორთობული სხეული, მაღალი ტემპ-ის პირობებშიც.

ეკონომიკური ლიტერატურა — ЦИТИРОВАННАЯ ЛИТЕРАТУРА

1. А. Л. Рабинович. Некоторые основные вопросы механики армированных полимеров. Автореферат, М., 1962.
  2. Д. В. Замбахидзе. Установка для испытания стеклопластиков на ползучесть при повышенных температурах. Стандартизация, № 12, 1964.
  3. А. Л. Рабинович, И. А. Верховский. Об упругих постоянных ориентированных стеклопластиков. Инженерный журнал, т. IV, вып. 1, 1964.
  4. А. Л. Рабинович, М. Г. Штарков, Е. И. Дмитрова. Методы определения величины упругих постоянных стеклопластика при повышенной температуре. Труды МФТИ, вып. 9, Оборонгиз, 1962.
  5. А. Л. Рабинович. Об упругих постоянных и прочности анизотропных материалов. Труды ЦАГИ, № 582, 1946.
  6. С. Г. Лехницкий. Теория упругости анизотропного тела. ГТТЛ, М.—Л., 1950.
  7. А. Тобольский. Свойства и структура полимеров. Изд. "Химия", 1964.
  8. М. В. Гершберг. Исследование физико-механических свойств древесины вибрационным методом. Труды ЦНИИТСа, вып. XXXVI, Судпромгиз, 1962.
  9. А. Я. Гольдман. Определение некоторых механических характеристик жестких сетчатых полимеров-связующих. Технология судостроения, № 4, 1965.



## МЕТАЛЛУРГИЯ

Ф. Н. ТАВАДЗЕ (академик ГССР), Ю. М. КАРТВЕЛИШВИЛИ,  
Т. Д. АБУЛАДЗЕ, Т. А. ПЕРАДЗЕ

### ТЕОРЕТИЧЕСКИЕ ОСНОВЫ МЕТАЛЛОТЕРМИЧЕСКОГО ВОССТАНОВЛЕНИЯ ХЛОРИДА ХРОМА

Высокая эффективность металлотермических реакций обуславливает все более широкое применение этого способа. К числу очевидных преимуществ металлотермии относятся: простота и малые габариты аппаратуры, высокая скорость процесса, практическое отсутствие вторичных реакций между восстановленным металлом и шлаком, возможность получения металлов, даже весьма тугоплавких и др.

В течение последнего столетия собрано значительное количество надежных величин термодинамических констант для металлов и их хлоридов. Эти данные позволяют рассчитывать уравнения свободной энергии для многих металлургических реакций, анализ величин и степень развития рассматриваемой реакции, а также влияние температуры и давления на результаты. Чем больше разность между значениями свободной энергии исходного и образующегося хлоридов, тем лучше и полнее протекает реакция. Отсюда следует, что более активным восстановителем будет такой металл, при хлорировании которого значение  $-\Delta F$  будет большим; в противном случае реакции восстановления будут протекать неполностью и получаемый сплав будет иметь повышенную концентрацию металла-восстановителя.

В табл. 1 приведены свободные энергии образования ( $\Delta F$ ) хлоридов из элементов в зависимости от температуры.

Металлический хром может быть вытеснен из своего хлорида в том случае, если свободная энергия образования хлорида восстанавливавшего металла будет больше, чем для  $\text{CrCl}_3$ . С увеличением температуры отрицательная величина свободной энергии образования хлоридов уменьшается. При этом значение  $-\Delta F$  для хлорида хрома во всем интервале температур меньше, чем для  $\text{NaCl}$ ,  $\text{CaCl}_2$ ,  $\text{MgCl}_2$ ,  $\text{ZnCl}_2$ . Отсюда следует, что металлотермическое восстановление  $\text{CrCl}_3$  возможно на  $\text{Na}$ ,  $\text{Ca}$ ,  $\text{Mg}$  и  $\text{Zn}$  и невозможно такими металлами, как  $\text{Fe}$ ,  $\text{Ni}$ . Наоборот, последние металлы, сопровождающие  $\text{CrCl}_3$  как примеси, будут восстанавливаться в первую очередь. Поэтому при получении чистого ме-

Ф. Н. Ташкад, Ю. М. Каримлиеван, Т. Д. Абдуллаев, Т. А. Нурлан

Таблица 1

$-\Delta F$  ккал/г-экв

Реакция	473°К	573°К	586°К	673°К	773°К	873°К	922°К	973°К	987°К	1055°К	1073°К	1173°К	1273°К
Zn + Cl <sub>2</sub> → ZnCl <sub>2</sub>	40886	39230	39000	37772	36404	35404	35036	33669	—	—	—	—	—
Ni + Cl <sub>2</sub> → NiCl <sub>2</sub>	24957	21315	—	19474	17035	13478	—	11075	—	—	8735	5738	—
2Fe + 3Cl <sub>2</sub> → 2FeCl <sub>3</sub>	21722	22072	—	22422	22772	23122	—	23472	—	—	—	23882	—
Mg + Cl <sub>2</sub> → MgCl <sub>2</sub>	67345	65493	—	63670	61895	60139	59291	—	58128	—	50960	55000	54441
2Na + Cl <sub>2</sub> → 2NaCl	87857	85497	—	83137	80777	78417	—	76057	—	—	73997	—	—
2Cr + 3Cl <sub>2</sub> → 2CrCl <sub>3</sub>	35415	33493	—	31783	29994	28223	—	—	—	—	—	—	—
Ca + Cl <sub>2</sub> → CaCl <sub>2</sub>	86859	85159	—	83450	81750	80050	—	78359	—	76905	—	—	—

Таблица 2

$-\Delta F$  ккал/моль

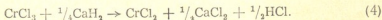
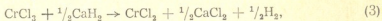
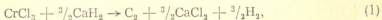
№ п/п	Реакция	673°К	773°К	873°К	973°К	1055°К	1073°К
1	CrCl <sub>3</sub> + <sup>1/2</sup> CaH <sub>2</sub> →Cr+ <sup>3/2</sup> CaCl <sub>2</sub> + <sup>3/2</sup> H <sub>2</sub>	116863,53	121680,52	126472,91	130695,25	131052,55	122526,18
2	CrCl <sub>3</sub> + <sup>1/2</sup> CaH <sub>2</sub> →Cr+ <sup>1/2</sup> CaCl <sub>2</sub> + <sup>3/2</sup> HCl	31976,35	35182,48	38104,8	42988,75	44367,98	44572,99
3	CrCl <sub>3</sub> + <sup>1/2</sup> CaH <sub>2</sub> →CrCl <sub>2</sub> + <sup>1/2</sup> CaCl <sub>2</sub> + <sup>1/2</sup> H <sub>2</sub>	47701	49932,5	52170,8	54387	56193,59	51718,11
4	CrCl <sub>3</sub> + <sup>1/2</sup> CaH <sub>2</sub> →CrCl <sub>2</sub> + <sup>1/2</sup> CaCl <sub>2</sub> + <sup>1/2</sup> HCl	2371,57	26335,25	28740,3	31101,88	33035,5	33193,58

таллического хрома исходный хлорид хрома должен быть свободен от этих примесей.

С экономической точки зрения желательно, чтобы атомное отношение хлора к восстановителю в хлориде восстановителя было высоким. Для  $MgCl_2$  оно равно 2,92; для  $CaCl_2$ —1,7; для  $NaCl$ —1,5; для  $ZnCl_2$ —1,0.

Из рассмотренных нами металлов-восстановителей для восстановления хлорида хрома рациональнее использовать магний и натрий, так как они имеют более высокую чистоту и расход их на 1 кг хрома меньше. К тому же магний и натрий с хромом не образуют интерметаллических соединений. Эти ценные свойства магния и натрия позволяют выбрать их в качестве восстановителя хлорида хрома. Что касается Zn как восстановителя, то продуктом процесса восстановления является сплав цинка с хромом, из которого цинк хотя и можно удалить возгонкой в вакууме или растворением в азотной кислоте, однако содержание хрома в сплаве получается низким, что ставит под сомнение экономическую выгодность данного способа.

Для восстановления хлоридов до соответствующих металлов может быть применен также гидрид кальция, который является сильным реакционноспособным соединением. При восстановлении хлорида хрома гидридом кальция могут иметь место следующие реакции:



Свободные энергии образования этих реакций определяем из стандартных данных по формуле

$$\Delta F_r = \Delta H_r - T\Delta S = \Delta H_{298} + \int_{298}^T \Delta C_p dT - T \left( \Delta S_{298} + \int_{298}^T \frac{\Delta C_p}{dT} \right) \quad (1)$$

Для  $CaH_2$  отсутствует уравнение высокотемпературной теплоемкости, составленной на основе экспериментальных данных. В литературе известен ряд приближенных методов для расчета теплоемкостей твердых тел при высоких температурах [1—5]. В настоящей работе был применен ускоренный метод определения коэффициентов  $a$ ,  $b$ ,  $c$  эмпирического уравнения Майера и Келли— $C_p^{att} = a + bT - cT^{-2}$ [6] для зависимости атомной теплоемкости вещества при постоянном давлении  $C_p^{\text{at}}$  от абсолютной температуры [7]:

$$Cp^{\text{ат}} = \left( 5,96 - \frac{a_0 \cdot Cp_{298}^{\text{ат}} \cdot \Theta}{T_{\text{пл}}} \right) + \frac{b_0 \cdot Cp_{298}^{\text{ат}}}{T_{\text{пл}}} \cdot T - cT^{-2}, \quad (2)$$

где  $a_0$  и  $b_0$  являются постоянными для разных типов соединений:

$$a_0 = 0,3; \quad b_0 = 0,34,$$

а  $\Theta$  — дебаевская характеристическая температура, которая рассчитывается по величине стандартной атомной энтропии  $S_{298}^{\text{ат}}$  согласно формуле [8]

$$\Theta = 1130 \left[ \exp \left( \frac{S_{298}^{\text{ат}}}{3} \right) - 0,78 \right]^{-1/2}. \quad (3)$$

Для  $\text{CaH}_2$  известны  $S_{298} = 9,9$ ;  $S_{298}^{\text{ат}} = \frac{9,9}{3} = 3,3$ ;  $T_{\text{пл}} = 1089^\circ\text{K}$ .

Исходя из правила Коппа—Неймана,  $Cp_{298}$  для  $\text{CaH}_2$  равняется  $Cp_{298} = 6,2 + 2 \cdot 2,3 = 10,8$  кал/град·моль.

Отсюда,  $Cp_{298}^{\text{ат}} = \frac{10,8}{3} = 3,6$  кал/град·моль.

Следовательно,

$$\Theta = 1130 \left[ \exp \left( \frac{3,3}{3} \right) - 0,78 \right]^{-1/2} = 760^\circ\text{K}.$$

В формуле (2)

$$a = 5,96 - \frac{a_0 \cdot Cp_{298}^{\text{ат}} \cdot \Theta}{T_{\text{пл}}}, \quad b = \frac{b_0 \cdot Cp_{298}^{\text{ат}}}{T_{\text{пл}}},$$

а коэффициент С вычисляется по величине  $Cp_{298}$  [7]:

$$C = 0,9 (a + b \cdot 298 - Cp_{298}^{\text{ат}}) \cdot 10^5.$$

Итак,

$$a = 5,96 - \frac{0,3 \cdot 3,6 \cdot 760}{1089} = 5,21,$$

$$b = \frac{0,34 \cdot 3,6}{1089} = 1,12 \cdot 10^3,$$

$$c = 0,9 (5,21 + 1,12 \cdot 10^3 \cdot 298 - 3,6) \cdot 10^5 = 1,74 \cdot 10^5.$$

Подставляя полученные данные в формулу (2), получаем

$$Cp^{\text{ат}} = 5,21 + 1,12 \cdot 10^3 \cdot T - 1,74 \cdot 10^5 \cdot T^{-2}.$$

Таким образом,

$$Cp = 15,63 + 3,36 \cdot 10^{-3} T - 5,22 \cdot 10^5 \cdot T^{-2}$$

для  $T$  в пределах  $298 \div 1089^\circ\text{K}$ .

Исходя из стандартных данных и значений Ср для  $\text{CaH}_2$ , полученных нами, рассчитываем свободные энергии образования реакций (1)–(4) по формуле (1).

Результаты расчетов представлены в табл. 2.

Из рассмотрения полученных результатов видно, что в исследуемом интервале температур (298–1079°К) наиболее вероятна реакция взаимодействия хлорида хрома с гидридом кальция [1] с образованием металлического хрома и хлористого кальция.

Таким образом, проведенный нами термодинамический расчет позволяет сделать вывод, что при восстановлении хлорида хрома рациональнее использовать как металлические магний и натрий, так и гидрид кальция.

Грузинский институт metallurgии

(Поступило в редакцию 9.4.1966)

მითალური

ს. თავაძე (საქართველოს სსრ მეცნიერებათა ეკადემიის აკადემიკოსი),  
ი. ჯარივილიშვილი, თ. აბულაძე, თ. ფირაძი

ძროვის ქლორიდის აღდგენის თეორიული საჭუბვები

### რეზიუმე

შრომაში განხილულია ქრომის ქლორიდის აღდგენის შესაძლებლობა სხვადასხვა ლითონებით. გათვლილი თერმოდინამიური მონაცემების საფუძვლზე დადგენილია, რომ ქრომის ქლორიდის აღსაღებად რაციონალურია გამოყენებულ იქნება მაგნიუმი და ნატრიუმი, ვინაიდან მათ ახასიათებთ მაღალი სისუფთავე და 1 კგ ქრომშე მათი ხარჯი უფრო ნაკლებია, ვიდრე სხვა ლითონებისა. მაგნიუმი და ნატრიუმი ქრომთან არ წარმოქმნიან ინტერმეტალურ შენაღნობებს.

დადგენილია, აგრეთვე, ქრომის ქლორიდის აღდგენის შესაძლებლობა  $\text{CaH}_2$ -სთვის არ არსებობს მაღალტემპერატურული თბოტევაღობის განტოლება, შედგენილი ექსპერიმენტული მონაცემების საფუძველზე. შრომაში გამოყენებულია სწრაფი მეთოდი მაურისა და კელისა  $\text{Cr}^{\text{3+}} = \text{a} + \text{bT} + \text{cT}^{-2}$  ემპირიულ განტოლებაში ა, ბ, ც კოეფიციენტების გათვლისა მუდმივი წნევის დროს, რის საფუძველზე შედგენილია განტოლება თავისუფალი ენერგიისა, ქრომის ქლორიდის აღდგენის  $\text{CaH}_2$  რეაქციისათვის.



ФУНДАМЕНТАЛНАЯ  
— ЦИТИРОВАННАЯ ЛИТЕРАТУРА

1. А. Н. Крестовников, Л. П. Владимиров, Д. С. Гуляницкий, А. Я. Шифер. Справочник по расчетам равновесий металлургических реакций. М., 1959.
2. Н. А. Ландия. Расчет высокотемпературных теплоемкостей неорганических веществ по одному значению низкотемпературной теплоемкости. Журнал физической химии, т. 27, 1953, 624.
3. В. А. Киреев. Термодинамика однотипных химических реакций и однотипных соединений. Журнал физической химии, т. 35, 1961, 1393.
4. Л. И. Иванова. Зависимость между теплоемкостью твердых веществ и температурой первого фазового периода. Журнал физической химии, т. 35, 1961.
5. Н. А. Ландия. Расчет высокотемпературных теплоемкостей твердых неорганических веществ по стандартной энтропии. Изд. АН ГССР, Тбилиси, 1962.
6. G. Maier, K. Kelley. An equation for the representation of high-temperature heat-content data. J. Amer. chem. Soc., vol. 52, 3243, 1932.
7. Д. Ш. Цагарейшвили, Г. Г. Гвелесiani. Ускоренный метод расчета высокотемпературных теплоемкостей твердых неорганических соединений. Сообщения АН ГССР, XXXVII:3, 1965, 581.
8. Н. Н. Ландия, Д. Ш. Цагарейшвили. Упрощенные уравнения для расчета теплоемкости, энтропии и характеристической температуры твердых веществ. Труды Ин-та металургии АН ГССР, т. XII, 1961.

МЕТАЛЛУРГИЯ

Т. А. ЧУБИНИДЗЕ, М. А. КЕКЕЛИДЗЕ

ВЛИЯНИЕ ОКИСИ МАГНИЯ НА ВЯЗКОСТЬ И УДЕЛЬНУЮ  
ЭЛЕКТРОПРОВОДНОСТЬ РАСПЛАВОВ СИСТЕМЫ ЗАКИСЬ  
МАРГАНЦА-ОКИСЬ КАЛЬЦИЯ-КРЕМНЕЗЕМ ПРИ 10%  
ГЛИНОЗЕМА

(Представлено академиком Ф. Н. Тавадзе 28.4.1966)

В настоящее время как в нашей стране, так и за рубежом значительные усилия исследователей направлены на изучение физико-химических свойств шлаков. Повышенный интерес к изучению этих свойств вызван тем, что их знание позволяет правильнее подойти к решению практических вопросов при освоении новой и совершенствовании уже действующей технологии производства металлургических сплавов.

Для ферросплавного производства определяющими в этом отношении свойствами шлаков являются вязкость и удельная электропроводность. Изучение их дает, кроме того, возможность вскрыть ряд особенностей строения шлаков в расплавленном состоянии.

Исследование влияния магнезии на физические свойства шлаков посвящен ряд работ. Основательно изучено влияние магнезии на вязкость расплавов системы  $\text{CaO}-\text{SiO}_2-\text{Al}_2\text{O}_3$  [1—5]. В работе [6] изучены вязкость и электропроводность магнезиальных шлаков электроплавки медно-никелевой руды. Однако данные о влиянии окиси магния на физические свойства марганецодержащих шлаков весьма скучны [7—9]. Полностью отсутствуют данные о влиянии магнезии на физические свойства силикомарганцевых или близких к ним синтетических шлаков.

Исследование влияния магнезии на вязкость шлаков ферромарганца посвящена работа [7]. В работе [8] изучена вязкость синтетических магнезиальных доменных шлаков и сделан вывод о том, что увеличение содержания магнезии при одновременном уменьшении закиси марганца вызывает некоторое уменьшение вязкости. Влияние основности и добавок окиси магния на вязкость и электропроводность шлаков ферромарганца изучалось в работе [9]. Содержание закиси марганца в этих шлаках изменялось от 11,4 до 13,9 %. Установлено, что в интервале температур 1500—1400°C вязкость шлаков ферромарганца с добавкой магнезии в 1,5—2 раза меньше, чем известковых шлаков, и на изотермах вязкости магнезиальных шлаков при основности 1,6 обнаружен минимум, подтверждающий вероятность процесса диссоциации комплексных анионов.

Вышедшая ранее работа [10] была посвящена изучению вязкости и электропроводности системы закись марганца-окись кальция-кремнезем при 10% глинозема, отвечающей составам шлаков силикомарганца, полученных при применении в шихте извести или шлака среднеуглеродистого ферромарганца. В данной работе приводятся результаты исследования влияния окиси магния на вязкость и удельную электропроводность расплавов системы закись марганца-окись кальция-крем-

незем при 10% глиноzemа, представляющего интерес в случаях введения доломита в шихту силикомарганца.

Таблица 1

## Расчетный состав исследованных шлаков

№ шлаков	Химический состав, вес. %					$\frac{\text{CaO} + \text{MgO}}{\text{SiO}_2}$	№ шлаков	Химический состав, вес. %				
	MnO	CaO	SiO <sub>2</sub>	MgO	Al <sub>2</sub> O <sub>3</sub>			MnO	CaO	SiO <sub>2</sub>	MgO	Al <sub>2</sub> O <sub>3</sub>
1	20	15	50	5	10	0,4	21	20	10	50	10	10
2	20	20	45	5	10	0,55	22	20	15	45	10	10
3	20	25	40	5	10	0,75	23	20	20	40	10	10
4	20	27,5	37,5	5	10	0,86	24	20	22,5	37,5	10	10
5	20	30	35	5	10	1,0	25	20	25	35	10	10
6	15	20	50	5	10	0,5	26	15	15	50	10	10
7	15	25	45	5	10	0,66	27	15	20	45	10	10
8	15	30	40	5	10	0,87	28	15	25	40	10	10
9	15	32,5	37,5	5	10	1,0	29	15	27,5	37,5	10	10
10	15	35	35	5	10	1,14	30	15	30	35	10	10
11	10	25	50	5	10	0,6	31	10	20	50	10	10
12	10	30	45	5	10	0,77	32	10	25	45	10	10
13	10	35	40	5	10	1,0	33	10	30	40	10	10
14	10	37,5	37,5	5	10	1,13	34	10	32,5	37,5	10	10
15	10	40	35	5	10	1,28	35	10	35	35	10	10
16	5	30	50	5	10	0,7	36	5	25	50	10	10
17	5	35	45	5	10	0,88	37	5	30	45	10	10
18	5	40	40	5	10	1,13	38	5	35	40	10	10
19	5	42,5	37,5	5	10	1,27	39	5	37,5	37,5	10	10
20	5	45	35	5	10	1,43	40	5	40	35	10	10

Химический состав исследованных шлаков приведен в табл. 1. Результаты замеров вязкости и электропроводности, выполненных по ранее описанной методике [10], представлены в табл. 2 и 3.

Данные измерений нанесены на псевдотройную диаграмму MnO—CaO—SiO<sub>2</sub> при постоянном содержании окиси магния (5 и 10%) и глинозема (10%) для температур 1600 и 1500°C (рис. 1 и 2).

Точки равной вязкости (изокомы) соединены сплошными линиями, пунктиром показаны линии равной электропроводности (изоэлектропроводности). Цифры на линиях показывают значения вязкости, н·сек/m<sup>2</sup>, для данной изокомы или электропроводности, ом<sup>-1</sup>·м<sup>-1</sup>, для линий изоэлектропроводности.

Как видно из диаграмм (рис. 1 и 2), в исследуемых пределах по мере повышения содержания окиси кальция за счет кремнезема вязкость шлаков уменьшается, а электропроводность увеличивается. Уменьшение окиси марганца от 20 до 5% и соответственное увеличение окиси кальция ведет к незначительному понижению вязкости и сильному уменьшению электропроводности.

Из сравнения рис. 1 и 2 видно, что увеличение содержания окиси магния от 5 до 10% влечет за собой уменьшение вязкости и некоторое повышение электропроводности.

Аналогичные диаграммы для остальных температур нами не приводятся, поскольку зависимость вязкости и электропроводности от изменения соотношения концентрации компонентов и температуры более наглядно выражается в изотермах вязкости и электропроводности.

Показатели вязкости исследованных шлаков

№ шлаков	Вязкость, н·сек/м <sup>2</sup> , при температуре, °С										
	1700	1650	1600	1550	1500	1450	1400	1350	1300	1250	1200
1	0,13	0,14	0,17	0,21	0,28	0,36	0,47	0,67	1,13	1,78	2,65
2	0,10	0,11	0,13	0,17	0,23	0,30	0,41	0,64	1,07	1,84	2,86
3	0,09	0,09	0,11	0,14	0,19	0,25	0,33	0,52	0,95	1,98	2,93
4	0,07	0,08	0,11	0,13	0,17	0,27	0,36	0,48	0,87	1,60	2,75
5	0,07	0,08	0,99	0,12	0,15	0,24	0,43	0,66	1,07	2,52	—
6	0,12	0,13	0,16	0,19	0,27	0,40	0,53	0,70	1,07	2,18	2,87
7	0,10	0,11	0,13	0,17	0,23	0,34	0,47	0,64	1,25	2,24	3,39
8	0,09	0,09	0,11	0,14	0,17	0,32	0,43	0,78	1,47	2,41	4,05
9	0,09	0,09	0,10	0,13	0,16	0,32	0,48	0,94	1,72	3,10	—
10	0,07	0,08	0,10	0,13	0,15	0,30	0,53	1,02	1,91	5,00	—
11	0,11	0,13	0,15	0,19	0,27	0,46	0,55	1,00	1,58	2,55	4,20
12	0,09	0,10	0,12	0,15	0,21	0,32	0,52	0,88	1,67	2,78	4,60
13	0,08	0,09	0,10	0,13	0,17	0,27	0,50	0,76	1,12	3,70	—
14	0,07	0,08	0,09	0,12	0,16	0,33	0,52	0,73	1,47	—	—
15	0,07	0,08	0,09	0,11	0,14	0,36	0,65	1,96	4,80	—	—
16	0,11	0,11	0,14	0,18	0,26	0,42	0,72	1,19	1,83	2,86	5,19
17	0,09	0,11	0,13	0,16	0,22	0,39	0,63	1,12	2,17	3,33	6,50
18	0,08	0,09	0,10	0,12	0,17	0,30	0,62	1,21	3,00	5,60	—
19	0,07	0,08	0,09	0,11	0,14	0,27	0,58	1,51	5,00	—	—
20	0,06	0,07	0,09	0,11	0,13	0,36	0,14	5,80	—	—	—
21	0,10	0,12	0,13	0,18	0,23	0,30	0,45	0,65	1,16	1,60	2,50
22	0,09	0,10	0,12	0,14	0,17	0,25	0,37	0,60	1,05	1,82	2,75
23	0,08	0,09	0,11	0,12	0,14	0,23	0,28	0,47	0,80	1,60	2,90
24	0,08	0,08	0,10	0,12	0,13	0,22	0,33	0,49	0,97	2,00	3,25
25	0,07	0,07	0,09	0,11	0,13	0,20	0,37	0,56	1,06	2,30	—
26	0,10	0,12	0,14	0,16	0,23	0,32	0,53	0,65	0,95	2,00	2,80
27	0,09	0,09	0,12	0,14	0,17	0,30	0,43	0,55	0,80	1,85	3,05
28	0,08	0,09	0,10	0,13	0,14	0,26	0,37	0,67	1,16	2,20	3,40
29	0,07	0,08	0,09	0,10	0,13	0,23	0,42	0,73	1,40	2,80	—
30	0,06	0,07	0,08	0,10	0,12	0,20	0,45	0,76	1,50	4,57	—
31	0,10	0,11	0,13	0,16	0,20	0,30	0,55	0,67	1,10	2,20	3,70
32	0,09	0,10	0,11	0,13	0,16	0,27	0,45	0,70	1,40	2,60	4,20
33	0,08	0,09	0,10	0,11	0,14	0,25	0,40	0,90	1,65	3,00	4,80
34	0,07	0,08	0,09	0,09	0,12	0,23	0,42	0,78	1,46	5,00	—
35	0,06	0,07	0,08	0,09	0,12	0,25	0,56	1,34	4,30	—	—
36	0,09	0,10	0,12	0,14	0,18	0,30	0,60	0,94	1,49	2,38	4,60
37	0,08	0,09	0,12	0,14	0,17	0,28	0,50	0,87	1,65	2,67	5,40
38	0,07	0,08	0,09	0,10	0,12	0,26	0,46	0,72	2,30	4,7	—
39	0,06	0,06	0,07	0,08	0,10	0,24	0,58	1,21	4,5	—	—
40	0,05	0,06	0,06	0,08	0,10	0,29	1,03	4,90	—	—	—

Для установления влияния окиси магния на физические свойства шлаков изучаемой системы с постоянным содержанием  $MnO$  (10%) построены изотермы вязкости и электропроводности последних для 5 и 10%  $MgO$  при замещении кремнезема окисью кальция (рис. 3).

Как показывает сопоставление изотерм (рис. 3), увеличение в шлаках концентрации  $MgO$  от 5 до 10% (при неизмененном соотношении  $CaO + MgO$ ) уменьшает вязкость и приводит к некоторому увеличению

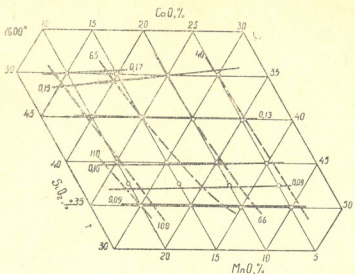
электропроводности во всех исследованных интервалах составов и температур. Так, например, при 5%  $MgO$  (рис. 3, а) шлак, содержащий



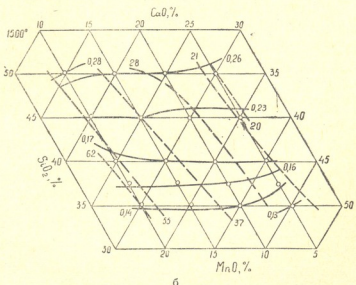
## Показатели удельной электропроводности исследованных шлаков

№ шлаков	Удельная электропроводность, $\text{ом}^{-1} \cdot \text{м}^{-1}$ , при температуре, $^{\circ}\text{C}$									
	1700	1650	1600	1550	1500	1450	1400	1350	1300	1250
1	143,0	119,2	90,0	66,6	49,7	35,5	23,3	14,3	7,9	5,0
2	154,0	125,0	95,0	71,5	52,3	37,9	24,9	15,1	8,2	5,8
3	156,5	137,0	102,5	76,3	56,5	40,3	27,3	16,0	9,8	5,0
4	158,2	138,7	106,7	78,0	58,0	41,0	28,0	18,0	10,0	6,6
5	163,5	140,0	110,0	80,0	62,1	43,7	29,6	19,8	10,3	4,0
6	114,0	85,0	62,4	46,5	31,9	24,4	17,8	12,5	9,0	5,0
7	119,5	88,0	65,6	50,0	36,9	27,8	19,5	14,8	8,3	5,0
8	121,0	92,0	67,5	54,0	37,8	29,0	21,6	14,1	8,9	5,5
9	123,0	93,5	69,3	56,3	39,9	30,0	22,9	16,4	8,1	4,6
10	127,0	95,0	71,5	59,0	42,0	32,0	23,4	16,7	7,8	—
11	86,8	70,5	56,7	43,3	25,1	18,6	18,9	8,6	5,6	3,0
12	92,5	73,0	57,7	45,7	29,8	19,8	12,9	8,10	5,4	2,8
13	98,5	78,5	59,5	47,7	32,7	21,6	13,9	9,0	6,6	2,5
14	99,9	79,0	63,3	48,9	33,3	22,3	14,3	9,8	6,0	—
15	106,0	80,5	63,5	51,0	34,2	23,9	15,0	8,4	—	—
16	72,0	53,0	40,0	28,0	20,0	15,5	8,9	6,5	4,0	2,8
17	76,3	55,6	41,3	30,0	20,4	17,2	10,0	7,7	3,8	2,5
18	78,9	58,4	42,9	31,0	21,8	17,6	11,7	6,3	3,0	—
19	81,6	59,0	45,1	33,0	22,3	18,0	10,3	6,1	—	—
20	84,6	61,0	45,0	33,2	23,5	18,5	5,7	—	—	—
21	148,5	126,0	97,0	70,0	50,0	40,0	25,0	16,3	8,7	5,0
22	153,5	132,5	103,7	73,5	52,7	39,2	26,0	17,0	9,2	6,0
23	158,0	137,8	109,2	78,0	60,0	43,7	28,2	18,0	10,9	8,0
24	162,0	140,0	110,0	80,2	63,7	45,8	29,1	18,0	10,7	5,0
25	167,0	143,0	115,0	82,8	64,5	47,2	31,3	19,8	9,7	5,0
26	115,5	86,0	66,0	53,3	36,8	26,0	17,6	12,6	8,0	5,0
27	119,9	88,8	66,7	54,7	38,5	27,9	19,8	14,7	9,5	5,5
28	123,8	91,5	69,0	57,0	40,5	30,3	21,7	15,5	8,9	4,5
29	125,6	94,3	70,3	59,1	41,9	31,9	22,2	16,0	7,8	—
30	128,5	95,4	71,9	60,0	45,6	33,3	24,0	17,0	8,0	—
31	90,0	72,9	56,7	43,0	26,5	17,7	12,9	8,3	6,0	3,7
32	96,8	74,0	59,4	45,6	29,4	19,8	13,8	9,6	6,5	3,0
33	104,0	79,6	61,0	48,0	33,7	22,2	14,6	9,0	6,0	2,7
34	106,8	80,0	63,0	49,9	33,8	23,0	15,7	11,3	6,6	—
35	110,0	82,6	64,6	51,6	35,0	24,6	16,8	10,3	—	—
36	72,7	53,5	39,9	29,0	20,7	16,0	9,0	5,7	4,5	3,0
37	77,7	56,9	42,0	31,1	22,7	16,5	10,0	6,7	4,0	3,0
38	82,5	58,7	44,0	33,7	24,0	17,5	10,9	8,4	3,0	—
39	84,0	60,1	44,9	35,0	25,2	17,8	12,8	6,9	—	—
40	86,5	62,0	46,5	36,3	26,2	19,0	6,8	—	—	—

50%  $\text{SiO}_2$ , при  $1500^{\circ}\text{C}$  имеет вязкость 0,27 н·сек/ $\text{м}^2$  и электропроводность  $25,1 \text{ ом}^{-1} \cdot \text{м}^{-1}$ , а шлак с 10%  $\text{MgO}$  (рис. 3, б) имеет вязкость 0,2 н·сек/ $\text{м}^2$  и электропроводность  $26,5 \text{ ом}^{-1} \cdot \text{м}^{-1}$ , т. е. увеличение  $\text{MgO}$  от 5 до 10% в шлаке за счет  $\text{CaO}$  приводит к уменьшению вязкости на 26% и повышению электропроводности на 5,5%. Уменьшение  $\text{SiO}_2$  до 35% при  $1500^{\circ}\text{C}$  и соответственное увеличение окиси кальция от 25 до 40% для шлаков с 5%  $\text{MgO}$  понижает вязкость до 0,14 н·сек/ $\text{м}^2$  и повышает электропроводность до  $34,2 \text{ ом}^{-1} \cdot \text{м}^{-1}$ , а при 10%  $\text{MgO}$  вызывает понижение вязкости до 0,12 н·сек/ $\text{м}^2$  и повышение электропроводности до  $35 \text{ ом}^{-1} \cdot \text{м}^{-1}$ .



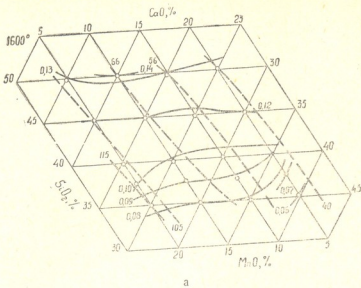
а



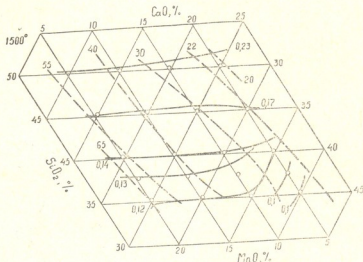
б

Рис. 1. Вязкость и удельная электропроводность шлаков при 5%  $\text{MgO}$  и 10%  $\text{Al}_2\text{O}_3$  для  $1600$  и  $1500^\circ\text{C}$  (цифры на сплошных линиях—вязкость,  $\text{n}\cdot\text{сек}/\text{м}^3$ , на пунктирных линиях—электропроводность,  $\text{ом}^{-1}\cdot\text{м}^{-1}$ )

Уменьшение вязкости и некоторое увеличение электропроводности с повышением  $\text{MgO}$  от 5 до 10% за счет соответствующего понижения



а



б

Рис. 2. Вязкость и удельная электропроводность шлаков при 10% MgO и 10%  $\text{Al}_2\text{O}_3$  для 1600 и 1500°C (обозначения те же, что на рис. 1)

концентрации CaO, вероятно, вызвано тем, что магнезия вносит в шлак в 1,4 раза больше ионов кислорода —  $0^{-2}$ , чем CaO, что и является основной причиной разукрупнения кремнекислородных анионов и снижения вязкости шлаков [11].

Увеличение содержания магнезии от 5 до 10% расширяет область жидкотекучести шлаков. Так, например, при 1400°C у шлака с 5% MgO (рис. 3, а), содержащего 35% SiO<sub>2</sub> и 40% CaO, вязкость составляет 0,74

н·сек/м<sup>2</sup>, в то время как у шлака с 10% MgO при той же температуре при содержании 35% SiO<sub>2</sub> и 35% CaO вязкость равна 0,5 н·сек/м<sup>2</sup>, т. е.

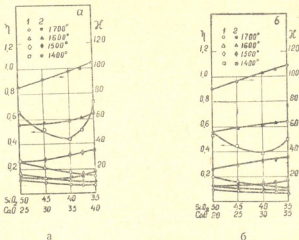


Рис. 3. Влияние замены кремнезема окисью кальция на вязкость,  $\eta$ , н·сек/м<sup>2</sup>, (1) и на удельную электропроводность,  $\chi$ ,  $\text{ом}^{-1} \cdot \text{м}^{-1}$ , (2), шлаков при различных температурах (содержание окиси марганца—10%, глинозема—10%): а — при 5% MgO, б — при 10% MgO

увеличение содержания MgO от 5 до 10% приводит к уменьшению вязкости на 33%, что, очевидно, объясняется уменьшением температуры ликвидуса шлаков.

Описанный характер влияния замещения окиси кальция окисью магния сохраняется при содержании 20, 15 и 5% окиси марганца.

#### Выходы

1. Исследовано влияние окиси магния на вязкость и удельную электропроводность синтетических шлаков системы Mn—CaO—SiO<sub>2</sub>, при 10% Al<sub>2</sub>O<sub>3</sub>, состав которых изменялся в пределах 5—20% MnO, 10—45% CaO, 35—50%, SiO<sub>2</sub> 5—10% MgO.

На основе полученных результатов были построены тройные диаграммы вязкости и электропроводности шлаков системы MnO—CaO—SiO<sub>2</sub> при постоянных содержаниях MgO (5 и 10%) и Al<sub>2</sub>O<sub>3</sub> (10%).

2. Влияние окиси магния на вязкость и удельную электропроводность расплавов изучаемой системы выражается в следующем:

а) Замена окиси кальция окисью магния без изменения соотношения  $\frac{\text{CaO} + \text{MgO}}{\text{SiO}_2}$  приводит к значительному понижению вязкости и некоторому повышению электропроводности.

б) Увеличение содержания магнезии от 5 до 10% за счет окиси кальция расширяет область жидкотекучести шлаков.

3. Полученные результаты могут быть использованы при установлении шлакового режима в случае применения доломита в шихте силикомарганца.

Грузинский институт metallurgii

(Поступило в редакцию 28.4.1966)

თ. ჩუბინიძე, მ. კეკელიძე

ააგნიშვილის ზანგის გაცლენა „მანგანუმის ჰერხანგი-კალციუმის ზანგი-კარბოდა“ დისტანციული ნალეღობის სიგლანგესა და ელექტროგამტარობას ელექტროგამტარობაზთარობაზ მათგა თიხამის 10% შეცვლობისას

### რ ე ჭ ი ფ მ ე

შრომაში გამოკვლეულია მაგნიუმის უანგის გაცლენა  $MnO-CaO-SiO_2-Al_2O_3$ -სისტემის წილური ნალეღობის სიბლანტესა და ელექტროგამტარობაზე. აკებულია სიბლანტისა და ელექტროგამტარობის სამაგი დიაგრამები 5 და 10% მაგნიუმის უანგისათვის. დადგნილია, რომ:

1. კალციუმის უანგის მაგნიუმის უანგით შეცვლა იშვევს სიბლანტის შემცირებასა და ელექტროგამტარობის მცირედ გაზრდას.

2. მაგნიუმის უანგის გაზრდა 5%-დან 10%-მდე აფართოებს თხევადდენადობის არეს.

### დამოუკიდებლი ლიტერატურა — ЦИТИРОВАННАЯ ЛИТЕРАТУРА

- J. S. Machin, Tin Boo Yee. Viscosity Studies of System  $CaO-MgO-Al_2O_3-SiO_2$ ; IV 50 a. 65%  $SiO_2$ . Variation of Viscosity When  $CaO$ ,  $MgO$  and  $Al_2O_3$  Are Constant. J. American Ceramic Soc., 37, № 4, 1954, 177—186.
- E. E. Hofmann. Viskositätsverhalten von synthetischen Schlacken in Abhängigkeit von der Zusammensetzung und der Temperatur Stahl und Eisen, 79, № 12, 1959 846—853.
- Г. И. Жмойдини, И. С. Куликов. Физические свойства доменных шлаков и влияние на них окиси магния, серы, марганца и железа. Изв. АН СССР, ОТН, металлургия и топливо, № 5, 1960, 1960, 25—32.
- Н. Л. Жило. О влиянии магнезии на физико-химические свойства доменных шлаков. Сб. научно-технических трудов НИИ металлургии Челябинского совнархоза, вып. I, Челябинск, 1960, 33—40.
- И. И. Гультий. Влияние глинозема на вязкость шлаков системы окись кальция-окись магния-кремнезем. Изв. АН СССР, ОТН, Металлургия и топливо, 1962, № 5, 52—65.
- В. А. Ванюков, О. М. Катков. Вязкость и электропроводность магнезиальных шлаков медно-никелевой руды. Науч. труды Московск. ин-та «Цветметз-лого», № 25, 1955, 98—111.
- Р. Ф. Яковенко, В. В. Кондаков. Исследование влияния магнезии на вязкость шлака ферромарганца. «Доменное производство», приложение к журналу «Сталь», 1959, 95—109.
- М. А. Кекелидзе, Ш. М. Микиашвили, Г. Н. Одилавадзе. К исследованию вязкости синтетических магнезиальных доменных шлаков. Труды Ин-та металлургии АН ГССР, т. XIII, 1962, 51—56.
- О. В. Куриншко. Электропроводность и вязкость известковых и магнезиальных шлаков ферромарганца. Труды VI конфер. по физико-химическим основам производства стали, изд. «Наука», 1964, 158—168.
- Т. А. Чубинидзе, М. А. Кекелидзе. Вязкость и удельная электропроводность шлаковых расплавов системы закись марганца-окись кальция-кремнезем при 10% глинозема. Сообщения АН ГССР, XLIII: 3, 1966.
- А. М. Чернышев, Л. М. Цылев, Л. В. Руднева. О механизме вязкости доменных шлаков. Изв. АН СССР, ОТН, № 7, 1953, 1044—1057.



## МЕТАЛЛУРГИЯ

Г. Н. ЗВИАДАДЗЕ, Д. Ш. ОЗИАШВИЛИ, Д. В. ВАЦАДЗЕ

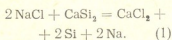
### КИНЕТИКА ВОССТАНОВЛЕНИЯ ХЛОРИДА НАТРИЯ СИЛИКОКАЛЬЦИЕМ

(Представлено академиком Ф. Н. Тавадзе 19.3.1966)

В литературе фактически не освещены реакции галогенидов металлов с силикокальцием. Вместе с тем на основе этих взаимодействий могут быть разработаны процессы получения ряда металлов.

В данной статье приведены некоторые результаты исследования кинетики и механизма восстановления хлорида натрия силикокальцием.

Кальций в техническом силикокальции представлен в виде фазы бисилицида [1]. Кроме того, в нем содержатся излишки кремния и силицидов железа. Экспериментально установлено, что элементарный кремний и силициды железа не восстанавливают натрий из его хлорида, а взаимодействие силикокальция с хлоридом натрия не отличается от процесса восстановления его синтетическим бисилицидом кальция. По этим данным и анализам продуктов взаимодействия хлорида натрия с силикокальцием его химизм можно представить в виде конечной реакции



При восстановлении натрия в вакууме он из-за высокой летучести выделяется в виде пара.

Процесс взаимодействия силикокальция с хлоридом натрия исследовался двумя методами: методом непрерывной регистрации убыли веса шихты при постоянной температуре и электрохимическим методом—определением поляризации силикокальциевого электрода в хлористом натрии. Сущность второго метода заключается в быст-

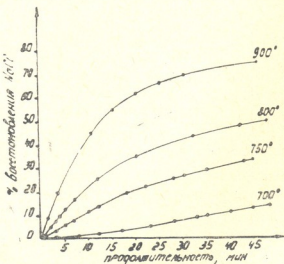


Рис. 1. Кинетические кривые восстановления хлорида натрия в вакууме

ром снятии кривых: сила поляризующего тока—величина поляризации. При этом величина плотности тока характеризует скорость процесса, а поляризация оценивает кинетическое затруднение.

Для опытов в первом методе использовали брикеты весом 2 г, диаметром 15 мм, толщиной 4,5 мм. Их изготавливали из смеси порошков хлорида натрия марки ХЧ и силикокальция с содержанием  $\text{CaSi}_2$  67%. Молярное соотношение  $\text{CaSi}_2:\text{NaCl}$  равнялось 1.

Для исследования по второму методу силикокальциевый электрод специально готовился засасыванием жидкого силикокальция в фарфоровую трубку.

На рис. 1 представлены кинетические кривые восстановления хлорида натрия при различных температурах в вакууме порядка  $2-3 \cdot 10^{-2}$  мм рт. ст., которые показывают, что восстановление натрия наблюдается уже при  $600^\circ$  и с повышением температуры скорость реакции увеличивается.

В таблице показана степень испарения хлорида натрия за время его восстановления силикокальцием при различных температурах.

T °C	600	625	650	675	700	750	850	875
Степень испарения, %	17,6	17,6	14,6	13,4	13,4	14,6	19,0	19,0

Испарение хлорида натрия мало меняется с понижением температуры, в то время как рост температуры резко увеличивает скорость восстановления натрия.

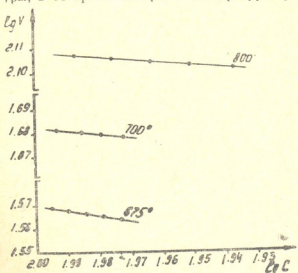
Таким образом, оптимальным следует считать восстановление хлорида натрия при температурах выше  $800^\circ$ .

Опыты по восстановлению хлорида натрия в атмосфере аргона при давлении последнего 5, 10, 15, 20, 50 мм рт. ст. показали последовательное снижение скоростей восстановления хлорида натрия, по сравнению с вакуумным процессом.

На рис. 2 представлены кинетические кривые восстановления хлорида натрия при давлении аргона 5 мм рт. ст.

Рис. 2. Кинетические кривые восстановления хлорида натрия в аргоне при давлении 5 мм рт. ст.

Хлорид кальция, образующийся в результате взаимодействия силикокальция с хлоридом натрия, растворяется в последнем, что должно приводить к снижению его активности.



Учитывая это обстоятельство, можно предположить подчинение функциональной зависимости скорости процесса от времени взаимодействия диффузионным закономерностям. Формальным признаком этого могла бы служить возможность использования уравнения кинетики для реакций первого порядка при обработке кинетических данных. Однако, как показала такая обработка экспериментальных данных уравнениями для реакции первого, а также второго и третьего порядка, кинетика взаимодействия силикокальция с хлоридом натрия указанным закономерностям не подчиняется. Ввиду этого порядок реакции был определен графическим дифференцированием кинетических кривых.

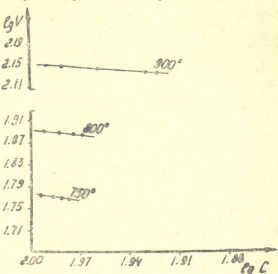


Рис. 3. Зависимость скорости восстановления в вакууме от концентрации хлорида натрия

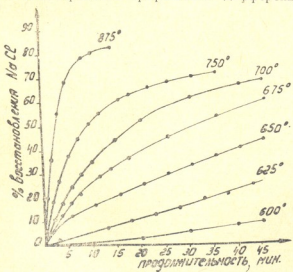


Рис. 4. Зависимость скорости восстановления в атмосфере аргона от концентрации хлорида натрия

кинетика процесса восстановления натрия в вакууме подчиняется уравнению

$$V = KC^{0.17} \quad (2)$$

Дробный порядок реакции (1) может быть объяснен тем, что реакция восстановления натрия рассматривается как электрохимическое взаимодействие между силицидом кальция и хлоридом натрия.

Подобный подход к объяснению механизма реакции становится естественным при рассмотрении кристаллохимических данных для хлоридов щелочных металлов и силицида кальция. В частности, известно, что в структуре хлоридов щелочных металлов хлор и соответствующий щелочной металл представлены разнонменно заряженными ионами, которые в различных хлоридах по-разному поляризованы, однако в целом для хлоридов щелочных металлов характерны ионные связи между компонентами структуры. Преимущественно ионный характер связи сохраняется и при расплавлении хлоридов щелочных металлов, о чем свидетельствует весь комплекс физико-химических данных по указанным хлоридам в жидким состоянии [2]. В структуре силицида кальция слои кальция чередуются со слоями кремния [3]. При этом кальций заряжен положительно, а кремний — отрицательно [4]. В силициде кальция доля ионной связи должна быть представлена в значительной степени, и если это соединение не чисто ионное, то

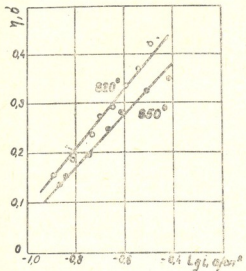
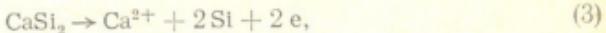


Рис. 5. Поляризационные кривые силикокальциевого электрода в хлориде натрия

оно относится к ионометаллическим. При электрохимическом процессе на поверхности раздела силицида кальция и хлорида натрия реакция взаимодействия между ними суммирует два этапа:



Следовательно, реакцию (1) можно рассматривать итогом работы короткозамкнутого элемента, в котором происходит анодное окисление отрицательных ионов кремния и катодное восстановление ионов натрия.

При поляризации силицида кальция в хлористом натрии, благодаря удалению электронов реакции (3), реакция (4) подавляется, и снятием поляризационной кривой можно изучить кинетику первого этапа, который, вероятно, является наиболее медленным.



На рис. 5 представлены поляризационные кривые силикокальция в расплавленном хлориде натрия, построенные вышеописанным методом в координатах: логарифм плотности тока — величина поляризации. Зависимость поляризации от плотности тока выше  $1 \cdot 10^{-2}$  а/см<sup>2</sup>, прямолинейная и описывается уравнением типа

$$\eta = a + b \lg i, \quad (5)$$

где

$a$  — постоянная величина;

$b$  — тангенс угла наклона прямой, численно равный величине  $\frac{2.3 RT}{\alpha F}$ .

Экспериментально определенные значения коэффициента  $b$  при 820 и 850° равняются 0,61 и 0,53 соответственно. Если допустить, что поляризация обусловлена замедленностью этапа (3), то коэффициент  $b$  должен равняться  $\frac{2.3 RT}{\alpha F}$ , что составляет 0,18—0,21. Этот результат свидетельствует о том, что кинетика электродного процесса определяется не концентрационной поляризацией, а химической. Скорость электродной реакции подчиняется уравнению типа

$$V = KC^x, \quad (6)$$

который имеет тот же вид, что и найденное при изучении кинетики взаимодействия силикокальция с хлоридом натрия первым методом.

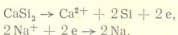
Расчеты кажущейся энергии активации на основе рассечения поляризационных кривых изопотенциальными прямыми и построенные зависимости логарифма плотности тока от обратной величины температуры дали для  $E=20317$  кал/моль. Эта величина близка кажущейся энергии активации реакции восстановления натрия, полученной из кинетических данных по первому методу.

#### Выводы

Экспериментально исследована кинетика взаимодействия силикокальция с хлоридом натрия и установлено, что скорость процесса находится в степенной зависимости от его концентрации, причем показатель степени имеет дробный порядок.

Механизм силицидотермического восстановления определяется электрохимическим взаимодействием реагентов, что подтверждено результатами изучения поляризации силикокальциевого электрода в расплавленном хлориде натрия.

Реакция взаимодействия силикокальция с хлоридом натрия суммирует следующие этапы работы короткозамкнутого гальванического элемента:



Грузинский институт metallurgии

Тбилиси

(Поступило в редакцию 19.3.1966)



გ. ჰვიადაძი, დ. ოზიაშვილი, დ. ვააზაძი

**ნატრიუმის ქლორიდის სილიკოპალციუმის აღდგენის  
კინეტიკა**

რ ე ზ ი უ მ ე

სტატიაში ნაჩვენებია ნატრიუმის მიღების შესაძლებლობა მისი ქლორი-  
დიდან სილიკოპალციუმით აღდგენის შემთხვევაში. შესწავლითა ნატრიუმის  
ქლორიდის სილიკოპალციუმით აღდგენის კონტრიკა და მიღებულია, რომ პრო-  
ცესის სიჩქარე ხარისხობრივ დამოკიდებულებაშია ქლორიდის კონცენტრაციას-  
თან ამასთან ერთად ხარისხი წარმოადგენს წილადს.

სილიკოდოთერმული აღდგენის მექანიზმი განისაზღვრება რეაგენტების  
ელექტროქიმიური ურთიერთშემედებით, რაც დამტკიცებულია გამოვალ მარილში  
სილიკოპალციუმის ელექტროდის პოლარიზაციის შესწავლით.

**ДАВЛЕНИЯ И МОЛДОВА — ЦИТИРОВАННАЯ ЛИТЕРАТУРА**

1. Г. В. Самсонов. Силициды и их использование в технике. Изд. АН УССР, 1959.
2. А. И. Беляев, Е. А. Жемчужина, Л. А. Фирсанова. Физическая химия расплавленных солей. Металлургиздат, 1957.
3. Г. Б. Бокий. Введение в кристаллохимию. Изд. Московского ун-та, 1954.
4. Ю. М. Голутвин. Типы образования и типы химической связи в неорганических кристаллах. Изд. АН СССР, 1962.

გოტანიკა

ლ. გოგიაძევილი

ივრის შუა დაბლობის მცირებული ლანდშაფტების ისტორიისათვის  
(წარმოადგინა ეკადემიკოსმა ნ. კეცოველმა 30. 4. 1966)

ივრის შუა დაბლობი, რომელიც ცივ-გომბორის ქედის სამხრეთით მდებარეობს, ამჟამად უტყეო ტერიტორიას წარმოადგენს. მოშიშვლებულია ავრეთ-ვე კახეთის ქედის სამხრეთი ფერდობების წინაკალთები, სადაც ფართოფოთლოვანი ტყე ქვედა სარტყელში განეხილია, ხოლო შედარებით მაღლა შერჩენილია მათი დაგაგული დერივატები ჯაგრცხილის, ჩუხილისა და მუხის მონაწილეობით. მდ. იორი მოედინება ამ დაბლობში ჩატრილი კალაპოტით. დაბლობზე ღლესაც არის შერჩენილი დაკაბობებული სივრცეები ჭაობის მცენარეულობის ფრაგმენტებით, მაგრამ ამ მცენარეულობის ფართობები საკმაოდ შემცირებული უკანასკნელ ათეულ წლებში სადრენაჟო ღონისძიებების ჩატარების შედეგად. ამ დაბლობს ზოგან კვეთს ქედიდან მდინარე იორამდე ვიწრო და ღრმა ხრამები, რომელთა გასწვრივ ვიწრო ზოლად ჩაუკებიან მუხა, თელა, ვერცვები, ტირიფები, ღვედელი, ვალიტი, კატაბარდა და სხვა.

სქეართველოს დაბლობის ტყის ისტორია დიდი ხანია იძყრობს გეობოტანიკისთა ყურადღებას. აქ გავრცელებული ტყეების ბედი, მათი დაკინებისა და განადგურების გზები დამაჯერებლად გვიჩვენა ნ. კეცოველმა თავის გამოკვლეულში [1, 2].

დაბლობის მცენარეულობის შესწავლა, მათი წარსული სურათის აღდგენა დღევანდველ ეტაპებზე ახალი მეთოდების გამოყენებასთან დაკავშირებით მეტად რთულ ამოცანას წარმოადგენს, ვინაიდან აქა თავმოყრილი ერთმანეთისაგან ეკოლოგიური ბუნებით განსხვავებული დაგაგუფებანი და თანამედროვე ელემენტებთან შერჩებულია ისეთი მცენარეები, რომლებიც ყოფილი ფიზიკურ-გეოგრაფიული პირობებისთვისაა დამახასიათებელი. ეს მეტად მოზაიკურ და რთულ სურათს ჰქმნის.

მრავალი გეომორფოლოგიური გამოკვლევებით ცნობილია, რომ მდინარის-პირა, ისევე როგორც ტბისპირა დაბლობის მორფოლოგიური შენება განუწყვეტილია იცვლება მთელი რიგი პროცესების მეშვეობით, რაც გავლენას ახდენს მცენარეული საფრის განვითარებაზე [3, 4].

პირითადი ფაქტორები — ეროზია და აკუმულაცია, რომლებიც პირობების დაბლობის გეოგრაფიული ლანდშაფტების წარმოქმნასა და მათ დინამიკას, დაკავშირებულია დაბლობის ზედაპირის განვითარების ციკლთან, რომელიც ადგილი ჰქონდა მეოთხეული პერიოდის განმავლობაში. კერძოდ, ბაქოურისწინა პერიოდში მოხდა ივრისა და ილაზნის წყალგამყოფების აწევა. ამ დროს აკუთვნებენ ცივ-გომბორის ქედის ჩამოყალიბებას იალნო-საგურამოსა და სხალტბას-

თან ერთად, ხაზარულ პერიოდში ზღვება მდინარე ივრის დაბლობზე ალუვიური დანალექების გადალექვა, რომელიც მიეამაღ 80—90 მეტრის სიმაღლის ტერა-სებით არის წარმოდგენილი [5]. შემდეგი ქვედ სერიის ტერასები, რომელიც მდებარეობდნ მტკვრისპირას თბილისა და მინგეჩაურს შორის, 35—40 მეტრის ზოგან კი 20—30 მეტრის სიმაღლეზე წარმოქმნენ ხეალინურ დროს [6].

ხეალინურის შემდგომი ფაზა აგრძელებუ ხსიათდება ტექტონიკური მოძრაობებით — გრძელდება კავკასიონის აწევა და მძისთან დაკავშირებით ეროვნის ბაზისის დაფაბლება. ვარდანიან ცი ამ ფაზაში, ისე როგორც წინა ფაზების დროს, მიუთითებს კლიმატური დეპრესიის არსებობაზე, რომელსაც მოძყვა ძლიერი მდინარეული ლვარების წარმოქმნა, ქედებს გადატეცხვა და ალუვიური და პროლუვიური მასალის დალექვა, ხეალინური ტერასის ფორმირება და მდინარეების კალაპოტის ჩაჭრა.

ამგვარად, ზედამეოთხეულ პერიოდში მოხდა რელიეფის საბოლოო ჩამოყალიბება, ჰიდროგრაფიული ქსელის დახალოებით თანამედროვე სახით ფორმირება და სხვა.

ცნობილია, რომ მდინარე დიდ როლს ასრულებს დაბლობის რელიეფის ჩამოყალიბებაში. იგი თავის შეა ნაშილში ერთსა და იმავე დროს ჩეცხს და აკუმულირებს, გადატევს და ლექას, შლის აღრე წარმოქმნილ ტერასებს. ამ პროცესების ჯაჭვი მკვეთრ გაელენას ასდენს მცენარეული დაჯგუფებების ურთიერთობაზე და პირობებს მათ დინამიკას.

აღნიშნულ დაბლობს აქვს თავისი, ადგილობრივად მოქმედი უროშიის ბაზისი, რომელიც იცვლებოდა საერთო ტექტონიკურ მოძრაობებთან დაკავშირებით, და რომლის ყოველი დაწევა იწვევდა ტერასების დიფერენციაციას, იცვლებოდა რა ჰიდროლოგიური ჩეცხი, დაბლობის გეომორფოლოგია და მასთან დაკავშირებით მცენარეული საფარი.

თუ ეროზიის ბაზისის დაცემისას ხდებოდა არსებული ტერასების დიფერენციაცია; ეროზიის აწევას კი უკავშირდება მდინარის აღიდება და ალუვიური ტბიური და ალუვიური დანალექების წარმოქმნა (რაც ზოგან დაფარულია დელუვიური შლეიფებით), მისი სისქე 4—15 მეტრამდე მერყეობს. ამ დანალექებით დაფარულია კახეთის ქედის წინაკალთვები [5]. დელუვიური შლეცეფებით ჩამოყვებინა ჯაგ-ეკლიანი დაგვაფებანი და ლრმად იქრებიან ივრის დაბლობზე, ოდნავ დადაბლებულ ადგილებში კი, სადაც არ ემჩნევა დელუვიური დანალექები, ზოგან განვითარებულია ტორფი სისქეთ 50—75 სმ, რომელიც უშუალოდ ტბიურ დანალექებს ფარავს. აღნიშნული დანალექები მტკრისა და სპორის ანალიზის ჩატრიებისათვის კვლევის საუკეთესო ობიექტს წარმოადგენს.

ალუვიური და ალუვიურ-ტბიური დანალექების შესწავლა დაკავშირებულია მთელ რიგ სიძნელეებთან. უპირველს ყოვლისა ესაა მდინარის მიერ მოტანილი მტკრის მარცვლის იზოლაციის საკითხი.

ვ. გრიჩუ კი ს გამოკვეთებით დადგენილია, რომ ალუვიური დანალექების მტკრის სპექტრი, რომელიც მცირე რაოდენობით შეიცავს წყლითა და ჰაერით მოტანილ მტკრის მარცვლს, ზუსტად ასახავს მცენარეული საფარის თავისებურებას გარკვეული ტერიტორიისათვის. მიუხედავად ამისა, სასურვე-

ლი და აუცილებელია შემოტანილი მტკრის მარცვლის გამოყოფა, ვინაიდან ასეთი მტკრები სპექტრში ირკვლება თავისებურად და ხშირ შემთხვევაში მოკრძალ სურათს საგრძნობლად ცვლის.

ამიტომ, გამორკვევის დროს ყურადღება უნდა მიექცეს გარდა გადამარტვის ზარისხისა, იმ მცენარის კვლევების ბუნებას, რომლის მტერის მარცვალსაც ანალიზის დროს ვპოულობთ. უნდა მოხდეს ოანამედროვესთან მისი დაპირისპირება, რის შედეგადაც გამოვლინებულ იქნება შემოტანილი მტერის მარცვალი.

ଓলুয়েগুরি ডানালুক্কেদিস শেস্টিংওলিসে ত্রার্ডেডা গান্মেট্রেডিনি অনালিশ প্রাল্যোৱল ক্রমত্বেন্দুন্ত্রেডস শীৱৰিস শেফার্ডেডিস ডাসালগ্রেন্ডাদ. ন্দেডা, আগ্রেট্রে (শেকল্যেডিসডাগ্রেডার্ড) খোয়েরতো খোশিস সাক্ষোৰ্দাম্ভে রুবেজা, রাত্ৰি আপুৰিল্যেডেলিস প্রাল্যোৱলি ক্ষেত্ৰিক্ষেত্ৰিস ফ্লোণ্হোস ডাসাশৰাসোৱেডলাল দা নি ক্রিমিৰ্ত্তুৰি গাৰ্হ-মৰ্মস অলসালগ্রেন্ড, হোচ্ছেসাচ শেস্টিংওলিলি ডানালুক্কেদিস ফুৰাম্হিৰুৰেডা বেল্যোৱলা.

აღნიშვნული დაბლობის მცენარეულობით დასახლება დაიწყო ზეალონურის შემდგომ პერიოდში, მას შემდეგ, რაც მოხდა მდინარე ივრის კალაპოტის ჩაჭრა, დაბლობის საჟმაო ნაწილი თანდათან გათავისუფლდა წყლისაგან, რომელსაც პერიოდულად მთლიანად ეკავა დაბლობი. მდინარე ამ პერიოდებში მოედნებიდა მდორედ, აპირობებდა რა ალუვიურ-ტბიური დანალექების წარმოქმნას.

ბუნებრივია, რომ დაბლობის ტყის მცენარეულობით დასახლება არ მიმდინარეობდა თანაბრად და ერთდროულად. ტყეს მდ დროისათვის კეთი მომიჯნავე ფერდობები. ტექტონიკური პროცესების ადგილობრივი თავისებურებანი და ტაფობის რელიეფის ბუნება აპირობებდა ტყის მასივის მომატებასა და ზოგჯერ შემცირებას. ტყის მცირე კოროზები წყლის მოქცევის დროს ბორცვებზე გადაინახებოდა, საიდანაც შემდეგ შესატერისი პირიბების დაფორმისას თვით დაბლობზე კრცელდებოდა. პარალელურად დაბლობზე ცუ ისეთი აღგილებები, სადაც გრუნტის წყლების ჭარბად და ხანგრძლივად დგომის გამო ვითარდებოდა კობის მცენარეულობა. ამგვარად, აღნიშნულ ტაფობზე გავრცელებული ტყე არ წარმოადგენდა ეკოლოგიურად და ფატოცინოლოგიურად ერთიან ტიპს. ცალკეულ უბნებზე ტყის მცენარეულობა განვითარების სხვადასხვა საფეხურზე იმყოფებოდა, დაწყებული ჭაობის ტყიდან მთაწმინა სარტყლის ტყის ტიპამდე, რომელსაც ეკავა ყველაზე მაღლელებული ბორცვები.

ყველივე ზემოთქმული კარგად ეთანხმება სტრის მარცვლის ანალიზის შედეგად მიღებულ სპექტრებს. მტკრის მარცვლის ანალიზი საშუალებას გვაძლევს აღვადგინოთ ტყის დასახლებისა და მისი განვითარების წარსული სურათი, წარმოვიდგინოთ ის ბორტანიკური ლანდშაფტები, რომელსაც აღვილო ჰქონდა ხვალინურის შემდგომი პერიოდის მანძილზე, განვსაზღვროთ ტაფობის პალეოგეოგრაფია.

შესწავლის ნიმუშებში ძირითადად ფიქსირებულია შემდეგი ხე და ბუჩქის მტკრის მარცვალი: ფიჭვი, მურყანი, წიფელი, მუხა, რცხილა, გაგრცხილა, თელა, ტირიფები, კაკალი, ლატანი, ცაცხვი, თხილი, ნეკერჩხალი და სხვა რო-

გორც ვხედავთ, კომპლექსის შერეული და მრავალფეროვანია. ასეთი მრავალ-  
ფეროვნება დღესაც შეიძინება ამ ტერიტორიაზე შერჩენილ მცენარეულობაში.

წიასულში ეს მდიდარი, ძირითადად ტყის მცენარეულობა გარკვეული კანონშიმიერებით იყო განაწილებული ალნიშნულ ტერიტორიაზე, რაც უძარცვა-საღა ასახული სხვადასხვა პუნქტებიდან აღებულ ნიმუშებში. კერძოდ, მშრა-ლი ფერდობები დაკავებული ჰქონდა მუხას, რცხილას, ხოლო შემდეგში ჯაგ-ლი ფერდობები მშრალ პერიოდებში ტყის ეს ფორმაცია მიიწევდა წინ რცხილას. შედარებით მშრალ პერიოდებში ტყის ეს ფორმაცია მიიწევდა წინ რცხილას. შედარებით მშრალ პერიოდებში ტყის ეს ფორმაცია მიიწევდა წინ რცხილას.

ორ ივნის უკან უკუკი და უკანა ცეკვა  
ცნობილია, რომ ვერხვი კარგად იტანს სეზონურად დამდგარ წეალს და  
ასეთ პირობებში ღომინანტროს სხვა ჯიშებზე. მაგრამ ვერსიის მტერის მარცვა-  
ლი გარსის სისუსტის გამო არ გადაიმარხება ან, თუ გადაიმარხა, ძლიერ სა-  
სერეცვლილია და მცირე პროცენტითა წარმოდგენილი. მიტომ, ვფიქრობთ,  
რომ ის პორიზონტები, სადაც ხე-მცენარეთა მტვრის საერთო რაოდენობა შემ-  
ცირებულია და ძირითადად წარმოდგენილია ტირიფისა და მურყანის მტვრის  
მარცვლებით, შეესტყვისება ვერხვნარის მასობრივ გვრცელებას. მრიგად,  
თანამედროვე მცენარეთა გვრცელება, მათი ეკოლოგიური ბუნება საშუალე-  
ბის გვაძლევს გვაფონტროლოთ ნამარხი ნიმუშების ანალიზის შედეგები და,  
პირიქით, ნამარხ მდგომარეობაში ისეთი ხე-მცენარის მტვრის მარცვლის ღლ-  
მოჩენა, როგორიცაა *Inglans regia*, ადასტურებს იმ მოსაზრებას, რომ კა-  
კალი აბორიგენული ჯიშა კავკასიისათვის.

ქალი პორიგებული გაიცის კუკურა და მარი და მარცვალი მცი-  
რედა პორიზონტებიდან აღწერილია ლაფნის მტკრის მარცვალი მცი-  
რე რაოდენბით, რაც უთუოდ განპირობებულია თვით ხეთა სიმცირით. უმ-  
დეგ ლაფნის მტკრი აღარ გვხვდება, რაც ალბათ, გამოწვეულია მისი მოსპო-  
ნით, ჰავის გაერნტინენტებასთან და მდინარე ივრის კალაპოტის ჩაჭრასთან და-  
კავშირებით.

მატულობს მუხის, რცხილისა და ბოლოს ჯაგრცებილის პროცენტული მაჩვენებელი. იზრდება *Chenopodiaceae*, *Compositae*, განსაკუთრებით *Artemisia*, ამასთან მცირდება ჰალის ტყეების ფართობი, რომელიც შედგები ძირითადად შენარჩუნებულია წყლისპირებზე. ეს უკვე ასახავს აღმიანის ზეგავლენას ამ დაბლობის მცენარეულობაზე, რომელსაც საკმარისად ღირდ ხანგრძლივობა აქვს.

ნამართი მტკრის მარცვლის სპეცტრი, რომელიც გვიჩვენებს მცენარეთა კომპლექსების მრავალფეროვნებას შესატყვისება ამ დაბლობის დღევანდველი-საგან განსხვავებულ ფიზიკურ-გეოგრაფიულ პირობებს; ეს კი საშუალებას გვიძლებს ნაწილობრივ მაინც აღვაღინოთ ტაფობის პალეოგეოგრაფია.

ჩვენ მიერ მოპოვებული მასალის საფუძველზე შეიძლება გამოვიყენოთ მცუნარეული შემდეგი დასკვნები: მთელი ტერიტორია წარმოდგენილი იყო დეპრესიით, რომელიც გარკვეული პერიოდთ დაფარული იყო წყლით. ამ პერიოდებს შეესა-ტყვისება მტვრის მარცვლით ღარიბი სპექტრები; ხე-მცუნარეების მტვერი ძირითადად წარმოდგენილია მომიჯნავე ფერდობებზე მოზარდი მცუნარეების მტვრის მარცვლით (იხ. ცხრილი).

ცხრილი 1

მტერის გარცვლის შედეგი ალუვიურ-ტბურ ღანალექებში მდ. იტრის შეა დაბლობიდან

სიღრძე	<i>Pinus</i>	<i>Alnus</i>	<i>Carpin.</i>	<i>Querc.</i>	<i>Ulmus.</i>	<i>Tilia</i>	<i>Acer</i>	<i>Fagus</i>	<i>Inglans</i>	<i>Pieroc.</i>	<i>Salix</i>	სიღრძე	<i>Pinus</i>	<i>Alnus</i>	<i>Carpin.</i>	<i>Querc.</i>	<i>Ulmus</i>	<i>Tilia</i>	<i>Acer</i>	<i>Fagus</i>	<i>Inglans</i>	<i>Pieroc.</i>	<i>Salix</i>	
0,25	38	2	25	7	5	—	6	—	2	15	10,50	—	—	—	—	—	—	—	—	—	—	—	—	
0,75	39	5	17	10	8	—	5	—	2	14	10,75	—	—	—	—	—	—	—	—	—	—	—	—	
1,25	47	5	22	14	5	—	7	—	—	—	—	11,00	11	+	+	+	+	+	+	+	+	+	+	+
1,75	20	4	28	27	8	—	10	—	—	—	—	11,25	—	—	—	—	—	—	—	—	—	—	—	—
2,25	25	12	20	5	20	—	7	—	2	—	9	11,50	—	—	—	—	—	—	—	—	—	—	—	—
2,75	22	10	20	8	24	3	7	—	2	—	4	12,00	—	—	—	—	—	—	—	—	—	—	—	—
3,25	19	15	21	12	17	3	8	2	3	—	—	12,50	21	2	7	19	12	—	—	—	—	18	3	2
3,50	22	6	21	21	14	4	9	2	+	—	—	12,75	20	2	11	19	12	12	18	17	3	—	—	3
3,75	15	11	20	23	7	4	12	—	2	—	3	13,00	33	3	12	17	—	11	16	15	+	15	23	—
4,25	10	6	31	23	4	5	9	—	10	—	2	13,25	17	7	12	10	3	—	+	9	+	12	17	—
5,00	15	7	10	19	7	1	10	—	11	—	20	13,50	—	+	7	2	—	—	—	—	—	—	—	—
5,50	9	15	9	12	3	2	8	4	9	—	29	13,75	—	+	+	1	—	—	—	—	—	—	—	—
5,75	10	21	9	9	2	5	7	3	8	—	26	14,00	+ 10	+	7	13	—	—	—	—	—	8	8	—
6,00	8	16	10	10	14	6	4	+	7	—	25	14,50	+ 9	17	18	10	—	—	—	—	—	10	5	7
6,25	18	14	10	7	12	3	5	5	+	—	31	14,75	+ 12	9	5	10	—	—	—	—	—	10	18	4
6,50	18	6	11	3	15	3	4	3	—	—	17	15,25	—	+	+	—	—	—	—	—	—	18	3	—
6,75	17	14	12	2	15	4	11	4	—	—	21	15,75	—	+	+	—	—	—	—	—	—	—	—	—
7,00	18	14	8	2	15	7	9	5	+	+	22	16,00	—	—	—	—	—	—	—	—	—	—	—	—
7,25	18	15	8	2	15	8	9	5	4	—	16	16,75	—	—	—	—	—	—	—	—	—	—	—	—
8,50	19	4	9	3	16	7	8	6	3	—	25	17,00	—	—	—	—	—	—	—	—	—	—	—	—
9,00	13	8	10	8	12	2	2	8	10	—	27	17,25	—	—	—	—	—	—	—	—	—	—	—	—
9,25	20	18	5	5	2	+	2	10	12	3	23	18,00	—	—	—	—	—	—	—	—	—	—	—	—
10,00	—	5	3	6	—	—	—	—	—	—	—	18,75	—	—	—	—	—	—	—	—	—	—	—	—
10,25	—	—	—	—	—	—	—	—	—	—	—	19,00	—	—	—	—	—	—	—	—	—	—	—	—

ნიმუშების პეტროგრაფიული შენების მიხედვით და მტვრის მარცვლის ანალიზის შედეგებით დადგენილია, რომ შესწავლის ტაფობზე წყლის მოქცევას რამდენჯერმე ჰქონდა დაფილი. ამ დროის შესატყვის დანალექებში ჰარბობს მთავარი კავკასიონის ნამსხვრევი მასალა, რაც თავის მხრივ მიუთითებს მდინარე იტრის დიდ ეროზიულ ძალაზე. ასეთი ნიმუშები თითქმის სულ არ შეიცვენ მტვრის მარცვალს.

შემდგომ ეტაპებზე ტაფობი სრულიად თავისუფლდება წყლისაგან, თუ მნედელობაში არ მივიღებთ იმ ცალკეულ დაფილებს, სადაც გროვდებოდა კასეთის ქედიდან გამონაქონი გრუნტის წყლები და ამით შენაჩინებული იყო დაჭაობებული სივრცეები. ამ ჰაბობში უკანასკნელ დრომდე ზოგან ხდებოდა



ტორფის წარმოქმნა, რომლის პალინოლოგურმა ანალიზმა 1  
ლობის თანამედროვე მდგრადირეობის ამსახველი სპეცირებია.

საქართველოს სსრ მეცნიერებათა აკადემია

ପ୍ରକାଶନ କେନ୍ଦ୍ର ଏବଂ ସମ୍ପଦ ବିଭାଗ

БОТАНИКА

Л. ГОГИЧАЙШВИЛИ

## К ИСТОРИИ РАСТИТЕЛЬНЫХ ЛАНДШАФТОВ СРЕДНЕИОРСКОЙ НИЗМЕННОСТИ

Резюме

Для восстановления истории растительных ландшафтов ныне безлесных низменного и предгорного поясов особое значение приобретает метод спорово-пыльцевого анализа. Этим методом мы обрабатывали озерно-аллювиальные и озерные осадки, приуроченные к среднеиорской равнине. Изучение пыльцевых спектров с разных мест и глубин показало богатство и разнообразие состава лесной растительности, занимавшей данную территорию.

Здесь одновременно существовали экологически и фитоценологически разные типы лесов, находящиеся на разных стадиях развития — от пойменных лесов до лесов предгорной полосы, участок которых занимали возвышенные места.

По данным пыльцевых и петрографических анализов, вся территория в послехвальинское время представляла собой депрессию, которая временами покрывалась широкими разливами р. Иори. Для соответствующих горизонтов характерно малое количество древесной пыльцы (см. таблицу), в основном представленной теми породами, которые спускались по ближайшим южным склонам Кахетинского хребта.

Общие тектонические движения, колебания базиса эрозии, меняли режим стока речных вод, менялась и геоморфология долины, а в связи с этим и растительный покров.

После заметного иссушения климата в среднем голоцене и окончательного освобождения низменности Иори от речных разливов всю низменность заселяют пойменные леса весьма разнообразного состава.

Здесь же в местах выхода грунтовых вод все еще развита болотная растительность и до последнего времени шло образование торфа, палинологический анализ которого показал отмеченное выше состояние растительного покрова на данной территории до уничтожения лесов человеком.

#### డୁଅନ୍ଧରାଜଶ୍ରୀ ଲୋକିଳାତ୍ମକା — ଉଚ୍ଚପରିଷଦ୍ବାଟରେ ଉପରେ

1. Ե. Ա. Յանձնութեալ օ. Տայքարտացանութեալ մշցեանը պահանջութեալ սագարի, 1960.
  2. Ե. Ա. Յանձնութեալ օ. Օղմանացանութեալ տայքարտացանութեալ բառական բառականը պահանջութեալ սագարի, XVII, 1942.
  3. И. М. Крашенинников. Географические работы. География, М., 1951.
  4. И. И. Тумаджанов. К постплиоценовой истории лесной растительности Сев. Кавказа. Труды Тбилисской ботанической станции, XVII, 1955.
  5. Д. В. Церетели. Рельеф и четвертичные отложения Гаре-Кахетинского плоскогорья. Фонды Института географии им. Вахушти АН ГССР, 1954 (на груз. яз.).
  6. А. Д. Варданянц. Постплиоценовая история... Ереван, 1949.

## ФИЗИОЛОГИЯ РАСТЕНИЙ

Л. И. ДЖАПАРИДЗЕ (академик АН ГССР), Д. В. КОТАЕВА,  
Е. И. ЧХУБИАНИШВИЛИ

### ДИНАМИКА НУКЛЕИНОВЫХ КИСЛОТ В ЛИСТЬЯХ НЕКОТОРЫХ ЛИСТОПАДНЫХ ПОРОД В ТЕЧЕНИЕ ВЕГЕТАЦИИ

Настоящее исследование проведено в связи с изучением половых различий в составе и содержании нуклеиновых кислот у двудомных растений. Этот вопрос не затронут в доступной нам литературе и, по-видимому, только начинает привлекать к себе внимание исследователей [1].

Исследовались листья двудомных древесных листвопадных пород, произрастающих в Тбилисском ботаническом саду. Подготовка материала для анализа состояла в замораживании измельченных листьев и их лиофильной сушке при температуре жидкого азота по методике Б. Б. Вартапетяна [2], а также в обработке ацетоном для удаления пигментов [3]. В таком материале нуклеиновые кислоты определялись по Шнейдеру, как это описано у А. Н. Белозерского и Н. И. Проскурякова [4]. ДНК определялась по Дише, а РНК вычислялась по разности между НК и ДНК. Сроки взятия образцов приурочены к фенофазам, отражающим основные моменты в вегетации растений.

В настоящем сообщении представлены результаты исследования трех видов растений: тулы (*Morus alba* L.), фисташника (*Pistacia lentiscus* F. et Mey.) и айланта (*Ailanthes glandulosa* Desf.). Данные анализов сведены в таблицу.

Оказалось, что общее содержание НК в листьях закономерно изменяется в течение вегетации. В первую половину вегетации содержание НК быстро снижается и доходит до минимума ко времени цветения. В дальнейшем, с серединой июня, их содержание уже так резко не меняется и держится почти на одном уровне (отклонение отмечено в двух случаях: в мае у тулы и в сентябре у фисташника).

ДНК снижается к моменту цветения у всех растений, но характер дальнейших изменений различен у отдельных видов: у айланта в средние сроки отмечено резкое снижение, у фисташника колебания происходят в узких пределах, а у тулы выражено постепенное повышение со снижением в июне, к цветению.

В соответствии с означенными изменениями содержание РНК постепенно и закономерно снижается от весны к осени, но в последнем, сентябрьском, сроке оно показывает повышение.

Итак, для листьев листвопадных пород отмечено закономерное изменение содержания НК в течение вегетации. Основное общее изменение состоит в значительном снижении НК в первую половину веге-

Содержание нуклеиновых кислот в % от сухого веса ( $M \pm m$ )

Сроки и фазы вегетации	Кислоты	Тута	Фисташник	Айрант	Среднее
Апрель. Почки в покоящемся состоянии	НК	1,56±0,25	3,60±0,09	4,02±0,85	3,06±0,37
	ДНК	0,024±0,001	0,012±0,002	0,039±0,009	0,025±0,004
	РНК	1,40±0,12	3,52±0,06	4,36±1,20	3,09±0,46
Май, 1-я половина. Распускание почек и рост листьев	НК	1,89±0,25	2,7±0,16	3,57±0,25	2,72±0,22
	ДНК	0,033±0,005	0,009±0,001	0,032±0,003	0,024±0,003
	РНК	1,98±0,13	2,72±0,29	3,54±0,25	2,75±0,22
Май, 2-я половина. Оформившиеся листья	НК	0,77±0,14	1,73±0,08	1,31±0,04	1,27±0,09
	ДНК	0,041±0,009	0,007±0,001	0,018±0,002	0,022±0,004
	РНК	0,72±0,11	1,72±0,07	1,29±0,05	1,24±0,08
Июнь. Цветение	НК	0,76±0,11	1,60±0,09	1,04±0,19	1,13±0,13
	ДНК	0,040±0,005	0,008±0,001	0,018±0,006	0,022±0,002
	РНК	0,37±0,007	1,57±0,09	1,02±0,10	0,70±0,07
Июль. Развитие плодов (у туты—созревание)	НК	0,42±0,04	1,44±0,09	1,10±0,16	0,70±0,10
	ДНК	0,035±0,006	0,012±0,001	0,022±0,002	0,023±0,003
	РНК	0,43±0,04	1,46±0,10	1,07±0,21	0,99±0,12
Сентябрь. Созревание плодов	НК	0,36±0,06	1,90±0,18	0,78±0,34	1,01±0,19
	ДНК	0,036±0,006	0,012±0,0004	0,038±0,0005	0,032±0,0023
	РНК	0,31±0,05	1,66±0,10	0,14±0,02	0,70±0,06

тации до минимума в период цветения. Такая динамика связана не только с увеличением массы листьев, так как изменения в содержании НК наблюдаются и после их полного оформления. Видовые особенности накладывают свой отпечаток на содержание нуклеиновых кислот: меньше всего их у туты, а высокое содержание отмечено у айранта.

Академия наук Грузинской ССР

Институт ботаники

(Поступило в редакцию 26.2.1966)

მონარქთა ფიზიოლოგია

ლ. ჯაპარიძე (საქართველოს სსრ მეცნ. კადეტის ეკადემიკოსი) დ. კოტავა,

ი. ჩხუბიანიშვილი

ნუკლეინის მუდმივი დინამიკა ზოგიერთი ფოთოლცვენია ჯიშის  
ფოთლებში ვეგეტაციის განვითარების

რეზიუმე

გამოკვლევა ჩატარდა ორსახლიან მცენარეებში ნუკლეინის მუკლების შედენილობისა და შემცველობის სქესობრივ სხვაობათა შესწავლასთან დაკავშირებით. ხელმისაწვდომ ლიტერატურაში ეს საკითხი არ განხილულა და, როგორც ჩანს, მხოლოდ ეჩლა ისყრობს მკვლევართა უურადღებას [1].

გამოკვლეული იყო თბილისის ბოტანიკურ ბაღში მოზარდი ორსახლიანი ფოთოლცვენია მერქნიანი მცენარეების ფოთლები. საანალიზო მასალის მომზადება მდგომარეობდა იმაში, რომ დაქუცხაცებული ფოთლები იყინებოდა და ლიოფილურად შრებოდა ოხევადი აზორის ტემპერატურაზე, თანამდებარებული მერქნიანის მეთოდიების [2], რის შემდეგ მუშავდებოდა აცეტონით, პიგმენტების მოსაცილებლად [3]. ამ მასალაში ნუკლეინის მეჯვები განისაზღვრა შენიდერის მიხედვით. როგორც ეს აღწერილი აქვთ ბელოზერსკის და პროსკურიაკოვს [4], დეზოქსირიბონუკლეინის მეჯვები განსაზღვრული იყო დიშეს მიხედვით, ხოლ რიბონუკლეინის მეჯვები გამოოვლილია ნე და ღრმ შორის სხვაობიდან. ნიმუშების აღნიშვნა ვადები შეესაბიერებოდა მცენარეების ვეგეტაციის ძირითადი მომენტების ამსახველ ფენოფაზებს.

წინამდებარე წერილში მოგვყავს სამი სახეობის მცენარეთა გამოკვლევის მონაცემები: თუთის (*Morus alba* L.), სალალაშის (*Pistacia mutica* F. et Mey) და ხემყრალასი (*Ailanthus glandulosa* Desf.). ანალიზების შედეგები მოცემულია 1 ცხრილში.

აღმოჩნდა, რომ ფუთლებში ნე შემცველობა კანონზომიერად ცვლება ვეგეტაციის მანძილზე, ვეგეტაციის პირველ ნახევარში ნუკლეინის მეჯვათ რაოდენობა სწრაფად კლებულობს და მინიმუმამდის ეცემა ყვავილობის დროისათვის. შედეგში, ივნისის შუარიცხვებიდან მათი შემცველობა უკვე ისეთ მკვეთრ ცვლილებებს აღიარ განიცდის და თითქმის ერთ დონეზეა წარმოდგენილი (გადახრა აღინიშნა ორ შემთხვევაში: თუთისათვის მასში და სალალაშისათვის სექტემბერში).

დნმ კლებულობს ყველა მცენარეებში, ყვავილობის დროისათვის, ხოლო შედეგი ცვლილებები განსხვავებულია ცალკეულ სახეობებში: ხემყრალასათვის აღინიშნება მკვეთრი შემცირება შუა ვადებში, სალალაში მერყეობა არ სცილდება ვიწრო ფარგლებს, ხოლო თუთაში — გამოსახულია თანდათანობითი მატება (ერთი შემცირებით იყნისში, ყვავილობისას).

აღნიშნულ ცვლილებათა შესაბამისად, რნმ-ს შემცველობა თანდათანობით კანონზომიერად კლებულობს გაზაფხულიდან შემოდგომამდის, მაგრამ ბოლო ვადაში — სექტემბერში, აქვს მომატება.

ამგვარად, ფოთოლცვენია ჭიშების ფოთლებისათვის აღინიშნა ნუკლეინის მეჯვეების შემცველობის კანონზომიერი ცვლილებები ვეგეტაციის მანძილზე. ძირითადი, შესწავლილი მცენარეებისათვის საერთო ცვლილება გამოიხატება ნმ-ის მნიშვნელოვან დაკლებაში ვეგეტაციის პირველ ნახევარში და მინიმუმამდე დაცემაში ყვავილობის პერიოდში. აამდენად ნმ-ის შემცველობის ცვლილებები ფოთლების სრული გაფორმების შემდეგაც აღინიშნება, იმდენად ამგვარი ღინამიერა არ არის დაკავშირებული მხოლოდ ფოთლის მასის მატებასთან.

სახეობრივი თვეისებურებანი გარკვეულ დაღს ასვამენ ნუკლეინის მეჯვეთა რაოდენობაზე: თუთაში შათი რაოდენობა მცირეა, ხოლო მაღალი შემცველობა დადგენილია ხემყრალას ფოთლებისათვის.

ეკონომიკური ლიტერატურა — ЦИТИРОВАННАЯ ЛИТЕРАТУРА

1. П. И. Кубарев. О различиях между мужскими и женскими соцветиями кукурузы по содержанию нуклеиновых кислот. Физиология растений, т. 12, вып. 6, 1965, 968—970.
2. Б. Вартапетян. Упрощенная модель лабораторного прибора для высушивания биологических материалов методом быстрого замораживания — высушивания. Физиология растений, т. 7, вып. 6, 1960, 740—741.
3. Д. В. Котаева. О содержании нуклеиновых кислот в активной зоне корней виноградной лозы. Сообщения АН ГССР, XXXVI : 1, 1964, 157—160.
4. А. Н. Белозерский и Н. И. Проскуряков. Практическое руководство по биохимии растений. М., 1951.

## МИКРОБИОЛОГИЯ

М. М. ИВАНОВ, Т. А. КОБАХИДЗЕ

### БИОХИМИЧЕСКИЕ И СЕРОЛОГИЧЕСКИЕ СВОЙСТВА *VIBRIO AVIUM* И МЕТОД ЕГО ЛИОФИЛИЗАЦИИ

(Представлено членом-корреспондентом Академии Л. П. Каландадзе 25.3.1966)

— В процессе изучения вибриозной инфекции у птиц Грузинской ССР в крупных птицеводческих хозяйствах у кур были выделены культуры вибрионов, из которых нами изучаются шесть штаммов. Микроны выделялись из печени и желчи павших и забитых кур (табл. 1).

Таблица 1  
 Наименование и происхождение штаммов изучаемых нами вибрионов

№ штамма	Дата выделения	Наименование хозяйств	Возраст птиц	Вибрионы выделены из
2	12.I.65	Тбилисская птицефабрика	Курица-несушка	желчи
3	20.II.65	Самгорский племптице-совхоз	Молодняк 108 дней	печени
6	2.III.65	Тбилисская птицефабрика	Курица-несушка	желчи
7	3.IV.65	Тамарисская птицефабрика	Курица-несушка	печени, желчи
8	14.IV.65	—	Молодняк 3,5 месяца	желчи
9	25.V.65	Тбилисская птицефабрика	Молодняк 3 месяцев	печени, желчи

С целью определения видовой принадлежности вибрионов нами проведены биохимические и серологические исследования изучаемых штаммов.

Для определения биохимических свойств изучаемые микробы параллельно с *Vibrio Metchnikovi* — штаммом № 115 и *Vibrio paracholera* (водные вибрионы) — штаммом № 51 культивировались на специальных питательных средах и учитывались их биохимические свойства (табл. 2).

Как видно из табл. 2, вибрионы, выделенные у кур, резко отличаются от известных штаммов и они каталазапозитивны, не ферментируют углеводы, не образуют сероводород и индол, ощелачивают среду, не растут на полужидком агаре (ПЖА) с добавлением 3,5% NaCl и 1%

глицина. При этом метод Флорана [1] — дифференциация видов вибрионов по образованию сероводорода и по росту на среде с 1% глицина — имеет только вспомогательное значение.

Таблица 2

## Биохимические свойства изучаемых нами вибрионов

№ штамма	Отношение к CO <sub>2</sub>	Каталаза	Индол	Щелочеобразование	Кислотообразование	Рост на питательных средах			Сероводород (H <sub>2</sub> S)	Глюкоза	Сахароза	Лактоза
						ПЖА с 2% бичи желчи	ПЖА с 3,5% NaCl	ПЖА с 1% глицина				
2	Факульт. анаэроб.	+	—	—	—	+	—	—	—	—	—	—
3	—	+	+	++	—	++	—	—	—	—	—	—
6	—	+	+	++	—	++	—	—	—	—	—	—
7	—	+	+	++	—	++	—	—	—	—	—	—
8	—	+	+	++	—	++	—	—	—	—	—	—
9	—	+	+	++	—	++	—	—	—	—	—	—
115	аэроб.	++	++	++	—	++	++	++	+	—	—	—
51	—	+	+	++	—	+	++	++	+	—	—	—

Для изучения серологических свойств изучаемых нами штаммов (2, 3, 6, 7, 8, 9) нами изготовлены антигены и гипериммунные сыворотки. С целью определения их видовой принадлежности были поставлены перекрестные реакции агглютинации (РА) с антигенами и гипериммунными сыворотками известных вибрионов I типа — *Vibrio venerealis*-98 и II типа *Vibrio intestinalis*-28. Антигены этих штаммов были получены из Государственного научно-контрольного института ветеринарных препаратов МСХ СССР, гипериммунные сыворотки — из Витебской биофабрики.

Результаты серологических исследований по РА отражены в табл. 3, которая показывает, что антигенные свойства изучаемых нами штаммов, выделенных от кур, отличаются от других серологических типов вибрионов. Куриные виброзные антигены в РА обладали выраженной видовой специфичностью с сыворотками гомологического типа.

Антигены из штаммов 98 (I тип) и 28 (II тип) давали отрицательную реакцию с сыворотками штаммов куриных вибрионов.

Из изучаемых нами штаммов куриных вибрионов два (2 и 6) по своей серологической специфичности отличались от всех остальных. Изучение этих двух штаммов продолжается.

С целью стандартизации и длительного хранения вибрионов нами разработана методика лиофилизации микробов их сублимацией, при которой в качестве защитной среды применяется обезжиренное коровье молоко. Высушенные нами вибрионы штаммов (2, 3, 6, 7, 8, 9) под надлежащим вакуумом сохраняют свои биологические и другие свойства не менее 6 месяцев (срок наблюдения), и получается типичный рост вибрионов на искусственных питательных средах.

Таблица 3  
ЗАРУБЕЖНЫЙ

Результаты серологического исследования по РА изученных нами (2, 3, 6, 7, 8, 9) и ГНИИ (98 и 28) штаммов вибронов.

Гипериммунная сыворотка	Антитела штамма 2				Антитела штамма 3								Антитела штамма 6							
	25	50	100	200	25	50	100	200	400	800	1600	3200	25	50	100	200	400	800	1600	3200
Штамм 2	—	—	—	—	—	—	—	—	—	—	—	—	—	—	—	—	—	—	—	—
— 3	—	—	—	—	—	—	—	—	—	—	—	—	—	—	—	—	—	—	—	—
— 6	—	—	—	—	—	—	—	—	—	—	—	—	—	—	—	—	—	—	—	—
— 7	—	—	—	—	—	—	—	—	—	—	—	—	—	—	—	—	—	—	—	—
— 8	—	—	—	—	—	—	—	—	—	—	—	—	—	—	—	—	—	—	—	—
— 9	—	—	—	—	—	—	—	—	—	—	—	—	—	—	—	—	—	—	—	—
— 98	—	—	—	—	—	—	—	—	—	—	—	—	—	—	—	—	—	—	—	—
— 28	—	—	—	—	—	—	—	—	—	—	—	—	—	—	—	—	—	—	—	—
Контроль на самоагглютинацию антигенов	Штамм-диссоциант				Отрицательный								Отрицательный							

Факторные критерии в серологическом методе...

## Продолжение таблицы 3

Гипериммунная сыворотка	Антитела штамма 7										Антитела штамма 8										Антитела штамма 9										
	25	50	100	200	400	800	1600	3200	25	50	100	200	400	800	1600	3200	25	50	100	200	400	800	1600	3200	25	50	100	200	400	800	1600
Штамм 2	хх	хх	хх	хх	хх	хх	хх	хх	хх	хх	хх	хх	хх	хх	хх	хх	хх	хх	хх	хх	хх	хх	хх	хх	хх	хх	хх	хх	хх		
	хх	хх	хх	хх	хх	хх	хх	хх	хх	хх	хх	хх	хх	хх	хх	хх	хх	хх	хх	хх	хх	хх	хх	хх	хх	хх	хх	хх	хх		
+ 3	хх	хх	хх	хх	хх	хх	хх	хх	хх	хх	хх	хх	хх	хх	хх	хх	хх	хх	хх	хх	хх	хх	хх	хх	хх	хх	хх	хх	х		
+ 6	ххх	хх	—	—	—	—	—	—	х	—	—	—	—	—	—	—	хх	—	—	—	—	—	—	—	—	—	—	—	—	—	
+ 7	хх	хх	хх	хх	хх	хх	хх	хх	хх	хх	хх	хх	хх	хх	хх	хх	хх	хх	хх	хх	хх	хх	хх	хх	хх	хх	хх	хх	хх		
+ 8	хх	хх	хх	хх	хх	хх	хх	хх	хх	хх	хх	хх	хх	хх	хх	хх	хх	хх	хх	хх	хх	хх	хх	хх	хх	хх	хх	хх	хх		
+ 9	хх	хх	хх	хх	хх	хх	хх	хх	хх	хх	хх	хх	хх	хх	хх	хх	хх	хх	хх	хх	хх	хх	хх	хх	хх	хх	хх	хх	хх		
+ 98	—	—	—	—	—	—	—	—	—	—	—	—	—	—	—	—	—	—	—	—	—	—	—	—	—	—	—	—	—	—	
+ 26	—	—	—	—	—	—	—	—	—	—	—	—	—	—	—	—	—	—	—	—	—	—	—	—	—	—	—	—	—	—	

Контроль на само-  
агглютинацию а-  
глобулинов

Отрицательный

Отрицательный

Отрицательный

Продолжение таблицы ЭМПРОБУСО  
СПЕЦИФИЧНОСТЬ

Гипериммунная сыворотка	Антиген штамма 98, I тип				Антиген штамма 28, II тип			
	25	100	200	400	25	50	100	200
Штамм 2	—	—	—	—	—	—	—	—
“ 3	—	—	—	—	—	—	—	—
“ 6	—	—	—	—	—	—	—	—
“ 7	—	—	—	—	—	—	—	—
“ 8	—	—	—	—	—	—	—	—
“ 9	—	—	—	—	—	—	—	—
“ 98	xx xx	xx xx	xx xx	xx xx	—	—	—	—
“ 28	—	—	—	—	xx xx	xx xx	xx xx	xx xx
Контроль на самотагглютинину антигенов	Отрицательный				Отрицательный			

## Выводы

1. На основании комплексного изучения биохимических свойств штаммов вибрионов, выделенных у кур, в сравнении с *Vibrio Metchnikovii* и *Vibrio paracholera*, и серологических свойств антигенов и сывороток в прямом и перекрестном опытах по РА и *Vibrio venerealis*-98 и *Vibrio intestinalis*-28 установлено наличие самостоятельного вида куриного вибриона, который назван *Vibrio avium*.

2. Комплексное изучение морфологических, биохимических и серологических свойств вибрионов позволяет определить их видовую принадлежность.

3. Разработанный нами метод лиофилизации вибрионов сублимацией, при котором в качестве защитной среды используется обезжиренное коровье молоко, дает возможность длительного хранения вибрионов с сохранением биологических и других свойств.

Грузинский зоотехническо-ветеринарный  
учебно-исследовательский институт

(Поступило в редакцию 29.3.1966)

ЗАКРЫТОЕ АКЦИОНЕРНОЕ ОБЩЕСТВО

г. Тбилиси, ул. Гоголевская

*VIBRIO AVIUM*-ს ბიომარკეტი და სეროლოგიური თვალსწინები  
და განვითარების მიმღები სამსახური  
რეზიდენცია

ჩვენ მიერ ფრინველის ვიბრიოზის აღმძვრელის თვისებების შესწავლისას  
დადგენილ იქნა, რომ ისინი მორფოლოგიური, ბიოქიმიური და სეროლოგიური



თვისებებით განსხვავდებიან *Vibrio Metchnikovii*-სა და *Vibrio paracheleter*-ს მიერობებისაგან. ქათმებისაგან გამოყოფილი ვიბრიონები მკვეთრად განიჩევიან ცნობილი ვიბრიონების შტამებისაგან, არიან კატალიზაციული ტოტი, არ აზღვნენ შაქტების ფერმენტაციას, ვოგირდწყალბადისა და ინდოლის წარმოშობას, არ იზრდებიან 3,5% სუფრის მარილისა და 1% გლიცინის ნახევრად თხიერ აგარზე. მგვარად, ფლორანის [1] მიერ მოწოდებული მეთოდი იმის შესახებ, რომ ვიბრიონების დიფერენციაციისათვის საკმარისია კატალაზის წარმოშობა და 1% გლიცინის საკვებ ნიადაგებზე ზრდა, წარმოადგენს მხოლოდ დამხმარე მეთოდს.

ქათმებისაგან გამოყოფილი ვიბრიონების ანტიგენური თვისებების შესწავლისას როგორც პირდაპირ, ისე გვარედინ აგლუტინაციის რეაქციაში ნათლად ჩანს, რომ ისინი მკვეთრად განსხვავდებიან სხვა სეროლოგიური ტიპის ვიბრიონებისაგან. ქათმების ვიბრიონების ანტიგენებს აგლუტინაციის რეაქციაში აქვთ სახეობრუო სპეციფიურობის უნარი გომოლოგიური ტიპის შრატებთან. I ტიპის *Vibrio venerealis* და II ტიპის *Vibrio intestinalis* ანტიგენებმა, ქათმების გაბერიმუნულ შრატებთან მოგვცეს უარყოფითი რეაქცია.

ჩვენ მიერ შემუშავებულ იქნა ფრინჯელის ვიბრიოზის შტამების ლიოფილიზირებული გაშრობა სუბლიმაციის გზით. ყველა გამშრალი შტამი ინარჩუნებს თავის ბიოლოგიურ თვისებებს არანაკლებ 6 თვისა (დაკვირვების ვადა).

#### დამოუკიდელი ლიტერატურა — ЦИТИРОВАННАЯ ЛИТЕРАТУРА

1. A. Florent. Les deux vibrioses génitales du bétail bovin. La vibriose vénérienne due à *vibrio fetus* *venerealis* et la vibriose d'origine intestinale du *vibrio fetus* *intestinalis*. Proc. 16-th Intern. Vet. Congres, Madrid, 2, 1959, 953.
2. Б. И. Збарский, И. М. Иванов, С. Р. Магдашев. Биологическая химия. М., Медгиз, 1960, 132—134.
3. М. М. Иванов, В. В. Павловский, И. Г. Левина. Этиологическое значение различных видов вибрионов, обитающих в организме сельскохозяйственных животных и основы диагностики вибриозных инфекций. Труды ГНКИ, т. XII, 1964, 163—171.
4. И. Г. Левина. Биологические свойства вибриозных штаммов Труды ГНКИ, т. XII, 1964, 186.
5. В. В. Павловский. Оценка качества антигенов и методики постановки серологических реакций диагностики вибриоза у крупного рогатого скота. Труды ГНКИ, т. XI, 1962, 87—93.

პიღრობილობის

ზ. პირიძემა

ციონის წყალსაცავის ჰიდროლოგიური რეზიმის შესწავლის შესახებ

(წარმოდგინა ეკოლოგიის წევრ-კორესონდენტმა ლ. კალანდაძემ 25.4.1966)

წყალსაცავის ჰიდროლოგიური რეზიმის შესწავლას აქვს როგორც თეორიული, ისე პრაქტიკული მნიშვნელობა. წყალსაცავის პელაგიალისა და ბენტიალის მოსახლეობის ფორმირება მჭიდროდაა დაკავშირებული მისი ჰიდროლოგიური რეზიმის ფორმირებასთან. ამიტომ ჰიდროლოგიური რეზიმის ცოდნის გარეშე შეუძლებელია ნათელი წარმოდგენა ვიქონით წყალსაცავის სიცოცხლის პირობებისა და მისი სათევზმეურნეო თვალსაზრისით გამოყენების შესახებ.

ჰიდროტექნიკურ ნაგებობათა ინტენსიურ მშენებლობასთან დაკავშირებით, ამჟამად გატხოველებული მუშაობა მიმდინარეობს წყალსატევების ბიოლოგიის შესასწავლად. როგორც ვ. უ. დ. ი. ნ. [1] მიუთითებს, დღეს მსოფლიოს სხვადასხვა ენებზე მრავალი შრომა ეძლენება წყალსაცავების ბიოლოგიის შესწავლას.

ჩვენს რესპუბლიკაშიც თანდათანობით იზრდება ჰიდროტექნიკურ ნაგებობათა მშენებლობა და წყალსაცავების რიცხვი, რომელიც ამჟამად 10-ზე მეტია (ტყიბულის, შაორის, ხრამის, თბილისის, ოკმის, მარაბდის, ყვარლის; სიონისა და სხვა). ზოგი მათგანი შესწავლილია ჰიდრობიოლოგიურად, ხოლო ნაწილი შეუსწავლელია.

სიონი ახლადშექმნილი წყალსაცავია (1963 წლის მარტში მოხდა მისი წყლით გავსება) და ჯერჯერობით ჰიდრობიოლოგიურად შეუსწავლელია. ჩვენ მიზნად დავისახეთ წყალსაცავის ზოოპლანქტონისა და ჰიდროლოგიური რეზიმის შესწავლა. ყოველთვიურად მასალის აღება და დაკირვებები მიმდინარეობს 1964 წლიდან და ამჟამადაც გრძელდება. ჯერჯერობით შესწავლილი გვაქვს ზოოპლანქტონის თეისობრივი შედეგებისა და ცალკეულ კომპონენტთა ზოგადი რაოდენობრივი დინამიკა [2].

ამასთან, ჩვენ მიერ საერთოდ მიღებული მეთოდების [3] საფუძველზე შეისწავლებოდა ჰიდროლოგიური რეზიმი და მისი ცალკეული კომპონენტის ცვალებით განმავლებაში (ტემპერატურა, ჟანგბადი, აქტიური რეაქცია, თავისუფალი ნახშირორეანგის შემცველობა, გამვევიზვალობა, წყლის ქიმიური შედეგენლობა). ჰიდრობიოლოგიური სამუშაოების ჩატარებისათვის წყალსაცავშე შერჩეულია 12 საღური, რომლებიც ისეა განლაგებული, რომ წყალსაცავის ცველა ძირითად უბანს მოიცავს.



ტემპერატურული რეჟიმის შესწავლას ვაჭრობის მიერაცხვაში დათ ყოველთვიურად (თვის შუა რიცხვებში) ყველა საღვურში.

ტემპერატურას ვონმაღლით წყლის ყოველ 5 მეტრის შრეში ზედაპირიდან ფსკერამდე ცეცურტის სისტემის გადმოსამზევავებელი თერმომეტრით. გაზომების შედეგების მიხედვით ვაღვენდით ყოველთვიური ტემპერატურული რეჟიმის ცხრილს ყველა საღვურისათვის და შემდეგ ვანგარიშობდით საშუალო სიღილეებს თოთოული შრისათვის.

საბოლოოდ შედგა წლიური ტემპერატურული რეჟიმის ცხრილი (ი. ცხრილი 1), სიღანაც ჩანს, რომ ზამთარში (დეკემბერი, იანვარი, ოქტომბერი) და ადრე გაზაფხულში (მარტში წყალსაცავში სრული პომოთერმია). იანვარში ყველა შრეში  $4,1^{\circ}$ -ია თებერვალში  $3,6^{\circ}$ -დან  $3,3^{\circ}$ -მდე მეტყობს, დეკემბერში  $7,5^{\circ}$ -დან  $7,1^{\circ}$ -მდე. ასეთივე სურათია მარტში.

#### ცხრილი 1

სიღნის წყალსაცავის ტემპერატურული რეჟიმი გრადუსობით (1964 — 1965 წლების მიხედვით)

სიღნები მ-თ	თ 3 3 3 3 3											
	I	II	III	IV	V	VI	VII	VIII	IX	X	XI	XII
	გ რ ა დ უ ს თ ბ ი თ											
0	4,1	3,6	3,2	12,5	16,2	19,8	21,3	22,3	19,2	14,3	11,6	7,5
5	4,1	3,5	3,2	7,5	14,1	18,3	18,9	21,4	18,8	14,3	11,6	7,5
10	4,1	3,5	3,2	6,6	11,3	14,3	17,3	20,8	18,3	14,3	11,6	7,4
15	4,1	3,5	3,2	5,9	10,3	12,3	15,4	17,4	17,4	14,3	11,5	7,4
20	4,1	3,4	3,2	5,3	9,8	10,1	13,2	14,5	15,6	14,1	11,5	7,4
25	4,1	3,4	3,2	5,1	7,4	9,1	12,2	13,3	14,2	14,2	11,4	7,4
30	4,1	3,4	3,2	4,8	5,9	7,4	9,9	11,4	12,6	13,8	11,3	7,4
35	4,1	3,4	3,1	4,8	5,6	6,7	8,9	10,2	11,2	13,3	11,2	7,4
40	4,1	3,3	3,1	4,8	5,2	5,8	8,2	8,8	9,8	13,3	10,2	7,3
45	—	—	—	4,8	5,1	5,7	7,5	7,7	8,7	12,2	9,4	7,3
50	—	—	—	—	5,1	5,1	6,3	6,5	6,8	9,3	7,8	7,1
55	—	—	—	—	—	—	6,1	6,3	6,6	7,7	—	—
60	—	—	—	—	—	—	6,0	6,2	6,4	—	—	—

პრილიდან იწყება წყლის ზედა ფენების თანდათანობითი გათბობა და გრძელდება სექტემბრიამდე. ამ პერიოდში ადგილი აქვს ტემპერატურის პირდაპირ სტრატიფიკაციას. სექტემბრიდან ზედა შრეების ტემპერატურა თანდათან ეცემა და დეკემბერში უთანაბრდება წყლის კვედა შრეების ტემპერატურას.

გაზაფხულშე (პრილი, მაისი) ტემპერატურულ ნახტომს ადგილი აქვს  $12,5^{\circ}$  და შრეებში ( $0-10$  მ-მდე). ასე, მაგ., პრილში  $0$  მ-ზე  $12,5^{\circ}$ -ია, ხოლო  $10$  მ-ზე  $6,6^{\circ}$ . ამგვარად, ამპლიტუდა უდრის  $5,9^{\circ}$ -ს. ასევე, მაისში—ზედაპირზე იგი აღწევს  $16,2^{\circ}$ -ს, ხოლო  $10$  მ-ზე უდრის  $11,3^{\circ}$ -ს; ამპლიტუდა კი  $4,9^{\circ}$ -ის ტოლია. კვედა შრეებში ამ დროს პომოთერმიაა.

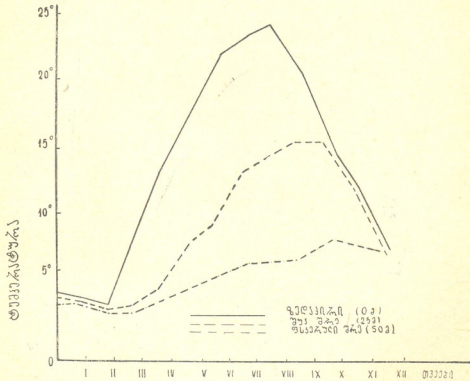
ზოგჯერ შემცირდება მისამართი ტემპერატურის პირდაპირ სტრატიფიკაციას აქვს ადგილი. ზოგიერთ შრეში ვეღდავთ მნიშვნელოვან ტემპერატურულ ნახტომებს.

შემოღვიმზე წყალსაცავში ზედაპირიდან 40 მ-მდე თოთქმის პომოთერმია ან პირდაპირ სტრატიფიკაციაა, ხოლო ფსკერულ შრეებში ( $40-60$  მ) ტემპერატურული ნახტომებია. ამპლიტუდა 10 მეტრზე  $3-4^{\circ}$ -ია.

საერთოდ ტემპერატურა წლის განმავლობაში შემდეგ ფარგლებში ცვალებადობს: ზედაპირზე  $3,2^{\circ}$ -დან  $22,3^{\circ}$ -მდე; შუა შრეებში ( $25$  მ)  $3,2^{\circ}$ -დან  $14,2^{\circ}$ -მდე, ხოლო ფსკერულ შრეში ( $50$ )  $6,0^{\circ}$ -დან  $9,3^{\circ}$ -მდე.

ჩადგან წლის განმავლობაში სიონის წყალსაცავის წყლის დონე მეტად მერყეობს, ზოგიერთ თვეში ტემპერატურის შესახებ მონაცემები 1 ცხრილში არაა მოცემული უდიდეს სიღრმემდე.

მოცვეავს ტემპერატურული რეკიმის წლის განმავლობაში ცვალებადობის გრაფიკული სურათი (იხ. სურ. 1).



სურ. 1.

გამჭვირვალობა. წყლის გამჭვირვალობას ვსაზღვრავდით ყველა სადგურში სეკის დისკის საშუალებით. გამჭვირვალობა ცვალებადობს როგორც სეზონურად, ისე ცალკეულ სადგურებშიც ერთსა და იმავე დროს. სხვა სეზონებთან შედარებით წყალი გაზიფთულზე ყველაზე უფრო ნაკლებგამჭვირვალეა. ასე, მაგ., აპრილში მდინარის შესართავთან გამჭვირვალობა  $0,25$  მ-ია, წყალსაცავის შუა წელში  $0,7—1$  მ-ია, ხოლო ჭებირთან —  $0,8—0,9$  მ-ია. შემოღომაზე გამჭვირვალობა შესართავთან  $2,1$  მ იყო, შუა წელსა და ჭებირთან  $2,5—2,6$  მ.

გარდა ამისა, გამჭვირვალობა ცვალებადობს ატმოსფერული ნალექების, ლელვისა და სხვა გარემო ფაქტორების მოქმედებით.



უანგბადის შემცველობა. ყოველ სადგურში ბატონმეტრით გადაგვჭრიათ შუალებით შრეებრივად ეილებდით წყლის სინჯებს და გადაგვჭრინდა მუჟკედლებიან, მილესილსაცობიან უანგბადის ბოთლებში. სინჯებს ადგილზევე ვაიფისირებდით  $MnCl_2$ -ისა და  $NaOH + KJ$ -ის ხსნარებით, რომლის დროს უანგბადი იბოჭება და ნალექის სახით  $[Mn(OH)_2]$  ეშვება ჭურჭლის ფსკერზე. შემდეგ წყლის სინჯები მოგვჭრინდა ლაბორატორიაში, სადაც ვინქლერის მეთოდით ესაზღურავდით უანგბადის შემცველობას 1 ლ წყალში ( $\text{მგ/ლ}$ ). ერთი წლის განმავლობაში ჩატარებული გამოკვლევის შედეგები მოგვავს მე-2 ცხრილში.

## ცხრილი 2

სიონის წყალსაცავის წყალში  $O_2$ -ის საშუალო შემცველობის ( $\text{მგ/ლ-ში}$ ) ცვალებაღობა წლის განმავლობაში (1964—65 წლების მიხედვით)

მდგრადი სივრცი	თ ვ ი ვ ბ ი											
	I	II	III	IV	V	VI	VII	VIII	IX	X	XI	XII
0	12,42	12,40	12,86	11,74	10,36	8,94	8,72	8,44	8,52	7,70	8,20	10,62
10	12,34	12,46	12,84	11,64	10,12	8,94	7,68	8,44	8,34	7,46	8,14	9,92
20	12,30	11,96	12,92	11,26	9,92	8,94	7,46	8,15	6,50	7,64	8,00	9,76
30	11,92	11,72	13,16	11,12	9,92	9,56	7,94	8,00	5,62	6,28	7,34	9,44
40	11,52	11,64	13,12	10,70	9,92	9,56	8,00	7,20	6,56	6,00	7,16	8,80
50	—	—	—	10,42	10,04	9,64	8,12	7,14	6,42	5,90	6,42	8,16
60	—	—	—	—	—	9,56	7,70	7,00	6,12	5,42	—	—

როგორც მე-2 ცხრილიდან ჩანს, ზამთარში, როდესაც სრული ჰომოთერმია, უანგბადი ზედაპირიდან ქვედა ფენებისაკენ კლებულობს, ე. ი. ადგილი აქვს პირდაპირ სტრატიფიკაციას. ამ პერიოდში უანგბადი საკმაოდ ჭარბადა წარმოდგენილი (10,62—12,42 მგ/ლ ზედა ფენებში და 8,16-დან 11,64 მგ/ლ-მდე ფსკერზე ფენებში).

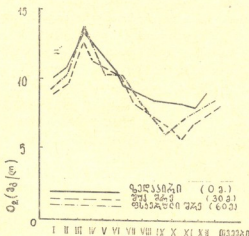
ადრე გაზაფხულზეც (ნარტი) სრული ჰომოთერმია წყალსაცავში, მაგრამ ამ დროს უანგბადის შებრუნებული სტრატიფიკაცია გვაქვს. ამ პერიოდში წლის განმავლობაში ყველაზე ჭარბადა წარმოდგენილი უანგბადი, განსაკუთრებით წყალსატევის ღრმა შრეებში. აქ უანგბადის შემცველობა 13,2 მგ/ლ-მდე აღწევს (110%), ე. ი. ეს შრეები ზედაპირულ გაჯერებულია უანგბადით, მაგრამ არც ზედაპირზეა იგი მცირე რაოდენობით (12,89 მგ/ლ).

შებრუნებული სტრატიფიკაცია და უანგბადის დიდი რაოდენობით შემცველობა, ჩვენი აზრით, უნდა აიხსნას ჭერ ერთი იმით, რომ 1965 წლის მარტის პირველი ნახევარი ხასიათდებოდა ძლიერი ქარებით და, ცხადია, წყალსაცავის დიდი დელვიო, რამაც გამოიწვია წყლის შრეების ძლიერი აღრევა. ამასთან, წყლის ტემპერატურა ამ პერიოდში ძალზე დაცემულია ( $3,4$ -დან  $3,1^\circ$  მ-დე).

აპრილიდან უანგბადის შემცველობა თანდათან მცირდება და ოქტომბერში გვაქვს მინიმუმი (ზედა შრეებში 7,70 მგ/ლ, ხოლო ფსკერზე 5,42 მგ/ლ), ამ ხნის განმავლობაში ძირითადად ადგილი აქვს პირდაპირ სტრატიფიკაციას.

წყალსაცავის სამი სხვადასხვა შრისათვის დამახასიათებელი სურათი მოცემული გვაქვს გრაფიკულად (ჩ. სურ. 2).

ამავე დროს წლის განმავლობაში უანგბადის შემცველობა შემდეგ ფარგლებში ცვალებადობს: ზედაპირზე 7,70-დან 12,96 მგ/ლ-მდე; შუა შრეებში 5,62-დან 13,16 მგ/ლ-მდე; ხოლო ფსკერზე 5,42-დან 9,56 მგ/ლ-მდე. საერთოდ კი 5,42 მგ/ლ-დან 13,2 მგ/ლ-მდე.



სურ. 2.

თავისულ ფარგლება ნახშირორეანგის შემცველობას ვსწავლობდით სეზონურად.  $\text{CO}_2$ -ის განსაზღვრას აღიალზევე ვახტენდით შემდეგი თანმიმდევრობით: ბატომეტრით შერეებრივად აღმული წყლის სინგიდან ვიღებდით 100 მლ წყალს, ვუმატებდით 0,1 მლ ფენოფტალინს და ვტიტრავდით 0,1 ნორდალობის ნატრიუმის ტუტის ხსნარით სუსტი ვარდასფერი შეფერვის მიღებამდე. გატიტვრას ვაწარმოებდით აღვილზევე დანაყოფებიანი პიპეტის საშუალებით. შედეგები მოგვყავს მე-3 ცხრილში.

## ცხრილი 3

სონის წყალსაცავის წყალში, თავისული და  $\text{CO}_2$ -ის შემცველობის  
(მგ/ლ) ცვალებალობა სეზონურად (1964 — 1965 წწ მიხედვით)

მდგრადი დრო	ს ე ზ ი ნ ი			
	განაფენდი	ზაფენდი	შემოდგომა	ზამთარი
0	3,96	3,92	5,28	4,24
10	3,52	3,96	6,16	4,40
20	4,84	4,18	6,16	4,92
30	5,12	4,62	6,18	5,12
40	5,28	5,20	6,34	5,38
50	5,72	5,82	6,60	5,62
60	6,20	—	—	—

მე-3 ცხრილიდან ჩანს, რომ გაზაფხულშე და ზაფხულში გაცილებით ჟღვანი  
ლია სხვაობა ნატშირორეანგის შემცველობაში ზედაპირსა და ფსკერულ შერებს  
შორის, ვიღრე შემოღვმება და ზამთარში. საერთოდ, ყველა სეზონში  $\text{CO}_2$ -ის  
შემცველობა ზედაპირიდან ფსკერისაკენ იზრდება. ზედაპირზე  $\text{CO}_2$  წლის გან-  
მავლობაში 3,96 მგ/ლ-დან 5,28 მგ/ლ-დან ცვალებადობს, ხოლო ფსკერულ შერე-  
ბა 5,6 მგ/ლ-დან 6,6 მგ/ლ-დან, საერთოდ კი—3,52 მგ/ლ-დან 6,6 მგ/ლ-დან.

წყალბადიონთა კონცენტრაცია (pH) ერთ-ერთი მნიშვნელოვანი აბიოტური ფაქტორია ჰიდრობიონტებისათვის. როგორც ცველა აბიონტური ფაქტორი, pH ცვალებადობს წყალსატევში სეზონურად და სილრმის მიხედვით. მისი ცვალებადობის მცირე ფარგლები დადგენთ მომენტს წარმარცვენ წყალსატევის ცხოვრებაში. მის მკვეთრ ცვლილებებს, რაც უარყოფითად მოქმედებს ჰიდრობიონტებზე, იწვევს  $\text{CO}_2$ -ისა და  $\text{O}_2$ -ის მკვეთრი ცვლილებები. ს. ზერნკეი [4] მოუთოთებს, რომ ნორმალური სიცოცხლე წყალსატევში ძალის მიღებულია pH-ის მუდმივობაზე, ხოლო მისი მკვეთრი ცვლილებები სა-სიკედილო (დამლუბველ) გავლენას ახდენს წყალსატევის ცოცხალ მოსახლეობაზე.

აქტიურ რეაქციას ვსაზღვრავდოთ ყველა სადგურში ადგილზე ეკოლოგიური მეტრული მეოთხდით (მაკრომიხელის პარატით). განსაზღვრა ხდებოდა 0,1 სი-ზოსტრით.

ჩეცნს მიერ ჩატარებული დაკვირვებების მიხედვით სიონის წყალსაცავში წყალბალიონთა კონცენტრაცია წლის განმავლობაში მცირე ფარგლებში ცვალებადობს (6,8-დან 7,6-მდე), რაც დავის მხრივ დადგებით მოვლენაა. ზამთრში pH ნაკლები ცვალებადობით სასათღება და დაბალია (6,8-დან 7,2-მდე). მაქსიმუმს აქტიური რეაქცია ზაფხულში აღწევს [7, 6]; ეს ცხადია, რადგან ამ დროს გაძლიერებულია ფორმისინთეზი, რაც განსაკუთრებით ზედა შრეებში იწვევება ნახშირორეანგის შთანთქმას და უანგბადის ინტენსიურ გამოყოფას, ხოლო ეს pH-ს მაღლა სწევს.

pH ცვალებადობს არა მარტო სეზონურად, არამედ სიღრმეების მიხედვითაც: ზედა შერებში იგი მეტია ფსკერულ შერებთან შედარებით (განსაკუთრებული შერებში). საერთოდ კი საონის წყალსაცავის წყალი ნეიტრალურია ან პირ ზემოთ განიცილებული სუსტი ტუტე რეაქციისა, რომელიც უმნიშვნელო ცვალებადობას განიცილის სეზონურად და სიღრმეების მიხედვით.

წყლის ქიმიური შედგენილობა. სინნის წყალსაცავიდან სეზონურად ვიღებდით წყლის სინჯებს, რომელთა სრული ქიმიური ანალიზი რესპუბლიკურ სანიტარულ-გიდურმოლოგიურ სადგურში ხდებოდა.

სიონის წყალსაცვევს წყალი მარილების კონცენტრაციის მიხედვით მიეკუთვნება ოლიგოზალინურ (მტენარი) წყალსატევთა ტიპს. მასში მარილიანობა 0,15% -თან 0,19%-მდე მირყობს.

0,15%<sup>0</sup>-და 0,19%<sup>0</sup>-დავ ფინანსობ. მიღებული შედეგებიდან ჩანს, რომ ქლორიდებისა და სულფატების რაოდენობა მცირდება გაზაფხულზე და ზამთარში, ხოლო ზაფხულსა და შემოღვამაზე მათი რაოდენობა იზრდება. კრბონატების რაოდენობა, პირექით, გაზაფხულსა და ზამთარში უფრო მეტია, ვიდრე ზაფხულსა და შემოღვომაზე.

$N_2O_3$  და  $N_2O_5$  მცირე რაოდენობითაა გაზაფხულსა და ზამთარში, ზაფხულში მხოლოდ  $N_2O_3$ -ია მცირე რაოდენობით, ხოლო შემოდგომაზე სრულიად არაა არცერთი.

სიონის წყალსაცავის წყალი მიეკუთვნება პიროლოგიულ კლასს და კალიუმიან ჯეფს. აზოტის შემცველი ბიოგენური ელემენტების შემცველობა მეტად უმნიშვნელოა.

მდგვარად, სიონის წყალსაცავის წყალში მთელი წლის განმავლობაში ჰარბადაა ჟანგბადი და დაკვირვების პერიოდში (1964—1965 წწ) არ შეინიშნება მისი დეფიციტი. გარდა ამისა, მცირე ფარგლებში ცვალებადობს pH, რაც თავის მხრივ დადგებითი მომენტით წყლის შემაღენლობაში არის ძირითადი ქიმიური ელემენტები, რომლებიც აუცილებელია წყალში ცოცხალი ორგანიზმების არსებობისა და გამრავლებისათვის. აღსანიშნავია ისიც, რომ დაკვირვების პერიოდში წყალსაცავის ზედაპირი ზამთარში არ გაყინულა.

შეიძლება დავასკვნათ, რომ სიონის წყალსაცავში სიცოცხლის კარგი პირობებია ზოოპლანქტონისა და ფიტოპლანქტონის არსებობისა და გამრავლებისათვის. ამდენად, წყალსაცავი შეიძლება გამოყენებულ იქნეს საოვაზმეურნეო თვალსაზრისით, რაც შემდგომში წყალსაცავის კომპლექსური გამოკვლევის შემდეგ მოხდება.

თბილისის სახელმწიფო უნივერსიტეტი

(რედაქტორი მოუკიდა 25.4.1966)

## ГИДРОБИОЛОГИЯ

З. М. КЕРЕСЕЛИДЗЕ

### К ИЗУЧЕНИЮ ГИДРОЛОГИЧЕСКОГО РЕЖИМА СИОНСКОГО ВОДОХРАНИЛИЩА

Р е з и м е

Изучение гидрологического режима водохранилища имеет большое теоретическое и практическое значение.

В 1964—1965 гг. нами исследовался гидрологический режим Сионского водохранилища. Были изучены температурный режим водохранилища, годовая динамика прозрачности, активной реакции (pH), растворенного в воде кислорода, свободной углекислоты и химический состав воды.

Термический режим Сионского водохранилища характеризуется прямой стратификацией температур летом, осенью и весной; в это время в поверхностных слоях наблюдаются температурные скачки. Зимой и ранней весной (март) имеет место полная гомотермия водных масс.

Сезонная динамика содержания растворенного в воде кислорода характеризуется следующими показателями: содержание кислорода достигает максимальных величин ранней весной (март) — в поверх-

на дне 13,2 мг/л; минимум наблюдается осенью (октябрь) — в поверхностных слоях 7,7 мг/л, а на дне 5,4 мг/л. Свободная углекислота в течение года меняется противоположно изменениям содержания кислорода.

Летом и зимой активная реакция поверхностных слоев воды лежит в слабощелочной области, придонных — в слабокислой или нейтральной области. Весной и осенью активная реакция слабощелочная во всем водохранилище.

Вода Сионского водохранилища принадлежит к гидрокарбонатному классу, к кальциевой группе. Содержание азотсодержащих биогенных элементов незначительно.

Изучение годовой динамики абиотических факторов воды Сионского водохранилища показало, что в водохранилище в течение года жизненные условия благоприятны для существования и размножения зоопланктона и вообще кормовой базы рыб.

Таким образом, на основе полученных нами предварительных данных можно рекомендовать водохранилище для рыбного хозяйства. Но этот вопрос требует дальнейшего более подробного изучения.

డ్రామాచంపలను లోపించుతారు — ЦИТИРОВАННАЯ ЛИТЕРАТУРА

1. В. А. Жадин и М. Б. Иванова. Обзор мировой литературы о водохранилищах. Труды VI совещания по проблемам биологии внутренних вод, 1956.
  2. Ֆ. Հ ր ե ւ ս օ մ ք. Խոմեն ֆյունկացիոն ֆունդամենտալ հումանիտար թղթականների մշակումը և զարգացումը. Խաբարական Արքական պատմական հայության մասին, XII:1, 1966.
  3. О. А. Алексин. Методы исследования физических свойств и химического состава воды. Жизнь пресных вод СССР, т. IV, ч. 2, М.—Л., 1959.
  4. С. А. Зернов. Общая гидробиология. М.—Л., 1949.

ანაზობია

ლ. ჩუბინიძე

ქვლისა და ქვლის ტვინის გაპილარების ასაკობრივი თავისებურებანი

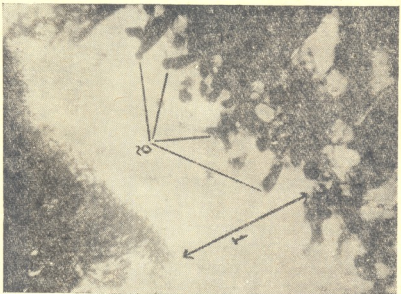
(წარმოადგინა აკადემიის წევრ-კორესპონდენტმა ნ. ჯავახშვილმა 5.4.1966)

ქვლის ტვინის გაპილარები ნაკლებადაა შესწავლილი, რადგან არ არსებობს ქვლის ტვინის სისხლის ძარღვების გამომეუღების დამაკაყოფილებელი მეთოდი.

ჩვენ შევისწავლეთ ქვლისა და ქვლის ტვინის კაპილარები სხვადასხვა ასაკის 30 ძალაშე. სისხლძარღვების ინტეცია კეთდებოდა ტუშ-ჟელატინის მასით მ. კონახიძის მეთოდით. საინექციო მასა შეგვყავდა სუბვიტალურად ეთერის ნარკოზით დასწურევი აორტიდან. საინექციო მასის შედედების შემდეგ (ჩვეულებრივ 24 საათის შემდეგ) ვაწარმოებდით ქვლების ამოსახსვას. შესასწავლა მასალას ვაფიქსირებდით ფორმალინში, შემდეგ ვაწარმოებდით ქვლების დეკალცინაციას 15%-იან აზოტმეაგვში (დეკალცინაციის ვადები დამოკიდებულია ქვლის კომპაქტური ნივთიერების სისქეზე; ჩვეულებრივ 2—7 დღე) და ვაყალიბებდით პარაფინში. პრეპარატები იჭრებოდა 100—200 მიკ. სისქის ანათლებად. მანდაფებოდა აგრეთვე 7—10 მიკ. სისქის ანათლებიც, რომლებიც იღებებოდა ჰემატოქსილინ-ერზინით.

ლევებში, დაბადებიდან 1 წლამდე, ბარძაყისა და დიდი წვივის ქვლების ეპიფიზებისა და დიაფიზის ქვლის ტვინის სისხლის ძარღვები ერთმანეთისაგან დამოუკიდებელია; ეპიფიზების ვენები და ორტერიები განცალკევებული არიან დიაფიზის სისხლძარღვებისაგან საზრდელი ხრტილით. ზრდის პროცესში ასაკის მატებასთან ერთად ეპიფიზების სისხლის ძარღვები შეიტრებიან დიაფიზში საზრდელი ხრტილის გავლით; დიაფიზის სისხლძარღვები კი, მიაღწევენ რა ეპიფიზურ ხრტილს, არასდროს არ გადიან მასში (სურ. 1). ეპიფიზების ქვლის ტვინის ვენური წნულები მდებარეობენ ღრუბლისებური ნივთიერების სივრცეებში. იმ წნულების სიღიდე დამოკიდებულია ღრუბლისებური ნივთიერების სიერცეების მოყვანილობაზე; მაგალითად, ბარძაყის ქვლის ყელის მიდამოში აღნიშნული წნულები უფრო მსხვილია, თავის მიდამოში კი — წვრილი. ვენური წნულები არასწორი, წვრილი მრავალჯუთისანი ფორმის მარყუებითა წარმოდგენილი. ეპიფიზების ქვლის ტვინის ვენური წნულის აგებულების ასაკობრივი ცვლილებები ჩვენ მიერ შესწავლილ მასალაზე დაბადებიდან ერთ წლამდე არ გამომეუღებდა.

გრძელი ლულისებრი ძვლების ეპიფიზების ძვლის ტვინში დიდი რაოდენობით ალინიშნება სხვადასხვა ფორმისა და სიდიდის ფუნქციურად მნიშვნელოვანი ვენური გაფართოებები — სინუსოდები, რომლებიც ძაღლებში 1 წლამდე შედარებით დიდი ზომისაა. ლულისებრ ძვლებში სინუსოდების პკვერთი განსაზღვრა ყოველთვის არა შესაძლებელი.



სურ. 1. 2 თესი ლულის დიდი წერილის ძვლის ზემო ეპიფიზი: 1—საზრდელო ხრტილი; 2—ეპიფიზის სისხლის ძარღვების შეკრა საზრდელ ხრტილში

გრძელი ლულისებრი ძვლების ეპიფიზებში ნათლად ჩანს სამი განსხვავებული ხასიათის სისხლძარღვოვანი ქსელი. ერთი, რომელიც მოთავსებულია კომპაქტურ ნივთიერებაში. წარმოდგენილია მრავალგუთხიანი წაგრძელებული მარყუჯებით და მოსაზღვრულია კაპილარებით. ორუბლისებურ ნივთიერებაში ეს ქსელი ძირითადად წარმოდგენილია საინექციო მასის ლაქებით, რომელთა შორის შეიძლება ვნახოთ კაპილარები. საზრდელი ხრტილის ვაჟულარიზაცია ხდება ეპიფიზიდან შეკრილი სისხლის ძარღვებით. საზრდელი ხრტილის მიმართულებით ეს სისხლის ძარღვები პერმნიან მტევნისებურ გაგანიერებებს (მრავალი ჭიბითა და გამობერილობებით). ზოგიერთი სისხლის ძარღვი მთელ საგრძეზე პკვეთს საზრდელ ხრტილს და უკავშირდება დიაფიზის სისხლის ძარღვებს. გრძელი ლულისებრი ძვლების ეპიფიზების ღრუბლისებურ ნივთიერებაში საინექციო მასის ლაქების მიერ შექმნილი ქსელი მსხვილია, კაპილარები ნაკლები რაოდენობით ალინიშნება. ამ ლაქისებური ქსელიდან საზრდელ ხრტილში შეიქრება თითოესებური წანაზარდების მსგავსი სისხლის ძარღვები, რომელთა უმ-



რავლესობა ბრმად თავდება. მაგრამ პარკის შექმნამდე საზრდელი ზრტილები ჭრიალებანი სხლის ძარღვები წარმოდგენილია არა ერთი ლეროთი, არამედ კაპილარების წნულით.

1 წლის ასაკამდე ძალვების გრძელი ლულისებრი ძელების ეპიფიზებში საინჯეციო მასა ასევე ლაქების სახით მოთავსებულია მხოლოდ თავისუფალ სიერცეებში. აამდენადაც ხრტილოვანი და ძვლოვანი ქსოვილი ამ ასაკში შედარებით უფრო ძლიერადაა განვითარებული, ამიტომ ლაქისებური ქსელიც ბევრად უფრო იშვიათად გვავდება, ვიდრე წინამორბედ ასაკებში. საგულისხმოა, რომ ცალკეულ ვაზალურ ლაქებს შორის კავშირი ხორციელდება ფორმირებული სისხლის ძარღვებით, რომლებიც ხრტილოვან-ძვლოვან ნივთიერებაში გაიღლიან. საზრდელი ხრტილისაკენ მიმართული სისხლის ძარღვები ამ შემთხვევაშიც იჩენენ ტენდენციას ბრმად დამთავრებისაკენ, მაგრამ არ ჰქმნიან დამახასიათებელ დაწესულ წანაზარდებს, რომლებსაც უფრო აღრეულ ასაკში აქვს ადგილი.



სურ. 2. ~ 4 წლის ძალვის დიდი წვევის ქვლის ზემო ეპიფიზიზე. ქვლის ტეინის ყველა სისხლძარღვევანი უბანი პერიოდის ერთიან სისხლძარღვევან სისტემას.

მოზრდილ ასაკში ძალვების გრძელი ლულისებრი ძელების ეპიფიზებში ქსელი გაშლილია ღრუბლისებური ნივთიერების ღრუებში. ცალკეული სივრცეების ქსელები ერთმანეთს უკავშირდება საქმაოდ ფართო სისხლის ძარღვებით, რომელთა კონტურები წარმოდგენილია სხევადასხვა ინტენსივობის მასით. ვარ-



და ამისა, ძვლოვან-ხრტილოვან ფირფიტებში არსებობს სივრცეები, შემთხვეულება შეიც გაიღლიან სრულიად ფორმირებული კაპილარები. ეს უკანასკნელი ერთ-მანეთთან აკავშირებენ სივრცეებში არსებულ ქსელებს.

გრძელი ლულისებრი ძვლების მეტაფიზების ქსლის ტვინის შესწავლაში გვიჩენა, რომ ადრეულ ასაკებში შენგბის მხრივ ძანი თითქმის არ განსხვავდებიან ეპიფიზების ძვლის ტვინის კაპილარებისაგან. ძვლს ტვინის გაცხიმება და კაპილარული ქსელის შესაბამისი ცვლილებები მეტაფიზებში, განსხვავებით ეპიფიზებისაგან შედგომ, ასაკებში მკვეთრადაა გამოხატული.

ლეველის გრძელი ლულისებრი ძვლების მეტაფიზების კომპაქტურ ნივთიერებაში კაპილარები ჰქმნიან წაგრძელებულ მარყუქოვან ქსელს. ხრტილოვან-ძვლოვნ ფირფიტებში ფორმირებული სისხლის ძარღვები ერთმანეთთან აკავშირებენ ღრუბლისებური ნივთიერების სივრცეებში არსებულ ლაქებს.

1 წლის ძალების გრძელი ლულისებრი ძვლების მეტაფიზებში საინექციო მასით მოსახლეობულია კაპილარული ქსელი, რომელსაც არ აქვთ მკვეთრი და სწორი კონტური. კაპილარული მარყუქების მოყვანილობა მრავალუთისანია და მოსახლეობას მომზრვალო-ოვალურ სივრცეებს, რომლებიც ცხიმოვანი უჭრედების კვალია.

მოხრდილ ასაკებში გრძელი ლულისებრი ძვლების მეტაფიზებში ღრუბლისებური ნივთიერების სივრცეები უფრო დიდია, ვიდრე ადრეულ ასაკებში და მათში არსებული კაპილარული ქსელი უფრო შეკვეთრად კონტურირებული სისხლის ძარღვებისაგან შედგება. კომპაქტურ ნივთიერებაში ჩანს სრულიად გაფორმებული სისხლის ძარღვები და კაპილარები მკვეთრად შემოსაზღვრული კონტურით, რომელთა განშტოებანი, შედის რა ღრუბლისებური ნივთიერების სივრცეებში, ჰქმნის ზემოთ დასახელებულ ქსელს. ქსლის ტვინის უჯრედები ჯგუფებადა განაწილებული, რომლებიც, ერთი შეხედვით, ქსელის შთაბეჭდილებას ტოვებენ. უჯრედების გროვებს შორის აღინიშნება როგორც საკმარისად მსხვილი ძარღვი გაფორმებული კედლით, არტერიოლებისა და ვენულების ყალიბისა, ისე საინექციო მასის გროვები, რომლებიც სივრცეებშია ჩასხმული. უჯრედოვანი ჯგუფები მოსახლეობავენ მომზრვალო-ოვალურ სივრცეებს, სადაც ჩალაგებულია ცხიმი.

გრძელი ლულისებრი ძვლების ღრუბლისებრი ნივთიერების ფირფიტების რადიალურ განლაგებას შეესატყვისება ძირითადი დიაფიზური არტერიის მიმართულებაც. ქსლის ტვინის მთავარი ვენური კოლექტორი — დიაფიზური ვენა — მკვებავი ხვრელით გამოდის.

1 წლის შედგე, როცა ძალების გრძელი ძვლების გაძევალების პროცესი მთლიანად დამთავრებულია, ქსლის ტვინის ცველა სისხლძარღვოვანი უბანი ერთიმეორესთან მჭიდროდაა შეკავშირებული და ჰქმნის ერთიან სისხლძარღვოვან სისტემას (სურ. 2).

მოკლე ლულოვანი ძვლებიდან შევისწავლეთ ნების 1 და წინა ტერფის I ქსლის სისხლის ძარღვები. ნების I ქსლის სისხლის ძარღვები ახალშობილ ლეპებში ერთმანეთისაგან განცალკევებულია. კავშირი დიაფიზისა და ეპიფი-

ზის სისხლის ძარღვებს შორის არ აღინიშნება. ზრდასთან ერთად სინოსტოზის განვითარების შემდეგ ეს განცალკევება ქრება — სისხლის ძარღვები ერთმანეთს უკავშირდებიან. სიბერეში სისხლის ძარღვების ყალიბი მცირდება და მათი რაოდენობა კლებულობს.

ტელის ტვინის ვენური სისტემა ნების I ძვალში ჰქმნის ერთიან წნულს, რომელიც ძვალშიდა და ტელის სახრდელის ნაწილებისაგან შედგება. ეპიფიზის ღრუბლისებრი ნივთიერების ვენური სისტემა შედგება ღიძი რაოდენობის ხისმაგვარად დატოტიანებული ძარღვებისაგან. ღიძი ზეიქმნება პროქსიმალური და დისტალური ხისმაგვარად დატოტიანებული ღეროებისაგან. ტელის შიდა ძირითადი ვენური ღეროები არტერიებს მიბყვებიან მხოლოდ მსხვილი ტოტების ფარგლებში. სისხლძარღვის ყალიბის შემცირებასთან ერთად არტერიებსა და ვენებს შორის მანძილი მატულობს, ხოლო წვრილი ვენები და არტერიები განცალკევებულად მდებარეობენ. ანალოგიური ლეკვების ნების I ტელის ხრტილოვანი ეპიფიზები შეიცავენ ერთმანეთისაგან განცალკევებულ სისხლის ძარღვებს, რომლებიც წარმოდგენილია არტერიული და ვენური ღეროებითა და კაპილარების ბადით.



სურ. 3. 2 თვის ლეკვის გალვიკერდის მე-12 მალის სხეული. მალის ტელოენი-ნაწილების სისხლის ძარღვები განცალკევებულია სტილოვანი ჩანაფენებით.

წინა ტერფის I ტელის სისხლის ძარღვები თავისი ძირითადი არქიტექტურით თთქმის არ განსხვავდებიან ნების I ტელის სისხლის ძარღვებისაგან. ახალშობილი ლეკვების ტელის შიდა სისხლის ძარღვები განცალკევებულია ერთმა-

წეთისაგან. ეპიფიზური ხრტილი ერთმანეთისაგან ანცალკევებს ეპიფიზებისა და დიაფიზის სისხლის ძარღვებს. ყავლაზე მკაფიო ასაკობრივ ცვლილებებს ამ-და დიაფიზის მთავარი არტერია. ჩაც გამოიხატება მისი ყალიბის შემ-ყრდნებული დიაფიზის მთავარი არტერია. ჩაც გამოიხატება მისი ყალიბის შემ-ყრდნებული და დატოტიანების რადიალური ტიპის მაგისტრალური ტიპით შეც-ცირქულაციაში და დატოტიანების რადიალური ტიპის მაგისტრალური ტიპით შეც-ცირქულაციაში. პირველი წლის ბოლოს მეტაფიზის არტერიები ეანასტომოზება დიაფი-ლაში. პირველი წლის ბოლოს მეტაფიზის არტერიები ეანასტომოზება დიაფი-ლაში.

ლულისებრი ძვლების არტერიული ქსელის ცვლილებები უშეალოდაა და-კავშირებული ცხოველის ზრდასა და გაძვალების პროცესთან. სისხლის ძარღ-ვების ასაკობრივი ცვლილებები არსებ არაა ისე მკვეთრად გამოიხატული, რო-გორც ძვლების სისხლის ძარღვებშიც, ჩადგან არცერთი ორგანიზმი არ იცვლება ასაკთან ერთად ისე მკვეთრად, როგორც ჩონჩხი.

ბრტყელი ძვლები (ნეკროზი, ბეჭი, მკერდის ძვალი) მდიდარია წერილი სი-სხლის ძარღვებით და ღარიბია კაპილარებით.



სურ. 4. 8 წლის ძალის გულმკერდის მე-12 მალის სხეული. სისხლის ძარღვები კემნინ ერთონ სისტემას.

ბეჭის ვასკულარიზაცია წააგივს ლულოვანი ძვლების სისხლის ძარღვების განაწილებას. ბეჭის სისხლის ძარღვებიც წარმოდგენილია კორტიკალური და პერიოსტალური სისხლის ძარღვებით. ახალშობილ ლექვს ქვეს კარგად განვითა-რებული ბეჭის ლატერალური კიდე, გარეთა კუთხე და მორჩები. ბეჭის ძვლის სისხლძარღვების განაწილება შეეფარდება ამ ძვლის არქიტექტურასა და განვი-თარებას.

ნეენების ქვლისშიდა არტერიები ძირითადად წარმოდგენილია სისხლძროვანი გოვანი ქსელით. აღნიშნული ქსელი ხშირია და წვრილმარყუელოვანი იქ, სადაც ნეენის ქლოვანი ნაწილი ხრტილოვანში გადადის. ქსელის სიმჭიდროვე პირობადებულია უწევრილესი ანასტომოზების დაცი რაოდგნობით. სისხლძარღვების განაწილება შეესაბამება ენერონდრალურ და პერიონდრალურ გაძვალებას და ეკენების ღრუბლისებური ნივთიერების შენებას. ქვლისა და მომიანად ორგანიზმის ზრდის პროცესის მანძილზე ზდება ქვლის სისხლძარღვების წარმოქმნა და უკუგანვითარება. დასაწყისში ქვლისშიდა არტერიები ერთამეორებულია მცირერიცხოვანი ანასტომოზებით არიან დაკავშირებულნი. ასაკის მომატებასთან ერთად ანასტომოზების რაცხვი თანდათან მატულობს და ზოგჯერ ეს სისხლძარღვოვანი კავშირები იმდენად ძლიერია, რომ შეიძლება შესცვალოს პირველადი სისხლძარღვები, მათთვის უკუგანვითარების შემთხვევაში. აღნიშნება აგრეთვე წვრილი ანასტომოზების თანდათანობით გაძლიერება, ვითარდება ახალი განშტოებანი; ჩნდება არკადები და რკალები, რომლებიც ასაკთან ერთად თანდათან სულ უფრო და უფრო ძლიერდებიან.

მოკლე ღრუბლისებრი ქვლებისა და ლულისებრი ქვლების ეპიფიზების ძვლისშიდა სისხლძარღვების არქიტექტურა ერთგარია, რაც აისანება ამ ქვლების განვითარებისა და შენების მსგავსებით.

1 წლამდე ასაკის ლეკვებში მალის სხეულის სისხლძარღვოვანი უბები განცალკევებულია ხრტილოვანი ჩანაფენებით (სურ. 3). მალაში სინოსტოზის განვითარებასთან ერთად ხდება მისი ყველა ცალკეული ნაწილის სისხლძარღვების ერთიმეორებულისთვის დაკავშირება და შეიქმნება ერთიანი არტერიული სისტემა (სურ. 4). ღრუბლისებრი ნივთიერება სიბერეში შეიცავს სისხლის ძარღვების მსხვილმარყუელოვან ქსელს, ძელოვანი ნივთიერების განლევის გამო; სისხლძარღვების სანათური მცირდება, ხოლო ნაწილი სისხლის ძარღვებისა ობლიტერაციას განიცდის.

საქართველოს სსრ მეცნიერებათა აკადემია

აღ. ნათებელის სახელობის

ექსპერიმენტალური მორფოლოგიის ინსტიტუტი

(რედაქციას მოუვიდა 5.4.1966)

## АНАТОМИЯ

Л. Г. ЧУБИНИДЗЕ

### ВОЗРАСТНЫЕ ОСОБЕННОСТИ КАПИЛЛЯРОВ КОСТИ И КОСТНОГО МОЗГА

#### Резюме

На материале 30 собак разного возраста были изучены капилляры кости и костного мозга. Инъекции производились тушь-желатиновой массой по Комахидзе, под общим наркозом. Кости фиксировались в

10% растворе формалина, декальцинировались в 15% растворе азотной кислоты и после обезвоживания в спиртах возрастающей концентрации заливались в парафин. Изготавливались срезы толщиной в 7—10 и 100—200 мк. Тонкие срезы окрашивались гематоксилином-эозином.

Возрастные изменения сосудистого русла длинных и коротких трубчатых костей соответствуют процессу окостенения. В неонатальном периоде сосудистое русло кости представлено обособленными сосудистыми областями (эпифизарные, метафизарные, диафизарные), которые не сообщаются между собой. В процессе роста с развитием синоостозов между сосудами эпифиза и метафиза устанавливаются связи через эпифизарный хрящ. Развитие соустий между сосудами различных частей кости в конечном счете ведет к формированию единой внутрикостной сосудистой системы. В старческом возрасте сосудистая сеть кости становится беднее, происходит перекалибровка сосудов в сторону уменьшения просвета.

Архитектура сосудистого русла ребер отражает энхондральный и перихондральный процесс окостенения и соответствует строению губчатого вещества ребер. Вначале между отдельными внутрикостными артериями имеются лишь единичные и тончайшие анастомозы, с возрастом анастомозы постепенно разрабатываются, увеличиваются как численно, так и в калибре и иногда настолько, что анастомоз может заменить первичный сосуд в случае его обратного развития. С возрастом отмечается новообразование капилляров, образование аркад и дуг.

Сосудистая система лопатки соответствует строению этой кости и ее развитию. По принципу сосудоснабжение лопатки сходно с васкуляризацией трубчатых костей: оно также обеспечено кортикальными и периостальными сосудами.

Устройство сосудистого русла позвонка тесно связано с процессом окостенения. По мере срастания частей позвонка все внутрикостные сосуды объединяются между собой анастомозами, образуя единую артериальную сеть.

ФИЗИОЛОГИЯ

С. А. ЧХЕНКЕЛИ

О РОЛИ АФФЕРЕНТНЫХ ИМПУЛЬСОВ ИЗ ЖЕЛУДКА В  
ФОРМИРОВАНИИ НАСЫЩЕНИЯ

(Представлено членом-корреспондентом Академии А. Н. Бакурадзе 26.4.1966)

В литературе накопился большой фактический материал, указывающий на значение состава крови, а именно сахара крови, который может воздействовать на определенные нервные центры, регулирующие пищевое поведение. Однако не менее важное значение придается в этом отношении импульсам, исходящим из пищеварительного тракта.

В настоящее время состояние голода и насыщения связывают со степенью утилизации глюкозы в гипоталамических отделах пищевого центра, особенно чувствительных к глюкозе [1, 2]. Наличие в вентромедиальном гипоталамусе клеток, избирательно чувствительных к глюкозе, было показано в опытах с применением золототиоглюкозы [3]. Окончательно это было доказано Анандом [4] при помощи прямых электрофизиологических наблюдений с применением микроЭлектродной техники. Однако, несмотря на эти убедительные доводы, трудно себе представить, чтобы в формировании пищевого поведения рецепция желудочно-кишечного тракта не имела бы никакого значения. На это указывают наблюдения многих исследователей, в том числе и И. П. Павлова [5], который, объясняя факт торможения пищевого центра после поступления пищи в желудок, писал: «Это происходит, несомненно, от желудка — или от соприкосновения его с пищей, или от начальных стадий секреторной деятельности, вообще оттого что в желудок попала пища. Следовательно, передо мной рефлекторное задерживание пищевого центра». Это сомнение укрепляется также наблюдениями, в которых высококалорийная, но незначительная по объему пища не вызывала при ее приеме чувства насыщения и пищевого удовлетворения. Многими исследователями было показано, что поглощение пищи животными зависит от состояния наполнения желудка, которое имитировалось раздуванием тонкостенного резинового баллона, введенного в желудок через фистулу [6, 7, 8]. Ряд авторов наблюдал при растяжении желудка появление импульсации в афферентных волокнах блуждающего нерва ([9] и др.). В то же время необходимо отметить тот факт, что такие исследователи, как Клод Бернар, Шерингтон и др., не обнаружили изменений аппетита после перерезки блуждающих нервов.

В специальных опытах было показано, что прием большого или малого количества пищи при одновременном растяжении стенок желудка резиновым баллоном понижает возбудимость пищевого центра. Одновременно с этим имеет место повышение уровня сахара в крови. Наблюдаемые явления связаны с развивающимся при насыщении раз-

литым торможением в центральной нервной системе, в том числе и в пищевом центре [6, 7].

Опыты проводились на четырех собаках, имеющих fistulу желудка по Басову. Всего было поставлено 104 опыта. Прежде всего устанавливалось «фоновое», т. е. исходное количество пищи, поглощавшееся собаками в обычных условиях. С этой целью собак кормили лишь раз в сутки в строго определенное время. Пища состояла из мелко накрошенного хлеба, нарезанного мелкими кусочками, вареного мяса и теплого мясного бульона, которые смешивались в постоянных для всех опытов пропорциях. В ряде опытов для раздражения mechanoreцепторов желудка производилось растяжение желудка путем введения теплой воды ( $t = 36-38^\circ$ ) в тонкостенный резиновый баллон, помещенный заранее в желудок. Одновременно производилось определение содержания сахара в крови по методу Хагедорна—Иенсена.

Для анализа наблюдаемых явлений применялись фармакологические вещества (адреналин, прозерин, атропин) и перерезка нервов—биплатеральная трансторакальная vagotomy.

В первой серии опытов было показано, что при одновременной даче пищи и раздувании баллона количество пищи, поглощавшейся собаками, резко сокращалось, причем тем более, чем больше воды вводилось струю воды, введенной ранее в баллон. Например, собака Рыжий, съедала такое количество пищи, которое по объему соответствовало количеству воды, введенной ранее в баллон. Например, собака Рыжий, съедавшая обычно 1000 г пищи, при одновременном раздувании баллона и даче пищи съела всего 250 г пищи, в то время как в баллоне было 1000 мл воды; по извлечении воды собака съела еще 750 г (надо отметить, что 1000 мл воды по объему соответствуют 800 г пищи). При раздувании баллона до дачи пищи до размеров, соответствовавших обычно принимаемому количеству пищи, собака отказывалась от еды.

В целой серии опытов для уменьшения тонуса желудка мы пытались воспользоваться адреналином и атропином. Однако нам не удалось сделать каких-либо выводов из этих наблюдений ввиду того, что адреналин в дозах 0,15—0,17 мг/кг вызывал резкое учащение сердечной деятельности, вследствие чего приходилось во избежание осложнений прерывать опыты. В опытах с применением атропина в дозах 0,08—0,04 мг/кг наблюдалось уменьшение саливации, нарушавшее акт еды.

Таким образом, для уменьшения тонуса желудка мы вынуждены были прибегнуть к двусторонней трансторакальной vagotomy, производившейся ниже места отхождения сердечных ветвей блуждающего нерва. При этом количество поглощавшейся собаками пищи резко увеличивалось. Например, если собака до vagotomy съедала 960—1000 г пищи, то после vagotomy количество пищи, поглощавшейся собаками, увеличивалось до 1210—1250 г. Также увеличивалось количество воды, которое надо было ввести в баллон, находящийся в желудке, чтобы прекратить акт еды. Если до vagotomy при введении в желудок 1250—1300 мл воды собака отказывалась от еды, то теперь она съедала еще дополнительно 500—600 г пищи. Таким образом, после vagotomy и вследствие этого при пониженном тонусе мускулатуры желудка количество пищи, поедаемой собаками, резко возрастало.

Для повышения тонуса желудка мы применяли прозерин (неостигмин) в дозе 0,08 мг/кг. Начало действия прозерина отмечалось



по изменению сердечной деятельности и увеличению саливации. Через 20—30 минут после инъекции прозерина собаке давалась пища. В результате этой серии опытов было обнаружено, что количество пищи, поглощавшейся собаками, резко уменьшалось по сравнению с фоновым после инъекции прозерина. Этот факт мы объясняли ваготропным эффектом прозерина, который, как известно, препятствует разрушению ацетилхолина, являющегося вагальным медиатором. В результате усиления тонуса, как мы предполагаем, увеличивается афферентная импульсация из желудка, связанная с его наполнением, и, таким образом, вызывается торможение пищевого центра.

С целью исключения возможного предположения о том, что сам прозерин вызывает торможение акта еды, действуя на пищевой центр, нами были произведены опыты с перерезкой обоих блуждающих нервов. Как и в предыдущих опытах, вводился прозерин за 20—30 минут до еды. Наблюдения показали, что после перерезки обоих блуждающих нервов прозерин не вызывал уменьшения количества поглощавшейся собаками пищи (см. табл. I).

Таблица I

Воздействия		Статистические показатели			
		M	$\sigma$	m	Коэффиц. достов. различия P
Собака Рыжий	До ваготомии	960 г	$\pm$ 70,50	$\pm$ 28,60	$P < 0,001$
	После ваготомии	1210 г	$\pm$ 89,20	$\pm$ 29,70	
Собака Черный	До ваготомии и до введения прозерина	1020 г	$\pm$ 88,40	$\pm$ 31,35	$P < 0,001$
	После введения прозерина	700 .	$\pm$ 50,00	$\pm$ 17,00	
	После ваготомии	1400 .	$\pm$ 122,50	$\pm$ 54,70	$P > 0,5$
	Действие прозерина после ваготомии	1370 .	$\pm$ 149,50	$\pm$ 56,60	

С целью изучения содержания сахара в крови при насыщении и искусственном механическом раздражении желудка нами был проведен целый ряд опытов. Вначале нами изучалось изменение содержания сахара в крови в результате приема пищи. Нами был подтвержден тот факт, что после приема пищи почти сразу наблюдается резкий подъем уровня сахара в крови на 40—50 мг%. Вызванная приемом пищи гипергликемия возвращалась к норме и даже опускалась ниже исходного уровня через полтора часа после приема пищи, т. е. наблюдалась обычная гликемическая кривая.

Помимо изучения динамики содержания сахара в крови после приема пищи, нами были проведены опыты с раздуванием теплой водой заранее введенного через фистулу в желудок тонкостенного резинового баллона. Вода вводилась в объеме, соответствовавшем обычно погло-

щаемому собакой объему пищи. Было показано, что раздувание баллона водой приводит к увеличению содержания сахара в крови на 25—45 мг%. В течение часа и даже менее уровень сахара в крови возвращался к норме. С целью исследования роли блуждающих нервов в осуществлении этого рефлекса производилась двусторонняя трансплевральная vagотомия. После vagотомии увеличения содержания сахара в крови в ответ на раздувание в желудке баллона не происходило (см. табл. 2, собака Черный).

Таблица 2

Воздействия	Время			
	Фон	5—10 мин	30 мин	60 мин
После приема пищи	92 мг%	143 мг%	159 мг%	96 мг%
После введения в баллон воды	87 мг%	116 мг%	102 мг%	89 мг%
Введение воды в баллон после vagотомии	90 мг%	83 мг%	92 мг%	87 мг%

Таким образом, наши данные подтверждают положение о том, что афферентным путем рефлекса, вызывающего повышение уровня сахара в крови в ответ на механическое раздражение желудка, являются блуждающие нервы [7]. Как нами было показано ранее в экспериментах со студентами-добровольцами [10], при пищевом насыщении наблюдается электроэнцефалографически выражющееся в появлении медленных потенциалов высокой амплитуды разлитое торможение в коре головного мозга, что связывалось нами с понижением восходящего активирующего влияния ретикулярной формации ствола мозга. Повышение же содержания сахара в крови при механическом раздражении желудка, очевидно, является результатом индуктивного возбуждения подкорковых центров, регулирующих содержание сахара в крови.

### Выводы

Растяжение стенок желудка путем раздувания теплой водой тонкостенного резинового баллона, введенного в желудок через фистулу, или сочетание приема пищи с одновременным растяжением стенок желудка до объема, соответствующего объему обычно поглощаемой собаками пищи, вызывает повышение уровня сахара в крови и отказ животного от приема пищи; после введения прозерина собака поглощает меньше пищи и раньше отказывается от продолжения еды.

В результате двусторонней трансторакальной vagотомии ниже места отхождения сердечных ветвей наблюдается увеличение количества поглощаемой пищи и исчезновение гипергликемии в ответ на наполнение желудка. Данные факты, по-видимому, нужно объяснить выключением афферентной импульсации из желудка, идущей холинергическим путем и при их целости вызывающей гипергликемию и торможение пищевого центра. На значение афферентной импульсации из желудка в торможении пищевого центра указывают также опыты с

применением прозерина. Очевидно, прозерин повышает тонус мускулатуры желудка и, таким образом, обуславливает насыщение при поедании значительно меньшего количества пищи, усиливая импульсацию по афферентным путям из желудка.

Все вышеизложенное дает нам право сделать заключение, что в механизме насыщения одним из важных моментов является афферентная импульсация из желудка, осуществляемая посредством блуждающих нервов. Повышение уровня сахара в крови при еде, во всяком случае в первую, рефлекторную фазу, должно оказывать влияние на хемосенситивные структуры гипоталамуса и вызывать соответственное изменение функционального состояния пищевого центра, выражющееся в снижении его возбудимости. Афферентная импульсация из желудка при растяжении его стенок пищей вызывает снижение возбудимости пищевого центра, по-видимому, через повышение уровня сахара в крови, оказывающее действие на хемосенситивные структуры гипоталамуса.

## Тбилисский государственный медицинский институт

(Поступило в редакцию 26.4.1966)

ს. ჩხილავი

ପୁଣିକରାନ୍ତ ମନେଷଙ୍କରାମ ଆଶୀର୍ବାଦଶୂଳି ଗନ୍ଧିଲାଙ୍କାରୋ ହନ୍ତିଲି  
ଶୁଭସାଧନ ଧୀରଜନୀବ ଯୁଗମାନୀଯ

ՀԵՂԻԿԱՑՅՈՒԹ

კუპის მცენარობულობის გაღიზიანება, კუპში წინასწარ შევყანილ რეზინის თხელკედლიან ბალონის თბილი წყლით გაბერვის საშუალებით, ან კუპის კედლების გაჭირვისა და საკვების მიღების შეუღლებით (ბალონებში) იწვევს სისხლში ჟაჭრის მომატებას და საკვების შეწყვეტას. პროზერინის შევყანის შემდეგ ძალით ჭამს ნაკლებს და უფრო აღრე ანებებს თავს საკვების ქმას.

ორმენივი ტრანსთორაյალური ვაგონომის შედეგად ძალი ჭაბუ საკე-  
ბის მეტ რაოდენობას, ამასთან სისხლში შაქრის მომატების ჩეფლექსი კუპის  
ედლების გაჭირვაზე ქრება. მაღლებული ფაქტები, ჩვენი აზრით, უნდა აიხსნას  
ვაგალური აცერენტულ იმპულსაცის გამოთხვით. კუპიდან მოშდინარე  
აცერენტულ იმპულსაცის მნიშვნელობაზე კვების ცენტრის შეკავებაში მი-  
ვვითითებს აგრეთვე დღები პროზერინის გამოყენებით. სავარაუდოა, რომ  
პროზერინი იწვევს კუპის ტონუსის მომატებას და ამ გზით აპირობებს გაძლო-  
მას საკუპის ნაკლები რაოდენობით მიღებისას.

უოცელივე ზემოთ ონიშნული გვაძლევს უფლებას დავისკვნათ, რომ გაძლომის მექანიზმი ერთ-ერთ ძირითად მომენტად შეიძლება ჩავთვალოთ კუჭიდან, მომდინარე აფერენტული იმპულსაცა, რაც ხორციელდება ცდოშილი ნერვის საშუალებით და რაც იწვევს სისხლში შაქრის მომატების რეფლექსს.



შაქრის მომატებამ სისხლში საკვების მიღებისას ამ გზით, ყოველ შეძლებულ დროს გამოიწვიოს კვების ცენტრის ფუნქციური მდგრადრების შეცვლა, რაც გამოიხატება მისი აგზებადობის დაქვეითებაში. კუჭიდან მომდინარე აფერენტული იმპულსაცია იწვეეს სისხლში შაქრის მომატებას და ეს გავლენას ახდენს პიპოთალამუსის ქემოსეჩიტურ სტრუქტურებზე და გამოიწვიოს კვების ცენტრის ფუნქციური მდგრადრების შეცვლა, რაც გამოიხატება მისი აგზებადობის დაქვეითებაში.

#### დაოფიშატლი ლიტერატურა — ЦИТИРОВАННАЯ ЛИТЕРАТУРА

1. J. Mayer. XX-e Congress Intern. de Physiol. Bruxelles, 1956.
2. T. B. Van Itallie. Proc. Soc. Exptl. Biol. and Med., 84, 1953, 713.
3. N. Marshall, R. Barnett, J. Mayer. Proc. Soc. Exptl. Biol. and Med., 90, 1955, 240.
4. B. K. Anand. Abstracts of papers presented at XXIII Intern. Congress of Physiol. Sciences, 1965.
5. И. П. Павлов. Полное собрание сочинений, 3, 1, изд. АН СССР, М.—Л., 1951.
6. А. Н. Бакурадзе. О влиянии раздражения механорецепторов желудка на функциональное состояние коры больших полушарий головного мозга. Сб., посвященный 70-летию со дня рождения К. М. Быкова. Изд. АН СССР, М.—Л., 1957.
7. А. Н. Бакурадзе, А. Абесадзе, А. Сихарулидзе. Изменения функционального состояния пищевого центра при голода и насыщении. Изд. «Мецнис-реба», Тбилиси, 1965.
8. В. Н. Черниговский. Интероцепторы, 1960.
9. A. S. Paintal. J. Physiol. 126, 1954, 255.
10. С. А. Чхенкали. Об электроэнцефалограмме человека при голоде и насыщении. Сообщения АН ГССР, XXXI:3, 1963.



## ЭКСПЕРИМЕНТАЛЬНАЯ МЕДИЦИНА

Л. К. ШАРАШИДЗЕ, Л. А. КУТУБИДЗЕ

## ГИСТОХИМИЧЕСКОЕ ИССЛЕДОВАНИЕ ОКИСЛИТЕЛЬНО- ВОССТАНОВИТЕЛЬНЫХ, ГЛИКОЛИТИЧЕСКИХ И ГИДРОЛИТИ- ЧЕСКИХ ФЕРМЕНТОВ В ИНДУЦИРОВАННЫХ РАБДОМИОСАРКОМАХ

(Представлено академиком К. Д. Эристави 12. 5. 1996)

В изучении метаболических особенностей опухолевого роста особое место занимают гистохимические методы исследования, позволяющие одновременно изучить структуру и химическую организацию различных тканевых и клеточных образований.

За последние годы, благодаря усовершенствованию методов гистохимического выявления ферментов, появилась возможность получить сведения об энергетических нарушениях в клеточных элементах в процессе их опухолевого превращения.

В литературе накопилось большое количество работ, посвященных выявлению гистохимических особенностей различных ферментов в различных опухолях [1—6]. Несмотря на многочисленные исследования в области энергетических механизмов злокачественного роста, полученные показатели неоднородны, а порой даже противоречивы. В большинстве исследований изучена активность определенной группы ферментов; как правило, изучены уже оформленные опухоли без динамического освещения гистохимических изменений активности ферментов в процессе становления опухолевого процесса.

Исходя из вышеизложенного, мы постарались проследить за динамикой гистохимических превращений активности ряда окислительно-кисстановительных, гликолитических и гидролитических ферментов в процессе возникновения и развития индуцированной рабдомиосаркомы мышцы бедра у белых крыс.

Эксперименты проводились на 110 белых крысах, которым в толщу бедренной мышцы вводили канцерогенное вещество (2 мг 9,10-диметил-1,2-бензантрацена, растворенного в 0,2 см<sup>3</sup> бензола). Контрольным животным вводили чистый бензол. Крысы забивались в различные сроки от начала опытов. Материал, взятый сразу же после забоя животных, немедленно замораживался сухой углекислотой. Срезы толщиной 15—20 мк готовились в криостате при —20°C.

Исследовались следующие ферменты: сукцинегидрогеназа (по Нахласу и др.), цитохромоксидаза (по Нахласу и др.), ДНП- и ТПН-дифоразы (по Гессу и др.), лактикодегидрогеназа (по Гессу и др.), фосфорилаза (по Такеучи), щелочная и кислая фосфатазы (по Гомори).

Спустя 24 часа после введения канцерогена в мышечных волокнах, подвергшихся некрозу, обнаруживалось полное отсутствие активности всех исследованных нами ферментов. Полное исчезновение в мышечных волокнах активности всех окислительно-восстановительных,

гликолитических и гидролитических ферментов спустя 24 часа после введения канцерогена свидетельствует о том, что в данном случае налицо полный некроз мышечных волокон с необратимо-дегенерационными сдвигами.

На 2—3-и сутки в области введения канцерогена отмечается полный некроз мышечных волокон и других тканевых элементов, расположенных в этом участке. Мышечные волокна, размещенные вокруг очага некроза, претерпевают дистрофические, а также регенеративные изменения в виде образования миобластов. Последние характеризуются низкой активностью всех исследуемых ферментов, за исключением лактикодегидрогеназы, активность которой в них очень высока. Исходя из этого, вполне очевидно, что в миобластах преобладает гликолитический тип обмена, по сравнению с окислительным фосфорилированием. Некротизированные мышечные волокна характеризуются исчезновением окислительно-восстановительных, гликолитических и гидролитических ферментов.

На 5-й день от начала опыта в области введения канцерогена, наряду с некробиотически и дистрофически измененными мышечными волокнами и миобластами, появляются миосимпласти и новообразованные мышечные трубы и волокна, в которых отмечается слабая активность цитохромоксидазы, ДПН- и ТПН-диафораз, слабоумеренная активность сукцинингидрогеназы и фосфорилазы и высокая активность лактикодегидрогеназы. Активность фосфатаз в них, как и в нормальных мышечных волокнах, слабо выражена. Можно думать, что, изменившись однажды, энергетический процесс существенно не изменяется при дифференциации мышечных элементов. В новообразованных же мышечных волокнах обмен гликолитического типа превалирует над окислительным фосфорилированием.

На 10—12-й день после введения канцерогена в этой области имеются небольшие очаги некроза в стадии организации. Окружающая мышечная ткань характеризуется резко выраженным признаками регенерации, с последующей дифференциацией. Здесь обнаруживаются все переходящие формы, начиная от миобластов до новообразованных мышечных волокон, которые отличаются меньшим диаметром, наличием в них большого количества ядер. Некоторые мышечные волокна претерпевают дистрофические и некробиотические изменения в виде набухания, гомогенизации и фрагментации.

Все клеточные элементы мышечного происхождения, начиная от миобластов и кончая новообразованными мышечными волокнами, характеризуются низкими показателями активности цитохромоксидазы, сукцинингидрогеназы, ДПН- и ТПН-диафораз, фосфорилазы в фосфатаз и высоким показателем активности лактикодегидрогеназы.

Спустя 30—40 дней после введения канцерогена в этой зоне обнаруживаются явления организации некротического участка с замещением некротизированных структур жировой тканью. Мышечная ткань, окружающая эту зону, представлена преимущественно мышечными волокнами со сравнительно мелким калибром и наличием большого количества ядер, расположенных местами по центральной оси. В некоторых таких мышечных волокнах различается поперечнополосатая исчерченность. В новообразованных мышечных волокнах обнаруживается слабая или же слабоумеренная активность цитохромоксидазы,

сукцинегидрогеназы, ДПН- и ТПН-диафораз, фосфорилазы, щелочной и кислой фосфатаз. В них же выявляется очень высокая активность дегидрогеназы молочной кислоты.

Таким образом, спустя 30—40 дней от начала эксперимента процесс дифференциации мышечных элементов продолжается, завершаясь образованием новых мышечных волокон, которые характеризуются новым несколько измененным и отличным от нормы типом обмена. Это выражается в преобладании в них гликогенитического типа обмена над окислительно-восстановительным.

Последующие наблюдения показывают, что новообразованные мышечные волокна в дальнейшем опять подвергаются дистрофическим изменениям типа миолиза с образованием незрелых мышечных элементов в виде миобластов и миосимпластов. Эта дистрофия мышечных волокон является вторичной, учитывая, что аналогичные процессы имели место и в ранние сроки введения канцерогена (уже спустя 24 часа).

В области введения канцерогена спустя 70—80 дней после начала опыта отмечаются организация и замещение некротического участка жировой и нежноволокнистой соединительной тканями. Окружающая мышечная ткань представлена мышечными волокнами различной зрелости.

Значительная часть мышечных волокон имеет малый диаметр, содержит большое количество ядер, расположенных как по периферии, так и центрально. Некоторые мышечные волокна лишены поперечной полосатости, саркоплазма в них расположена центрально и содержит множество пузырькообразных ядер, расположенных в виде цепочек.

Мышечные волокна с меньшим диаметром и с большим количеством ядер характеризуются низкой активностью окислительно-восстановительных ферментов, фосфорилазы и фосфатаз и высокой активностью дегидрогеназы молочной кислоты.

Таким образом, незрелые мышечные элементы, возникшие в результате вторичной дистрофии новообразованных мышечных волокон, в дальнейшем опять подвергаются дифференциации. Спустя 20—30 дней, т. е. на 70—80-е сутки от начала опыта, обнаруживается большое количество новообразованных мышечных трубок и структурно не совсем оформленных новых мышечных волокон.

Гистохимически они повторяют черты, обнаруженные в аналогичных мышечных элементах, появившихся вслед за первичной дистрофией преформированных мышечных волокон.

Спустя 90—100 дней после начала опыта наблюдаются, с одной стороны, явления миолиза как новообразованных, так и преформированных мышечных волокон и, с другой стороны, образование большого количества мелких миобластов, расположенных хаотически вокруг организованного очага некроза и пронизывающих пространства между сохранившимися мышечными волокнами. Обращает на себя внимание наличие огромного количества митозов, имеющих местами неправильные формы: количество и размеры хромосом увеличены, попадаются многополюсные митозы и митозы с деформированными хромосомами.

Цитоплазма этих миобластов дает слабую реакцию на цитохромоксидазу, сукцинегидрогеназу, ДПН- и ТПН-диафоразу. В них низка также активность фосфорилазы и фосфатаз. Высокой активностью в них отличается дегидрогеназа молочной кислоты.



Как и в предыдущих стадиях, на данном этапе экспериментальной строфии и миолиз новообразованных мышечных волокон сопровождаются образованием и размножением молодых, незрелых мышечных клеток—миобластов. Однако, в отличие от предыдущих стадий, в данном случае новообразованные миобlastы обнаруживают признаки малгизации. Преобладание в них гликолитического типа обмена над окислительным становится еще более выраженным, чем при первичном и вторичном образовании миобластов.

Спустя 4–5 месяцев после введения канцерогена в этой области появлялась истинная опухоль, состоящая из вытянутых в длину веретенообразных клеток типа миобластов. Местами встречались гигантские клетки. Цитоплазма как миобластов, так и гигантских клеток характеризовалась низкой активностью цитохромоксидазы и сукцинегидрогеназы, довольно низкой активностью диафораз, особенно ТПН-диафоразы, и весьма высокой активностью лактикодегидрогеназы. Из гидролитических ферментов наиболее высокой активностью отличалась кислая фосфатаза. Активность щелочной фосфатазы, а также фосфорилазы в этих клетках отсутствует. Довольно высокая активность щелочной фосфатазы выявляется в эндотелиальных клетках внутриопухолевых сосудов.

Таким образом, в клетках злокачественных опухолей, по сравнению с гомологичными нормальными тканями, снижена активность цитохромоксидазы, сукцинегидрогеназы, ДПН- и ТПН-диафораз. Активность лактикодегидрогеназы в них высокая. Получается, что в опухолевых клетках гликолитический тип обмена преобладает над окислительным.

Институт клинической и экспериментальной хирургии и гематологии АМН СССР

(Поступило в редакцию 12.5.1966)

© 1968 by the American Radium Society

ლ. ზარაშვილი, ლ. კუთუბიძე

სანგვა-აღდგენითი, გლიკოლიზური და ჰიდროლიზური ფირხველის გარემონტაბის  
პისტოქიოზი ზოსტაციისათვის ინდუცირებულ

რაცომობისარჩოებით

რ ე ზ ი ც მ ე

პისტოქიმიური მეთოდებით შესწავლითი უანგვა-აღდგენითი გლიკოლიზური და ჰიდროლიზური ფირხმენტების აქტივობა 9, 10-დიმეთილ-1, 2 ბენზანტრაცენით ინდუცირებულ რაბდომიოსარკომებში. მიღებული მონაცემები მიუთითებენ, რომ სიმსივნეურ უქრედებში ნივთიერებითი ცვლის გლიკოლიზური ტიპი ჭარბობს უანგვა-აღდგენით პროცესებს.

#### ФАСТИДИЯЛЛЫК ҮЙІРІЛДЕРІ — ЦИТИРОВАННАЯ ЛИТЕРАТУРА

1. M. A. Преснов. Фосфатазы при опухолевом росте. Вопросы онкологии, 2, 2, 1956.
2. H. T. Райхлин. ДПН-диафораза, ТПН-диафораза и сукцинегидрогеназа в предраковых и раковых тканях. Вопросы онкологии, т. 7, 3, 1961. 41–48.
3. M. J. Нанібал, M. M. Nachlas a. A. M. Seligman. Histochemical localization of cytochrome oxidase in human tissues and neoplasms. Cancer, vol. 13, № 5, 1960. 1008–1016.
4. R. D. Goldman, N. O. Kaplan, T. C. Hall. Lactic dehydrogenase in human neoplastic tissues. Cancer Research, vol. 24, 1964. 389–399.

КЛИНИЧЕСКАЯ МЕДИЦИНА

В. И. МЧЕДЛИШВИЛИ

К ВОПРОСУ О ВЛИЯНИИ ВОЗРАСТА НА КЛИНИЧЕСКОЕ ПРОЯВЛЕНИЕ ХРОНИЧЕСКОЙ ДИЗЕНТЕРИИ

(Представлено академиком К. Д. Эристави 17. 8. 1966)

Среди кишечных инфекций дизентерия по распространенности и частоте в настоящее время все еще занимает значительное место. Проблема эта остается одной из актуальных и требует тщательного изучения.

На данном этапе острая дизентерия утратила свою типичность и в большинстве случаев протекает легко, в виде стертых форм [1—3], что еще более осложняет правильную диагностику и своевременное лечение. С другой стороны, по этой же причине участились случаи перехода ее в хронические формы.

Исходя из вышесказанного, изучение своеобразия клинических проявлений этого заболевания имеет важное значение, тем более что бактериологическое исследование (малое высевание дизмикробов) оказывает незначительную помощь в деле правильного диагностирования и больные хронической дизентерией являются основным резервуаром распространения дизентерии среди здорового населения.

Различным вопросам дизентерии среди детей и взрослых посвящено множество работ [4—8]. Однако клиника и лечение дизентерии в пожилом и старческом возрасте почти не изучена. Особенно это касается хронической дизентерии [2, 9, 10].

Целью настоящей работы являлось: 1) изучение на собственном материале своеобразия клинического течения хронической дизентерии среди лиц пожилого и старческого возраста; 2) изучение вопроса клинического диагностирования заболевания; 3) выявление своеобразия клинического течения хронической дизентерии в связи с возрастом.

Клинические наблюдения проводились в клинике инфекционных заболеваний (зав. проф. Г. В. Квиташвили).

Изучено 400 больных хронической дизентерией различной тяжести, среди них: до 40 лет — 200 больных, свыше 50 лет — 200.

Обследование больных проводилось комплексным методом диагностики — клинико-эпидемиологически, копрологически, ректороманоскопически, серологически, бактериологически и т. д.

Контингент пожилого и старческого возраста распределялся следующим образом: 50—60 лет — 122 больных, 61—60 лет — 37, 71—80 лет — 26, свыше 80 лет — 15. До 40 лет такое деление нами не проводилось, ввиду того что реактивность во всех случаях была аналогичной.

По профессии среди взрослых были рабочие, колхозники, служащие, учащиеся, т. е. работоспособный контингент. Группу больных 50

лет и старше составляли в основном пенсионеры и домохозяйки, в нее входили также служащие.

Вышесказанное говорит о широком распространении дизентерии среди населения.

Давность заболевания от 3 месяцев до 1 года в старческом возрасте отмечалась в 17,5% случаев (у взрослых в 43,9% случаев); от 1 до 3 лет — в 27% (24,8%); от 3 до 5 лет — в 15,5% (11,4%); от 5 до 10 лет — в 18,5% (10,7%); от 10 до 20 лет — в 21,5% (9,2%).

До поступления в стационар на протяжении ряда лет в разных лечебных учреждениях лечилось 24% больных старческого возраста и 51,5% больных взрослого возраста.

Бактериологический диагноз в нашем стационаре был подтвержден у больных пожилого и старческого возраста в 18% и у взрослых в 44% случаев. В обеих группах в большинстве случаев (50—88%) заболевание было вызвано дизмикробами группы Флекснера, затем — бактериями Зонне, Штуцер — Шмица и т. д.

По данным Н. П. Седловца [11], высевание дизмикробов среди больных хронической дизентерией равнялось 33%, по данным А. А. Андроновой — 16% [12].

В обеих группах у 28%, т. е. почти у 1/3 больных, отмечалось нарушение питания в той или иной степени, что определению влияло на клиническое проявление болезни и эффективность лечения.

Среди клинических симптомов заболевания у взрослых пожилого и старческого возраста чаще всего отмечаются общая слабость, резкая потеря аппетита, вздутие живота, глухие боли и урчание в животе, отрыжка (96—98%), рвота (11%). Субфебрильная температура отмечалась лишь в 18% случаев, а в 82% заболевание протекало на фоне нормальной температуры.

Больные взрослого возраста имели аналогичные жалобы в 26,5% случаев, при рецидивах заболевания их больше беспокоили реактивные явления: острые, приступообразные боли в животе (65,5%), повышение температуры в той или иной степени, тошнота и рвота (49,7%), частые ложные позывы, учащение пульса, беспокойство и др.

Таким образом, в пожилом и старческом возрасте в результате ослабления общей резистентности организма и защитных иммунобиологических механизмов заболевание клинически носило ареактивный, атипичный характер и проявлялось в общих симптомах. У взрослых лиц с реактивным организмом дизентерия протекала с характерными жалобами и резко выраженными симптомами.

Все вышесказанное подтверждается также частотой дефекаций, результатами копрологического исследования, своеобразием данных ректороманоскопии.

При хронической дизентерии у больных пожилого и старческого возраста отмечались постоянные запоры (40%), запоры, которые иногда (временно) сменялись расстройством (44,5%). Таким образом, можно определению высказать мнение, что хроническая дизентерия в пожилом и старческом возрасте протекает с запором в большинстве случаев (84,5%). У взрослых же больных, наоборот, запоры отмечались лишь в 6,2% случаев, ускорение же дефекации — в 93,8%.

Этот факт должны учитывать врачи практической сети. При диагностировании данного заболевания запоры не следует считать физио-

логическим явлением для пожилого и старческого возраста. Именно такие невыявленные больные являются источником распространения дизентерии среди здорового населения.

При макро-микроскопическом изучении в кале больных пожилого и старческого возраста примесь слизи отмечалась в 66% случаев, кровянисто-слизистый кал — только в 3% (у взрослых в 29,1%), кал без крови и слизи — в 31%, из коих в 27% кал был вполне оформленный, т. е. вполне нормальный. Этот факт указывает на еще одно своеобразие проявления хронической дизентерии у больных пожилого и старческого возраста, что может стать источником диагностической ошибки.

Микроскопическое исследование кала выявило нормальное содержание лейкоцитов у 64% больных пожилого и старческого возраста и лишь у 25,9% взрослых. У этих же больных в материале, полученном при ректороманоскопии, гнойные шарики отмечались в большом количестве.

Эритроциты в кале микроскопически отмечены в 19% случаев (у взрослых в 68,5%). Таким образом, копрологическое исследование больных пожилого и старческого возраста также не является убедительным для правильного диагностирования и не отображает реальности инфекционного процесса, так как в результате пониженной реактивности воспалительный процесс развивается поверхностно и протекает вяло.

Сопоставление данных ректороманоскопии выявило решающее влияние возраста на течение болезни. В частности, явления катарального колита отмечались у 73% больных пожилого и старческого возраста, катарально-фиброзные явления — в 10%; фиброзно-гнойные и язвенные — в 8%, тогда как у взрослых больных катаральный колит установлен в 42%, катарально-фиброзный — в 24,7% и фиброзно-гнойный и язвенные повреждения слизистой кишок — в 33,3%.

Таким образом, в старческом возрасте воспалительные изменения в слизистой дистальной части толстой кишки носят чаще характер поверхности (катарального) колита; у взрослых больных та же инфекция вызывает довольно сильно выраженные глубокие воспалительные явления диффузионного характера и в 1/3 случаев процесс доходит до образования язв, что, по нашему мнению, можно объяснить своеобразием макроорганизма взрослого больного, который реагирует большим развитием локальных воспалительных явлений. Это, в свою очередь, является показателем полноценной направленности процессов дезинтоксикации и других защитных процессов, и заболевание характеризуется сравнительно типичным клиническим симптомокомплексом.

Весьма интересны показатели влияния возраста с точки зрения частоты развития полипоза и раковой болезни. Полипоз толстых кишок в обеих группах встречается в одинаковом количестве случаев (2,7—2,5%). Что касается сочетания хронической дизентерии и рака, на нашем материале у взрослых оно ограничивается 1%, в старческом же возрасте достигает 4%.

Возможно, что хронический воспалительный процесс, протекающий на протяжении ряда лет, способствует развитию полипоза и в дальнейшем под влиянием определенных условий — перерождению полипоза в злокачественную опухоль.

Объективные данные исследования желудочно-кишечного тракта у больных старческого возраста следующие: язык обложен у 79%, гиповитаминоз у 27% (у взрослых в 9,2% случаев), вздутие живота у 80%, явления левого колита лишь у 37% (у взрослых в 61,8% случаев), изолированный правый колит у 2%, явления панкролита у 51%.

Кислотность желудочного сока (исследовано 100 больных) оказалась нормальной у 17 больных, пониженной — у 64, полная ахилля отмечена у 19 больных.

Гематологические данные: в старческом возрасте с лейкопенией заболевание протекало у 33%, с нормоцитозом — у 17%, относительный лейкоцитоз с нейтрофилезом (16%) отмечался при осложнениях и сопутствующих заболеваниях, эозинофилия имела место у 20% больных (у взрослых в 4,5% случаев), что, по мнению некоторых авторов [13], является гематологическим своеобразием старческого возраста (на их материале у 7 из 30 больных была эозинофилия). Мы считаем, что эозинофилия является показателем развития аллергических реакций и часто зависит от беспорядочного применения антибиотиков.

У больных старческого возраста среди осложнений следует отметить геморрой — 30% (у взрослых в 14,8% случаев), гипогастрит — 65% (у взрослых в 42%) и неврастению — 65% (у взрослых в 4 случаях). Таким образом, специфические осложнения у больных пожилого и старческого возраста встречаются гораздо чаще, чем у взрослых больных.

Что касается тяжести заболевания, то у больных пожилого и старческого возраста в 49% случаев заболевание носило атипичный легкий характер с нерезко выраженным клиническим симптомокомплексом. У взрослых больных заболевание в большинстве случаев было средней тяжести, а у 11% больных наряду с резким колитическим синдромом была выражена тяжелая интоксикация.

Данные об эффективности лечения и исходе болезни в возрастном аспекте будут представлены в виде отдельной работы.

В результате суммирования материала выяснилось, что в пожилом и старческом возрасте часто (84,5%) причиной стойкого спастического запора является невыявленная хроническая дизентерия, а не «запор старческого возраста», как ошибочно считали раньше. Поэтому необходимо тщательное комплексное обследование для правильного диагностирования и обеспечения выздоровления больного.

### Выводы

1. В пожилом и старческом возрасте хроническая дизентерия в основном представлена нетипичными симптомами общего характера, тогда как у взрослых болезнь протекает с резко выраженными клиническими симптомами.

2. Ведущим симптомом клинического проявления хронической дизентерии у больных пожилого и старческого возраста являются запоры, но не расстройство. У взрослых в большинстве случаев отмечается ускорение дефекаций. Это своеобразие имеет определенное значение для диагностирования хронической дизентерии.

3. При хронической дизентерии у больных пожилого и старческого возраста в 2/3 случаев в кале отмечается лишь примесь слизи, в 1/3

случаев кал макроскопически вполне нормальный, что может быть причиной диагностической ошибки.

4. Скудные данные копрологического исследования на нашем материале можно объяснить поверхностным воспалительным процессом в толстой кишке (катаральный колит), атрофией слизистой кишки и сегменторным характером поражения.

У взрослых же диффузная воспалительная реакция со стороны слизистой кишки (фиброзного или язвенного характера) обусловливает характерные копрологические данные.

5. Специфические осложнения хронической дизентерии (геморрой, гипоанацидный гастрит, неврастения) чаще встречаются у больных пожилого и старческого возраста.

Тбилисский государственный

медицинский институт

(Поступило в редакцию 19.8.1966)

კლინიკური მდგრადი

ვ. ავალიაშვილი

## ძრონიკული დიზენტერის კლინიკური გამოვლინებაზე ასაჭირო გავლენის საკითხისათვის

რეზიუმე

ხანშიშესულებსა და მოხუცებულებში ქრონიკული დიზენტერია ძირითადად წარმოდგენალია ამ დავადებისათვის არატიპიური ზოგადი ხასიათის სიმპტომებით მაშინ, როდესაც მოზრდილი ასაკის პირებში დავადება მიმღინარეობს მკვეთრად გამონატული კლინიკური ნიშნებით.

ქრონიკული დიზენტერის კლინიკური გამოვლონების წამყვან სიმპტომს მოხუცებულებში წარმოდგენს ყაბზობა და არა ფარარათი. მოზრდილთა შორის შემთხვევების დიდ უმრავლესობაში ოლინიშნება დეფეკაციის აჩქარება, ამ თვეისებურებას გარკვეული მნიშვნელობა უნდა მიეცეს ქრონიკული დიზენტერის დავნონიკრებისათვეს.

ქრონიკული დიზენტერის დროს ხანშიშესულებსა და მოხუცებულ ფაც-მყოფებში შემთხვევათა ორმესამედის განვალში აღინიშნება მხოლოდ ლორწოს მინარევი, ერთ მესამედში — მაკროსკოპულად სრულიად ნორმალური განვალი, რაც შეიძლება განდეს დაგნოზური შეცდომის მიზეზი.

ჩვენს მასალაზე მიღებული კოპროლოგიურად ღრაბი მონაცემები მოხუცეთა შორის შეიძლება აიხსნას მსხვილ ნაწლავებში განვითარებული შერელე ანთებითი პროცესით (კატარული კალიტი). ნაწლავის ლორწოვანის ატროფითა და სეგმენტური ხასიათის დაზიანებით; მოზრდილებში კი ნაწლავის ლორწოვანის მნიშვნელოვანი ანთებითი რეაქცია (ფიბრინული, ან წყლულოვანი ხასიათისა) აპირობადებს დამახასიათებელ კოპროლოგიურ მონაცემებს.

ქრონიკული დიზენტერის სპეციოლოგიური გართულებანი (ბუასილი, ჰიპოალიური გასტრიტი, ნევრასთენია) უპირატესად ხანში შესულთა და მოხუცებულთა კონტიგენტისათვის არის დამახასიათებელი.

დამოუკიდებლი ლიტერატურა — ЦИТИРОВАННАЯ ЛИТЕРАТУРА

1. А. Ф. Бибилин. Клинические формы дизентерии и их лечение. Медгиз, М., 1956, 3—20.
2. Г. П. Руднев. Особенности клинического течения современной дизентерии и методы ее лечения (у взрослых больных). Сб. трудов Центрального ин-та усовершенствования врачей. Лечение инфекционных больных, вып. 4, 1960, 14—22.
3. თ. კვირიშვილი, ვ. მუდრიშვილი. ბაქტერიული დიზენტერიის კლინიკა და გურებელობის სკონხისფიზიკის სახ. მაღარის და სიმედ. პარაზ. მნიუს ბიცლები, № 1 (25), 1956, 57—66.
4. В. М. Жданов. Новые задачи в борьбе с дизентерией. ЖМЭИ, 4, 1954, 3—10.
5. Е. Д. Равин-Биргер и В. Г. Заруццина. Микробиологическая характеристика дизентерийных микробов. Зоннс. ЖМЭИ, 4, 1954, 40—45.
6. И. Л. Богданов. Научно-практические задачи в борьбе с дизентерией среди взрослых. ЖМЭИ, 5, 1952, 34—37.
7. Г. Н. Сперанский. Дизентерия у детей раннего возраста. Вопросы профилактики и лечения дизентерии. М., 1952, 183—193.
8. И. С. Полянский. Об устойчивых к бактериофагам случаях бациллярной дизентерии. Клиническая медицина, т. 24, вып. 6, 1946, 61—63.
9. К. И. Пархон. Возрастная биология, клинические и экспериментальные исследования. Под ред. акад. Штеерна. МИЛК, изд. лит-ры на иностр. яз. Бухарест, 1959, 18—26.
10. А. Бине, Ф. Бульера. Основы геронтологии, пер. с франц., под ред. проф. В. В. Алпатова и В. Д. Зайратъяна. Медгиз, 1960, 253.
11. М. П. Седловец. Вакциноптерапия острой и хронической дизентерии. Автографат, 1953.
12. А. А. Андросова. Дальнейший опыт вакциноптерапии хронической дизентерии. ЖМЭИ, 4, 1952, 20—21.
13. D. H. Law, H. Steinberg, M. H. Slesinger. Ulcerative colitis with onset after the age of fifty. Gastroenterology, 41, 5, 1961, 457—464.



## КЛИНИЧЕСКАЯ МЕДИЦИНА

С. Ш. ХУНДАДЗЕ, Л. Г. ДВАЛИ

### К ВОПРОСУ ТЕХНИКИ СПЛЕНОПОРТОГРАФИИ

(Представлено членом-корреспондентом Академии Н. А. Джавахишвили 5. 4. 1966)

Спленопортография — ценный метод диагностики. Ее применение показано в основном при выявлении нарушений в системе воротной вены (портальная гипертензия и др.).

В клинике госпитальной хирургии лечебного факультета Тбилисского медицинского института спленопортография и спленотонометрия применяются с 1957 г. [1]. За период 1957—1959 гг. спленопортография и спленотонометрия произведены 10 больным [1]. С 1959 г. до настоящего времени — еще в 10 случаях.

В клинике принято спленопортографию применять в случае спленомегалии. При неувеличенной селезенке широко производить чрезкожную спленопортографию и спленотонометрию не рекомендуется.

Абсолютные противопоказания для спленопортографии: повышенная чувствительность больного к препаратам йода, повышенная кровоточивость, нарушение выделительной функции почек, пороки сердца в стадии декомпенсации, далеко зашедшая гипертоническая болезнь, тяжелое цирротическое поражение паренхимы печени, обострение гепатита, склероз мозга, тяжелая кахексия.

Относительные противопоказания: тиреотоксикоз, рассеянный склероз, пороки сердца в стадии компенсации, сравнительно ранние стадии гипертонической болезни.

Следует помнить, что спленопортография противопоказана во всех случаях, когда проведение ее чревато опасностью ухудшения общего состояния больного.

В качестве контрастных веществ при спленопортографии применяются 70%-ные растворы органических соединений йода: кардиограст, диодон, йодурон, диодраст и др. Применение сергозина не рекомендуется — он вызывает некроз селезеночной ткани.

Перед производством спленопортографии проводится тщательное клиническое исследование больного. Как правило, делается коагулограмма (время спонтанного свертывания цельной крови по Ли и Уайту, уколочная проба по Дьюку, ретракция сгустка, тромбопластическая активность крови по Улитиной и Кудряшеву). За 2—3 дня до исследования проверяют чувствительность больного к препаратам йода. Для этого в вену вводят 1 мл диодона. В случае положительной пробы в течение первых 3—4 часов наблюдается реакция: головокружение, головная боль, тошнота, рвота, повышенная температура, покраснение лица, появление сыпи или красных пятен на теле.

У больных асцитом часа за 2—3 до исследования эвакуируют жидкость из брюшной полости.

С целью подготовки кишечника в течение 2 дней больной получает карболен ( $0,5 \times 3$  раза в день) и синтомицин ( $0,5 \times 4$  раза в день). Накануне вечером и утром в день исследования больному делается очистительная клизма. Утром также следует при помощи зонда отсосать содержимое желудка.

За 15 минут до начала исследования больному вводят подкожно 1%-ный пантопон — 2,0; 0,1%-ный атропин — 1,0; 20%-ную камфору — 3,0.

Место для пункции селезенки определяется накануне исследования в палате.

При резко увеличенной селезенке (выступающей из-под реберной дуги на 8—12 см и больше) пункция производится на 1 см ниже края реберной дуги по средней подмышечной линии. При увеличенной селезенке пункция производится в IX или X межреберье, на середине расстояния между задней и средней подмышечной линиями. При незначительно увеличенной селезенке пункция производится в VIII межреберье по задней подмышечной линии.

Больной укладывается на рентгеновский стол в положении на спине с отведенной за голову левой рукой. Верхний край кассеты кладется на 2 см выше правого купола диафрагмы.

Врач становится с левой стороны от больного. Кожа грудной и брюшной стенки в области, соответствующей расположению селезенки, широко обрабатывается йодом, производится анестезия кожи и всех мягких тканей до брюшины 0,25%-ным раствором новокаина. В намеченной точке функционной иглой (длина иглы 12—14 см, диаметр отверстия 1,2—1,4 мм) делается прокол до брюшины, и затем больному предлагаются задержать дыхание, после чего иглу продвигают вперед до проникновения в ткань селезенки. Игла продвигается по направлению к селезенке под острым углом ( $15—20^\circ$ ) к плоскости рентгеновского стола. Если пункция селезенки выполнена правильно, появляются капли крови и игла движется с дыхательными экскурсиями больного. После этого иглу продвигают вперед еще на 1—2 см. Иногда после продвижения иглы вперед прекращается вытекание капель крови, что чаще всего оказывается следствием попадания в иглу кусочка селезеночной ткани. Для контроля нахождения иглы в ткани селезенки следует ввести при помощи шприца 2—3 мл новокаина. Если игла в селезенке, обратно вытекают капли новокаина, окрашенные кровью, а затем — капли чистой крови.

Убедившись, что пункция селезенки выполнена технически правильно, измеряют внутриселезеночное давление. С этой целью к игле присоединяют водный флегботонометр Вальдмана, который заранее заполняется стерильным физиологическим раствором. Величина внутриселезеночного давления определяется по уровню водяного столба в стеклянной трубочке, установленной на шкале.

После измерения давления флегботонометр отключается, и в иглу при помощи шприца с хорошо разработанным поршнем в течение 3—4 секунд вводят контрастное вещество в количестве 20 мл. В том случае, когда исследование производится с помощью рентгеновского аппарата с автоматической подачей пленки для серийных снимков, первый снимок делается после введения 8—10—12 мл диодона, последующие сним-

ки — с интервалом в 1,5—2 секунды (всего 4—6 снимков). При пользовании простым рентгеновским аппаратом серийные снимки можно делать вручную (при помощи деревянной приставки) или же, как предлагают некоторые авторы [2], снимать один раз при условии максимального насыщения системы воротной вены контрастным веществом, соответствующего моменту окончания инъекции.

После введения контрастного вещества игла извлекается, место укола смазывается йодом и накладывается повязка.

Больному предписывается постельный режим, на область левого подреберья на 1—2 часа прикладывается пузырь со льдом, назначается 10%-ный хлористый кальций внутрь. При болях применяются наркотики. Ведется врачебное наблюдение.

Среди ошибок нужно отметить недостаточное контрастирование сосудов портальной системы, причинами которого могут быть медленное введение контрастного вещества, недостаточно глубокое введение иглы в ткань селезенки, вызывающее ретроградное вытекание диодона, а также прокалывание селезенки насквозь.

Среди осложнений следует отметить боли, вызванные введением контрастного вещества, особенно если оно не попало по назначению. В некоторых случаях боли носят острый и продолжительный характер.

Приводим выписку из истории болезни.

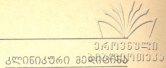
Больной Ч., 35 лет (история болезни № 7648), поступил в госпитальную хирургическую клинику лечебного факультета Тбилгосмединститута 19/XI—1965 г. с диагнозом цирроз печени (?). Иодистая проба отрицательная. Коагулограмма без отклонений. 6/XII—1965 г. произведена спленопортография при помощи рентгеноустановки ЛЭМА. Спустя 15—20 минут после окончания манипуляции у больного начались боли в животе, которые постепенно усиливались. Пульс и АД без изменений. Ему сделали морфин, приложили пузырь со льдом на область левого подреберья. Больной успокоился но через 3,5—4 часа опять пришлось прибегнуть к наркотикам, после чего боли не повторялись.

К тяжелым осложнениям относится внутрибрюшное кровотечение, вызванное разрывом селезенки. Для предупреждения указанного грозного осложнения некоторые авторы ([3] и др.) предлагают пользоваться резиновой надставкой (длина резиновой трубочки 4—5 см), которая вставляется между иглой и шприцем; врач фиксирует в руках не иглу, а резиновую надставку, что в известной мере предупреждает травму селезенки.

В заключение следует подчеркнуть, что спленопортография не требует сложных приспособлений, доступна широкому кругу врачей, работающих как в городских, так и в крупных районных больницах. При соответствующем практическом навыке и соблюдении необходимых мер предосторожности спленопортография безопасна для больного.

Тбилисский государственный  
медицинский институт

(Поступило в редакцию 5.4.1966)



ს. ხუნდაძი, ლ. დვალი

## სპლენოპორტოგრაფიის ტექნიკის საპითხოსათვის

### რეზიუმე

სტატიაში დეტალურად აღწერილია სპლენოპორტოგრაფიის წარმოების ტექნიკა. სპლენოპორტოგრაფიისათვის საჭირო არაა რთული აპარატურა. იგი სელმისაწვდომია როგორც ქლინიკაში, ისე ქალაქისა და რაიონული ცენტრის საავადმყოფოებში. მომუშავე ექიმებისათვის.

### დაორეგული ლიტერატურა — ЦИТИРОВАННАЯ ЛИТЕРАТУРА

1. М. Э. Комахидзе. Хирургия селезенки. Тбилиси, 1959.
2. М. Д. Пациори. Синдром портального гипертензии и его хирургическое лечение. Автореферат, М., 1960.
3. В. В. Сергеевин. Спленопортография и спленотонометрия. М., 1960.

ზელმიშვერილია დასაბუქდად 28.9.:956; შეკვ. № 1356; ანაზურბის ზომა 7×11; ქაღალდის ზომა 70×108; სააღრიცხვო-საგამომც. ფერცულების რაოდენობა 19,0; ნაბეჭდი ფურცლების რაოდენობა 17,0; უ. 02782; ტირაჟი 1300

Подписано к печати 28.9.1966; зак. № 1356; размер набора 7×11; размер бумаги 70×108; количество уч.-изд. листов 19,0; количество печатных листов 17,0; УЭ 02782; тираж 1300

გვიმტკემლობა „მეცნიერების“ სტამბა, თბილისი 60, კუტუზოვის ქ. № 15.  
Типография Издательства «Мецнериба», Тбилиси 60, ул. Кутузова 15.



# ЗОБЕДАРСО — СОДЕРЖАНИЕ — CONTENTS

## ЗАТОВОДИДА — МАТЕМАТИКА — MATHEMATICS

Г. С. Дадуашвили. Некоторые свойства нерефлексивных банаховых и локально выпуклых пространств . . . . .	1
*Ф. Д. Дзулба. Аналитическое исследование дифференциальных уравнений в частных производных . . . . .	5
*Ф. Д. Дзулба. Гауссова формула для вычисления определителей . . . . .	7
М. Р. Тетруашвили. Некоторые вопросы теории инвариантной меры в топологических группах . . . . .	9
*Ф. Г. Гоголадзе. Квадратурные формулы для вычисления определителей . . . . .	11
М. Р. Тетруашвили. Интегрирование дифференциальных уравнений в частных производных . . . . .	18

## ЗОБОДИДА — КИБЕРНЕТИКА — CYBERNETICS

В. В. Чавчанидзе. К вопросу о расшифровке кода ДНК (РНК) и биологических соединениях включения . . . . .	19
*Э. Эшкеназидзе. Уравнение гомоциклической и гетероциклической кинетики . . . . .	26
Т. Д. Эбралидзе. Термодинамический подход к двоичному каналу с шумом . . . . .	27
*Ф. Г. Гоголадзе. Использование методов статистической физики для вычисления коэффициентов . . . . .	30

## ЗОБОДИДА — ФИЗИКА — PHYSICS

М. М. Мирианашвили (член-корреспондент АН ГССР), Т. И. Кацушадзе. Магнитный момент катиона в решете феррита . . . . .	31
*Ф. Белавенецкий. (Быстроизменяющиеся магнитные поля в кристаллах ферритов и квантовые ямы),	
Ф. Белавенецкий. Физика быстрых магнитных полей . . . . .	36
Д. А. Гиунашвили. Установка для исследования процесса испарения и порообразования под напряжением . . . . .	37
*Ф. Г. Гоголадзе. Дифракция на магнитных кристаллах . . . . .	41
В. А. Агламазов, Л. Д. Гедеванишвили, Л. Ш. Коходзе, З. П. Робакидзе, И. И. Сакварелидзе, Н. Г. Хазарадзе. Об одном методе определения полного числа частиц и координат точки прохождения оси широкого атмосферного ливня космического излучения . . . . .	43
*Ф. Г. Гоголадзе, Ф. Г. Гоголадзе, Н. Г. Хазарадзе, З. П. Робакидзе, И. И. Сакварелидзе, Н. Г. Хазарадзе. Определение координаты прохождения оси широкого атмосферного ливня космического излучения . . . . .	48

## ЗОБОДИДА — ГЕОФИЗИКА — GEOPHYSICS

М. Л. Челишвили. Возможность применения магнитометрического метода для поисков марганцевых руд . . . . .	51
*Ф. Г. Гоголадзе. Магнитные характеристики геотектонов . . . . .	57

\* Зарубежная работа опубликована в журнале "Ученые записки" № 10, 1960 г.

\* Заглавие, отмеченное звездочкой, относится к реюму или к переводу предшествующей статьи.

\* A title marked with an asterisk applies to a summary or translation of the preceding article.

## 80005—ХИМИЯ—CHEMISTRY

Г. А. Головко, Е. И. Борзенко, Г. В. Цицишили (академик АН ГССР), Т. Г. Андроникашвили. Неравновесные изобары адсорбции-десорбции аргона и кислорода на синтетических цеолитах . . . . .	59
*Н. Зотинова, д. техн. наук, д. физ.-хим. наук, проф. (Баюраттуевский Университет) С. А. Борисов (Баюраттуевский Университет) и др. Исследование и разработка технологии получения цеолита-лития-алюминия . . . . .	64
Х. И. Арешидзе (член-корреспондент АН ГССР), Е. М. Бенашвили, Т. Т. Курашвили. Дегидратация циклогексанола на природном и синтетических цеолитах . . . . .	67
*Ж. А. Чодж (Баюраттуевский Университет) С. А. Миронов (Баюраттуевский Университет) и др. Исследование и разработка технологии получения цеолита-лития-алюминия . . . . .	73
П. Р. Мустафаева, А. К. Аскеров, С. И. Садых-заде, Л. Д. Меликадзе, Р. А. Эйвазова. Димеризация 3-метил- и 3,5-диметил- $\alpha$ -метилстирилов . . . . .	75
*З. Зубарева, д. хим. наук, проф., В. Садиков-Чечетов, д. хим. наук, проф., Т. Гусарова, З. Федотова, д. хим. наук, проф., А. Мирзоян, д. хим. наук, проф., Г. Гасанова. Конденсация бензола с 2,4-диокси-3-метилпентаном в присутствии хлористого алюминия . . . . .	82
*Н. А. Дадашвили, Б. С. Бондарев, д. хим. наук, проф., 2,4-диокси-3-метилпентаном в присутствии хлористого алюминия . . . . .	83
Р. М. Лагидзе, Н. С. Санникадзе. Конденсация бензола с 2,4-диокси-3-метилпентаном в присутствии хлористого алюминия . . . . .	90

## 80006—ХИМИЧЕСКАЯ ТЕХНОЛОГИЯ— CHEMICAL TECHNOLOGY

Дж. Ф. Гвелесиани, Р. И. Агладзе (академик АН ГССР), Л. Л. Рубеш. Гидротермальная очистка растворов бихромата натрия, полученных электросинтезом из феррохрома . . . . .	91
*Ж. Заде, д. хим. наук, проф. (Баюраттуевский Университет) С. А. Миронов (Баюраттуевский Университет) и др. Исследование и разработка технологии получения цеолита-лития-алюминия . . . . .	96

## 80007—БИОХИМИЯ—BIOCHEMISTRY

М. М. Заалишвили, Г. В. Микадзе, Т. Г. Сургуладзе. Получение и свойства протеина М гладкой мышцы . . . . .	99
*З. Чхеидзе, д. биол. наук, проф., Т. Шергашвили, д. биол. наук, проф. З. Гуцела, д. биол. наук, проф., Т. Г. Сургуладзе. Изучение физиологических процессов в мышцах крысы . . . . .	105
Б. Альхаджики, д. биол. наук, проф., Г. Гагиашвили, д. биол. наук, проф., Т. Г. Сургуладзе. Изучение физиологических процессов в мышцах крысы . . . . .	107
*Н. Г. Александзе. Влияние окислительно-восстановительных систем на холинэстеразную активность головного мозга белых мышей . . . . .	113

## 80008—ГЕОГРАФИЯ—GEOGRAPHY

Ж. Чхерети, д. геол. наук, проф., А. Ашоташвили, д. геол. наук, проф., Т. Г. Сургуладзе. Исследование геологии и геоморфологии горного массива Кахетии . . . . .	115
*Д. Д. Церетели. Роль новейших тектонических движений в формировании основных форм рельефа Джавахетского вулканического нагорья . . . . .	120

## 80009—ГЕОЛОГИЯ—GEOLOGY

С. И. Кулешвили, В. М. Шапошников. О возможности применения морфометрического метода поисков тектонических структур в межгорных впадинах (на примере Карталинской депрессии) . . . . .	123
--	-----



Г. Н. Звиададзе, Д. Ш. Озиашвили, Д. В. Вацадзе. Кинетика восстановления хлорида натрия силикокальцием . . . . .	200
*Л. ზეიდაძე, დ. ონიაშვილი, დ. ვაწაძე. ნატრიუმის ქლორიდის სილიკაციური ციცხის ალგენის კრიფტი . . . . .	200
<b>გათანიერება—БОТАНИКА—BOTANY</b>	
ლ. გოგიჩიაშვილი. იერის შუა დაბლობის მცნარეული ღანდშაუტების ისტორია-სთადი . . . . .	201
*Л. Гогичайшвили. К истории растительных ландшафтов средненорской низменности . . . . .	206
<b>გვერდითა ვიზიოლოგია—ФИЗИОЛОГИЯ РАСТЕНИЙ—PHYSIOLOGY OF PLANTS</b>	
ლ. И. Джапаридзе (академик АН ГССР), Д. В. Котаева, Е. И. Чубинина ишишки. Динамика нуклеиновых кислот в листьях некоторых лиственных пород в течение вегетации . . . . .	207
*ლ. ჯაფარიძე (საქართველოს სსრ მეცნ. აკადემიის აკადემიური), დ. კოტევა, ე. ჩერბანიშვილი. ნუკლეინის მცვევების დინამიკა ზოგიერთი ფოთოლცვენია კიბის ფოთოლცვენში ვარტაციის მანძილზე . . . . .	208
<b>გიაზოგიოლოგია—МИКРОБИОЛОГИЯ—MICROBIOLOGY</b>	
М. М. Иванов, Т. Л. Кобахидзе. Биохимические и серологические свойства... и метод его лиофилизации . . . . .	211
*ვ. ივანოვი, თ. კობახიძე. ბიოქიმიური და სეროლოგიური თვისებები და მისი ლიოფილიზაციის მეთოდი . . . . .	215
<b>ჰიდროგიოლოგია—ГИДРОБИОЛОГИЯ—HYDROBIOLOGY</b>	
შ. კერესელიშვილი. სინის ჟყალაცავის ჰიდროლოგიური რეაქციები . . . . .	217
*ვ. М. Кереселидзе. К изучению гидрологического режима Сионского водохранилища . . . . .	223
<b>ანათომია—АНАТОМИЯ—ANATOMY</b>	
ლ. ჩუბინიძე. ძვლის და ძვლის ტენის კანიფრების ასეკტორი თავისებურებანი . . . . .	225
*ლ. Г. Чубинидзе. Возрастные особенности капилляров кости и костного мозга . . . . .	231
<b>ფიზიოლოგია—ФИЗИОЛОГИЯ—PHYSIOLOGY</b>	
С. А. Чхенкели. О роли афферентных импульсов из желудка в формировании насыщения . . . . .	233
*ს. ჩერენეგვაძე. კუნძული მოძრაობები აცერტურლი მმელასაციის რაოდის შესახებ გაძლიერების ურთმისებებში . . . . .	237
<b>ერაციონალური გენიცია—ЭКСПЕРИМЕНТАЛЬНАЯ МЕДИЦИНА—EXPERIMENTAL MEDICINE</b>	
ლ. К. Шарашидзе, Л. А. Кутубидзе. Гистохимическое исследование окислительно-восстановительных, гликолитических и гидролитических ферментов в индуцированных рабдомиосаркомах . . . . .	239
*ლ. შარიშვილი, ლ. კუტუბაძე. ზერვა-ალგენითი, გლიკოლიზური და ჰიდროლიზური ფერმენტების პისტოქმიური შესწავლისათვის ინდუსტრიულ რაბდომისარებლში . . . . .	242
<b>კლინიკური ვიზიონი—КЛИНИЧЕСКАЯ МЕДИЦИНА—CLINICAL MEDICINE</b>	
В. И. Мchedlishvili. К вопросу о влиянии возраста на клиническое проявление хронической дизентерии . . . . .	243
*ვ. მჭედლიშვილი. ქრონიკული დინერტიტის კლინიკურ გამოვლინებაზე ასაქის გავლენის სერობისთვის . . . . .	247
С. Ш. Хуладзе, Л. Г. Двали. К вопросу техники спленопортографии . . . . .	249
*ს. ხუნდაძე, ლ. დვალი. სპლენოპორტოგრაფიის ტექნიკის საკითხოსათვეს . . . . .	252



УТВЕРЖДЕНО  
Президиумом Академии наук  
Грузинской ССР  
28.3.1963

## ПОЛОЖЕНИЕ О «СООБЩЕНИЯХ АКАДЕМИИ НАУК ГРУЗИНСКОЙ ССР»

1. В „Сообщениях Академии наук Грузинской ССР“ публикуются статьи научных работников Академии наук Грузинской ССР и других ученых, содержащие сжатое изложение основных результатов их исследований.

2. „Сообщениями“ руководит редакционная коллегия, избираемая общим собранием Академии наук Грузинской ССР.

3. „Сообщения“ выходят ежемесячно отдельными выпусками приблизительно в съезме 16 печатных листов каждый. Выпуски каждого квартала (три выпуска) составляют один том.

4. Статьи должны быть представлены на двух языках: на грузинском и русском. На одном из них, по желанию автора,—полный текст, а на другом языке—краткое изложение основного текста.

5. Объем статьи, включая иллюстрации, не должен превышать 20 000 типографских знаков (8 страниц журнала). Разделение статьи на отдельные части для опубликования в разных выпусках „Сообщений“ не допускается.

6. Статьи действительных членов и членов-корреспондентов Академии наук Грузинской ССР сдаются непосредственно в редакцию „Сообщений“ для опубликования, а статьи других авторов публикуются только по представлению действительных членов или членов-корреспондентов Академии. Статьи, поступившие без представления, направляются редакцией одному из действительных членов или членов-корреспондентов Академии на рассмотрение, с тем чтобы в случае положительной оценки статья была представлена для опубликования.

7. Статьи (а также соответствующие иллюстрации и чертежи) должны быть представлены автором в одном экземпляре, в совершенно готовом для печатания виде. Формулы должны быть четко вписаны в текст от руки. Текстовые части из иллюстрациях должны быть выполнены на обоих языках. Никакие исправления и добавления после принятия к печати не допускаются.

8. Данные о цитированной литературе должны быть по возможности полными: необходимо указать полное заглавие статьи, название журнала, в котором опубликована статья, номер серии, тома, выпуска, год издания; если имеется ссылка на книгу, то необходимо указать полное наименование книги, место и год издания.

9. Цитируемая литература должна приводиться в конце статьи в виде списка. При ссылке на литературу в тексте статьи или в подстрочных примечаниях следует указывать номер по списку, заключая его в квадратные скобки.

10. В конце текста статьи автор на соответствующем языке должен указать название и местонахождение того научного учреждения, где выполнена работа.

Статья датируется днем поступления ее в редакцию.

11. Автору представляется одна корректура в сверстном виде на строго ограниченный срок (не более двух дней). В случае невозврата корректуры к сроку редакция вправе приостановить печатание статьи или напечатать ее без визу автора.

12. Автор получает бесплатно 10 оттисков своей статьи.

АДРЕС РЕДАКЦИИ: ТБИЛИСИ, ул. КУТУЗОВА, 15

Телефон 7-18-05, доб. 3-42

Условия подписки: на 1 год—12 руб., на 6 месяцев—6 руб.

დ ა მ ტ ე რ ი ც ე ბ უ ლ ე რ  
საქართველოს სსრ მეცნიერებათა აკადემიის  
პრეზიდიუმის მიერ 28.3.1963

1. „საქართველოს სსრ მცირებათა აკადემიის მოაბდეში იძებელი აკადემიის მცირებათა მცირების და სხვა მცირებათა წერილები, რომლებშიც მოყვედ გაღმიოფუმულია მათი ასოციაციების მთავრი შეღვევები.

2. „მოამბეს“ ხელმისაწვდომობრივი სარეგულაციო კოდექსია, რომელსაც ირჩევს საქართველოს სსრ მიერიცხულათ აკადემიის საერთო კრიტიკა.

3. „ରୋମିଶ୍“ କୁମଣିଲେ ଟ୍ରେଶି ହୃତକ୍ଷେତ୍ର, ପାଇଁ ନାୟକତାବାଦ, ଫୁଲାଳିନୀରେ ବିଜ୍ଞାପନ କରିଛନ୍ତି।

4. „მოასერში“ დასახელებული წერილები უკართვილებელი უნდა იქნას ორ განაზღაურებული და რუსულად, ერთ-ერთ მოგვანსუ, აღტარის სურვილისაშებრ, —სრული ძირითადი ტექსტი, ხოლო მეორეზე — ძირითად ტექსტის შემოკლებული გამოცემა.

5. წერილის მოცულობა (ორივე ტექსტისა), ილუსტრაციების ჩათვლით, არ უნდა აღმარტინდეს 20.000 სასტამო ნიშანს (კურნალის 8 გვერდს); არ შეიძლება წერილის და- კონფიდენციალურობის განცხადების გამოსავალის განვითარება.

7. წეროლები (აგრძელება სათანადო იღუსტრუაციები და ნახახები) ავტორმა უნდა წარმოადგინოს თითო კადარ, დასაბეჭდად საცემით მომზადებული. ფორმულები ხელით უნდა იყოს ჩაწერილი ტექსტში მეტადივა. იღუსტრუაციებშე ტექსტობრივი წარწერები იორებე ენა-სე უნდა იყოს შესრულებული. წერილის დასაბეჭდად მიღების შემდეგ ტექსტში შესწორებებისა და დამატებების შეტანა აღარ შეიძლება.

10. წევრობის ტექნიკის ბოლოს აცტარმა შესაბამის ენაზე უნდა აღნიშვნას იმ დაწესებულების სახელმწიფო და აცტარმის გარეობა, სადაც შესრულებულია ნაშრომი.

11. ავტორს ემლეთა გვერდზებად შეკრული ერთი კორექტურა შეკრად განსაზღვრული ვადით (წეველი ბრივად არა უმეტეს ორი დღისა). თუ კორექტურა დაგდგნილი ვაღიასათვის არ იწარ წარმოდგენილი, რედაქტორის უფლება აქვს შეაჩეროს წერილის დაბეჭდვა ან დაბეჭდოს იგი ატრონის ვიზის გარეშე.

12. ავტორს უფასოდ ეძლევა მისი წერილის 10 აშონაბეჭდი.

ନେଇବୁକ୍ରତ୍ତାରେ ଅନ୍ତର୍ଭାବରୁ ଯାଇଲୁଛି, କୁଟୁମ୍ବରେ ଦ. 15

ଶ୍ରୀମତୀ କଣ୍ଠର୍ମୁଖ 7-18-05, ପ୍ରାଥି. 3-42